

CRISTALOGRAFIE

VOLUMUL I

1. NOȚIUNI INTRODUCTIVE

2. CRISTALOGRAFIA GEOMETRICĂ

A. Formele poliedrice

B. Structura internă

Radiometria

PREFATĂ

Cristalografia s-a dezvoltat mai întâi ca o disciplină de bază în studiul mineralelor și al asociațiilor lor, rocile și minereurile, care - în marea lor majoritate - se găsesc în stare cristalină și ale căror proprietăți sînt determinate, în cea mai mare parte, de această stare.

Multă vreme cristalografia a constituit astfel doar un capitol, ce-i drept - foarte important - al mineralogiei, așa cum și astăzi, partea din mineralogie care se ocupă cu studiul stării cristaline a mineralelor, cuprinde capitolele de bază ale acesteia.

De aceea, orice curs de mineralogie trebuie să fie precedat de un asemenea capitol sau curs de cristalografie.

Dar, în afară de minerale, și majoritatea celorlalte corpuri solide: produse industriale metalurgice, chimice, farmaceutice etc. se găsesc tot în stare cristalină, iar o serie de ramuri ale industriei și tehnicii se bazează pe proprietățile pe care le dă starea cristalină acestor corpuri.

Pe de altă parte, multe procese fizice, cu largă aplicație în cercetarea și tehnica cea mai avansată, se realizează pe baza însușirilor pe care le dă starea cristalină materiei.

În felul acesta, cristalografia a devenit o știință independentă care stă, nu numai la baza mineralogiei, petrografiei și geochimiei, care tratează despre procesele legate de starea cristalină și despre corpurile cristaline naturale din scoarța terestră, dar și la baza chimiei, metalurgiei, mineritului, radiotehnicii etc. iar fizica corpului solid este de neconceput fără cunoașterea profundă a cristalografiei.

Studentii geologi, chimiști, fizicieni, tehnologi, minieri etc. trebuie să aibă în programul lor de învățămînt și cristalografia. Așa este în toată lumea, așa a fost și la noi pînă acum cîțiva ani, de cînd - pe motive subiective și datorită unei conjuncturi nefericite - locul cristalografiei în aceste programe de învățămînt a fost redus la minimum sau a devenit formal. Așa s-a scos din rîndul disciplinelor obligatorii iar apoi s-a eliminat complet cristalografia la unele facultăți de chimie, sau - lucru de-a dreptul absurd - s-a scos cristalografia din planul de învățămînt al facultății de fizică, unde se studiază fizica corpului solid (în general cristalin) fără cunoașterea acestei discipline!

Și la secțiile de geologie, din aceleași motive subiective, a existat tendința reducerii sub limită a orelor de cristalografie.

De aceea am găsit utilă editarea Cristalografiei într-o formă rezumativă și selectivă, cuprinzînd însă noțiunile de bază ale disciplinei, necesare studenților de la toate secțiile la care predau.

Rămîne ca la curs, pe cît permite programul fiecărei facultăți, să se dezvolte diferențiat, la fiecare categorie de studenți, părțile sau capitolele de cristalografie, direct legate sau cu aplicații în specialitatea pe care o urmează.

Am găsit necesar să împart cursul în două volume de proporții mai reduse. În primul volum, după cîteva capitole de noțiuni introductive, se tratează Cristalografia geometrică; în primul rînd cristalografia geometrică a formelor exterioare, poliedrice, ale cristalelor, iar apoi cristalografia geometrică a structurii lor interne.

În această ultimă parte am cuprins și radiocristalografia, în care se concretizează și ilustrează aranjarea ordonată a particulelor componente ale cristalelor în structura lor internă.

Al doilea volum cuprinde Cristalochimia, Cristalogeneza și Cristalografia fizică.

- 3 -
CRISTALOGRAFIE

TRAIAN IDRICEANU

1.

NOȚIUNI
INTRODUCTIVE

CRISTALOGRAFIE

1.- NOȚIUNI INTRODUCTIVE

I. STAREA CRISTALINĂ.

DEFINIREA NOȚIUNII DE CRISTAL. CORPURI AMORFE.

1.- CRISTALELE, CORPURI NATURALE SAU ARTIFICIALE SOLIDE CU FORME POLIEDRICE REGULATE

Vechii greci întrebuintau denumirea de "crystallos" pentru gheață și tot astfel au denumit apoi și cuarțul, SiO_2 , incolor și transparent, răspândit în natură și cunoscut sub denumirea de cristal de stîncă.

Ulterior, termenul de cristal a fost extins la toate corpurile din natură care au forme poliedrice, așa cum sînt - de ex. - cuburile de sare gemă (NaCl), poliedrele cu opt fețe (octaedrii) de magnetit (Fe_3O_4), poliedrele cu 12 fețe (dodecaedri) ale granatului (pirop, $\text{Mg}_3\text{Al}_2 [\text{SiO}_4]_3$) etc.

Toate aceste corpuri sînt minerale. În forme geometrice regulate, ele s-au numit cristale.

Uneori cristalele prezintă dimensiuni uriașe, cum este cristalul de cuarț găsit în 1951 în U.R.S.S. aflat la muzeul Institutului de mine din Leningrad, care are o lungime de 3,5 m., o lățime de 1,60 m și o greutate de 13 tone. Alteori însă, cristalele sînt așa de mici, încît nici nu pot fi observate cu ochiul liber.

Astfel, dacă vom evapora o soluție saturată de alaiun de potasiu, $(\text{SO}_4)_2 \text{ALK}$, vom constata că se depune o pulbere fină. Dacă însă vom pune o picătură din această soluție pe o lamă de sticlă și vom privi la microscop în timpul evaporării ei, vom observa cum se formează și se dezvoltă, cresc, octaedri de alaiun de formă geometrică perfectă.

Pe baza acestor observații, se poate formula o primă definiție a cristalelor:

Cristalele sînt corpuri naturale, sau obținute artificial, care au forme poliedrice regulate.

2. CRISTALELE, CORPURI SOLIDE CU STRUCTURA RETICULARĂ. C O R P U R I A M O R T E

Mult mai răspîndite decît monocristalele se întîlnesc însă agregatele de cristale, în care cristalele - de cele mai multe ori - nu-și mai păstrează forma geometrică regulată. Astfel, dacă vom confecționa o secțiune subțire (de 0,02 mm) dintr-o bucată de granit și vom privi la microscop, vom constata că pe cînd feldspatul (ortoză) se va prezenta, de obicei, în formă de prisme regulate, cuarțul în care sînt cuprinse cristale de ortoză, reprezintă granule neregulate, care sînt întrepătrunse de cristale de ortoză sau de alte minerale (fig.1).



Fig. 1a



Fig. 1b



Fig. 1c

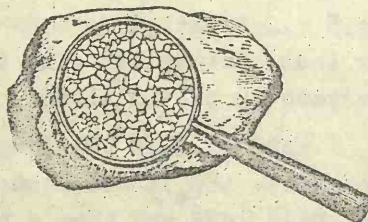


Fig. 1d

Tot granule neregulate vom observa la microscop și pe secțiunea unui aliaj sau la un precipitat chimic.

În unele cazuri, cum este de ex. cazul mineralelor argiloase, nici cu microscopul obișnuit nu se mai disting granulele de mineral și deci nu se poate aprecia dacă este vorba de minerale în stare cristalină.

Pe baza unor proprietăți ale cristalelor, s-au formulat încă de mult, ipoteze cu privire la structura internă a cristalelor și s-a ajuns la concluzia că în cristale, particulele componente (atomi, ioni sau molecule), trebuie să fie dispuse regulat în spațiu, în forma unei rețele tridimensionale, a cărei noduri le ocupă.

Doi mari cristalografi, E.S. Federov și A. Schoenflies au și calculat toate posibilitățile de aranjare a particulelor în rețea și au ajuns, independent unul de altul, la același număr de 230 aranjamente posibile, care au fost numite grupe spațiale.

După ce s-a descoperit difracția razelor X prin cristale, ipoteza a fost verificată în practică și s-a confirmat.

Cu ajutorul razelor X s-a stabilit că mineralele argiloase sînt de asemenea cristalizate, ca și multe alte corpuri care au prezentau forme poliedrice; s-a stabilit că structura reticulară este caracteristică pentru toate corpurile cristalizate, fără nici o excepție, dar numai pentru acestea și că structura reticulară este cea care definește, în ultimă analiză, starea cristalină.

Astfel, s-a constatat că definiția care lua în considerație numai forma poliedrică regulată a corpurilor cristaline, este nesatisfăcătoare și s-au definit cristalele, ca fiind corpuri solide în care particulele componente (atomi, ioni sau molecule) sînt dispuse regulat în spațiu, sub formă de rețea tridimensională.

Celelalte corpuri solide, în care particulele sînt așezate, în general, desordonat, se numesc corpuri amorfе.

Structura lor desordonată se explică, prin aceea că în condițiile formării rapide, de ex. prin răcire bruscă, datorită micșorării bruste a mobilității particulelor, acestea nu reușesc să se așeze regulat unele față de altele. Ca exemple de corpuri amorfe pot servi: sticla, masele plastice, smoala, cleiul etc. Substanțele amorfe nu sînt însă stabile; ele prezintă tendința de a cristaliza cu timpul. Așa cristalizează, cu timpul, sticla, formînd agregate fine de cristale și devenind foarte casantă.

Starea cristalină a corpului solid este mai stabilă decît starea amorfă, deoarece energia internă minimă corespunde repartiției regulate a particulelor în structură. Acest lucru este pus în evidență de faptul că la formarea cristalelor se degajă căldură, pe cînd la distrugerea lor (topire, dizolvare) se absoarbe căldură. Astfel, dacă se pune într-un balon o cantitate de hiposulfid de sodiu cristalizat și se încălzește, se constată că la temperatura de 41°C acesta se topește. Distrugerea cristalelor se face cu absorbție de căldură. Dacă se lasă balonul liniștit, el se răcește pînă la temperatura camerei (cca. 20°C), fără ca hiposulfitul să se solidifice, deși s-a răcit sub temperatura de topire. Se spune că avem de-a face cu un lichid subrăcit.

Dacă se aruncă în balon un cristal de hiposulfid, toată masa lichidului cristalizează brusc, iar termometrul se ridică la 41°C . Cristalizarea se face cu degajare de căldură.

Corpurile amorfe sînt similare, din aceste puncte de vedere, cu lichidele subrăcite și numai cristalele sînt reprezentanți veritabili ai corpurilor solide.

3. CITEVA CARACTERE ALE REȚELEI SPAȚIALE

3.1. Construcția rețelei tridimensionale

a. Să considerăm un nod oarecare al rețelei de ex. nodul A_0 (fig.2) ca nod inițial. Să presupunem că nodul cel mai apropiat de acesta este nodul A_1 , care se găsește la distanța

$a = A_0 A_1$. Pe direcția $A_0 A_1 \dots$ vom găsi o serie de noduri, $A_2, A_3, A_4 \dots$ dispuse de-a lungul acestei drepte, la intervale egale între ele și egale cu a .

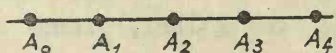


Fig. 2

Totalitatea nodurilor situate de-a lungul unei drepte, care se succed periodic la intervale egale, se numește șir reticular, iar intervalul dintre noduri - a - este parametrul șirului și caracterizează șirul reticular respectiv.

b. Să continuăm această construcție în planul desenului (fig. 3)

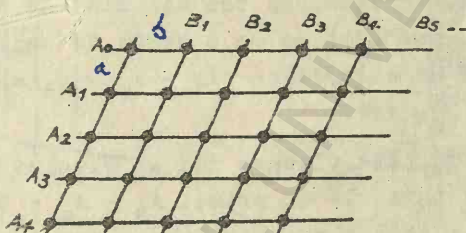


Fig. 3.

Alegem, în raport cu nodul inițial A_0 , încă un nod - B_1 - situat în planul desenului, la cea mai mică distanță, dar în afara dreptei $A_0 - A_1 - A_2 \dots$. Să considerăm acest nod situat la o distanță b față de nodul A_0 . Trasând prin nodurile $B_1 - B_2 - B_3 - \dots$, drepte paralele cu primul șir, $A_0 - A_1 - A_2 \dots$ vom obține o serie de șiruri complet analoge, cu același parametru, a .

În mod asemănător, prin nodurile - $A_1 - A_2 \dots$ vom duce paralele cu șirul $A_0 - B_1 - B_2 \dots$ șiruri analoge cu acesta, având parametrul b . Se obține astfel, o așa numită rețea plană sau bidimensională, care este constituită dintr-un sistem de noduri dispuse într-un singur plan și situate în vîrfurile unui

sistem de paralelograme egale, orientate paralel și adiacente după laturi întregi, alecăror parametri a și b caracterizează rețeaua plană considerată. Aceste paralelograme acoperă în întregime, fără goluri, planul desenului și se numesc paralelograme elementare sau ochiuri ale rețelei.

Rețeaua plană este determinată de două șiruri reticulare; în cazul nostru, șirurile $A_0 - A_1 - A_2 - A_3 \dots$ și $\dots A_0 - B_1 - B_2 \dots$ determină rețeaua plană $A_n - A_0 - B_n$ cu parametrii a și b .

c. Mai departe, construcția rețelei se efectuează în afara planului desenului. Să luăm din nou rețeaua plană $A_n - A_0 - B_n$ și să considerăm un nod C_1 , situat în afara rețelei plane, la distanța cea mai mică de A_0 . Prolungind dreapta $A_0 C_1$, vom găsi pe ea o serie de noduri $C_2, C_3 \dots$, care formează un al treilea șir $A_0 - C_1 - C_2 \dots$ cu parametrul $c = A_0 C_1$, etc.

Ducând prin fiecare nod al șirului $A_0 - C_1 - C_2$ o rețea plană paralelă cu prima, $A_n - A_0 - B_n$, vom obține un sistem de rețele plane similare, care determină o rețea tridimensională, o rețea spațială, caracterizată prin șirurile reticulare: $A_0 - A_1 - A_n$, $A_0 - B_1 - \dots - B_n$ și $A_0 - C_1 - \dots - C_n$ alecăror parametri sînt respectiv, a, b și c . La același rezultat se ajunge și în cazul cînd vom duce o serie de rețele plane paralele cu rețeaua plană determinată de șirul $A_0 - A_1 - \dots - A_n$ cu șirul $A_0 - C_1 - C_n$ din nodurile A_0, B_1, B_2 sau o serie de rețele plane determinate de șirurile $A_0 - B_1 - B_2 \dots$ și $A_0 - C_1 - C_2 \dots$ prin nodurile $A_0, A_1, A_2 \dots$.

În toate cazurile rezultă o rețea spațială tridimensională, care cuprinde cele trei sisteme de plane reticulare: $A_n - A_0 - B_n$, $A_n - A_0 - C_n$ și $B_n - A_0 - C_n \dots$ (fig.4).

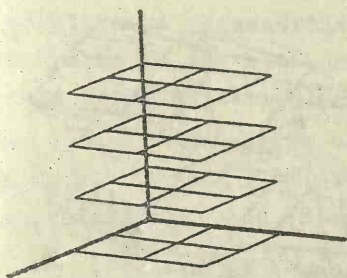


Fig. 4a

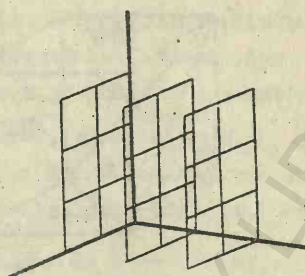


Fig. 4b.

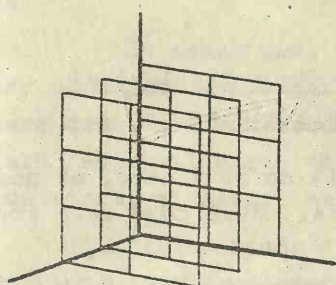


Fig. 4c

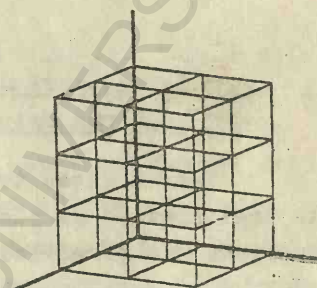


Fig. 4d

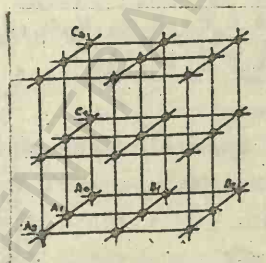


Fig. 4e

Prin intersecția acestor plane se formează un sistem de paralelepipedele ale căror vîrfuri corespund celor mai apropiate noduri ale rețelei spațiale. Un asemenea paralelepiped se numește paralelepiped elementar, cum este paralelepipedul elementar $A_0A_1A_2A_3$ (fig. 5) iar parametrii pe cele trei direcțiuni respectiv a , b și c se numesc parametri fundamentali. Ei caracterizează rețeaua tridimensională.

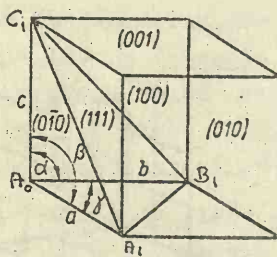


Fig. 5a

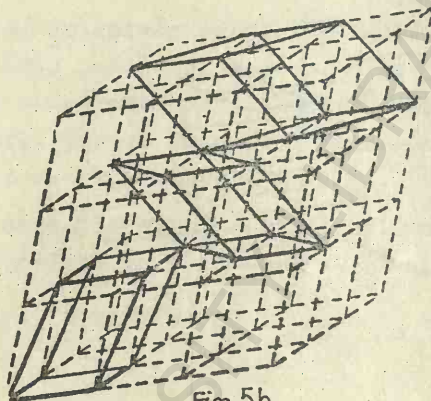


Fig. 5b

3.2. Legătura dintre structura reticulară și forma exterioară a cristalelor.

Intr-o rețea tridimensională se întâlnesc, nu numai cele trei sisteme de plane principale, duse după cele trei direcțiuni ale șirurilor reticulare $A_0 - A_1 - A_2$ --, $A_0 - B_1 - B_2$ -- $A_0 - C_1 - C_2$ --, cu parametrii a , b , c , dar și alte sisteme de plane reticulare, cum ar fi de ex. planul reticular ce trece prin a_0c_2, b_2c_2, a_2c_0 , și a_2b_2 sau planul care trece prin m, n și p (fig. 6).

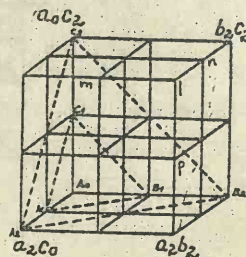


Fig. 6

Pe cele două direcțiuni principale, în rețeaua plană, parametrii fundamentali pot avea valori mai mari sau mai mici și egale sau diferite între ele. Suprafața paralelogramului elementar poate fi mai mică sau mai mare și prin urmare și densitatea nodurilor pe rețea poate fi mai mică sau mai mare.

În celelalte plane reticulare, cu parametri care sînt multipli ai parametrilor fundamentali, suprafața ochiului de rețea va fi mai mică decît a paralelogramului elementar, cum este cazul rețelei plane cu ochiul m, n, p , sau mai mare cum este cazul celorlalte plane considerate, a_0c_2, b_2c_2, a_2c_0 și $a_2c_2, b_2c_2, b_2c_0, a_2c_0$. Cu oît ochiurile de rețea vor avea o suprafață mai mică, densitatea rețelei plane va fi mai mare.

În astfel de plane resticulare de mare densitate, forța de atracție dintre punctele materiale fiind mult mai mare și coeziunea dintre particule este foarte mare. Asemenea plane de mare densitate reticulară pot apărea ca fețe de cristal.

În acest caz, vîrfurile, muchiile și fețele cristalelor corespund nodurilor, girurilor și rețelelor plane de mare densitate din rețeaua spațială. Cu oît densitatea reticulară este mai mare, cu atît fața corespunzătoare este mai importantă și apare mai frecvent la cristal.

Unele cristale au proprietatea de a se desface cu ușurință după fețe perfect plane, în bucăți din ce în ce mai mici, în urma unui efort mecanic. Se spune că au proprietatea de a oliva. Astfel galena (PbS) și sarea genă ($NaCl$), care cristalizează în formă de cuburi, prin lovire cu ciocanul, se desfac în cuburi din ce în ce mai mici, cu fețe perfect plane și, în cazul galenei, foarte lucioase.

Fluorina (CaF_2), care cristalizează deasemenea sub formă de cuburi, olivează după fețe perpendiculare pe diagonalele cubului, după plane ca m, n, p din rețeaua de mai sus. Fețele de olivaj sînt deasemenea plane reticulare de densitate maximă.

Dispoziția geometrică regulată a particulelor materiale în structurile cristaline stă la baza întregii cristalografii moderne.

EXPLICATIA FIGURILOR 1, 4, 5 și 6.

Fig. 1a Structură granitică:

- | | |
|-------------|-----------------|
| 1. cuarț | 3. biotit |
| 2. feldspat | 4. mineral opac |

Fig. 1b Structură porfirică

- | | |
|-------------|----------------------|
| 1. feldspat | 3. mica |
| 2. cuarț | 4. masă fundamentală |

Fig. 1c Structură porfirică

fenocristale și masă fundamentală

Fig. 1d Structură microgranulară de rocă;

structura se distinge numai cu lupa

Fig. 4a Rețea plană paralelă cu planul axelor x și y

Fig. 4b " " " " " x și z

Fig. 4c " " " " " y și z

Fig. 4d Cele trei sisteme de plane reticulare în rețeaua tridimensională.

Fig. 4e Rețea cubică tridimensională

Fig. 5a Paralelepipedul elementar:

unghiul α făcut de axele y și z , unghiul β făcut de axele x și z și unghiul γ făcut de axele x și y ;

- parametrul a , pe axa x , parametrul b , pe axa y și parametrul c , pe axa z ;

- plan reticular anterior (100), posterior ($\bar{1}00$), superior (001), drept (010), stâng ($0\bar{1}0$) și plan reticular fundamental (111).

Fig. 5b Celulele elementare cu orientari diferite în rețeaua spațială au totdeauna același volum.

Fig. 6 Toate planele reticulare paralele cu planul reticular abc sînt plane fundamentale și au aceeași densitate reticulară a nodurilor.

4. CONSECINTE ALE STRUCTURII RETICULARE

4.1. Omogenitatea reală a cristalelor

Se numesc corpuri omogene, corpurile care, pe toată întinderea lor prezintă aceleași proprietăți.

Corpurile gazease, în general, lichidele și materia solidă amorfă, au particulele componente răspândite în spațiu într-o dezordine ideală. Dacă am număra pe diferite direcții, pe aceeași distanță, aceste particule extrem de mici, am găsi, practic, același număr foarte mare de particule. Se spune că aceste corpuri prezintă o omogenitate statistică (fig.7) Bine înțeles că în starea gazoasă și cea lichidă, particulele componente sînt într-o permanentă mișcare de translație, pe cînd în corpurile solide amorfă ele pot avea doar o mișcare de vibrație în jurul unui centru de vibrație.

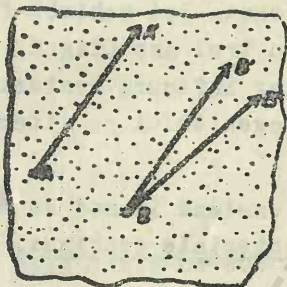


Fig.7.

În corpurile cristaline, după cum am văzut, particulele sînt dispuse ordonat, după anumite reguli, în șiruri, plane și grupe spațiale reticulare, sau mai simplu, în rețea.

Pe direcții paralele, iar uneori și pe direcții neparalele, întîlnim în cristale - riguros - același număr de particule și deasemenea, aceleași proprietăți. Se spune că

aceste corpuri prezintă o omogenitate reală.

Omogenitatea reală este o proprietate caracteristică a cristalelor.

4.2. Proprietățile materiei omogene

Materia solidă prezintă în general două feluri de proprietăți: proprietăți scalare și proprietăți vectoriale.

Proprietățile scalare sînt acelea care nu variază cu direcțiunea; în același corp omogen au aceeași valoare pe orice direcțiune.

Așa este densitatea, căldura specifică, compoziția chimică etc.

Proprietățile scalare se exprimă prin cifre și se reprezintă prin puncte.

Proprietățile vectoriale sînt acelea care variază cu direcțiunea și uneori chiar cu sensul. Așa sînt în unele cazuri proprietățile optice, dilatarea termică, coeziunea etc. Ele se reprezintă prin vectori (drepte orientate, cu punct de aplicație, direcție, sens și mărime).

În unele cazuri, vectorii care reprezintă o proprietate a unui corp, capătă valori care variază în mod continuu cu direcțiunea. Astfel, dacă am încălzi o sferă din mineralul aragonit (CaCO_3), am constata: oă aceasta își schimbă forma, transformîndu-se într-un elipsoid cu trei axe (fig.8), așa cum s-ar prezenta și suprafața care ar înfășura vectorii ce exprimă dilatabilitatea termică a aragonitului pe diferite direcții.

Asemenea proprietăți, care variază în mod continuu cu direcțiunea se numesc proprietăți vectoriale continui.



Fig. 8a

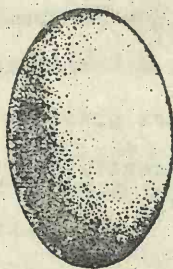


Fig. 8b

Dilatația termică, compresibilitatea, elasticitatea, viteza de propagare a luminii, conductibilitatea termică, conductibilitatea electrică, sînt exemple de proprietăți vectoriale

continui pentru unele cristale, pe cînd pentru altele, aceleași proprietăți sînt proprietăți scalare.

În alte cazuri unele proprietăți ale corpurilor se manifestă tot cu intensități diferite pe diferite direcții, dar acestea trec de la valori mici pe anumite direcțiuni, la valori foarte mari pe direcțiuni învecinate, sau invers. Vectorii care reprezintă aceste proprietăți capătă valori discontinue. Astfel se manifestă proprietatea de coeziune la mineralul mică albă sau muscovit- $\text{KAl}_2 [\text{Si}_3\text{AlO}_{10}](\text{OH}, \text{F})_2$. În direcția perpendiculară pe fețele de cristal, coeziunea este foarte slabă; mineralul se desface lesne în foițe, clivează - pe cînd pe direcții învecinate, coeziunea are, deodată, valori foarte mari (fig.9).

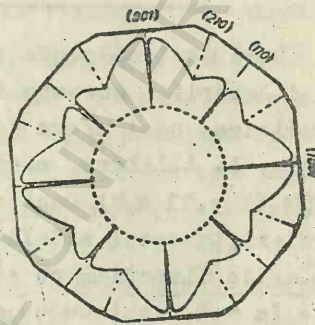


Fig.9.

Dacă dintr-un cub de sare gemă tăiem trei paralelepiped de dimensiuni egale, pe trei direcțiuni diferite și neparalele, vom constata că ele prezintă rezistențe diferite la rupere (fig.10): - efortul de rupere a barei din direcția perpendiculară pe fețele de cub (i,j) este de 570 g/mm^2 ; - efortul de rupere a barei paralele cu diagonala unei fețe (a,c) este de 1150 g/mm^2 , iar - efortul de rupere a barei paralele cu diagonala spațială (e,b) este de 2150 g/mm^2 .

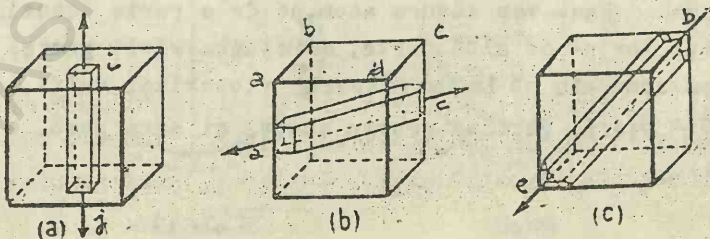


Fig.10

Proprietățile care variază cu direcțiunea dar intensitățile cu care se manifestă acestea pe direcțiuni succesive, exprimate prin vectori, au mărimi foarte diferite, se numesc proprietăți vectoriale discontinue.

Așa sînt: 1. viteza de creștere și de dizolvare a cristalelor, 2. proprietatea cristalelor de a macra, 3. clivajul, 4. translațiile, și 5. difracția razelor reentgen prin cristale.

La toate cristalele, aceste proprietăți vectoriale sînt discontinue.

Proprietățile vectoriale discontinue sînt caracteristice pentru materia cristalizată, în general.

4.3. Corpuri izotrope și anizotrope.

Dacă se încălzește o sferă de sticlă, se constată că, în urma dilatării, aceasta își menține forma sferică, pe cînd prin încălzirea unei sfere de cuarț (SiO_2), care are aceeași compoziție, la dilatare, acesta se transformă într-un elipsoid de rotație (fig. 11 a, b). Dacă am reprezenta această proprietate prin vectori, în cazul sticlei vectorii vor căpăta aceeași mărime pe orice direcție, pe cînd în cazul cuarțului mărimea lor va varia în mod continuu cu direcțiunea. Și suprafețele înfășurătoare ale vectorilor pentru dilatarea termică vor avea aceleași forme: în cazul sticlei, o sferă; în cazul cuarțului, un elipsoid de rotație.

Dacă vom măsura indicii de refracție la sticlă, la sarea gemă și la cuarț, iar cu valorile căpătate pe toate direcțiunile, reprezentate prin vectori, vom construi suprafețe înfășurătoare, atât la sticlă, cît și la sarea gemă, vom obține tot o sferă, pe cînd la cuarț vom obține un elipsoid.

Dacă vom măsura acum, pe de o parte coeziunea sticlei, iar pe de altă parte, coeziunea sării gemă și a cuarțului, vom constata că înfășurătoarea vectorilor va fi, pentru sticlă tot o sferă, pe cînd pentru cuarț și sare gemă, o formă

discontinuuă, cu valori minime pentru anumite direcțiuni și cu valori foarte mari pentru direcțiunile învecinate.

Corpurile pentru care o proprietate se manifestă la fel pe orice direcție, ca și o proprietate scalară, se spune că sînt izotrope pentru acea proprietate.

Sticla și sarea gemă sînt izotrope pentru proprietățile termice și pentru proprietățile optice. Suprafața înfăgurătoare a vectorilor prin care s-ar exprima acea proprietate pentru care corpurile sînt izotrope este o sferă.

Corpurile la care o proprietate se manifestă diferit pe diferite direcții, sînt anizotrope pentru acea proprietate.

Cuarțul este anizotrop pentru dilatarea termică, care este, în cazul său o proprietate vectorială continuă.

Pentru coeziune numai sticla a mai rămas izotropă, pe cînd sarea gemă, ca și cuarțul, sînt anizotrope. Suprafața încunjurătoare a vectorilor care ar reprezenta coeziunea va fi, la sticla, izotropă, o sferă, pe cînd la sarea gemă și la cuarț, vor rezulta forme cu simetrii inferioare, care vor exprima această proprietate ca o proprietate vectorială discontinuuă. Sticla și toate corpurile amorfe, fără nici o excepție, sînt izotrope pentru toate proprietățile. Vedem însă din aceste exemple că un corp cristalin poate fi izotrop pentru unele proprietăți și anizotrop pentru altele. Sarea gemă este izotropă pentru dilatarea termică și proprietățile optice, pe cînd pentru coeziune este anizotropă. Mai vedem că pentru unele proprietăți, cristalele au anizotropie continuă, exprimată prin proprietăți vectoriale continui,

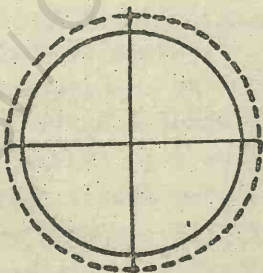


Fig. 11a

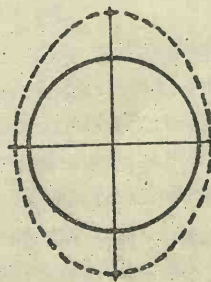


Fig. 11b

cum este dilatarea termică și refracția la cristalele de cuarț, sau anizotropie discontinuă, cum este tot la cuarț și la sarea gemă, coeziunea.

Cristalele pot fi deci izotrope pentru unele proprietăți și anizotrope, continui sau discontinui, pentru alte proprietăți, dar, spre deosebire de corpurile amorphe, cristalele sînt totdeauna anizotrope cel puțin pentru unele proprietăți.

Și - de altfel - izotrope pentru unele proprietăți, nu sînt decît cristalele cu o simetrie foarte ridicată, cu rețeaua elementară în formă de cub, care sînt grupate în sistemul cubic.

4.4. Definiția noțiunii de cristal

Pe baza cunoștințelor prezentate mai sus, materia cristalină poate fi acum definită în mod general și riguros, în modul următor:

Posibilitatea de a lua forme poliedrice, prezenta proprietăților vectoriale discontinui, anizotropia, omogenitatea reală și în ultimă analiză, structura reticulară, definesc noțiunea de materie cristalină.

CRISTALOGRAFIE

1. NOTIUNI INTRODUCTIVE

II. OBIECTUL SI PROBLEMELE CRISTALOGRAFIEI.

Aşa dar, cristalografia este ştiinţa despre cristale şi despre starea cristalină a materiei, în general. Specificul acestei ştiinţe este determinat de structura reticulară caracteristică şi de simetria formaţiunilor cristaline.

Cercetarea cristalografică duce la stabilirea unei complete legături între particularităţile fizico-chimice, între proprietăţile corpului cristalin, pe de o parte şi construcţia sa interioară geometrică exactă, rezultată prin aranjarea strict regulată a particulelor sale componente, pe de altă parte. Acest lucru se reflectă şi în simetria, în aranjarea regulată a elementelor geometrice ale formelor exterioare ale cristalelor, ale poliedrelor cristaline.

Pe aceste baze se tratează variatele probleme ale cristalografiei care, după diferitele puncte de vedere din care se cercetează materia cristalină, se grupează în câteva capitole:

Cristalografia geometrică.

Simetria, formele geometrice exacte ale poliedrelor cristaline şi ale structurilor, se supun unor legi matematice. Capitolele dedicate geometriei formelor exterioare ale cristalelor şi structurilor lor interne, pot constitui împreună, cristalografia geometrică. Unii autori prezintă simultan ambele aspecte ale cristalografiei geometrice; alţii prezintă mai întâi partea care priveşte geometria formelor exterioare şi apoi geometria structurilor interne, care este mai complicată, aşa cum vom proceda, de

altfel și noi, între altele și din considerații de ordin metodic.

Cristalochimia. Legătura dintre structura cristalelor și proprietățile lor chimice formează obiectul cristalochimiei.

Radiocristalografia. Așezarea spațială și orientarea reciprocă a atomilor sau ionilor în structura cristalelor se studiază cu ajutorul razelor X, adică prin analiza roentgenografică. Metodele de cercetare a cristalelor cu raze X sînt cuprinse uneori în capitolele care studiază structura internă, dar în prezent, mai ales într-un capitol aparte, denumit adesea radiocristalografie.

Cristalogeneza. Formarea, creșterea, ca și procesul invers de dizolvare sau topire, adică de distrugere a cristalelor, se studiază într-un capitol care este numit de obicei cristalogeneză.

Uneori aci se tratează și tehnica formării monocristalelor în scopuri industriale.

Cristalografia fizică. Starea cristalină a materiei o serie de proprietăți fizice deosebite; aceste proprietăți sînt studiate în capitolul care se intitulează cristalografie fizică sau fizica cristalelor.

În fapt, în acest capitol se face o prezentare a diferitelor categorii de proprietăți fizice ale cristalelor, în general, dar o importanță deosebită se acordă proprietăților optice.

CRISTALOGRAFIE

1. NOTIUNI INTRODUCTIVE

III. LEGATURA CRISTALOGRAFIEI CU ALTE ȘTIINȚE

După cele arătate, se poate înțelege ușor care sînt legăturile cristalografiei cu alte științe și modul cum se realizează aceste legături.

Matematica. Legătura cu matematica ale cărei date, relații și legi le folosește, așa cum s-a mai amintit, se realizează în special prin cristalografia geometrică, dar și în interpretarea datelor roentgenometrice, în optica cristalelor etc.

Chimia. Legătura cu chimia se realizează în special prin capitolele de cristalochimie și cristalogeneză, dar și prin stereochimia, care folosește datele privitoare la simetria structurii interne a cristalelor în studiul așezării spațiale și al orientării reciproce a atomilor și ionilor în molecule.

Fizica. Legătura cu fizica se realizează atît prin cristalografia fizică, în cea mai mare măsură, cît și prin capitolele de radiocristalografie. După cum se știe, fizica studiază proprietățile gazelor, ale lichidelor și ale corpurilor solide. Dar cristalele sînt reprezentanții caracteristici ai corpurilor solide și de aceea Fizica corpului solid se împletește strîns și, în parte, capitolele lor se suprapun.

Disciplinele geologice. Pe de altă parte, o serie întreagă de discipline geologice recurg la ajutorul cristalografiei în cea mai mare parte a cercetărilor. Astfel, în primul rînd, mineralogia, folosește larg, încă de la începuturile sale ca știință, proprietățile cristalografice în determinarea mineralelor și, de la început, cristalografia a constituit un capitol preliminar al mineralogiei, așa cum se întîmplă de altfel și în prezent.

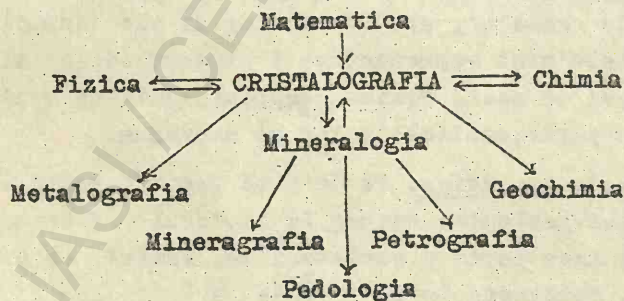
În aceeași măsură este legată cristalografia de petrografie care, în studiul rocilor utilizează larg metodele optice de cercetare a cristalelor și de mineragrafie, care folosește de asemenea metodele cristalo-optice în studiul mine-reurilor.

Studiul răspândirii și migrației elementelor în scoar-ța terestră, care constituie obiectul geochimiei se bazează mai ales pe legile fundamentale ale cristalochimiei.

În plus, o serie întreagă de științe tehnice utili-zează, într-o măsură mai mică sau mai mare, datele cristalo-grafiei, cum sînt: metalografia, radiotehnica, arta minieră etc.

Dezvoltarea metalurgiei, a industriei optice și a altor ramuri ale economiei ridică o serie întreagă de probleme cristalografice de importanță primordială, iar producția in-dustrială a cristalelor cu anumite proprietăți, cum sînt abrazivii, semiconducătorii etc. capătă o importanță din ce în de mai mare în progresul tehnic.

Cuprinzînd numai principalele discipline enumerate mai sus, legăturile cristalografiei cu acestea s-ar putea ilustra prin următoarea schemă:



CRISTALOGRAFIE

TRAIAN IDRICEANU

2

CRISTALOGRAFIE
GEOMETRICĂ

2. CRISTALOGRAFIE
GEOMETRICA

A. FORMELE POLIEDRICE
ALE
CRISTALELOR

2. A.

FORMELE POLIEDRICE ALE CRISTALELOR

FORMELE EXTERIOARE ALE CRISTALELOR

CRISTALUL, UN MEDIU.

Tratînd în această parte a cristalografiei geometrice problemele privitoare la formele exterioare ale cristalelor, este necesar să menționăm de la început că vorbind de formele poliedrice ale cristalelor, trebuie să avem în vedere tot timpul că, așa cum spunea marele cristalograf I.V.Vulf, "cristalul este un mediu și nu un poliedru".

Trebuie să avem în vedere că forma poliedrică a cristalului este o consecință a aranjării geometrice a particulelor componente în structura sa internă și că, în definitiv, această formă nu-i decît reflectarea evidentă a unor însușiri ale acestui mediu.

CRISTALOGRAFIE

2. CRISTALOGRAFIE GEOMETRICĂ.

A. FORMELE EXTERIOARE ALE CRISTALELOR.

IV. ELEMENTELE GEOMETRICE ALE CRISTALELOR.

1. LEGEA EULER-DESCARTES.

Formele poliedrice ale cristalelor sînt limitate de fețe plane. Aceste fețe se intersectează după muchi drepte, iar muchile, la rîndul lor, se intersectează în colțuri.

Fețele, muchile și colțurile constituie elementele geometrice ale formei și sînt dispuse în spațiu după anumite reguli sau legi.

Astfel, între elementele geometrice ale cristalelor există o relație simplă, stabilită de matematicienii Euler și Descartes, care constituie o lege ce le poartă numele și care se enunță astfel: La un poliedru cristalin, numărul de colțuri (C) plus numărul de fețe (F), este egal cu numărul muchilor (M) plus doi:

$$F + C = M + 2.$$

Astfel, în cazul cubului (fig.12), care are 6 fețe și 8 colțuri vor rezulta $6 + 8 - 2 = 12$ muchi (4 sus, 4 jos și 4 laterale).

2. LEGEA CONSTANTEI UNGHIURILOR

Observîndu-se diferite cristale ale aceluiași mineral, s-a constatat că forma geometrică a fețelor lor este, uneori, foarte variată (triunghiuri, patrulatere, hexagoane etc.), în general, poligoane de forme foarte variate.

Tot astfel, mărimea și forma poliedrelor cristaline

ale unui același mineral, pot fi foarte variate, datorită dezvoltării neegale pe care o au fețele, atât în ceea ce privește forma lor, cât și în ceea ce privește mărimea lor.

Astfel, la cristalele de cuarț, este caracteristică o formă de prizmă hexagonală, terminată la capete cu câte o piramidă hexagonală (fig. 13); rareori însă poliedrul cristalin va avea forma geometrică ideală, de cele mai multe ori vor fi întâlnite forme cu fețe foarte diferite ca mărime, contur și chiar ca număr (fig. 14 a, b, c). Adesea chiar cristalele formate în același loc sînt foarte diferite în ceea ce privește mărimea lor, foarte diferite în ceea ce privește dezvoltarea fețelor și a muchiilor lor. Ele pot prezenta o serie întreagă de forme diferite între ele.

Se poate spune că fiecare cristal are trăsăturile lui individuale care îl caracterizează. Această variație se datorește condițiilor ce-au dominat în timpul creșterii cristalului.

Dacă cristalul s-a putut dezvolta liber în toate direcțiile, el are forma poliedrică regulată; dacă însă a fost împiedecat, pe anumite direcții, în creșterea sa, se dezvoltă normal numai pe direcțiile libere, iar fețele de același fel, care iau naștere în alte condiții, vor căpăta alte forme și se vor dezvolta la distanțe diferite de centru. Totdeauna ele vor avea însă, aceeași poziție, vor fi orientate paralel cu fețele corespunzătoare ale formei ideale.

Mărimea cristalului, depinde de cantitatea de substanță disponibilă la creșterea lui.

Întîlnite la toate mineralele, aceste variații arată însă că, mărimea cristalului, pe de o parte, forma și mărimea fețelor și muchiilor lui, pe de altă parte, nu sînt caractere importante pentru specia minerală respectivă. Importante sînt unghiurile dintre fețe și, pentru aceeași specie minerală ele au aceeași valoare, indiferent de locul și de condițiile de dezvoltare pe care le-a avut cristalul.

În 1669, savantul danez Niels Stensen (Nicolaus Steno, 1638-1687), măsurînd unghiurile diedre pe care le fac

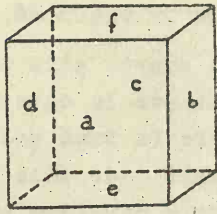


Fig. 12

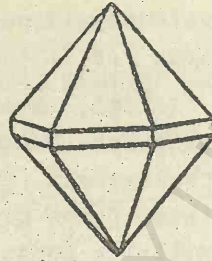


Fig. 13

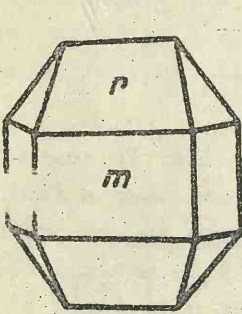
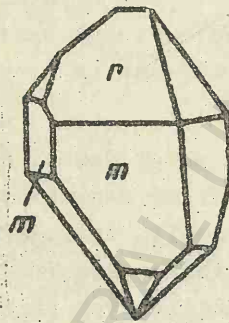


Fig. 14a



2.

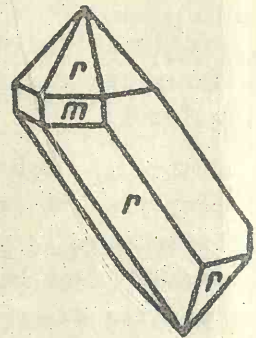


Fig. 14a

fig. 14 a

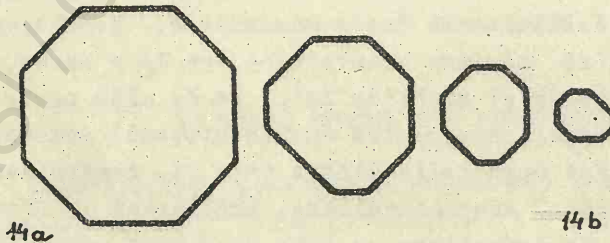


fig. 14 b

fețele cristalelor de cuarț (SiO_2) și oligist (Fe_2O_3), a stabilit pentru prima dată că, indiferent de forma și mărimea acestor fețe, pentru același mineral, unghiurile formate de aceleași perechi de fețe, au aceeași valoare.

Astfel, unghiurile, dintre fețele de prismă hexagonală ale cristalelor de cuarț, sînt întotdeauna de 120° ; unghiurile dintre fețele de piramidă, de $133^\circ 44'$, iar unghiurile dintre fețele de prismă și cele de piramidă, de $141^\circ 41'$ (fig.15).

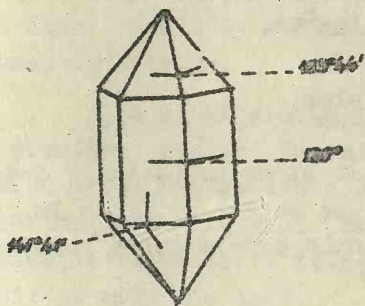


Fig.15.

Această observație a lui Steno a fost însă dată uitării. În secolul următor, M.V.Lomonosov (1711-1765), studiind cristalele de salpetru (KNO_3) a ajuns la concluzia că forma poliedrică a cristalelor trebuie să fie datorată aranjamentului regulat al particulelor materiale componente, iar unghiurile dintre fețele de cristal,

analoge, trebuie să fie riguros constante.

El a făcut măsurători de unghiuri la diferite cristale și în 1749, fără a cunoaște lucrările lui Steno, a regăsit din nou legea constantei unghiurilor.

De asemenea, fără a cunoaște lucrările anterioare, pe baza unui foarte mare număr de măsurători, francezul Romé de L'Isle (1736-1790) a stabilit definitiv legea constantei unghiurilor în 1779.

Din aceste motive legea constantei unghiurilor este cunoscută sub numele de legea Steno-Lomonosov-Romé de L'Isle sau, mai frecvent legea lui Steno.

În 1823, Mitscherlich, ținînd cont de faptul că dilatarea termică variază cu direcțiunea, face observația că la măsurarea riguroasă a unghiurilor trebuie să se precizeze și temperatura respectivă.

Completată cu această remarcă, legea constanței unghiurilor se formulează astfel:

Unghiurile diedre dintre același fel de perechi de fețe ale diferitelor cristale, din aceeași substanță, au totdeauna aceeași valoare la aceeași temperatură.

Ulterior, s-a constatat că această lege a constanței unghiurilor se aplică și celorlalte proprietăți vectoriale discontinue ale cristalelor: clivajul, maclarea etc., care sînt legate de asemenea de structura internă a cristalelor. Astfel, mineralul numit calcită (CaCO_3) olivează după fețele de romboedru, totdeauna cu un unghi de $105^\circ 5'$.

2.1. Goniometria cristalelor

Aspectul exterior variază și uneori atît de deosebit de formele geometrice ideale, pe care-l întîlnim la cristalele reale, îngreunează foarte mult determinarea formelor simple ale acestor cristale.

Descoperirea legii constanței unghiurilor a avut de aceea, o deosebită importanță în istoria studiului cristalelor.

În urma numeroaselor măsurători goniometrice s-a strîns un bogat material, care a stat la baza descoperirii legilor geometrice ale simetriei și formelor de cristale.

De la început, marii cristalografi au dat o atenție deosebită exactității acestor măsurători și pentru aceasta, perfecționării aparatelor de măsurat unghiuri, goniometrelor.

a) Goniometrul de aplicație

Primul goniometru care, în formă îmbunătățită, s-a păstrat pînă în timpurile noastre este goniometrul de aplicație, inventat în 1783 de Carangeot (fig. 16).

El constă dintr-un raportor și din două rigle metalice AB și CD. Aceasta din urmă este fixă și închide raportorul pe

direcția 0° - 180° , iar prima, situată în planul cercului, este mobilă și se rotește în jurul centrului acestuia,

Unghiurile dintre fețe se măsoară aplicînd cele două rigle cu muchiile pe cele două fețe, astfel ca muchia dintre fețele cristalului să fie prinsă exact la intersecția celor două rigle, iar planul raportorului să fie perpendicular pe această muchie.

Citirea se face direct, începînd din C, pe raportorul care măsoară unghiul opus la vîrf, egal cu unghiul dintre fețe, sau începînd din D, citindu-se în acest caz suplimentul dintre normalele fețelor.

Cu acest goniometru măsurătorile nu sînt suficient de precise; repetînd de mai multe ori aceeași măsurătoare și făcînd media aritmetică a citirilor, se obțin rezultate cu o aproximație de $1/2$ grad. Pe de altă parte, goniometrul de aplicație nu poate fi folosit decît pentru măsurători efectuate pe cristale mari.

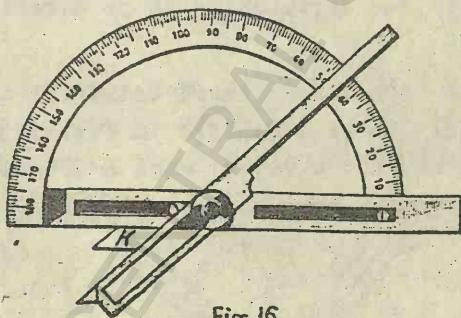


Fig. 16.

b. Goniometre cu reflexie

Măsurători foarte precise și pentru cristalele cu fețe foarte mici, s-au realizat încă din sec. XVIII. cu ajutorul unor goniometre care au la bază reflexia razelor pe fețele de cristal. Acestea se numesc goniometre cu reflexie și sînt de două feluri : goniometre cu un cerc și goniometre cu două cercuri gradate.

- Goniometrul de reflexie cu un singur cerc.

Acest goniometru (fig.17) are ca părți principale componente: un disc gradat (D) prevăzut cu un vernier (V), un colimator (C) și o lunetă (L).

Pentru a măsura unghiurile dintre două fețe (a și b) ale unui cristal (K) se procedează în modul următor:

Cristalul (K) se așează astfel ca muchia dintre cele două fețe (a și b), al căror unghi diedru vrem să-l măsurăm, să coincidă cu axa de rotație a discului gradat.

Se aduce cristalul, prin rotirea goniometrului, într-o astfel de poziție, ca o rază de lumină (în fapt un fascicol paralel îngust) care vine prin colimator de la o sursă (XS), să se reflecte pe fața (a) și să ajungă, prin lunetă la ochiul observatorului. Se citesc diviziunile existente pe disc și vernier.

Se rotește cristalul pînă cînd raza se reflectă pe fața următoare (b) și ajunge din nou, prin lunetă, la ochiul observatorului. Se citesc din nou diviziunile de pe discul gradat și vernier.

Unghiul de care s-a învîrtit cristalul de la o poziție la alta este unghiul dintre normalele la cele două fețe, deci suplimentul unghiului dintre fețele a și b (fig.18). În exemplul

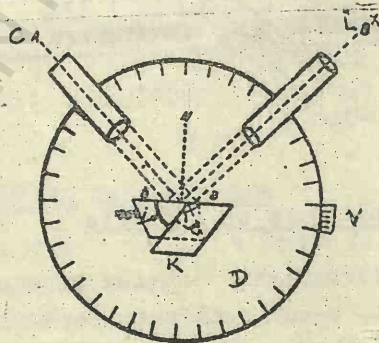


Fig. 17.

considerat, unghiul dintre normale este de 60° , iar unghiul dintre fețe, de 120° .

Unghiul dintre normale se mai numește și unghi exterior, iar cel dintre fețele diedre, unghi interior.

Pentru fețele următoare, paralele cu aceeași direcție, se continuă rotirea în același sens pînă la 360° , citindu-se diviziunile de cîte ori apare raza reflectată în cîmpul lunetei.

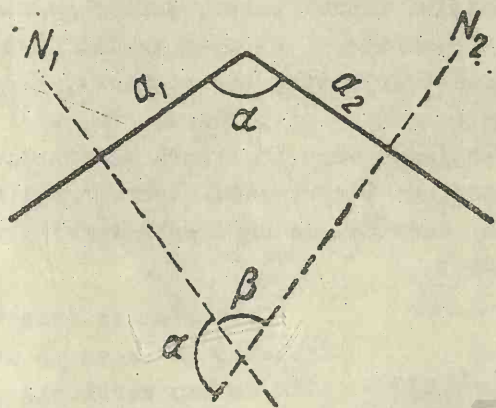


Fig. 18 a

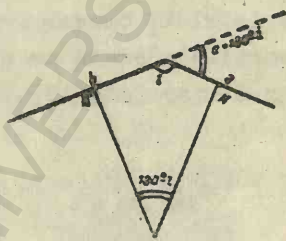


Fig. 18 b.

Pentru alte fețe, paralele cu alte direcții, se așează de fiecare dată cristalul cu cîte o muchie ce separă două fețe diedre în axa discului și se procedează la fel.

Pe același principiu s-au construit diferite tipuri de goniometre; unele cu discul vertical (Wollaston, Mallard), altele cu discul orizontal (Fuess, Malus, Babinet etc.).

Construcția lor s-a îmbunătățit continuu. De exemplu, a-a așezat sub cristal o oglindă, astfel ca să se primească două raze: una reflectată de oglindă, alta de fața de cristal. Apoi, a-a pus pe oglindă o sticlă colorată, astfel ca să se deosebească cele două raze etc.

- Goniometre de reflexie cu două discuri sau goniometre teodolit.

Operația de centrare a goniometrului este foarte di-

fiabilă iar în cazul goniometrului cu un singur disc, am văzut că trebuie să se repete această operație pentru fiecare serie de fețe cu normalele în același paln. Această dificultate a fost înlăturată prin construcția goniometrului cu două discuri, inventat independent, de către E.S.Fedorov (1889) și de către V.Goldschmidt (1890).

Bazate pe principiul teodolitului, aceste goniometre au ca părți principale componente: un disc gradat vertical (meridian) și un disc gradat orizontal (ecuatorial), ambele prevăzute cu vernier, un colimator și o lunetă. Pe axa cercului vertical se găsește un suport pe care se fixează cristalul. Cercul orizontal se învârtă în jurul axei sale verticale odată cu cercul vertical de care este legat printr-un stativ (fig.19).

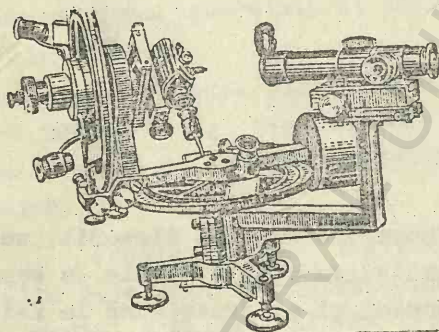


Fig.19.

Cristalul se așează astfel ca o axă a sa să coincidă cu axa verticală a cercului orizontal. Goniometrul este pus la punct atunci când axa orizontală a cercului vertical, axa colimatorului și axa lunetei se găsesc în același plan orizontal, intersectându-se între ele și cu axa cercului orizontal, respectiv axa cristalului, într-un punct de pe aceasta.

Pentru măsurarea unghiurilor, după ce s-a pus la punct goniometrul, se rotesc cele două cercuri pînă ce se prinde în lunetă raza care vine de la o sursă luminoasă (S_x) prin colimator și se reflectă pe fața de cristal de la care se pornește.

După ce se face citirea poziției inițiale, se rotește cercul vertical, în a cărui axă se găsește cristalul cu una din axele sale, pînă ce se prinde în câmpul lunetei, raza re-

flectată pe fața următoare. Se face citirea, determinându-se unghiul dintre normalele celor două fețe diedre.

Se continuă apoi operația pînă la rotirea completă, de 360° . Se măsoară astfel, succesiv, unghiurile dintre normalele la fețe, care se găsesc în același cerc vertical, deci a tuturor fețelor paralele cu fața inițială, care continuie o zonă de fețe, respectiv, zona a (fig.20).

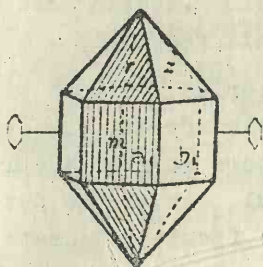


Fig.20.

Din poziția inițială (a_1) se rotește cercul orizontal pînă se prinde raza reflectată pe fața următoare (b_1) cu normala în alt plan vertical și din nou se procedează la rotirea cercului vertical, respectiv a cristalului ca și în cazul anterior.

Se obțin unghiurile dintre normalele la fețele din zona b.

Operațiile se continuă în felul acesta, pînă cînd se efectuează și cu cercul orizontal o rotire completă de 360° .

Uneori este nevoie să mai fie fixat odată cristalul, pe altă parte, pentru a măsura unghiurile fețelor paralele cu cele care au fost fixate pe suport.

2. 2. Polii fețelor de cristal. Coordonate polare

Dacă se consideră cercul orizontal și cercurile verticale după care se intersectează o sferă care înconjoară cristalul, planele normalelor la fețe apar ca meridianele globului pămîntesc; cercul orizontal, ca ecuatorul globului pămîntesc, iar cercurile mici paralele cu el, ca paralelele sale (fig.21).

Poziția normelor la fețe pe sferă, este determinată de intersecția meridianelor cu paralelele și se măsoară prin două unghiuri φ și ζ .

Punctul unde normala la o față de cristal întâlnește sfera se numește polul feței. Unghiul ψ se măsoară pe ceroul ecuatorial, începând de la meridianul de origine, aflat în planul desenului, de la dreapta spre stânga. Unghiul φ se măsoară pe meridianul care trece prin el, începând de la polul nord al sferei.

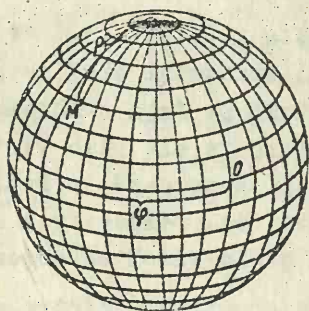


Fig. 21.

polul P, are o poziție determinată de coordonatele polare ψ și φ .

Unghiul ψ corespunde longitudinii geografice a polului de față, iar unghiul φ , complementului latitudinii sale geografice.

Unghiurile ψ și φ reprezintă coordonatele sferice ale fețelor de cristal, care au fost măsurate cu goniometrul. Din ele se pot calcula unghiurile făcute de aceste fețe între ele. În fig. 22 normala la fața de cristal considerată, având

În fapt pentru trecerea coordonatelor sferice se folosesc diagrame în care meridianele și cercurile paralele de pe sferă se proiectează într-un plan, formând așa numitele rețele stereografice.

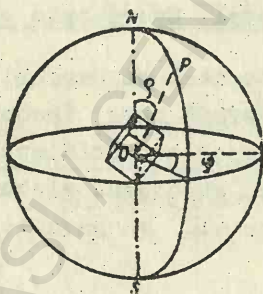


Fig. 22a.

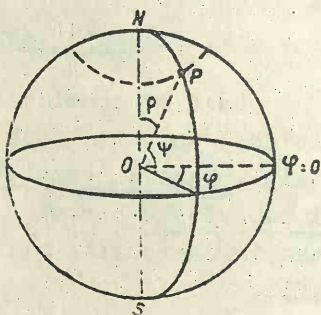


Fig. 22. b.

2.3. Proiecția stereografică a fețelor de cristal.

a. Principii. Și în această metodă, cristalul se consideră așezat în centrul unei sfere (fig.23) la care se iau trei diametre perpendiculare ca axe de coordonate: $y \bar{y}$ (orizontal), $z \bar{z}$ (vertical) și $x \bar{x}$ (perpendicular pe planul acestor două). Acestea sînt și axe de referință pentru cristalul considerat (axe cristalografice).

Proiecția stereografică se efectuează în două etape.
În primul rînd, se duce din centru normala la fața de cristal (a b c) și se prelungește aceasta pînă cînd înțeapă sfera în punctul P.

Aceasta nu-i decît proiecția sferică a feței, iar punctul P, este polul feței de cristal.

Coordonatele sferice ale polului feței de cristal sînt deci, cele determinate goniometric (γ și ξ).

În a doua parte a operațiunii, se ia cercul ecuatorial al sferei ca plan de proiecție și polul sud, \bar{z} , ca punct de vedere.

Punctul p, în care raza vizuală (proiectanta) $P\bar{z}$ înțeapă cercul ecuatorial, reprezintă proiecția polului feței de cristal. (23 a).

Mai departe, se rotește cercul ecuatorial de 90° în jurul axei $y \bar{y}$ astfel încît capătul pozitiv al axei x să ajungă în partea de jos, iar cel negativ, \bar{x} , în partea de sus. Cercul ecuatorial, cu proiecția p a polului feței (a b c), este astfel adus în planul desenului (fig. 23 b) El se numește cerc fundamental.

Aceasta este proiecția stereografică a feței de cristal.

Coordonata γ se măsoară pe cercul fundamental începînd din y , în sensul acelor de ceasornic, iar coordonata ξ , se măsoară din centrul, (Z), al cercului de proiecție, pe diametrul care trece prin punctul p.

Pentru fețele din emisfera inferioară se ia ca punct de vedere polul nord al sferei (Z) și se procedează la fel (fig.23 c).

Pe proiecție, polii din emisfera superioară se înseamnă cu + sau cu un cerc plin • iar cei din emisfera inferioară, cu un cerc gol ○.

Proiecția stereografică prezintă mai multe avantaje, între care:

- redă simetria cristalului;
- pe cercul de proiecție încap polii tuturor fețelor de pe orice cristal;
- unghiurile se proiectează în adevărata lor mărime;
- cercurile de pe sferă (care în fapt reprezintă intersecția planelor cu sfera), se proiectează tot ca cercuri. Cercurile mari, perpendiculare pe planul de proiecție, se proiectează ca diametre, care reprezintă arcele unor cercuri cu raza infinit de mare.

În fapt se lucrează cu rețelele stereografice de care am amintit mai sus.

O astfel de rețea este rețeaua lui Boldîrev, în care meridianele și paralelele, din două în două grade, se proiectează pe cercul ecuatorial (fig. 23 d), sau rețeaua lui Vulf în care meridianele și paralelele de același interval, se proiectează pe un meridian, situat în planul desenului, pe $y\bar{y}$, numit meridian de origine (fig. 23 e).

În ambele diagrame, coordonatele φ se măsoară începând din capătul din dreapta al diametrului orizontal al cercului fundamental, în sensul acelor de ceasornic, iar coordonatele λ , din centrul cercului fundamental pe diametrele sale perpendiculare.

În mod obișnuit se folosesc astfel de rețele cu diametrul de 20 cm. sau 10 cm.

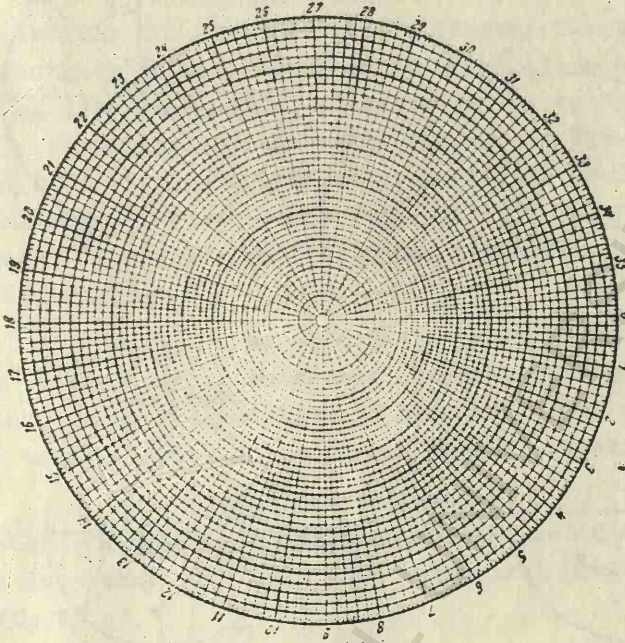


Fig. 23 d.

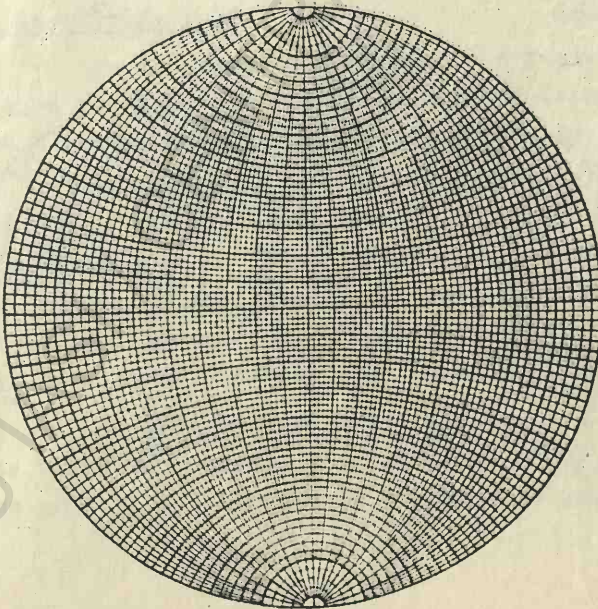


Fig. 23 e

Construcția rețelei Vulf

- Pentru construcția meridianelor se împarte cercul de origine din 2° în 2° și din fiecare diviziune se duc proiectantele în punctul de vedere \bar{Z} (polul sud al sferei) și se determină astfel intersecția lor cu diametrul orizontal. Toate meridianele trecând prin cei doi poli, nord și sud ($z \bar{Z}$) și prin aceste intersecții, nu rămâne decât să se ducă arcele de cerc care trec prin $z \bar{Z}$ și punctele de intersecție respectiv, pentru a avea proiecția fiecărui meridian (fig. 23 f).

- Pentru construcția paralelelor se consideră punctul de vedere în y și unindu-se fiecare diviziune de pe semicercul opus, cu y , se determină pe diametrul vertical proiecția unui al treilea punct de pe cercul paralel respectiv.

Prin diviziunea respectivă, prin intersecția astfel determinată și prin diviziunea simetrică din semicercul opus, se duc arcul de cerc care reprezintă proiecția paralelei (fig. 23 g).

c. Cum se trec proiecțiile polilor fețelor de cristal în rețeaua Vulf.

Toate operațiile se fac pe o foaie de hîrtie de calc, pe care se trasează cercul de origine (fundamental) și cele două diametre perpendiculare (orizontal și vertical).

Se suprapune hîrtia de calc cu desenul peste rețeaua Vulf.

Se numără pe cercul fundamental, începînd din capătul din dreapta al diametrului orizontal, notat cu φ_0 , în sensul acelor de ceasornic, diviziunile care dau valoarea unghiului φ și prin acest punct se duce un diametru al cercului (fig. 23 h)

Se rotește hîrtia de calc în jurul acului cu care este fixată în centru, pînă cînd diametrul trasat se suprapune cu unul din diametrele rețelei. Se numără pe acest dia-

metru, de la centrul care este originea unghiului φ , (φ_0) spre periferie, diviziunile corespunzătoare acestui unghi și se notează punctul respectiv cu $\varphi \varphi$ (fig.23 i).

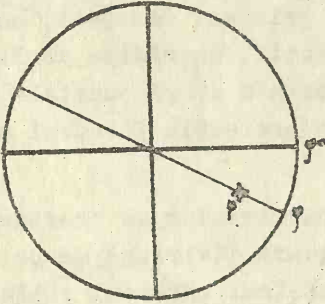


Fig. 23h.

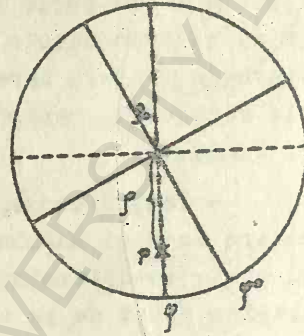


Fig. 23i.

2.

CRISTALOGRAFIE GEOMETRICA

A. FORMELE EXTERIOARE ALE CRISTALELOR.

V. S I M E T R I A C R I S T A L E L O R

1.SIMETRIA,NOTIUNE UNIVERSALA

Una din cele mai evidente proprietăți ale cristalelor este simetria; ea stă la baza clasificării corpurilor cristaline.

După cum am mai văzut, noțiunea de cristal era legată la început de formele poliedrice regulate pe care le îmbracă uneori mineralele. Chiar de la prima vedere, un asemenea cristal impresionează prin fețele perfect plane, prin muchile perfect drepte etc. și prin regularitatea așezării elementelor sale geometrice (fețe, muchi, colțuri), adică impresionează prin arhitectura sa exterioară ce variază după specia minerală căreia aparține.

Acest ritm exterior (Al.Codarcea), această construcție estetică a poliedrelor cristaline, este rezultatul repetării regulate a componentelor lor geometrice, care constituie simetria cristalelor (fig.24).

1.1. Simetria în natură

Simetria nu se întâlnește numai la cristale. Ea poate fi observată la un număr mare de plante (la flori, la fructe etc.), cum sînt de ex. liliaceele cu 3 petale, 3 sepale, 3 stamine de același fel; cruciferele, cu 4 asemenea elemente; ranunculaceele cu cîte 5, ș.a.d. (fig.25).

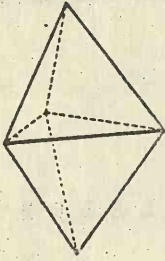


Fig. 24a

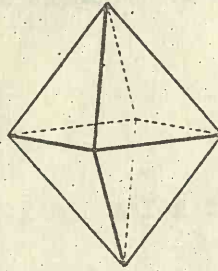


Fig. 24b

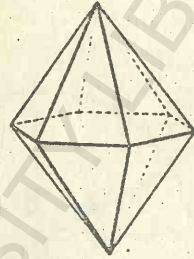


Fig. 24c

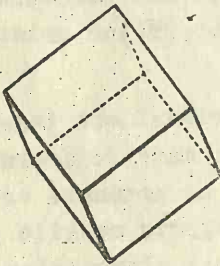


Fig. 24d

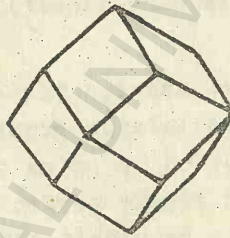


Fig. 24e

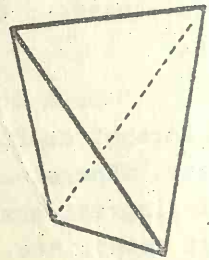


Fig. 24f.

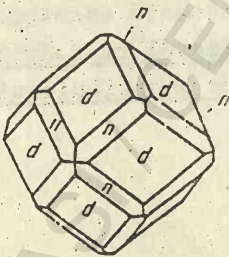


Fig. 24g.

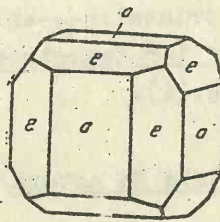


Fig. 24h

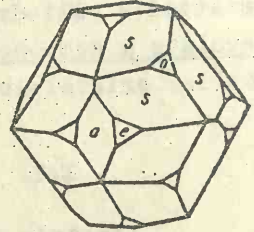


Fig. 24i

FORME VARIATE DE CRISTALE LA ACELASI MINERAL.

Formele cristalelor unei substanțe pot fi foarte variate, dar toate aceste forme au aceeași simetrie. Iată cum sînt prezentate într-un crochiu al lui N.Kokşarov 12 forme de cristale ale aceluiași mineral, granatul:

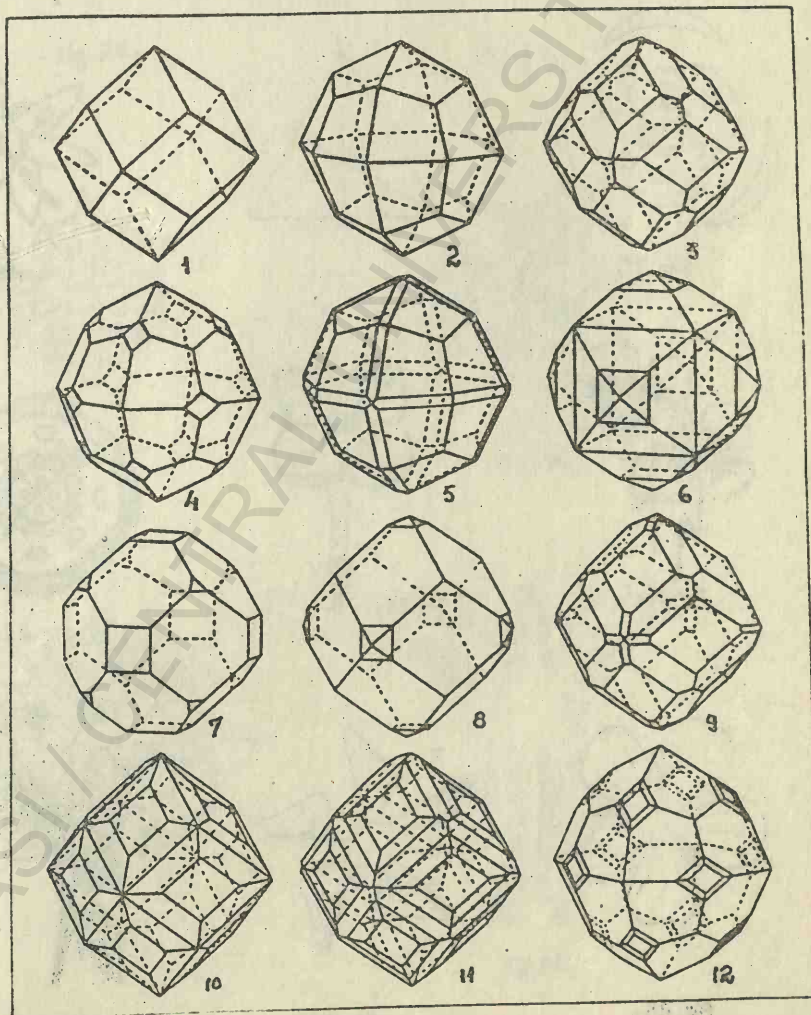


Fig. 24 1-12

SIMETRIA LA PLANTE



Fig. 251



Fig. 252



Fig. 253

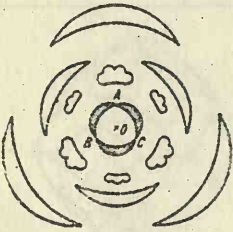


Fig. 254

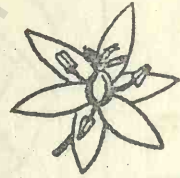
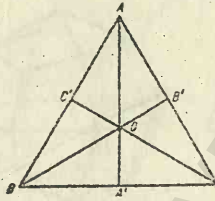


Fig. 256

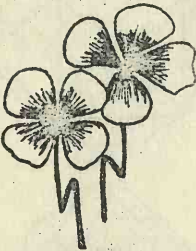


Fig. 257



Fig. 258

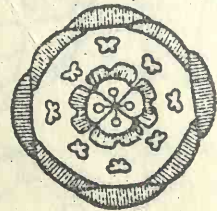


Fig. 259

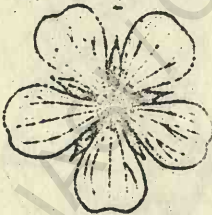


Fig. 260

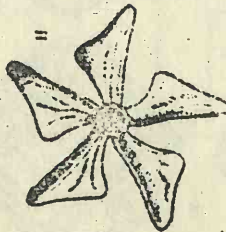


Fig. 261



Fig. 262

SIMETRIA LA ANIMALE

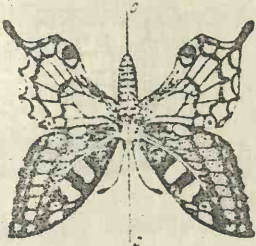


Fig. 261



Fig. 262



Fig. 265

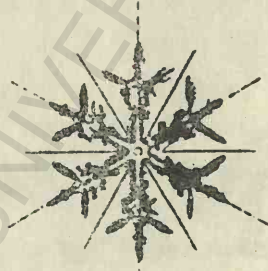


Fig. 263

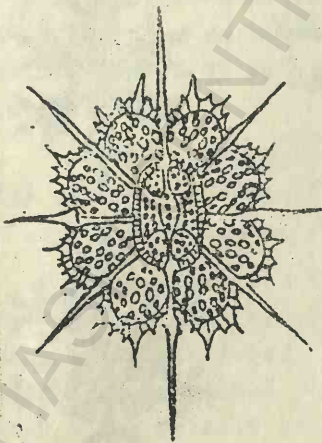


Fig. 268

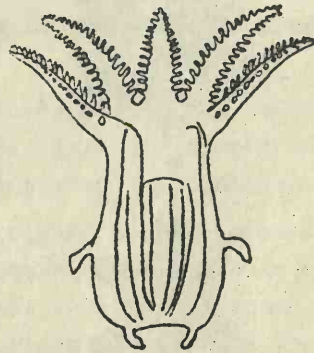


Fig. 266

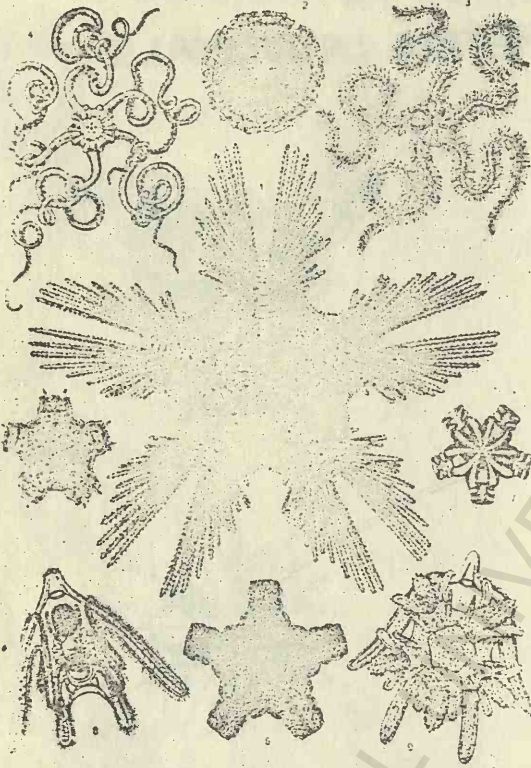


Fig. 26g

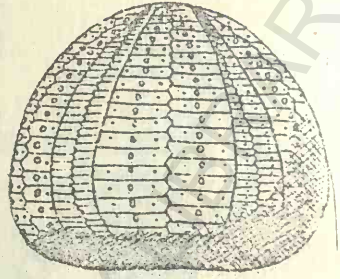


Fig. 26₄

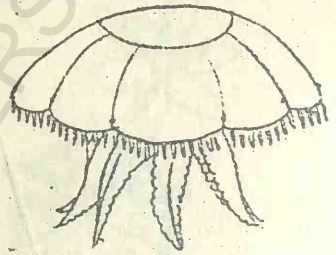


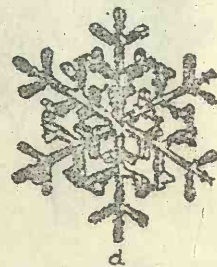
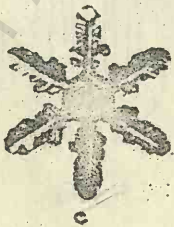
Fig. 26₇



FULGI DE ZĂPADĂ

Fig. 26₁₀

a, b, c, d.



Tot astfel de repetări simetrice pot fi observate și la animale c , de ex. radiolarele, meduzele, coralii, echinidele etc. și în deosebi în simetria bilaterală, atât de evident în structura animalelor superioare și în special a corpului omenesc. (fig.26).

1.2. Simetria în artă.

Simetria produce și un efect estetic ; este legată de frumos. De aceea a fost larg introdusă și dezvoltată în artă, în arhitectură și mai ales în artele decorative; tapetele, draperiile, stofele imprimate și alte desene decorative își produc efectul lor estetic tocmai datorită acestor repetări regulate care dau simetria (fig.27).

Intr-un înțeles mai larg, dar mai vag, noțiunea de simetrie exprimă "proporția", "armonia", "echilibrul". Ea depășește câmpul obiectelor spațiale și implică și aplicațiile ei acustice și muzicale etc. în afară de cele geometrice.

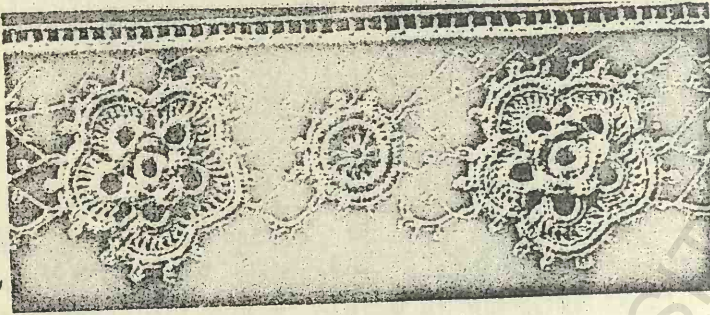
Omul a observat din cele mai veghi timpuri că există unele îmbinări ale elementelor din care sînt alcătuite plantele și animalele, unele repetări ale lor care duc la o simetrie.

Le-a imitat, le-a dezvoltat și le-a perfecționat, introducîndu-le în opera sa constructivă și în lucrările menite să-i îmbunătățească și să-i înfrumusețeze viața, în creațiile artistice.

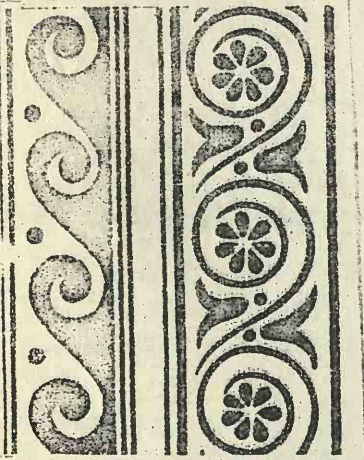
Din unele construcții străvechi, care s-au păstrat pînă astăzi, se vede că anumite legi ale simetriei au fost cunoscute și folosite de marii meșteri ai timpului.

În înțelesul de "proporție" a fost folosit termenul de simetrie, în cartea sa "Despre proporții", de către sculptorul grec din Argos, Polictet, care era apreciat pentru perfecțiunea armonioasă a sculpturilor sale și tot în acest înțeles - l-a folosit și marele pictor Dürer într-o lucrare despre proporțiile corpului omenesc din 1528.

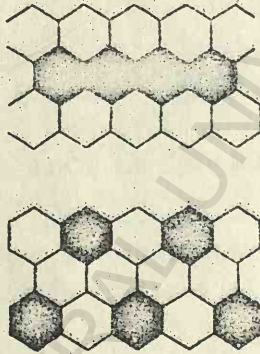
SIMETRIA IN ARTELE DECORATIVE



a



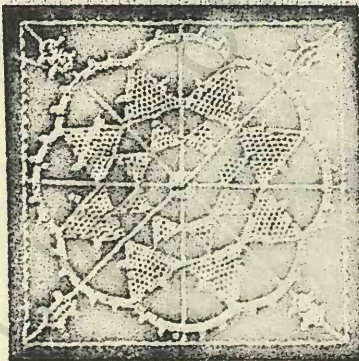
b



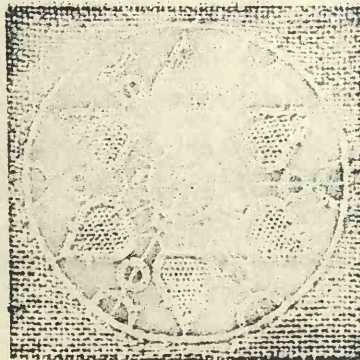
c



d

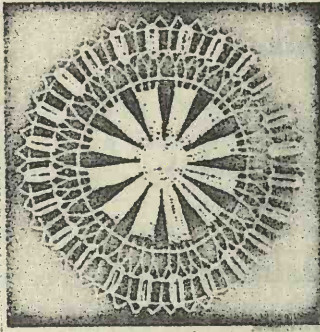


e

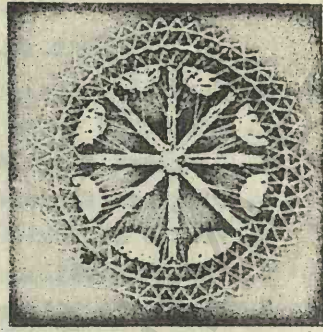


f

Fig. 27.



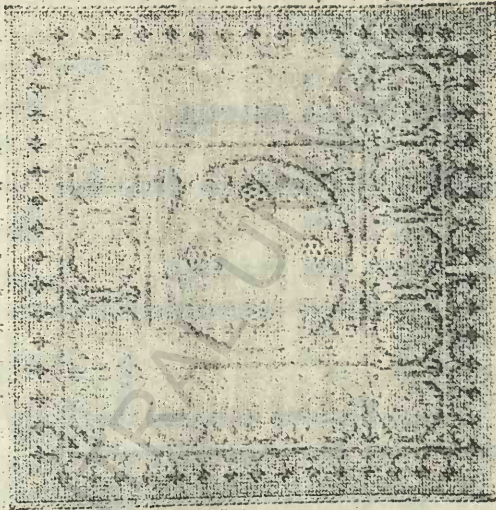
g



h



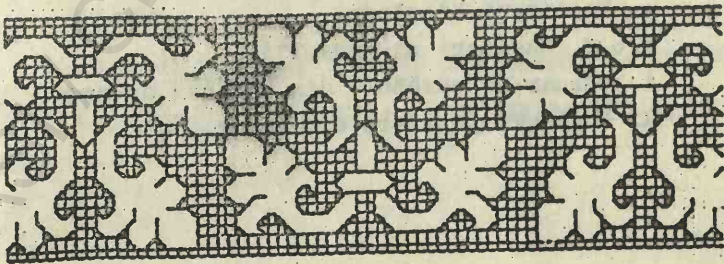
i



j



k



l

Fig. 27.

EXPLICATIA FIGURILOR 25, 26 și 27.

Simetria la plante.

25. 1. Capsulă de lălea.
2. Floare de iarba broaștelor.
3. Diagrama florală a bumbacului.
4. Diagrama florală a lălelei.
5. Floare de rugină.
6. Ferigă. *Marsilia quadrifolia*.
7. Floare de liliac.
8. Diagrama florii de aspidistra elatior.
9. *Geranium*.
10. *Vinca herbaceea*.
11. *Salvia albă*.

Simetria la animale.

26. 1.
2. Simetria bilaterală la fluturi.
3. Radiolar.
4. Echinide. *Oursin regulier*.
5. Hexacoralieri. *Astrocyantus paradoxus*.
6. Coral.
7. Meduză.
8. Radiolare. *Zonidium octothalium*.
9. Echinoderme din clasa Ophyodea.

Simetria în artele decorative.

27. d. Ornament maur.
b. Friză monumentală greacă.
c. Mozaicuri bicolore.
a, e, f. Cusături și broderii.
i. Chenar de cusături din Moldova de nord.
k. Cusături populare din Avrig.

1.3. Simetria, expresie a unei tendințe de echilibru

După cum am văzut, simetria apare ca un fenomen general, atât în lumea organică, cât și în cea anorganică. Ea pare să fie o lege generală a naturii și corespunde unei tendințe naturale de echilibru.

La viețuitoare, simetria duce la un echilibru vital.

La cristale, simetria exterioară, care nu-i decît o consecință a aranjării regulate a particulelor componente (atomi, ioni) din structura lor internă, simetria este o stare de echilibru a moleculelor fizice (fig. 28).

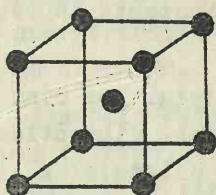


Fig. 28₁

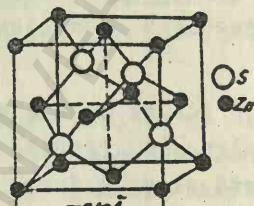


Fig. 28₂

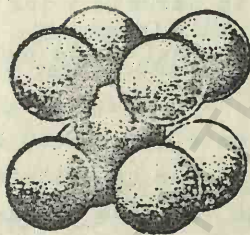


Fig. 28₃

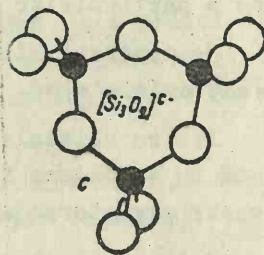


Fig. 28₄

1.4. Definiție. Simetria în general, poate fi definită ca repetarea regulată a unor componente de același fel.

1.5. Simetria la cristale

Intr-o concepție geometrică riguroasă noțiunea de simetrie a fost precizată mai întâi în cercetările moderne asupra cristalelor (R.J.Haüy 1815, J.Kessél 1830), asupra poliedrelor simetrice și asupra aranjării din structura internă (A. Bravais 1849, A.Godolin 1869) etc.

La cristale se deosebește o simetrie a formelor cristalografice, simetria externă a formelor poliedrice, a figurilor finite, care se traduce prin repetarea regulată a elementelor lor geometrice de același fel și o simetrie a structurilor interne, a figurilor infinite, care rezultă din repetarea regulată a particulelor lor componente în rețeaua cristalină.

Aceste două simetrii ale cristalelor sînt strîns legate între ele. Proprietățile vectoriale discontinue, care se manifestă și prin forma exterioară a cristalelor, sînt o consecință a structurii reticulare. Prin urmare, și simetria exterioară a poliedrelor cristaline este o consecință a aranjării regulate a particulelor materiale în structura lor internă.

De simetrie sînt legate cele mai multe proprietăți fizice ale cristalelor.

Pentru cristale, simetria este lege. Dacă ea nu se manifestă în totdeauna în cazul formelor exterioare, în ceea ce privește structura internă ea se verifică în toate cazurile.

Unii cristalografi studiază atît simetria poliedrelor cristaline, cît și simetria structurii interne a cristalelor în același capitol, cristalografia geometrică; alții studiază simetria structurii interne în capitolul de cristalochimie, iar alții în capitolul de cristalografie structurală.

Noi vom prezenta simetria structurii interne într-un asemenea capitol, după ce vom cunoaște simetria poliedrelor cristaline.

2. SIMETRIA POLIEDRELOR CRISTALINE

Simetria formelor cristalografice se realizează prin repetarea regulată a elementelor lor geometrice, în esență a fețelor de cristal și bine înțeles, a muchilor după care se intersectează aceste fețe și a colțurilor în care muchile sînt concurente. Această repetare se face cu respectarea strictă a legii constantei unghiurilor, a căror repetare intră deasemenea în definirea simetriei.

Așezarea regulată a fețelor care limitează forma exterioară, ca și a particulelor care compun structura internă a cristalului este consecința repetării lor în raport cu anumite elemente geometrice care se numesc elemente de simetrie, pe baza unor operațiuni corespunzătoare acestora, numite operațiuni de simetrie.

Simetria formelor cristalografice, ca și simetria structurii interne, de altfel, se realizează pe baza unor elemente simple de simetrie și a unor elemente de simetrie complexe, rezultate din combinarea acestora, prin aplicarea operațiunilor de acoperire simple sau complexe.

Elementele simple de simetrie ale poliedrelor sînt axele de rotire, planele de oglindire și centrul de inversiune sau, cum se mai numesc de obicei, axele, planele și centrul de simetrie.

Operațiile simple de acoperire care le corespund sînt, respectiv, rotirea, oglindirea și inversiunea.

Din combinarea elementelor simple respectiv a operațiunilor simple de acoperire, rotirea cu oglindirea sau rotirea cu inversiunea, rezultă axele complexe de simetrie.

Axele pot fi, prin urmare, sau axe simple sau axe complexe, dar în mod curent se numesc axe de simetrie axele simple, de rotire.

2.1. ELEMENTE SIMPLE DE SIMETRIE SI OPERATIUNI SIMPLE DE SIMETRIE SAU DE ACOPERIRE

a. Axele de rotire

Dacă privim o prismă cu baza patratică, prisma patratică sau tetragonală (fig.29), observăm de la prima vedere că cele patru fețe laterale identice sînt dispuse simetric în jurul unei direcții $A_4 A'_4$ care unește mijlocul fețelor de bază.

Considerăm prisma într-o poziție inițială (1) și supunînd-o unei rotiri complete în jurul direcției $A_4 A'_4$, vom constata că ea trece succesiv, la fiecare 90° prin patru poziții identice (1,2,3 și 4) care se suprapun sau se acoperă.

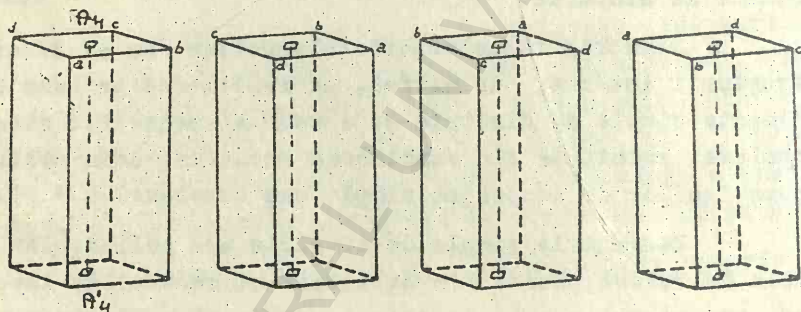


Fig.29.

Direcția $A_4 A'_4$, în jurul căreia sînt dispuse simetric cele patru fețe, este un element de simetrie și anume o axă de simetrie.

Operația pe baza căreia s-a produs repetarea regulată sau acoperirea succesivă a celor patru poziții identice, adică rotirea, este o operație de simetrie sau de acoperire.

Tot astfel se petrec lucrurile și în cazul unei rețele în care atomii ocupă colțurile unui paralelepiped elementar patratic. (fig. 30).

Axele de rotare sînt direcții în jurul cărora, prin rotirea completă, de 360° , a unei forme, aceasta capătă de n ori poziții identice cu poziția inițială.

Numărul n de poziții de acoperire se numește ordinul axei.

Unghiul de rotire pentru a se ajunge de la o poziție la alta se înseamnă de obicei cu litera α și este egal cu $\frac{360^\circ}{n}$.

Axele de rotire se mai numesc și gyre.

Ele se înseamnă prescurtat cu litere ; de obicei cu inițialele cuvîntului axă în limba respectivă, de ex. A din limba română, germană etc. Din limba franceză se mai înseamnă cu L de la "ligne de symetrie" (linie de simetrie). Unii cristalografi (școala cristalografică de la Moscova etc.) propun generalizarea acestei notații pe plan internațional, justificînd aceasta, atît prin nevoia uniformizării, cît și prin simplitatea grafică a acestei exprimări. Profesorul Mircea Savul, care a predat Cristalografia la Secția noastră de Geochimie, pînă în anul 1964, a introdus această notație și la noi.

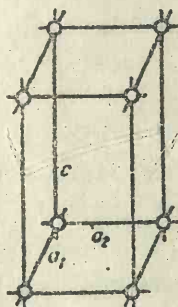


Fig. 30

Se mai folosește și inițiala cuvîntului gyră, G sau g.

La aceste litere se adaugă gradul sau ordinul axei, notîndu-se astfel cu A^n, A_n, G_n, L^n etc.

La cristale, datorită restricțiilor impuse de rețeaua cristalină nu pot exista decît axe de ordinul 2, 3, 4 și 6, respectiv L^2, L^3, L^4 și L^6 la care corespund unghiurile de rotație

$$\alpha = \frac{360^\circ}{2} = 180^\circ, \quad \alpha = \frac{360^\circ}{3} = 120^\circ, \quad \alpha = \frac{360^\circ}{4} = 90^\circ \text{ și}$$

$$\alpha = \frac{360^\circ}{6} = 60^\circ.$$

Axele L^2, L^3, L^4, L^6 se mai numesc respectiv, axe binare sau digire, axe ternare sau trigire, axe cuaternare

sau tetragire și axe senare sau hexagire.

În afară de acestea, orice direcție din cristal poate fi considerată ca axă de ordinul $l = L^1$, întrucât, în urma unei rotiri de 360° în jurul său, forma se suprapune peste poziția inițială. Axă L^1 sau monogira nu este însă o axă de simetrie și se folosește numai în unele deducții și demonstrații.

La un cristal pot exista în același timp mai multe feluri de axe, de ordine diferite și pot exista mai multe axe de același ordin, identice. Așa este în cazul prisme trigonale (fig. 31) care are o axă L^3 ce unește mijlocul fețelor de bază și trei axe identice L^2 , perpendiculare pe mijlocul acesteia și care unesc mijlocul fiecărei muchii laterale cu mijlocul feței opuse. Acestea se scriu L^3 $3L^2$.

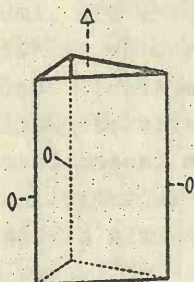


Fig. 31

Dacă la un cristal sînt mai multe axe de același ordin dar care ocupă pe forma cristalografică poziții diferite, se pot scrie separat. De exemplu, prisma ortogonală cu secțiunea rombică (fig. 32) are trei axe L^2 dar, una unește mijlocul fețelor de bază, rombigă, alta unește mijlocul muchiilor laterale opuse ale fețelor care fac un unghi diedru obtuz, iar a treia unește mijlocul muchiilor laterale opuse formate de fețele care fac între ele un unghi ascuțit.

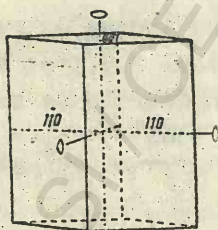


Fig. 32.

Se scriu separat: L^2 L^2 L^2 .

La cristalele care au axe de diferite ordine, axele de ordinul cel mai înalt se numesc axe principale, așa cum este de ex. L^3 la prisma trigonală.

În diagrame axele de simetrie se înseamnă punînd în capetele proiecțiilor lor niște semne care arată simetria respectivă:

$\bigcirc = L^2$, $\triangle = L^3$, $\square = L^4$ și $\diamond = L^6$.

De ce nu sînt posibile alte ordine de
axe la cristale

După cum am văzut în prima parte, ochiurile de rețea, paralelogramele elementare, trebuie să fie paralele, adiacente după laturi întregi și să umple spațiul în întregime, fără goluri.

În cazul axei de ordinul 5, nu se pot forma paralelograme din nodurile rețelei, iar pentagoanele regulate care se formează, avînd unghiurile de 108° , cifră care nu se cuprinde de un număr întreg de ori în 360° , nu se pot grupa în număr întreg în jurul unui colț, fără să lase goluri de altă formă între ele (fig. 33).

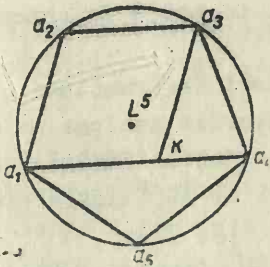


Fig. 33a

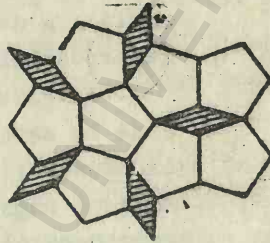


Fig. 33b.

La fel se întîmplă și în cazul axelor de ordin mai mare ca 6.

În lumea viețuitoarelor pot exista asemenea axe. Ex. ranunculaceele, rozaceele, apoi meduzele etc.

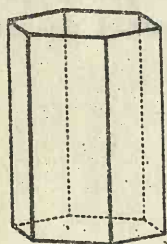
Forme ideale și deformațiuni cristaline

La cristalele reale, mai rar se întîlnesc forme poliedrice perfecte, ideale; mai frecvent, din cauza condițiilor în care acestea se dezvoltă, se întîlnesc aceste forme poliedrice, deformatate; ou fețe de același fel mai mult sau mai puțin dezvoltate. După cum am văzut însă, în conformitate cu

legea constantei unghiurilor, oricum s-ar desvolta, fețele își păstrează o poziție paralelă cu cea a formelor geometrice ideale.

În acest caz fețele, muchile și colțurile prin învîrtirea în jurul unei axe L^n , nu se mai suprapun perfect ca poziție în spațiu ca la formele geometrice ideale, ci, capătă numai orientări succesiv paralele, indiferent de distanța lor de axă.

Să luăm ca exemplu o prismă hexagonală (fig.34). La



forma regulată secțiunea este un hexagon regulat, ABCDEF. Această prismă admite o axă senară, L^6 . Prin rotirea formei de 60° în jurul acestei axe, prisma ajunge la poziția a doua, identică cu prima, perfect superpozabilă.

În cazul unei deformațiuni cristaline la care laturile analoge au dimensiuni diferite, fețele făcînd însă aceeași unghiuri de 120° între ele, secțiunea este un hexagon neregulat (fig. 35).

Prin rotirea de 60° în jurul axei L^6 , aceasta ajunge în a doua poziție, care nu mai este superpozabilă cu poziția

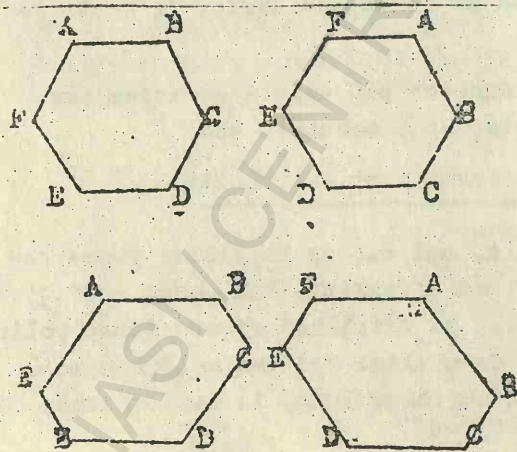


Fig. 35

primă. Fețele capătă, însă, orientări paralele, iar normalele la fețe, chiar poziții identice.

Pentru cristale deci, mai general și mai riguros, o axă de simetrie se definește ca o dreaptă în jurul căreia, prin rotirea cristallui de 360° , fețele capătă de n ori orientări identice cu orientarea inițială.

b. Planele de simetrie

Planul de simetrie este planul imaginar care taie forma poliedrică în două jumătăți care apar, una față de cealaltă, ca un obiect față de imaginea lui în oglindă.

Planul de simetrie este bisector și pentru toate proprietățile cristalului.

Operațiunea de acoperire este, în acest caz oglundirea și de aceea planele de simetrie se mai numesc, riguros, plane de oglundire.

Elementele geometrice ale poliedrului cristalin se repetă prin reflexie în partea opusă planului, dar, prin rotație, acestea nu se mai suprapun ca de obicei. Ex.fig.36.

Planele de simetrie corespund unor plane reticulare de mare densitate și de aceea ele sînt fețe posibile de cristal.

Ca și axele de simetrie, planele se înseamnă prescurtat cu litere care sînt de obicei inițialele cuvîntului plan în limba respectivă, ca P în limba română ș.a., E în limba germană (Eben) etc. În limba franceză se înseamnă cu litera m, inițialele cuvîntului miroir, oglindă.

Planele pot ocupa diferite poziții în cristale însă totdeauna trec, sau prin muchii sau prin mijlocul fețelor de cristal (fig. 37).

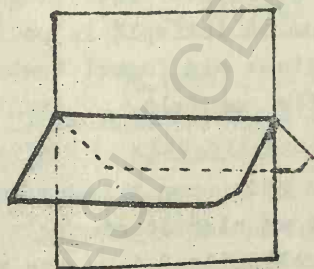


Fig.36.

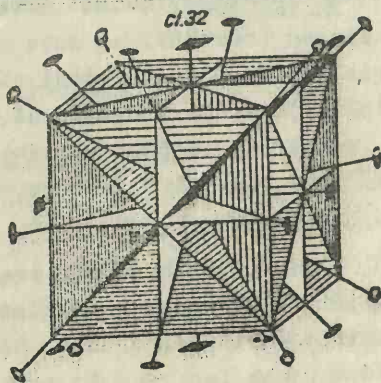


Fig.37.

Atunci cînd cristalul are și axe de simetrie, planele de simetrie trebuie, sau să fie perpendiculare pe acestea, sau să le conțină.

Planele perpendiculare pe axele principale se numesc plane principale și uneori se înseamnă cu litera grecească π .

În cazul axelor perpendiculare pe un plan, se mai obișnuiește să se scrie ordinul axei în partea dreaptă, sus, a literei P; pentru axele L^2, L^3, L^4, L^6 se scrie, respectiv, P^2, P^3, P^4, P^6 , dacă planul perpendicular pe axa de ordin superior nu-i însemnat cu π , ca plan principal.

Dacă sînt mai multe axe de ordinul 2 cu poziții diferite, de ex. L^2, L'^2, L''^2 în cazul prisme rombice, se indică aceasta și la planele perpendiculare respective, scriindu-se în cazul arătat:

$$L^2, L'^2, L''^2 \\ P^2, P'^2, P''^2.$$

În cazul cînd lipsesc axele perpendiculare pe plane, dar acestea ocupă poziții diferite în forma de cristal, se înseamnă ca și axele care lipsesc cu P, P', P'', fără însă să se scrie ordinul axei, ex. la piramida rombică (fig. 38):

$$L^2, L', L''.$$

La cristale, avînd în vedere și deformațiunile, care se întîlnesc frecvent, nu este necesar, în cazul planului de simetrie, ca una din jumătăți să se suprapună peste imaginea celeilalte jumătăți din oglindă, cum se întîmplă la poliedrele geometrice ideale. Fețele repetate ale formei trebuie însă să aibă aceeași orientare, să fie paralele cu imaginea lor în oglindă.

Dacă luăm din nou ca exemplu secțiunea transversală a unei prisme hexagonale regulate și un plan de simetrie P care taie această formă (fig. 39), colțurile B, C, D, se vor suprapune peste imaginea în oglindă a punctelor A, F, E. Nu

Lași lucru se va întâmpla însă, în cazul unei deformări cristaline, a unei prisme hexagonale neregulate (fig.40) Aici, colțul B al cristalului nu se mai suprapune peste imaginea în oglindă A' a colțului A și de asemenea nici colțul C peste F' și nici D peste E'.

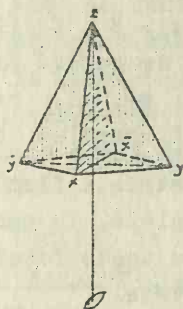


Fig. 38.

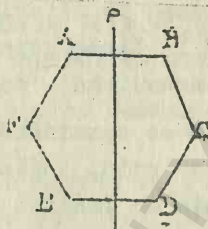


Fig. 39.

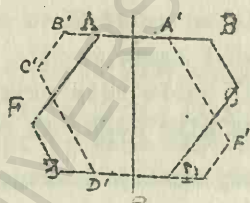


Fig. 40.

Totuși se vede că fața reprezentată prin BC este paralelă cu imaginea A' F' și la fel CD este paralelă cu F'E'. P este deci un plan de simetrie în sens cristalografic.

Pentru cristalele reale, un plan de simetrie este un plan imaginar care împarte forma în două părți, astfel că una din ele are fețele paralele cu imaginea în oglindă a fețelor celeilalte părți.

c. Centrul de inversiune

Un punct din interiorul cristalului, față de care toate elementele geometrice ale formei se repetă în partea opusă la distanță egală, este un centru de simetrie.

Dacă luăm un punct A (fig. 41) și vrem să-i determinăm simetricul său față de centrul de simetrie C, unim acest punct cu centrul de simetrie și apoi prelungim dreapta AC în sens invers față de centru și la distanță egală, până într-un alt punct, B, care este simetricul lui A.

După cum vedem, operațiunea prin care se face repetarea, este inversiunea. De aceea, centrul de simetrie se mai numește și centru de inversiune.

Și centrul de simetrie se înseamnă cu inițiala cu vîntului centru în diferite limbi (C în limba română și franceză, Z în limba germană etc.) și tinde să se însemne, pe plan internațional, cu litera C.

Dacă se consideră trei puncte, A, B, C (fig.42), care după cum știm, definesc un plan, și se repetă prin inversiune față de centrul C, punctele A', B', C', rezultate vor defini de asemenea un plan care va fi paralel cu primul.

La un cristal cu centru de simetrie, C, fiecărei fețe trebuie să-i corespundă o altă față paralelă, în partea opusă și invers, poliedrele cristaline care au toate fețele paralele, două câte două, au centru de simetrie.

Bipiramida tetragonală (fig.43) care are fețele paralele două câte două, are centru de simetrie, pe cînd bipiramida trigonală (fig.44) care nu are fețe paralele, nu are centru de simetrie.



Fig.41.



Fig.42.

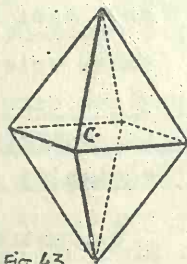


Fig.43.

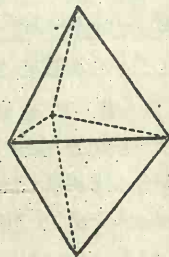


Fig.44.

Ca să existe centru de simetrie, este necesar ca toate fețele să fie paralele două câte două. La prisma tragonală (fig. 45), care are centru de simetrie, toate fețele sînt paralele două câte două, pe cînd la prisma trigonală, care are numai bazele paralele (fig. 46), fețele laterale fiind neparalele, lipsește centrul de simetrie.

Față de centrul de simetrie sînt simetrice și toate proprietățile cristalului.

La cristalele reale nu este nevoie ca elementele geometrice, respectiv punctele care le definesc, să fie situate la distanțe egale de simetricile lor față de centrul de inversiune.

Centrul de simetrie se definește aici ca un punct față de care, oricărui punct al cristalului, îi corespunde, în partea opusă, un punct analog și în consecință, oricărei fețe de cristal îi corespunde în partea opusă o față analogă paralelă.



Fig. 45.

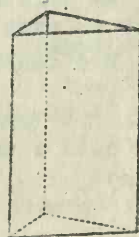


Fig. 46.

2.2. ELEMENTE COMPLEXE DE SIMETRIE SI OPERATIUNI COMPLEXE DE SIMETRIE

În unele cazuri, elementele geometrice ale poliedrelor cristaline se repetă simetric numai în urma unor operațiuni complexe de simetrie, rezultate prin combinarea cîte

două a operațiunilor simple pe care le cunoaștem, numai în urma operațiunilor complexe de rotire-oglundire și de rotire inversiune. Evident că cele trei operațiuni simple de simetrie, rotire oglundire, inversiune, pot fi combinate câte două în trei moduri, dînd deci naștere și unei a treia operațiuni complexe, oglundirea-inversiunea. Această combinație însă, este echivalentă cu o rotire simplă în jurul axei L^2 , perpendiculară pe planul component și deci nu duce la un element nou de simetrie, specific.

Celelalte două combinări duc însă la elemente noi de simetrie, complexe și anume: axa de rotire-oglundire și axa de rotire-inversiune numită adesea simplu, axă de inversiune.

a. Axele de rotire-oglundire

Axa de rotire oglundire este o direcție în jurul căreia, în urma unei operațiuni complexe de simetrie, compusă dintr-o rotire $\alpha' = \frac{\alpha}{2}$ urmată de oglundirea într-un plan perpendicular pe axă, elementele geometrice ale cristalului se repetă alternativ de câte n ori, cu poziții identice, de-o parte și de alta a planului component.

Așa sînt de ex. dispuse colțurile unui romboedru, de-o parte și de alta a unui plan perpendicular pe axa de ordinul 3 (fig. 47), ca și la cub (47b)

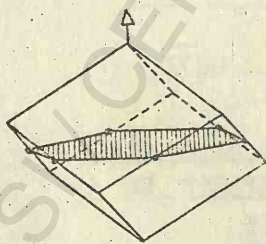


Fig. 47a

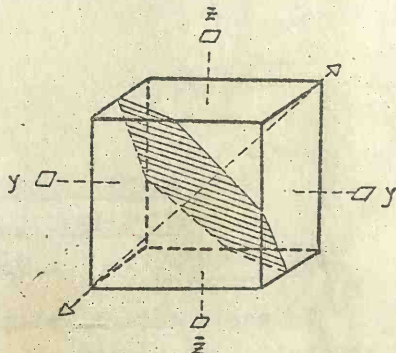


Fig. 47b.

Cele două operațiuni simple componente se efectuează simultan și constituie o singură operațiune complexă de simetrie. Unghiul de rotire α' , după care se compun cele două operațiuni simple, ca și unghiul α de la axele simple de simetrie și din aceleași motive, nu poate avea decât valorile de 60° , 90° , 120° și 180° .

Unii autori stabilesc ordinul axei de rotire-oglin-dire după unghiul pe care l-am însemnat noi cu α' și deci consideră că sînt axe de rotire-oglin-dire de ordinele $n'=6, 4, 3$ și 2 .

Aceste axe mai sînt denumite și giroide; prin urmare, în sensul arătat, se numește hexagiroidă axa de ordinul $n'=6$, tetragiroidă, axa de ordinul 4 , trigirioidă, axa de ordinul 3 și digirioidă, axa de ordinul 2 . Ele se notează, respectiv, cu \bar{G}_6 , \bar{G}_4 , \bar{G}_3 , și cu \bar{G}_1 pentru monogiroidă.

Ținînd seama însă de faptul că numărul pozițiilor identice ale elementelor geometrice repetate în jurul axei de fiecare parte a planului, este egal cu $\frac{360}{\alpha}$, axa cu rotirea elementară de compunere a celor două operațiuni, $\alpha'=60^\circ$, de exemplu, este o axă ternară. Repetarea de-o parte și de alta a planului se face numai de cîte trei ori.

Tot așa, axa cu rotirea elementară $\alpha'=90^\circ$ după care elementele geometrice se repetă alternativ de fiecare parte a planului numai de două ori, după unghiul $\alpha=180^\circ$, este o axă binară.

Bine înțeles că, într-o singură rotire completă, unghiul $\alpha = 2\alpha'$, nu poate duce la o repetare decât pentru valorile de 120° și 180° , deci nu putem avea, în acest mod, decât axele de rotire-oglin-dire de ordinul $n = \frac{360^\circ}{120^\circ} = 3$ și $n = \frac{360^\circ}{180^\circ} = 2$, respectiv, cu $n' = \frac{360^\circ}{60^\circ} = 6$ și $n' = \frac{360^\circ}{90^\circ} = 4$.

Axele de rotire oglin-dire se notează în mod obișnuit, punînd amîndoi acești indici; cel mic sus și cel mare jos, în dreapta literei cu care se notează axele, L_n^n , sau L_{2n}^n , de ex. L_6^3 și L_4^2 ori A_6^3 și A_4^2 . Unii cristalografi mai notează

aceste giroide cu A^6 , A^4 ,

Grafic, axa L_6^3 se reprezintă cu un triunghi înscris într-un hexagon \bigcirc , iar axa L_4^2 , printr-o formă lenticulară (semnul axei L^2) înscris într-un patrat, \square

Compunerea celor două operații după rotirea elementară $\alpha' = 120^\circ$ și $\alpha' = 180^\circ$ duce la rezultate echivalente cu cele obținute prin alte operațiuni de simetrie, simple.

Pentru ilustrarea celor de mai sus, vom considera un punct, pe care îl vom repeta prin rotire-ogindire, după fiecare din cele patru unghiuri elementare $\alpha' = 60^\circ$, $\alpha' = 90^\circ$, $\alpha' = 120^\circ$ și $\alpha' = 180^\circ$.

Axa L_6^3 , corespunzătoare unghiului $\alpha' = 60^\circ$.

Luăm o axă verticală (fig.48) pe capetele căreia trăsăm perpendicular, drepte care fac între capetele lor unghiuri de 60° , iar perpendicular pe mijlocul axei considerăm un plan de simetrie.

Luând acum un punct în poziția 1 și efectuând prima parte a operației complexe, rotirea de 60° , în sens invers celui al acelor de ceasornic, punctul va ajunge într-o poziție intermediară, $1'$.

Efectuând a doua parte a operației complexe, ogindirea în planul perpendicular, punctul va ajunge în poziția 2. Continuând operația în același sens, el va trece succesiv, prin poziția intermediară $2'$, ajungând în poziția 3; prin poziția intermediară $3'$, în poziția 4; prin poziția intermediară $4'$, în poziția 5; prin poziția intermediară $5'$ în poziția 6 și prin poziția intermediară $6'$, în poziția inițială (1).

Vedem că cele trei poziții identice pe care le ocupă punctul în capătul superior al axei din 120 în 120 de grade (1,3,5) sînt decalate față de analogele lor din jurul capătului inferior al axei (2,4,6), de cealaltă parte a planului, cu 60° .

parte a operației complexe), ajunge în poziția 2. Continuând operația complexă, punctul va trece prin poziția de tranziție 2' și va ajunge în poziția 3; va trece apoi prin poziția de tranziție 3' și va ajunge în poziția 4, iar apoi, trecând prin poziția de tranziție 4' va ajunge în poziția inițială (1), în încheierea rotirii complete.

Așa este, de ex., cazul tetraedrului (fig. 51 a). Prin rotire în jurul axei L^2 de $\frac{\alpha}{2} = 90^\circ$ forma trece în poziția (b), iar în poziția identică cu poziția inițială (a), ajunge după o oglindire în planul perpendicular, poziția (c). Si aici planul perpendicular pe axă este un plan de simetrie alternă; după o rotire de α'^0 , o jumătate a formei capătă o poziție de

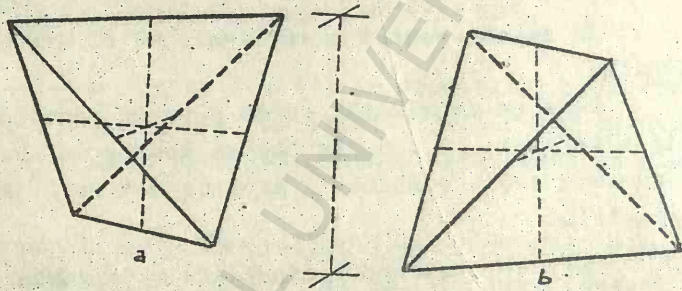


Fig. 51.

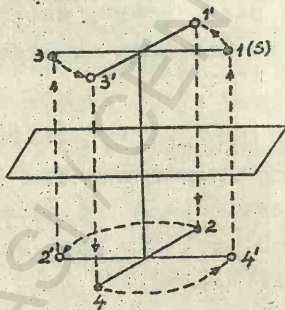


Fig. 50.

ogîndire față de cealaltă jumătate (fig. 52).

În cazul rotirii elementare $\alpha' = 120^\circ$

Construim același sistem ca și în cazul axei de rotire ogîndire L_6^3 (fig. 53).

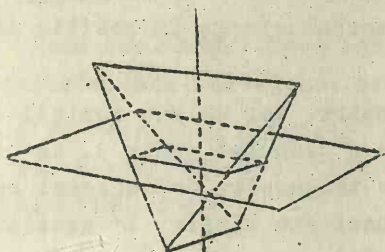


Fig. 52a

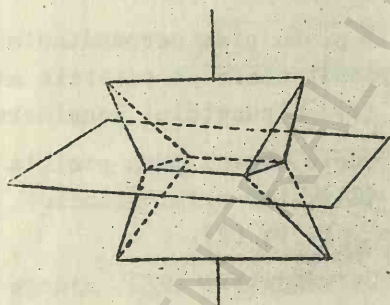


Fig. 52b

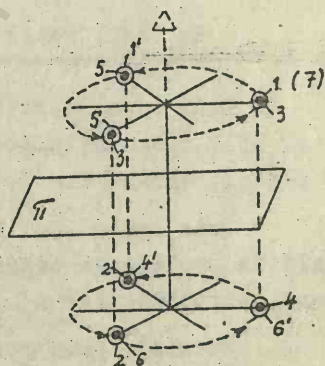


Fig. 53

Din poziția 1, punctul considerat trece prin poziția intermediară $1'$ la 120° și se ogîndește în poziția 2.

Prin rotire, mai departe, punctul trece din poziția 2 în poziția $2'$ de unde se ogîndește în 3.

De aici, prin rotire, ajunge din nou în poziția 1, care este însă de data aceasta, o poziție de tranziție $3'$ și

mai departe, punctul ajunge, prin oglindire în poziția 4. De aici, prin rotire, trece prin poziția de tranziție 4'; care fusese deja poziția 2 și ajunge prin oglindire în poziția 5, care se suprapune cu poziția de tranziție 1'. Trecând, prin rotire în poziția de tranziție 5', care se suprapune cu poziția 3, ajunge prin oglindire în poziția 6, peste poziția de tranziție 2'.

Prin poziția de tranziție 6' ce se suprapune cu poziția 4 și prin oglindire, punctul ajunge în poziția inițială.

S-a terminat a doua rotire, iar cele 6 poziții sînt dispuse, de-o parte și de alta a planului, câte 3, ca și cînd ar ocupa colțurile unei prisme trigonale, ori aceeași repetare, se produce și în cazul unei axe simple L^3 asociată ca un plan perpendicular π (fig.54).

In cazul rotirii elementare $\alpha' = 180^\circ$

Luăm o axă verticală L^2 și un plan perpendicular (fig. 55). Ducem cele două perpendiculare pe capetele axei și plecăm iarăși din poziția (1) a punctului considerat.

Prin rotire de 180° , punctul trece prin poziția inițială în poziția de tranziție (1'), iar prin oglindire în planul perpendicular ajunge în poziția (2).

De aici, prin poziția de tranziție (2'), ajunge în poziția inițială.

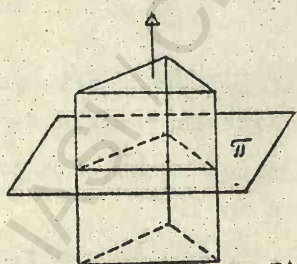


Fig. 54.

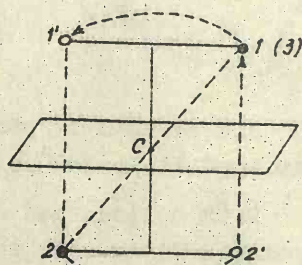


Fig. 55.

Exact același rezultat se obține și dacă se repetă punctul din poziția (1) prin inversiune față de un centru de simetrie; nu avem deci un element nou de simetrie, complex.

În cazul rotirii elementare $\alpha' = 360^\circ$

Procedînd în mod asemănător (fig. 56), punctul din poziția (1), în urma unei rotiri complete, trece din nou prin poziția inițială, acum de tranziție (1'), de unde prin oglindire în plan, ajunge în poziția (2), ca și cînd ar fi suferit o operație simplă de oglindire.

Axa complexă de rotire-oglindire L_1^1 este echivalentă cu un plan P.

Avem deci numai două axe de rotire-oglindire care dau rezultate caracteristice: axa L_6^3 și L_4^2 .

Pentru a fi deosebite de axele de inversiune de același ordin considerăm rezonabil să se indice oglindirea din operația complexă, notînd axele cu L_6^3 și L_4^2 .

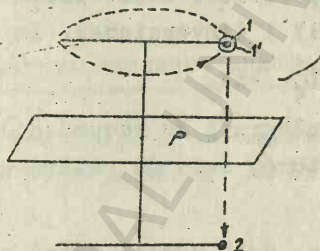


Fig. 56.

b. Axele de inversiune

Acestea sînt direcții în jurul cărora elementele geometrice ale cristalului se repetă pe baza unei operațiuni de simetrie compusă dintr-o rotire $\alpha' = \frac{\alpha}{2}$, urmată de inversiunea în partea opusă, față de un centru de simetrie.

Ca și în cazul axelor de rotire-oglindire, cele două operațiuni simple componente se efectuează simultan, constituind o singură operație - complexă - de simetrie.

De asemenea, unghiurile elementare de rotire, după

care se compun cele două operații, nu pot avea decît valori de 60° , 90° , 120° și 180° . Ele se înseamnă tot cu α' , avînd jumătate din valoarea unghiurilor care corespund axei de rotire componente, de unde, notarea lor cu Gi_1 , Gi_2 , Gi_3 , Gi_4 și Gi_6 sau cu J^1 , J^2 , J^3 , J^4 , și J^6 .

Punctele situate de-o parte sau de alta a axei se repetă în jurul acesteia după unghiul α de n ori; fiecare punct însă, în raport cu axa complexă, se repetă alternativ, de-o parte și de cealaltă a axei, după unghiul $\alpha' = \frac{\alpha}{2}$, deci de $n' = 2n$ ori ca și în cazul axei de rotire-ogîndire.

Si în cazul acesta axele s-ar putea nota cu L_n^n , = L_{2n}^n de ex. L_6^3 și L_4^2 . Pentru a le deosebi însă de axele de rotire ogîndire este necesar să rezulte din notație operațiile componente specifice. Acest lucru se realizează prin introducerea literii i (inversiune). În exemplele de mai sus, L_{6i}^3 și L_{4i}^2 , L_6^1 și L_4^1 etc.

Unii cristalografi nu recunosc decît existența axelor complexe de inversiune, cele de rotire-ogîndire fiind echivalate cu acestea.

De asemenea, unii numesc numai aceste axe ca giroide, pe cînd alții numesc giroide, toate axele complexe.

Pentru a înțelege mai bine modul cum se repetă elementele geometrice ale unui poliedru cristalin în raport cu axele de inversiune, precum și unele echivalente ale lor cu alte elemente de simetrie, vom considera și aici un punct inițial, pe care îl vom supune operației complexe respective, pentru toate valorile posibile ale unghiului α' .

Axa L_{6i}^3 corespunzătoare unghiului $\alpha' = 60^\circ$

Luăm deci, o axă verticală L_6^6 , pe capetele căreia ducem perpendicular, trei direcții, la 120° una de alta, iar pe mijlocul dreptei considerăm un centru de simetrie (fig.57).

Efectuind prima parte a operațiunii complexe, rotirea de 60° a punctului din poziția (1), acesta trece la poziția de tranziție (1'). Continuând operația complexă cu a doua parte, inversiunea față de centrul de simetrie, punctul va ajunge în poziția (2). În continuare, punctul, trecând prin poziția (2') va ajunge în poziția (3); trecând apoi prin poziția (3'), va ajunge în poziția (4); prin poziția (4') va ajunge în poziția (5) și prin poziția (5') în poziția (6).

Dacă se continuă operația, prin poziția (6'), punctul va ajunge în poziția inițială. Așa se întâmplă de ex. cu colțurile prizmei trigonale (fig.58).

După cum vedem, cele trei poziții din partea superioară (1,3,5) sînt dispuse față de celelalte trei (2,4,6) ca și în cazul axei de rotire-ogîndire cu unghiul elementar de rotire de 120° , simetrie față de axa terenară simplă și față de un plan perpendicular de ogîndire ($L^3 \pi$).

Axa L^2_{4i} corespunzătoare unghiului $\alpha' = 90^\circ$

Luăm o axă verticală L^4 pe capetele căreia ducem oîte două perpendiculare și considerăm, în mijlocul axei, un centru de simetrie (fig.59).

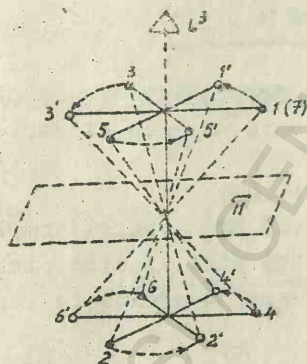


Fig. 57.

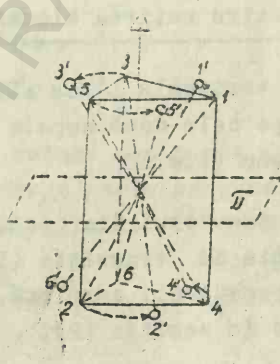


Fig. 58

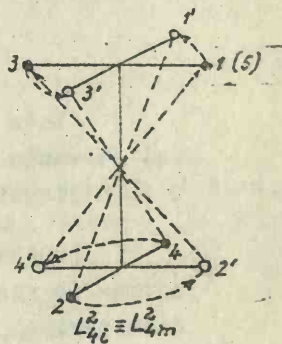


Fig. 59.

Efectuând operațiile corespunzătoare, punctul, din poziția (1), trece prin rotire de 90° în poziția de tranziție (1') și apoi, prin inversiune față de centru, în poziția (2). De aici prin rotire, trece în poziția (2'), iar apoi, prin inversiune, în poziția (3). Prin rotirea, mai departe, ajunge în poziția (3') și prin inversiune în poziția (4).

Operația de rotire inversiune se încheie trecând prin rotire punctul în poziția de tranziție (4') și de aici prin inversiune, în poziția inițială.

După cum vedem, ca rezultat al operațiunii complexe de rotire-inversiune, punctul a căpătat două poziții identice pe o direcție normală la axă (1,3) de-o parte și două poziții identice, pe o direcție perpendiculară, de cealaltă parte a axei (2,4).

Același efect s-a produs și prin operația de rotire-ogindire, după același unghi, $\alpha = 90^\circ$. Ca exemplu am dat tetraedul.

Axele de rotire-ogindire L_{4m}^2 și de inversiune, L_{4c}^2 , sînt echivalente.

Pentru rotirea elementară $\alpha' = 360^\circ$

Luăm o verticală L^1 cu cîte o perpendiculară în planul desenului pe cele două capete și un centru de simetrie C în mijlocul său (fig.60).

Supunînd punctul din poziția (1) unei rotiri complete, ajunge în poziția de tranziție (1') tot aici; făcînd, în a doua parte o operațiunii complexe, inversiunea față de centru va ajunge în poziția (2).

Vedem că operațiunea complexă de rotire-inversiune este echivalentă cu o inversiune simplă, axa de inversiune L_{11}^1 este echivalentă cu un centru de simetrie, C.

Pentru rotirea elementară $\alpha' = 180^\circ$

Plecăm de la același desen, tot din poziția 1 și rotim punctul în jurul axei verticale până în poziția 1' la 180° . De aici, făcând inversiunea prin centru, se ajunge în poziția finală 2.

Repetarea după L_{11}^1 duce la același rezultat ca și repetarea după un simplu plan^{de} simetrie P (fig.60 c).

Si axe de inversiune se limitează așa dar numai la două = L_{61}^3 și L_{41}^2

c. Echivalări

Intre axele de rotire-ogindire și cele de inversiune, ca și între ambele giroide și elementele de simetrie simple, se pot stabili următoarele echivalențe:

$$\bar{G}_1 = G_{i_2} = P$$

$$\bar{G}_2 = G_{i_1} = C$$

$$\bar{G}_3 = G_{i_6} = L_{31}^3 = L_{61}^3$$

$$\bar{G}_4 = G_{i_4} = L_{41}^2 = L_{4m}^2$$

$$\bar{G}_6 = G_{i_3} = L_{61}^3 = L_{6m}^3$$

Ca formă de notare se poate folosi la fel de bine, pentru uniformizare, ca la notarea gyrelor, litera L în locul literei G și în cazul giroidelor, deci : L_1, L_2, L_3, L_4, L_6

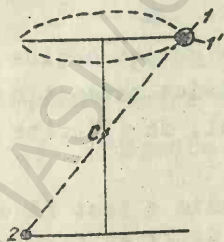


Fig. 60 a

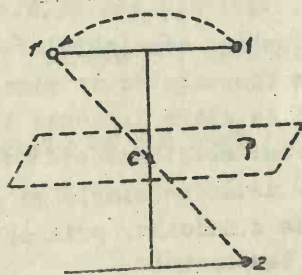


Fig. 60 b.

Data fiind echivalența axelor L_{4m}^2 , de rotire-oglin-dire și L_{4i}^2 , de inversiune, în cazul poliedrelor cristaline și pentru simplificare, se obișnuște să se noteze ambele axe simplu L_4^2 , ca și axele L_6^3 de rotire-oglin-dire, notându-se numai axele de inversiune L_6^3 cu L_{6i}^3 .

3. ASOCIEREA ELEMENTELOR DE SIMETRIE

CLASE DE SIMETRIE

Mai rar, se întâlnesc poliedre cristaline fără nici un element de simetrie.

Se întâlnesc însă, mai frecvent, cristale cu un singur element de simetrie.

În cristalele cu mai multe elemente de simetrie se constată că acestea sînt asociate după anumite reguli.

Ținînd seama de legile cristalografice și prin aplicarea acestor reguli, numărul combinațiilor posibile ale elementelor de simetrie este foarte limitat. De multe ori se ajunge la aceeași grupare de elemente de simetrie prin combinații diferite, așa cum am văzut că se întîmplă și la obținerea elementelor complexe de simetrie.

Totalitatea elementelor de simetrie constituie "simetria cristalului" și poate fi exprimată printr-o formulă de simetrie. Există 32 de clase de simetrie, în care se încadrează toate cristalele naturale și artificiale și tot atîtea formule de simetrie. Fiecare clasă are formula sa de simetrie.

Numărul combinațiilor posibile, care se pot obține din asocierea elementelor de simetrie, a fost dedus matematic, mai întîi de către I. Kessel în 1830 și apoi, în diferite moduri, de mai mulți cercetători.

O deducere simplă și acceptată unanim a fost făcută în 1867 de A. Gadolin, prin aplicarea unei serii de teoreme relative la simetrie.

3.1. DEDUCEREA CELOR 32 CLASE DE SIMETRIE

Teoreme de asociere a elementelor de simetrie

Pentru a stabili simetria celor 32 de clase, vom pleca și noi de la axele cunoscute, incluzând în rîndul axelor de rotire și axa L^1 , iar dintre giroide, luînd în considerație numai axele de inversiune.

Clasele care au în formula de simetrie numai aceste axe (cu excepția axei L^2), vor fi numite clase primitive. De asemenea, vom pleca și de la o grupă de axe, $3L^2 4L^3$, care constituie tot formula unei clase primitive.

Vom avea prin urmare 5 clase primitive cu axele de rotire L^1, L^3, L^4, L^6 și grupa $3L^2 4L^3$ și două clase primitive de simetrie cu axele de inversiune, giroidele L_4^2 și L_6^3 . Acestea se vor numi clase giroido-primitive (7).

După aceea, vom asocia acestor axe primitive, alte elemente de simetrie și vom deduce celelalte clase de simetrie, pe baza teoremelor ce vor fi enunțate la locul respectiv.

La axele primitive, în rîndul cărora intră și axa L^2 , se vor adăuga pe rînd:

- centru de simetrie;
- un plan de simetrie care să conțină axa primitivă;
- o axă L^2 perpendiculară pe axa primitivă;
- și simultan, planul P^2 și axa L^2 , care sînt perpendiculare între ele.

Clasele astfel rezultate, se vor numi, respectiv:

clase centrice, clase planale, clase axiale, clase planaxiale și clase giroide-planale.

Sînt numite teoreme privitoare la simetrie; noi nu vom enunța însă, decît pe acelea ce ne vor fi necesare în deducerea fiecărei categorii de clase de simetrie și pentru claritate vom începe cu axa L^0 .

a. Deducerea claselor care au ca axă primitivă, axa L^6 .

Teorema 1. Cînd există o axă de simetrie de ordin pereche, L^{2n} și centru de simetrie, trebuie să existe și un plan de simetrie, perpendicular pe această axă.

În cazul considerat, adăugînd C la axa primitivă L^6 , rezultă și un plan de simetrie perpendicular pe L^6 adică un plan π :

$L^6 + C \rightarrow L^6 C$, clasă centrică. (8).

Teorema 2. Cînd o axă L^n se găsește într-un plan de simetrie, trebuie să existe n plane de simetrie, care se intersectează după această axă.

Adăugînd la axa primitivă L^6 un plan care s-o cuprindă, trebuie să apară 6 plane care se intersectează după axa primitivă:

$L^6 + P \rightarrow L^6 P$, clasă planală (9).

Teorema 3. Cînd o axă de ordinul 2 este perpendiculară pe o axă de ordinul n , trebuie să existe n axe L^2 perpendiculare pe aceasta.

Adăugînd o axă L^2 perpendicular pe axa L^6 , vor fi 6 axe L^2 în această situație: $L^6 + L^2 \rightarrow L^6 L^2$, clasă axială (10)

-Teorema 4 (reciproca teoremei 1). Cînd există o axă de ordin pereche și un plan perpendicular pe aceasta, trebuie să existe și centru de simetrie.

Adăugînd axei primitive L^6 un plan care s-o conțină și o axă L^2 perpendiculară, planul se va repeta de 6 ori conform teoremei 2, iar axa L^2 se va repeta de asemenea, de 6 ori conform teoremei 3.

Axa L^2 este perpendiculară pe planul adăugat, așa că va trebui să existe, conform teoremei 4 și centru de simetrie.

Apărînd însă centru de simetrie, iar axa primitivă fiind de ordin par, trebuie să apară și un plan perpendicular pe ea, conform teoremei 1, așa că vom avea: $L^6 + [P^2 + L^2] \rightarrow L^6 \frac{6L^2}{6P^2} C$,
 $\rightarrow \frac{L^6}{\pi} \frac{6L^2}{6P^2} C$, care este o clasă plan axială. (11).

b. Plecînd acum de la axa primitivă L^4

Vom obține clase cu formule de simetrie complet analoge, deoarece axa primitivă este tot de ordin par, iar elementele de simetrie adăugate, aceleași și deci asocierea lor se bazează pe aceleași teoreme.

Vom avea astfel:

$$L^4 + C \rightarrow \frac{L^4}{\pi} C, \text{ clasă centrică (12);}$$

$$L^4 + P \rightarrow L^4 4 P, \text{ clasă planală (13);}$$

$$L^4 + L^2 \rightarrow L^4 4 L^2, \text{ clasă axială (14);}$$

$$L^4 + [P^2 + L^2] \rightarrow \frac{L^4}{\pi} \frac{4L^2}{4P^2} C, \text{ clasă planaxială (15).}$$

c. Pe baza axei primitive L^3

Pentru deducerea claselor cu centru de simetrie trebuie să aplicăm o teoremă nouă:

Teorema 5. Cînd există o axă de simetrie de ordin impar și centru de simetrie, această axă este o axă de rotire oglindire.

Adăugînd la axa primitivă L^3 un centru de simetrie, axa va deveni axă de rotire-oglindire L^3_{6m} , deci:

$$L^3 + C \rightarrow L^3 \frac{3}{6m} C, \text{ clasă centrică (16);}$$

Adăugăm axei primitive L^3 un plan care s-o cuprindă, planul se va repeta de 3 ori conform teoremei 2 și deci:

$L^3 + P \rightarrow L^3 3P$, clasă planală (17).

Adăugînd la axa L^3 o axă L^2 perpendiculară, aceasta se va repeta conform teoremei 3 de trei ori și vom avea:

$L^3 + L^2 \rightarrow L^3 3L^2$, clasă axială (18).

În fine, adăugînd axei L^3 un plan P^2 și o axă L^2 , planul se va repeta conform teoremei aplicate la clasa planală, de 3 ori, axa L^2 se va repeta conform teoremei aplicate la clasa axială de 3 ori.

Din cauză că s-a adăugat axa de ordin pereche (L^2) și plan perpendicular (P^2), rezultă, implicit, conform teoremei 4 că a apărut și centru de simetrie. Dar în prezența centrului de simetrie, axa primitivă fiind de ordin impar, devine axa de rotire ogîndire (L_{6m}^3):

$$L^3 + [P^2 + L^2] \rightarrow L^3 \underset{3P^2}{3L^2} \rightarrow L^3 \underset{3P^2}{3L^2} C \rightarrow L_{6m}^3 \underset{3P^2}{3L^2} C$$

care este o clasă planaxială (19).

d. Plecînd acum de la axa primitivă L^1
(tot de ordin impar)

Vom aplica aceleași teoreme și vor rezulta :

$L^1 + C \rightarrow L_{2m}^1 C = C$, deoarece $L_{2m}^1 = C$, deci clasă centrică (20) ;

$L^1 + P \rightarrow L^1 P = P$, axa L^1 nefiind axă de simetrie, nu intră în formula de simetrie; clasă planală (21)

$L^1 + L^2 \rightarrow L^1 L^2 = L^2$, cu aceeași observație, deci clasa axială (22) care este identică cu o clasă primitivă, cînd s-ar pleca în deducere de la axa primitivă L^2 ;

Dacă: $L^1 + [P^2 + L^2] \rightarrow L^1 \underset{P^2}{L^2} \rightarrow L^1 \underset{P^2}{L^2} C \rightarrow L_{P^2}^2 C$, rezultă o

clasă planaxială (23) cu explicațiile de la clasa centrică și de la clasa planală.

e. Cu axa primitivă L^2

Rezultă numai trei clase noi de simetrie, pe baza teoremelor aplicate la axele de ordin par (L^4 , L^6):

$$L^2 + P \rightarrow L^2 \quad 2P, \text{ clasă planală (24);}$$

$$L^2 + L^2 \rightarrow L^2 \quad 2L^2, \text{ clasă axială (25) și}$$

$$L^2 + [P^2 + L^2] \rightarrow L^2 \quad 2L^2 \rightarrow L^2 \quad 2L^2 \quad 2P^2 \quad C \rightarrow L^2 \quad 2L^2 \quad 2P^2 \quad C, \text{ clasă}$$

planaxială (26).

Dacă am adăuga la axa primitivă L^2 un centru de simetrie am obține o clasă centrică, identică cu clasa planaxială obținută mai sus pe baza axei L^1 deci $L^2 + C \rightarrow L^2 \quad P^2 \quad C$.

f. Pentru complexul primitiv de axe $3L^2 \quad 4L^3$

Rezultă toate cele 4 clase deduse prin adăugarea elementelor de simetrie independente, cu aplicarea, atât a teoremelor pentru axe de ordin par cât și de ordin impar, după cum urmează:

- In cazul clasei centrice, adăugând axelor primitive centru de simetrie, conform teoremei 1, apar 3 plane perpendiculare pe axele de ordin par (L^2), iar conform teoremei 5, axele de ordin impar (L^3) devine axe de rotire oglindire (L_{6m}^3):

$$3L^2 \quad 4L^3 + C \rightarrow 3L^2 \quad 4L^3 \quad 6m \quad C \quad (27)$$

- Pentru clasa planală, se adaugă planul P care să conțină axa principală L^2 și aceasta se repetă, conform teoremei 2, de 2 ori.

Fiind 3 axe L^2 identice, se întâmplă același lucru cu fiecare, așa încât apar 6 plane.

Cele 2 plane care conțin fiecare axă L^2 sînt perpendiculare între ele, iar altă axă L^2 primitivă este bisectoarea unghiului lor diedru. Axa după care se intersectează cele 2 plane, devine axă de rotire inversiune- (L_{4i}^2), conform teoremei următoare:

Teorema 6. Dacă la o axă L^n , care are n axe L^2 perpendiculare, se adaugă un plan P , bisector al unghiului diedru făcut de axele L^2 , planul se va repeta de n ori conform teoremei 2, iar axa L^n va deveni axă de inversiune L_{2ni}^n (fig.61).

Axele primitive L^2 fiind identice, toate trei se transformă în axe L_{4i}^2 :

$$3L^2 + L^3 + P \rightarrow 3L_{4i}^2 + L^3 - 6P \quad (28)$$

- Clasa axială. Cele 3 axe primitive L^2 sînt perpendiculare între ele, satisfăcînd teorema 3 (fig.62). Dacă pe una din ele, în cazul figurii, pe cea perpendiculară pe planul desenului, din mijloc, se mai adaugă o axă L^2 perpendiculară, L^2 , la 45° între celelalte 2, și aceasta se va repeta conform teoremei 3, de două ori. În jurul axei centrale vor fi 4 axe L^2 , în planul desenului.

Teorema 7. Cînd n axe L^2 se găsesc în același plan, direcția perpendiculară pe intersecția lor este o axă de ordinul n .

În felul acesta, toate axele L^2 primitive devin axe L^4 iar, conform teoremei 3, axele L^2 adăugate se repetă de cîte 2 ori pentru fiecare axă primitivă.

$$3L^2 + 4L^3 + L^2 \rightarrow 3L^2 + 4L^3 + 6L^2 \rightarrow 3L^4 + 4L^3 + 6L^2 \quad (29).$$

- Clasa planaxială. Adăugînd complexului primitiv și plan și axă, vor rezulta, ca la clasa axială, 6 axe L^2 , iar ca la clasa planală, 6 plane P^2 ; axele primitive L^2 vor deveni axe L^4 ; conform teoremei 4, va rezulta un centru de simetrie; conform teoremei 1, vor rezulta 3 plane π și conform teoremei 5, axele L^3 vor deveni axe de rotire-ogîndire :

L_{6m}^3 :

$$3L^2 \ 4L^3 + [P^2 + L^2] \rightarrow 3L^2 \ 6L_{6P^2}^2 \rightarrow 3L^4 \ 4L^3 \ 6L_{6P^2}^2 \rightarrow$$

$$\rightarrow 3L^4 \ 4L^3 \ 6L_{6P^2}^2 \ C \rightarrow 3L^4 \ 4L_{3\pi}^3 \ 6L_{6m}^3 \ 6L_{6P^2}^2 \ C. \quad (30).$$

h.i. - Pentru giroidele primitive L_{4i}^2 și L_{6i}^3 .

Nu vor rezulta clase noi decît în urma adăugirii planului care să le conțină.

La aceste combinări se aplică însă și o teorema nouă.

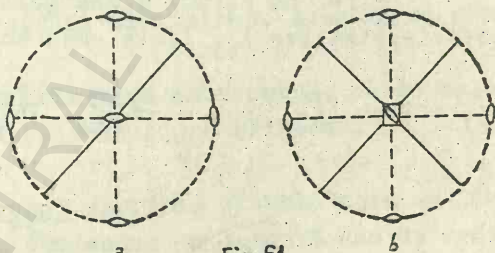


Fig. 61

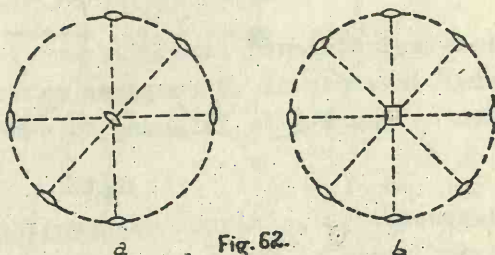


Fig. 62

Teorema 8 (reciproca teoremei 6). Dacă la o axă de inversiune, L_{2ni}^n se adaugă un plan P, care s-o conține, planul se va repeta de n ori, conform teoremei 2, iar perpendicular pe axa L_{2ni}^n vor apare n axe L^2 , bisectoare ale unghiurilor diedre făcute de planele P (fig. 63).

h. In cazul axei giroido-primitive L_{4i}^2

Adăugînd un plan care să conțină axa de ordinul 2, acesta se va repeta conform teoremei 2, iar conform teoremei 8, vor apare și 2 axe L^2 , perpendiculare pe giroidă:

$$L_{4i}^2 + P \rightarrow L_{4i}^2 \rightarrow L_{4i}^2 \text{ 2 } L^2 - \text{clasă giroido-planală} \\ - \quad 2P \quad \quad \quad 2P \\ (31).$$

i. Cu axa giroido-primitivă L_{6i}^3

La fel se deduce clasa giroido-planală pe baza giroidei-primitive L_{6i}^3 (care este echivalentă cu L_{π}^3):

$$L_{6i}^3 + P \rightarrow L_{6i}^3 \rightarrow L_{6i}^3 \text{ 3 } L^2 = \frac{L^3}{\pi} \text{ 3 } L^2 - - (32) \\ - \quad - \quad 3P \quad - \quad - \quad 3P \quad - \quad - \quad 3P$$

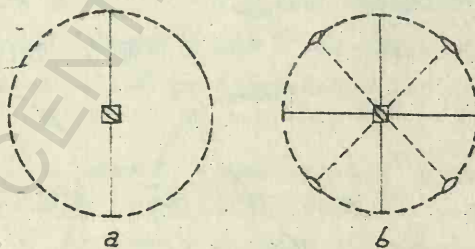


Fig. 63.

3. 2. SISTEME CRISTALINE SAU SINGONII

După cum s-a putut observa chiar cu ocazia deducerii claselor de simetrie, sînt grupe de clase care au caractere comune de simetrie, specifice pentru fiecare grupă. Acestea constituie sisteme cristaline sau singonii și sînt în număr de șapte:
Sistemul cubic, sistemul hexagonal, sistemul tetragonal, sistemul trigonal, sistemul rombic, sistemul monoclinic și sistemul triclinic.

a. Sistemul cubic se caracterizează prin aceea că toate clasele pe care le cuprinde au mai multe axe de simetrie de ordin superior.

Cele cinci clase de simetrie care au fost deduse din complexul primitiv $3L^2 4L^3$ au toate în formula lor, cel puțin 4 axe de ordin superior, axele L^3 .

Există în fiecare sistem cîte o formă geometrică din care se pot desvolta toate celelalte forme și care aici, ca și în majoritatea cazurilor, este și forma paralelepipedului elementar al rețelei cristaline. Aceasta se numește formă primitivă.

În acest sistem, forma primitivă este cubul, de la care i s-a dat și denumirea de sistem cubic (fig.64).

b. Sistemul hexagonal cuprinde clasele care au în formula lor de simetrie, totdeauna, o singură axă de ordin superior și anume hexagira (L^6) sau hexagiroida (L^3_{61}).

Forma primitivă, ca și forma paralelepipedului elementar, este aici prisma hexagonală. În sistemul hexagonal sînt prin urmare, 5 clase cu hexagiră și 2 clase cu hexagiroidă (fig.65).

c. Sistemul tetragonal cuprinde, deasemenea, clase care au în formula lor de simetrie o axă de ordin superior,

dar aceasta este tetragira (L^4) sau tetragiroida (L^2_{41}).

Forma primitivă este o prismă tetragonală, care este și forma paralelepipedului elementar al rețelei (fig.66).

Si în sistemul tetragonal sînt tot 5 clase cu gyra (tetragira) și 2 clase cu giroidă (tetragiroida).

d. Sistemul trigonal, cuprinde cele 5 clase care au în formula lor de simetrie, ca singura axă de ordin superior, trigira L^3 .

Aici însă forma primitivă, ca și forma paralelepipedului elementar al rețelei, este un romboedru (fig.67), de unde și denumirea de sistem romboedric care i se mai dă sistemului trigonal.

e. Sistemul rhombic nu are decît cele 3 clase de simetrie deduse pe baza axei primitive L^2 , care nu rezultă și din axa primitivă L^1 : clasa planală, clasa axială și clasa planaxială.

Aici, forma primitivă, care dă și denumirea sistemului, este o prismă cu secțiunea rombică. Muchiile ei laterale sînt perpendiculare pe bază, fac un unghi drept cu aceasta, de unde se mai numește și prismă ortogonală, iar sistemul se mai numește și sistem ortorombic (fig.68). Paralelepipedul elementar este însă o prismă cu secțiunea dreptunghiulară (fig. 69).

Unii cristalografi consideră aceasta și ca formă primitivă.

În sistemul rhombic nu sînt axe de ordin superior, dar fiecare clasă are cel puțin două axe L^2 sau două plane P.

f. Sistemul monoclinic cuprinde de asemenea numai trei clase de simetrie, tot clasa planală, clasa axială și clasa planaxială, dar acestea sînt clase deduse pe baza axei primitive L^1 .

Forma primitivă este o prismă cu secțiunea rombică, dar aceasta este înclinată într-o direcție paralelă cu planul de simetrie sau perpendiculară pe axa de simetrie, deci într-o singură direcție (fig. 70).

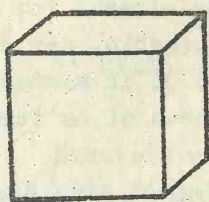


Fig. 64.



Fig. 65.



Fig. 66.

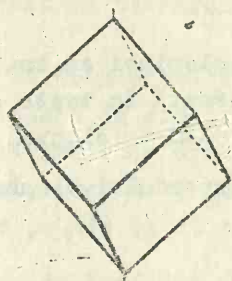


Fig. 67.

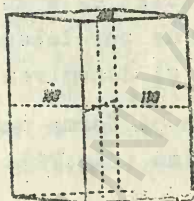


Fig. 68.

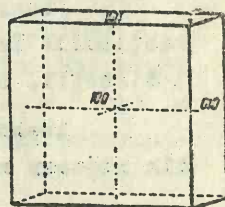


Fig. 69.

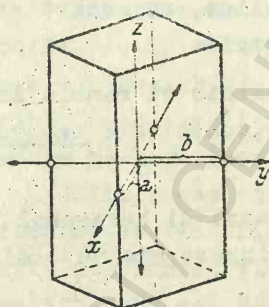


Fig. 70.

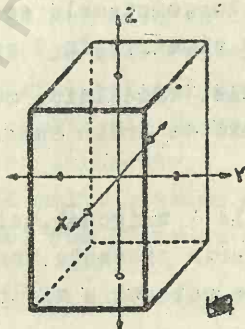


Fig. 71.

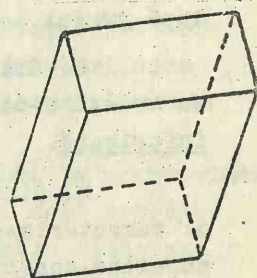


Fig. 72.

De aici și denumirea de sistem monoclinic sau clinorombic.

Paralelepipedul elementar al rețelei are tot secțiunea dreptunghiulară ca și la sistemul rombic, dar este înclinat în direcția arătată (fig.71). Ca și în sistemul rombic, unii cristalografi consideră aceasta și ca formă primitivă.

Nici o clasă din sistemul monoclinic nu are mai mult de o axă L^2 sau un plan P.

g. Sistemul triclinic are numai cele două clase deduse pe baza axei primitive L^1 , care lipsesc din sistemul monoclinic: clasa primitivă (aici, asimetrică) și clasa centrică..

Forma primitivă este un paralelepiped cu toate secțiunile în formă de paralelogram, plecată în toate cele 3 direcții, de unde și denumirea de sistem triclinic.

Aceasta este și forma paralelepipedului elementar din rețeaua cristalină (fig.72).

3. 3. CATEGORII DE SINGONII SAU SISTEME CRISTALINE

La rândul lor, sistemele cristaline, se repartizează după gradul lor de simetrie, în 3 categorii.

a. Sistemele: triclinic, monoclinic și rombic în care nu există nici o axă de ordin superior, constituie categoria inferioară.

b. Sistemele : trigonal, tetragonal și hexagonal, care se caracterizează prin prezența unei singure axe de ordin superior, constituie categoria mijlocie.

c. Sistemul cubic, caracterizat prin prezența mai multor axe de ordin superior în toate clasele. constituie categoria superioară.

4. NOTAȚII PRESCURTATE ALE CLASELOR DE SIMETRIE

Simetria unei clase cristalografice este clar exprimată prin formula sa desfășurată de simetrie care, pe lângă că arată toate elementele de simetrie, mai arată și raportul dintre axele și planele de simetrie, precum și poziția acestora pe cristale.

Astfel, de ex., după cum am văzut la clasa planaxială a sistemului tetragonal, formula desfășurată $L^4 2L^2 2L'^2 C, n$
 $\pi 2P^2 2P'^2$ arată că avem o axă de ordinul 4, patru axe de ordinul 2, cinci plane de simetrie și un centru de simetrie. Mai arată însă că axele de ordinul 2, după poziția pe care o ocupă în cristal, sînt de 2 feluri ca și planele care sînt perpendiculare pe ele și că există un plan principal.

De cele mai multe ori însă, simetria unei clase se exprimă prin formula globală de simetrie, cu însumarea tuturor planelor și a tuturor axelor de același ordin. În exemplul considerat: $L^4 4L^2 5PC$.

În multe tratate și mai ales în lucrările de cristalografie, se întrebuintează în mod frecvent notații prescurtate ale claselor de simetrie, notații prin simboluri, care exprimă în mod implicit, combinația tuturor elementelor de simetrie pe baza teoremelor cunoscute.

Sînt cunoscute mai multe sisteme de notație prescurtată a claselor de simetrie. Noi vom prezenta numai două sisteme: notația lui Schoenflies, cea mai veche și notația "internațională", cea mai nouă.

4.1. NOTATIA SCHOENFLIES

În această metodă, axele de simetrie se notează prin cifre care indică ordinul lor, planele de simetrie, prin litere care indică poziția lor față de axa primitivă, iar centrul de inversiune prin litera i. Se folosește numai giroida de rotire-oglinire.

Clasele care nu au în simetria lor decât o axă sînt numite clase ciclice și simbolul lor începe cu litera C.

Clasele care au digiră perpendiculară pe axa primitivă sînt numite clase diedrice, iar simbolul lor începe cu D.

Clasa care are numai axa de rotire-oglinire L_{4m}^2 (spiegelaxe), se notează cu litera S.

Clasele sistemului cubic se împart în două categorii:

- clase care au axele de simetrie ale tetraedrului, a căror notație se începe cu litera T și
- clase care au axele de simetrie ale octaedrului, a căror notație începe cu litera O.

1) Clasele care au în simetria lor numai una din axele de rotire, se notează cu C și cu ordinul axei:

$$(1) L^1 = C_1; (2) L^2 = C_2; (3) L^3 = C_3; (4) L^4 = C_4; (5) L^6 = C_6.$$

2) Clasele care au pe lîngă o axă de simetrie gyră și plane care o conțin, plane verticale, se notează cu litera C, lîngă care se scrie ordinul axei și litera v:

$$(6) L^2 2P = C_{2v}; (7) L^3 3P = C_{3v}; (8) L^4 4P = C_{4v};$$

$$(9) L^6 6P = C_{6v}.$$

3) Clasele care pe lîngă gyră mai au și un plan perpendicular pe aceasta (horizontal), se notează de asemenea

litera C, alături de care se scrie ordinul axei și litera h:

$$(10) L^2 \overline{H} C = C_{2h} \quad (11) L^3 \overline{H} = (L_{6i}^3) = C_{3h}; \quad (12) L^4 \overline{H} C = C_{4h}$$

$$(13) L^6 \overline{H} C = C_{6h}.$$

4). Clasa care nu are decît un plan de oglindire (Spiegeleben) se notează cu litera C lîngă care se scrie litera s:

$$(14) P = C_s.$$

(5). Clasa care nu are decît centrul de inversiune se notează cu litera C, lîngă care se scrie litera i:

$$(15) C = C_i.$$

(6) Clasa care are și o axă de ordinul 3 și centru de simetrie se notează cu litera C, lîngă care se scrie ordinul axei și litera i:

$$(16) L_{6m}^3 C = C_{3i}.$$

Această clasă, avînd o axă de rotire oglindire L_{6m}^3 (Spiegelaxe), se mai notează și cu S_6 .

7) Clasa care are numai axa de rotire-oglinidire L_4^2 , se notează tot cu litera S:

$$(17) L_{4m}^2 = S_4.$$

8) Clasele (axiale) care au axe de ordinul 2 (digire), perpendiculare pe axa de rotire primitivă, formînd o grupă diedrică, se notează cu litera D, lîngă care se scrie ordinul axei:

$$(18) L^2 2L^2 = D_2; \quad (19) L^3 3L^2 = D_3; \quad (20) L^4 4L^2 = D_4;$$

$$(21) L^6 6L^2 = D_6.$$

9). Clasele diedre care au în formula lor și plane \overline{H} (horizontale) se notează cu litera D, lîngă care se scriu ordinul axei primitive și litera h:

$$(22) \frac{L^2}{\pi} \frac{2L^2}{2P^2} C = D_{2h}; \quad (23) \frac{L^3}{\pi} \frac{3L^2}{3P^2} C = D_{3h}$$

$$(24) \frac{L^4}{\pi} \frac{4L^2}{4P^2} C = D_{4h}; \quad (25) \frac{L^6}{\pi} \frac{6L^2}{6P^2} C = D_{6h}$$

10) Clasele diedre care au plane ce fac unghiuri diedre cu digirele (nu le conțin), se notează cu litera D, lângă care se scrie ordinul axei primitive și litera d:

$$(26) \frac{L_{4m}^2}{-} \frac{2L^2}{-} \frac{-}{2P} = D_{2d}; \quad (27) \frac{L_{6m}^3}{-} \frac{3L^2}{3P^2} C = D_{3d}$$

11) Clasele din sistemul cubic care au axele de simetrie ale tetraedrului ($3L^2 \ 4L^3$) se notează:

$$(28) \text{clasa primitivă: } 3L^2 \ 4L^3 = T$$

- Clasa centrică, în formula căreia sînt plane π , se notează cu T pentru axe și cu h pentru planele (horizontale) π , perpendiculare pe axa primitivă L^2 .

$$(29) \frac{3L^2}{3\pi} \frac{4L^3}{-} \frac{C}{-} = Th$$

- În clasa planală sînt plane care fac unghiuri diedre cu axele primitive de simetrie, plană d. Se notează cu această literă lângă litera T:

$$(30) \frac{3L_{4m}^2}{-} \frac{4L^3}{-} \frac{-}{6P} = T_d$$

11) Clasele de simetrie care au axele octaedrului, $3L^4 \ 4L^3 \ 6L^2$, se notează cu litera O.

- Clasa axială care are numai aceste elemente:

$$(31) 3L^4 \ 4L^3 \ 6L^2 = O;$$

- Clasa planaxială, care are plane π , se notează cu litera O, lângă care se scrie litera h;

$$(32) \frac{3L^4}{3\pi} \frac{4L^3}{6m} \frac{6L^2}{6P^2} C = Oh$$

Notațiile Schoenflies sînt întocmite pe bază teore-
melor de asociere a elementelor de simetrie. Astfel, în
clasa Oh, plecînd de la axele de simetrie ale octaedrului și
de la un plan π , cum indică simbolul, $3L^4 4L^3 6L^2$, se
înțelege că trebuie să existe 3 asemenea plane, corespunză-
tor celor 3 axe principale și formula devine $3L^4 4L^3 6L^2$.
 3π

Avînd plane perpendiculare pe axa de ordin par,
trebuie să existe și centru de simetrie. Formula devine ;

$$\frac{3L^4 4L^3 6L^2}{3\pi} C$$

Avînd centru de simetrie, trebuie să avem și plane
perpendiculare pe axele L^2 , care-s tot de ordin par, iar
axele de ordin impar L^3 , devin axe de rotire-ogîndire.
Formula se completează :

$$\frac{3L^4 4L^3 6L^2}{3\pi} C. \quad 6m \quad 6P^2$$

Așa se pot deduce formulele de simetrie ale tutu-
ror claselor, din simbolurile lui Schoenflies, aplicînd te-
oremele cunoscute.

4.2. NOTAȚIA INTERNAȚIONALĂ

De la notația Schoenflies, mai întîi Herman Maugain,
apoi Subnikov, au ajuns la sisteme și mai simple.

În ambele aceste sisteme nu se mai folosesc literele
inițiale ale simbolurilor, se folosesc cifre pentru a arăta
ordinul axelor și numai litera m pentru orice fel de plan.

Aranjarea lor în simbolul clasei, arată modul de
asociere. Astfel de ex. pentru a arăta că în clasa centrică
a sistemului tetragonal, există o axă de ordinul 4 și un
plan perpendicular (formula $\frac{L^4}{\pi} C$), în sistemul Subnikov, 4: m.

Planele paralele, respectiv planele verticale, v, se

scriu în notația Maugain lângă axe, fără nici un semn, de ex. $L^3 3P = 3m$, iar în notația Subnikov, după un punct = 3. m.

În notația Subnikov se iau în considerație ca giroide numai axele de rotire-ogîndire, ca la Schoenflies, pe cînd în notația Maugain, numai axele de inversiune.

Notația internațională, concepută după aceleași principii, constă de asemenea din aranjarea elementelor de simetrie astfel notate, într-o ordine care să sugereze teoremele aplicate. Se folosesc ca la sistemul Maugain, numai giroidele de inversiune.

Iată cum se face notația internațională pentru diferitele categorii de clase și cum se echivalează aceasta cu notația Schoenflies:

1) Clasele care au numai o axă de rotire se notează cu cifra corespunzătoare ordinului axei:

$$(1) L^1 = C_1 = 1; (2) L^2 = C_2 = 2; (3) L^3 = C_3 = 3;$$

$$(4) L^4 = C_4 = 4; (5) L^6 = C_6 = 6.$$

Aici sînt date în ordine, formulele de simetrie, notațiile Schoenflies și notațiile internaționale.

2) Axele de inversiune, între care se socotește și cea corespunzătoare centrului de simetrie se notează cu cifra corespunzătoare, avînd deasupra semnul minus:

$$(6) C = C_i = \bar{1}; (7) L^3_6 C = C_{31} = \bar{3}; (8) L^2_{4i} = S_4 = \bar{4};$$

$$(9) L^3_{6i} = \frac{L^3}{\pi} = C_{3h} = \bar{6}$$

3) Clasele axiale se notează cu axa primitivă, lângă care se scriu digirele perpendiculare; în cazul sistemului rombo, unde axa primitivă este tot o digiră, se scriu ambele axe perpendiculare care rezultă:

$$(10) L^2 2L^2 = D_2 = 222; (11) L^3 3L^2 = D_3 = 32; (12) L^4 4L^2 = D_4 = 42; (13) L^6 6L^2 = D_6 = 62.$$

4) Clasele planale se notează cu litera m, scrisă pentru fiecare categorie de plane, în cazul claselor cu axe primitive de ordin superior, după axele respective. Axa de ordinul 2 nu se mai scrie:

$$(14) P = C_s = m; (15) L^2 2P = C_{2v} = mm; (16) L^3 3P = C_{3v} = 3m; (17) L^4 4P = C_{4v} = 4mm; (18) L^6 6P = C_{6v} = 6mm.$$

5) Clasele care au numai axele primitive și plane perpendiculare, π , se notează cu ordinul axei de rotire supra m, ceea ce arată că planul este perpendicular pe axă:

$$(19) \frac{L^2}{\pi} C = C_{2h} = 2/m; (20) \frac{L^4}{\pi} C = C_{4h} = 4/m;$$

$$(21) \frac{L^6}{\pi} C = C_{6h} = 6/m.$$

6) În clasele planaxiale cu axe primitive de rotire, se face aceeași notare ca la punctele 4) și 5), adăugându-se și celelalte două feluri de plane verticale.

La sistemul rombic, unde axa principală este de ordinul 2, aceasta nu se mai scrie. (22) $\frac{L^2 L'^2}{\pi P'^2 P'^2} C = D_{2h} =$
= mm

$$(23) \frac{L^4 2L'^2 2L'^2}{\pi 2P'^2 2P'^2} C = D_{4h} = 4/m m m.$$

$$(24) \frac{L^6 3L'^2 3L'^2}{\pi 3P'^2 3L'^2} C = D_{6h} = 6/m m m.$$

7) Clasa planaxială din sistemul trigonal unde există giroida L_{3i}^3 și plane diedre, nu se menționează decât acestea:

$$(25) \begin{matrix} L_{6m}^3 & 3L^2 \\ & 3P^2 \end{matrix} C = D_3 \quad d = \bar{3} \text{ m. Amintim} \quad L_{3i}^3 = L_{6m}^3.$$

8) Clasele giroido-planale din sistemele tetragonal și exagonal, se notează cu ordinul giroidei, digira perpendiculară și planele diedre. Dar, pe cînd la clasa D_{2d} digira se scrie după giroidă, ea nefiind conținută în planele P, la clasa D_{3h} se scrie planul diedru, după giroidă și apoi axa L^2 :

$$(26) \begin{matrix} L_{4i}^2 & 2L^2 & - \\ - & - & 2P \end{matrix} - = D_{2d} = \bar{4} 2 \text{ m};$$

$$(27) \begin{matrix} L_{6i}^3 & 3L^2 & - \\ - & - & 3P \end{matrix} - = D_{3h} = \bar{6} \text{ m } 2.$$

9) În sistemul cubic, clasele care nu au decît axe de simetrie, se notează cu axele principale:

$$(28) \begin{matrix} 3L^2 & 4L^3 & - \\ - & - & - \end{matrix} = T = 23;$$

$$(29) \begin{matrix} 3L^4 & 4L^3 & 6L^2 \\ - & - & - \end{matrix} = O = 43.$$

Asemenea axe principale de rotire, însoțite de axe L^3 , nu mai există în nici un alt sistem.

10) Clasele care au plane principale (π), își încep notația cu litera m, deci fără a se mai nota axele principale, după aceea se scriu axele L^3 și în cazul clasei plan-axiale, după acestea se scriu și planele P:

$$(30) \begin{matrix} 3L^2 & 4L^3 \\ 3\pi & 6m \end{matrix} C = T_h = m \ 3;$$

$$(31) \begin{matrix} 3L^4 & 4L^3 & 6L^2 \\ 3\pi & 6P^2 & 6m \end{matrix} C = O_h = m \ 3 \text{ m.}$$

Raționamentul este următorul : Plane principale (π) și axe L^3 secundare, nu se pot găsi decît în sistemul cubic. Deci, vor fi 3 plane π și 4 axe L^3 : - 4 L^3 - \rightarrow 3 L^2 4 L^3 6m - C
3 π - - - 3 π - -

Se înțelege că vor exista cele 3 axe principale de ordin par, perpendiculare, deci și centru, iar axele de ordin impar vor fi giroide.

În clasa Oh, fiind notate planele P, din cauza centrului, vor fi și axe L^2 , ambele elemente, în număr de 6 deci formula completă de simetrie va fi: $3L^4 \ 4L^3_{6m} \ 6L^2_{6P} \ C.$

11) La clasa planală, care nu are plane principale, se notează axa principală, giroida L^2_{4i} , deci :

$$(32) = 3L^2_{4i} \ 4L^3 - - = T_d = \bar{4}3m.$$

$$- - - 6P$$

NOTATIILE PRESCURTATE ALE CLASELOR DE SIMETRIE

-tablou comparativ-

Nr.	Clasa de simetrie	Schoenflies	Internatională
1.	L^1	C_1	1
2.	L^2	C_2	2
3.	L^3	C_3	3
4.	L^4	C_4	4
5.	L^6	C_6	6
6.	C	C_i	I
7.	$L^2 \sigma C$	C_{2h}	2/m
8.	$L^3 \sigma C$	C_{3i}	3
9.	$L^4 \sigma C$	C_{4h}	4/m
10.	$L^6 \sigma C$	C_{6h}	6/m
11.	P	C_s	m
12.	$L^2 2P$	C_{2v}	mm
13.	$L^3 3P$	C_{3v}	3m
14.	$L^4 4P$	C_{4v}	4mm
15.	$L^6 6P$	C_{6v}	6mm
16.	$L^2 2L^2$	D_2	222
17.	$L^3 3L^2$	D_3	32
18.	$L^4 4L^2$	D_4	42
19.	$L^6 6L^2$	D_6	62
20.	$L^2 \sigma 2L^2 2P^2 C$	D_{2h}	mmm sau 2/m mm
21.	$L^4 \sigma 4L^2 4P^2 C$	D_{4h}	4/m mm
22.	$L^6 \sigma 6L^2 6P^2 C$	D_{6h}	6/m mm
23.	$L^3 3L^2 3P^2 C$	D_{3d}	$\bar{3}m$
24.	$L^4 4L^2 4P^2 C$	S_4	$\bar{4}$
25.	$L^6 6L^2 6P^2 C$	C_{3h}	$\bar{6}$
26.	$L^2 2L^2 2P$	D_{2d}	$\bar{4}2m$
27.	$L^3 3L^2 3P$	D_{3h}	$\bar{6}m2$
28.	$3L^2 4L^3$	T	23
29.	$3L^2 4L^3 \sigma C$	T_h	m3
30.	$3L^2 4L^3 6P$	T_d	$\bar{4}3m$
31.	$3L^4 4L^3 6L^2$	O	432
32.	$3L^4 4L^3 6L^2 3 \sigma 6P^2 C$	O_h	m3m

2.

CRISTALOGRAFIA GEOMETRICA

A. FORMELE POLIEDRICE ALE CRISTALELOR

VI. AXE CRISTALOGRAFICE.

RELAȚII ÎNTRE FEȚELE DE CRISTAL ȘI AXELE CRISTA- LOGRAFICE.

1. DIRECȚII UNICE ȘI DIRECȚII SIMETRICE EGALE ÎN CRISTALE

Unii cristalografi, cum sînt cristalografii școlii Fedorov din Leningrad, deduc clasele de simetrie împărțind cristalele în două grupe: cristale cu direcții unice și cristale fără direcții unice. Așa sînt toate axele primitive de la care am plecat și noi, de altfel, în deducerea claselor de simetrie din categoria inferioară și mijlocie de singonii. Astfel de ex., la prisma tetragonală, cu formula de simetrie $L^4 2L^2 2L'^2$, axa L^4 este o direcție unică, pentru că nici unul $\pi 2P^2 2P'^2$ din celelalte elemente de simetrie nu mai duce la repetarea ei.

Axele L^2 sînt repetate atît conform axei L^4 oît și conform planelor P. Se spune că direcțiile acestor axe sînt direcții simetric egale.

În cristalele sistemului triclinic toate direcțiile sînt unice; nu există direcții simetric egale.

În cristalele sistemului monoclinic sînt o infinitate de direcții unice, dar sînt și o mulțime de direcții simetric egale.

Axa L^2 sau direcția perpendiculară pe planul de simetrie P , ca și orice direcție perpendiculară pe L^2 , sau cuprinsă în planul P , sînt direcții unice, în timp ce direcțiile înclinate față de axa L^2 , sau de planul P , se repetă față de aceste elemente și fiecare pereche de astfel de direcții, constituie direcții simetric egale.

În sistemul rombic sînt trei direcții unice, care corespund celor 3 axe L^2 sau sînt perpendiculare pe cele 3 plane de simetrie. Toate celelalte direcții sînt simetric egale.

În sistemul trigonal, în sistemul tetragonal și în cel hexagonal, există cîte o singură direcție unică, care coincide cu axa L^3 , L^4 sau L^6 .

Toate direcțiile înclinate față de aceste axe, sînt direcții simetric egale. Se înțelege însă că numărul minim acestor direcții este egal cu ordinul axei principale: în sistemul trigonal, trei; în sistemul tetragonal, patru; în sistemul hexagonal, șase.

În sistemul cubic nu există nici o direcție unică, toate direcțiile sînt simetric egale. Cea mai redusă categorie de direcții simetric egale o constituie cele 3 axe principale, L^2 sau L^4 , dar acestea sînt totdeauna însoțite de cele 4 direcții simetric egale ale axelor L^3 , iar alte ori și de alte asemenea direcții.

Tochmai acest grup minim de trei direcții simetric egale, axele primitive L^2 , servește ca grupă primitivă de axe, în deducerea claselor de simetrie ce formează sistemul cubic, așa cum am procedat și noi.

Cele mai multe categorii de direcții simetric egale se găsesc la cub: $3L^4$, $4L^3$, $6L^2$, 3 între L^3 și L^4 , 3 între între L^3 și L^2 , 4 între L^4 și L^2 și 1 între L^4 , L^3 și L^2 ; în total 24.

Si proprietățile cristalelor se manifestă în raport cu aceste direcții.

Pe direcțiile simetric egale, proprietățile sînt identice; pe direcțiile unice, proprietățile cristalelor se manifestă caracteristic pentru fiecare direcție.

2. AXE CRISTALOGRAFICE. CARACTERIZAREA SISTEMELOR CRISTALINE PRIN RELAȚIILE AXIALE

Atunci cînd am aratat unele proprietăți ale rețelei spațiale, ne-am folosit de cele trei șiruri reticulare principale ale rețelei:

$A_0 A_1 A_n \dots$, $A_0 B_1 B_n \dots$ și $A_0 C_1 C_n \dots$ ca de niște axe de coordonate și în paralelepipedul elementar, am măsurat parametrii fundamentali a, b, c de la originea acestor axe, A_0 , adică de la intersecția șirurilor reticulare. În cristalografia geometrică asemenea axe de coordonate se folosesc în mod curent.

În mod obișnuit, în matematică, se folosește sistemul de 3 axe de coordonate perpendiculare între ele x, y și z , considerîndu-se ca axă x , $-x$, axa orizontală din planul desenului, ca axă y , $-y$, axa orizontală, perpendiculară pe planul desenului și ca axă z , $-z$ axa verticală din planul desenului care este perpendiculară pe celelalte două axe (fig. 73). Pe figurile geometrice aceste axe se consideră astfel ca să treacă prin centrul lor sau astfel ca să se suprapună cu trei muchi concurente ale formei și, în general, în poziții convenționale, arbitrare.

În cristalografie, axele de coordonate sînt alese după considerații de ordin structural și sînt legate de simetria sistemelor cristaline. Ele corespund totdeauna unor șiruri reticulare de mare densitate și se aleg astfel ca să fie paralele cu muchile reale sau posibile de cristal.

Din aceste motive, axele de coordonate folosite în cristalografie se numesc axe cristalografice.

Sistemul de axe cristalografice este legat direct de simetria, forma și orientarea formelor primitive, care sînt, după cum am văzut, de cele mai multe ori, paralelepipezi elementari. De aceea, pentru o serie de singonii de cristale se folosesc sistemele de 3 axe, care se înseamnă cu $x \bar{x}$, $y \bar{y}$ și $z \bar{z}$, iar pentru altele, de obicei, un sistem de 4 axe - $x \bar{x}$, $y \bar{y}$, $u \bar{u}$ și $z \bar{z}$.

Sistemele de axe cristalografice se plasează cu originea în mijlocul cristalului, iar axele sînt orientate, în general, paralel cu muchile și respectiv, cu șirurile reticulare ale paralelepipedului elementar, care se intersectează într-un colț al său.

În planul desenului sînt cuprinse axele $z \bar{z}$ și $y \bar{y}$; axa $y \bar{y}$ se așează totdeauna în poziție orizontală. Axa $x \bar{x}$, în cazul sistemului de 3 axe, sau axele $x \bar{x}$ și $u \bar{u}$ în cazul sistemului de 4 axe, sînt cuprinse într-un plan care intersectează planul desenului după axa $y \bar{y}$, pe care o cuprinde și acest plan (fig.74).

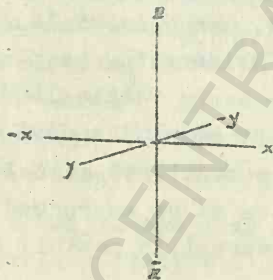


Fig.73.

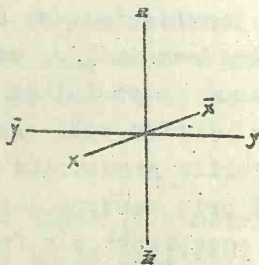


Fig.74.

În primul rînd se folosesc ca axe cristalografice axele de simetrie din clasele planaxiale ale singoniei respective, care satisfac cerințele arătate mai sus.

Axele cristalografice pentru care nu există axe de simetrie în singonia respectivă, se aleg prin analogie cu axele celorlalte sisteme, astfel ca să fie paralele cu muchiile concurente ale paralelepipedului elementar.

În cele ce urmează, vom prezenta sistemele de axe cristalografice, pentru fiecare singonie în parte, aplicând principiile de mai sus și stabilind relațiile axiale care le caracterizează.

2.1 . ÎN SISTEMUL CUBIC

Paralelepipedul elementar este un cub (hexaedru) care are formula de simetrie $3L^4 \ 4L_{6m}^3 \ 6L^2 \ C$. Cele 3 axe L^4 care unesc mijlocul fețelor opuse, două câte două, sînt perpendiculare între ele. Acestea îndeplinesc toate condițiile și sînt alese ca axe cristalografice (fig.75).

Unghiul opus axei x, făcută de axele y și z, se notează cu litera α .

Unghiul opus axei y, cuprins între axele x și z, se notează cu litera β , iar unghiul opus axei z, cuprins între axele x și y, cu litera γ . Axele fiind perpendiculare între ele, putem scrie: $\alpha = \beta = \gamma = 90^\circ$.

În ceea ce privește parametrii fundamentali, toate muchiile cubului fiind egale între ele, și parametrii sînt egali, deci $a = b = c$ și raportul lor este $a : a : a$.

Raportul dintre unghiurile axelor împreună cu raportul dintre parametrii fundamentali, constituie relația axială a sistemului și îl caracterizează. În cazul sistemului cubic relația axială este: $\alpha = \beta = \gamma = 90^\circ$.
 $a : a : a$.

2.2. ÎN SISTEMUL TETRAGONAL

Paralelepipedul elementar este o prismă tetragonală cu formula de simetrie $L^4 \ 2L^2 \ 2L^2 \ C$.
 $\pi \ 2P^2 \ 2P^2$

Avem aici o direcție unică, axa principală L^4 și două perechi de axe de ordinul 2, perpendiculare între ele,

2.4. IN SISTEMUL MONOCLINIC

Paralelepipedul elementar are 3 perechi de fețe, dar fiind aplecat într-o direcție nu mai are decât 2 perechi de fețe dreptunghice; a treia are fețe paralelograme (fig. 78 și 79).

Forma primitivă poate fi considerată aceasta, sau, ca și la sistemul rombic, o prismă rombică, dar aplecată, la fel, într-o direcție.

Ambele au formula de simetrie $\frac{L^2}{n}C$. Nu găsim deci decât o singură axă de simetrie, L^2 pe care o alegem ca axă cristalografică y \bar{y} .

Prin analogie cu sistemul rombic, luăm ca axe $x\bar{x}$ și $z\bar{z}$ cele 2 drepte care unesc mijlocul celorlalte perechi de fețe sau de muchii laterale. Ele sînt cuprinse în planul de simetrie perpendicular pe axa L^2 și paralele cu 2 muchii din cele care formează un colț al paralelepipedului.

Forma este aplecată pe direcția planului de simetrie. Raportul dintre unghiurile axelor este: $\alpha = \gamma = 90^\circ \neq \beta$.

Ca și în sistemul rombic, toți parametrii fundamentali sînt diferiți între ei: $a \neq b \neq c$.

Sistemul monoclinic este caracterizat prin relația axială:

$$\alpha = \gamma = 90^\circ \neq \beta.$$

$$a : b : c$$

2.5. SISTEMUL TRICLINIC

Acesta are forma primitivă tot un paralelepiped cu 3 perechi de fețe, toate însă în formă de paralelogram, așa că forma este aplecată în toate cele 3 direcții. Singurul său element de simetrie este centrul de inversiune.

Ca axe cristalografice se aleg, prin analogie cu sistemele anterioare, cele 3 direcții paralele cu muchiile

AXE CRISTALOGRAFICE

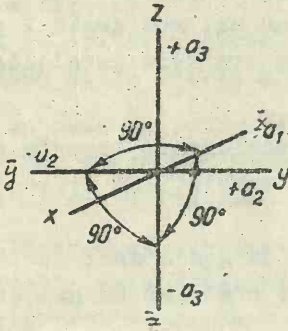


Fig.75. Sistemul cubic

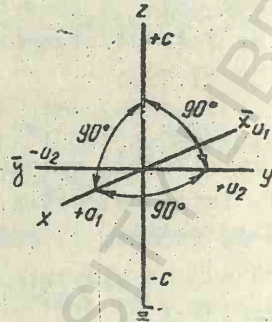


Fig.76. Sistemul tetragonal

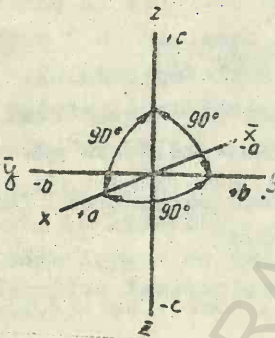


Fig.77. Sistemul rhombic

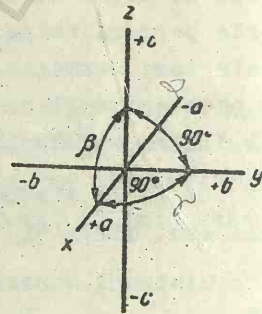


Fig.78. Sistemul monoclinic

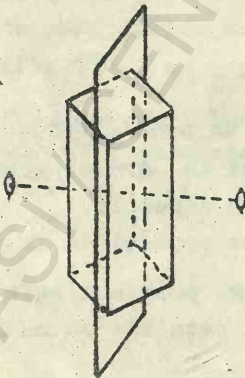


Fig.79. Sistemul monoclinic

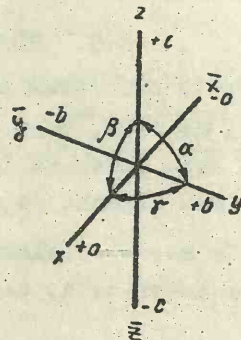


Fig.80. Sistem triclinic

concurente într-un colț al paralelepipedului elementar și legate de simetria formei prin intersecția lor în centrul de inversiune (fig. 80).

Toate axele fac unghiuri diferite între ele și diferite de 90° .

Raportul dintre unghiuri este: $\alpha + \beta + \gamma \neq 90^\circ$. Ca și în celelalte singonii din categoria inferioară, parametrii fundamentali sînt diferiți între ei: $a \neq b \neq c$.

Sistemul triclinic este caracterizat prin relația axială: $\alpha \neq \beta \neq \gamma \neq 90^\circ$

$a : b : c$.

2.6. ÎN SISTEMUL HEXAGONAL

Paralelepipedul elementar este o prismă hexagonală centrată pe fețele de bază, ca și cum ar rezulta prin repetarea unei prisme rombice după o muchie laterală opusă unghiului obtuz, de 120° , care formează la baze cîte un hexagon centrat (fig. 81).

Formula de simetrie a prisme hexagonale este: $L^6 \frac{3L^2}{\sqrt{3}} \frac{3L'^2}{3P^2} C$.

Ca și la sistemul tetragonal, avem o direcție unică, axa L^6 , pe care o luăm ca axă z .

În ceea ce privește axele perpendiculare pe aceasta, digirele, ele sînt de două feluri ca și la sistemul tetragonal, dar digirele, perpendiculare între ele, nu mai sînt de același fel. Axele L^2 sînt perpendiculare pe L'^2 .

Pe baza principiilor stabilite și în legătură cu simetria, folosim în acest caz sistemul de 4 axe cristalografice și luăm toate cele 3 axe L^2 , de același fel, ca axe x, y și u .

Prin analogie cu sistemul tetragonal, considerăm unghiul α , unghiul făcut de axele y și z unghiul β , unghiul făcut de axele x și z și unghiul γ , unghiul făcut de axele x și y .

Axele x, y și u se găsesc în planul π care este perpendicular pe axa z și fac între ele același unghi de 120° .

Uneori se notează și unghiul opus axei u , cu litera δ și atunci relația între unghiuri este: $\alpha = \beta = \delta = 90^\circ \neq \gamma = 120^\circ$ dar este suficient și $\alpha = \beta = 90^\circ \neq \gamma = 120^\circ$, cum se scrie adesea.

Parametrii fundamentali, corespunzători axelor $\{x, y, z\}$ sunt egali între ei și diferiți de parametrul corespunzător axei z , ca și în sistemul tetragonal și notînd cu litera d parametrul pentru axa u avem: $a = b = d \neq c$, deci cu raportul $a:a:a:c$ sau mai simplu $a:a:c$.

Relația axială a sistemului hexagonal este prin urmare, $\alpha = \beta = 90^\circ \neq \gamma = 120^\circ$.

$$a : a : c.$$

2. 7. ÎN SISTEMUL TRIGONAL

a. Paralelepipedul elementar este un romboedru, cu formula de simetrie $L^3_{6m} L^2_{3P^2} C$.

Axa L^3_m de ordin superior, care este direcție unică în cristal, este și aici luată ca axă z . Ca și în sistemul hexagonal, se aleg toate cele 3 axe L^2 , de același fel, ca axe orizontale x, y și u , așa că avem tot un sistem de 4 axe, aceleași, cu relația axială tot: $\alpha = \beta = 90^\circ \neq \gamma = 120^\circ$

$$a : a : c$$

Acesta este sistemul de axe cristalografice a lui Bravais (fig.82).

b. Se mai folosesc însă în sistemul trigonal ca axe cristalografice și direcțiile paralele cu 3 muchi concurente în capătul axei principale, L^3_m care se mai numesc și muchi polare.

Romboedrul apare ca un cub alungit sau scurtat după una din axele L^3_m care-i unesc colțurile opuse.

Acest sistem de 3 axe cristalografice care unesc mijlocul perechilor de fețe opuse, este, din acest punct de vedere, analog cu sistemul de axe x, y și z ale cubului. Unghiurile ce fac aceste axe între ele sînt egale între ele, dar sînt diferite de 90° , așa că sînt în raportul $\alpha = \beta = \gamma \neq 90^\circ$. Muchiile sînt totdeauna egale între ele, așa că și raportul dintre parametri va fi $a = b = c$ sau $a : a : a$, iar relația axială a sistemului trigonal va fi: $\alpha = \beta = \gamma \neq 90^\circ$
 $a : a : a$

Acesta este sistemul de axe cristalografice a lui Miller (fig.83)

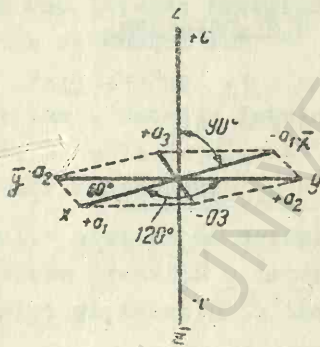


Fig.81. Sistemul hexagonal.

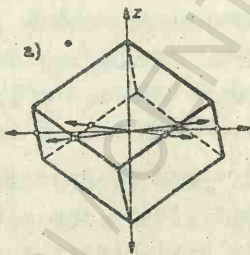


Fig.82. Sistemul trigonal
Axe Bravais

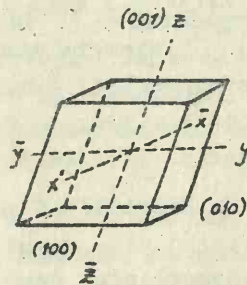


Fig.83. Sistem trigonal
Axe Miller

2.8. RECAPITULARE

Relațiile axiale ale celor 7 sisteme cristaline, sînt deci:

<u>In categ.</u>	<u>sup.</u>	<u>mijlocie</u>	<u>inferioară</u>
<u>Sistemul cubic</u>		<u>Sistemul tetragonal</u>	<u>Sistemul rombic.</u>
$\alpha = \beta = \gamma = 90^\circ$		$\alpha = \beta = \gamma = 90^\circ$	$\alpha = \beta = \gamma = 90^\circ$
$a : a : a$		$a : a : c$	$a : b : c$
		<u>Sist.hexagonal</u>	<u>Sist.monoclinic</u>
		$\alpha = \beta = 90^\circ \neq \gamma = 120^\circ$	$\alpha = \gamma = 90^\circ \neq \beta$
		$a : a : c$	$a : b : c$
		<u>Sist.trigonal</u>	<u>Sist. triclinic</u>
		$\alpha = \beta = 90^\circ \neq \gamma = 120^\circ$	$\alpha \neq \beta \neq \gamma \neq 90^\circ$
		$a : a : c$	$a : b : c$

Primele sisteme din fiecare categorie, se aseamănă prin raportul dintre unghiuri: $\alpha = \beta = \gamma = 90^\circ$ și se deosebesc prin raportul dintre parametri : toți egali: doi egali și unul diferit ; toți diferiți.

Sistemele din aceeași categorie au același raport între parametri: cat. superioară, toți egali, $a = b = c$; categorie mijlocie, doi egali și unul diferit, $a = b \neq c$; categoria inferioară, toți diferiți, $a \neq b \neq c$.

Sistemele din categoria inferioară se deosebesc prin raportul dintre unghiuri: Sist.rombic, toate egale cu 90° ; sist.monoclinic, două egale cu 90° și unul diferit; sist. triclinic, toate unghiurile diferite între ele și diferite de 90° .

In categ. mijlocie, sistemul tetragonal se deosebește de sistemul hexagonal și trigonal tot prin raportul dintre unghiuri, ultimele două sisteme, avînd însă aceeași relație axială.

3. NOTAȚIA FEȚELOR DE CRISTAL

În mod obișnuit, în desenul formelor geometrice, fețele poliedrelor se notează cu litere sau se numerotează, cu cifre, ca de ex. în cazul unui cub (fig. 84).

Aceste litere sau cifre se așează arbitrar: de la dreapta la stînga sau invers; începînd cu fețele din partea anterioară a desenului sau cu fețele laterale ale formei, etc.

În cristalografie însă, notația fețelor constituie o expresie geometrică. Notația fețelor de cristal caracterizează numeric așezarea lor reciprocă.

Sînt mai multe sisteme de notație a cristalelor, dar mai ales două sisteme prezintă o importanță actuală: notația în parametri și notația în indici.

3.1. NOTAȚIA ÎN PARAMETRI

Acest sistem de notație, introdus de cristalograful Weiss, a fost stabilit pe baza unor însușiri care caracterizează poliedrele cristaline și oferă cele mai mari posibilități pentru înțelegerea semnificației tuturor sistemelor de notație cristalografică.

La timpul său, notația în parametri a fost legată de unele aspecte și însușiri aparente, externe ale cristalelor. Ca și aceste însușiri, de altfel, sensul notației poate fi acum înțeles și mai bine, pe baza structurii rețiculare a cristalelor.

Să considerăm din nou rețeaua tridimensională (fig. 85) determinată de șirurile rețiculare A_0, A_1, A_n, \dots
 A_0, B_1, B_n, \dots A_0, C_1, C_n, \dots , cu paralelepipedul elementar

A_0A_1 , A_0B_1 , A_0C_1 , ale cărui laturi sînt egale cu parametrii fundamentali a, b, c .

Să luăm muchiile corespunzătoare acestor şiruri reticulare ca axe de coordonate x, y, z .

Faşa care intersectează cele 3 axe în punctele A_1, B_1, C_1 la distanţele a, b, c , se numeşte faţă fundamentală. Poziţia ei în raport cu axele de coordonate este determinată de raportul dintre parametrii $a:b:c$.

Să luăm acum o faţă care trece prin nodurile A_2, B_2, C_2 . Poziţia acestei feţe în raport cu axele de coordonate va fi dată de raportul $2a:2b:2c$ care se reduce tot la raportul $a:b:c$ ce caracterizează faşa $A_1B_1C_1$. Cele două feţe sînt paralele, iar faşa $A_2B_2C_2$ este tot o faţă fundamentală.

În general, o faţă cu parametrii $ta:tb:tc$, deci cu raportul dintre parametri $a:b:c$, este o faţă fundamentală.

Pentru notaţia în parametri a feţelor de cristal, se alege o faţă fundamentală a cristalului şi se exprimă poziţia tuturor celorlalte feţe în raport cu parametrii acesteia. Astfel, de ex. (fig.86), dacă vom considera faşa fundamentală $A_1B_1C_1$, cu parametrii, a, b, c , şi vom lua altă faţă, $A_4B_3C_2$, neparalelă cu aceasta, care intersectează axele la distanţele:

$A_0A_4 = 4a$; $A_0B_3 = 3b$; $A_0C_2 = 2c$, poziţia ei faţă de axele de coordonate va fi dată de raporturile $A_0A_4:A_0B_3:A_0C_2 = 4a:3b:2c$.

În general, poziţia unei feţe oarecare $A_mB_nC_p$ a cristalului în raport cu axele de coordonate, va fi definită în funcţie de poziţia feţei fundamentale, prin raportul $A_0A_m:A_0B_n:A_0C_p$, egal cu raportul dintre parametri săi: $a_m:b_n:c_p = ma:nb:pc$.

Valorile m, n, p , care sînt coeficienţii parametrilor fundamentali, se mai numesc şi lungimile numerice sau caracteristicile feţei $A_mB_nC_p$. Dacă sînt numere fracţionare se transformă în numere întregi prin eliminarea numitorilor, deoarece acest lucru nu schimbă rapoartele dintre ei: Parametrii

feței $A_m B_n C_p$ nu sînt decît multiplii simpli ai parametrilor fundamentali (a, b, c) , iar fața se notează prin raportul ma: nb:pc, totdeauna în aceeași ordine, m corespunde ca și a axei x, n corespunzînd ca și b axei y, iar p ca și c axei z.

În cazul poliedrelor cristaline, reale, se înțelege că fețele de cristal sînt situate la distanțe de zeci și sute de milioane de ori mai mari decît parametrii unitari, orice dar, fețele paralele avînd aceleași însușiri cristalografice considerații făcute pentru o față de cristal sînt valabile pentru toate fețele paralele cu ea.

Parametrii fețelor pot fi pozitivi sau negativi, după cum fața intersectează axa respectivă pe partea pozitivă sau pe cea negativă.

Parametrii negativi poartă semnul minus deasupra lor, de ex. $\bar{m}a:nb:pc$, pentru o față care taie axa x pe partea ei negativă.

Ca orice coeficient, caracteristicile egale cu 1 nu se scriu; în cazul caracteristicilor egale, prin împărțirea la valoarea lor, acestea se reduc în totdeauna la 1, fără ca poziția fețelor să se schimbe. Așa este cazul oricărei fețe fundamentale, în care $m=n=p$ și a cărei notație se reduce la $a:b:c$, așa cum am văzut în cazul feței $A_0A_2 = A_0B_2 = A_0C_2 = 2a:2b:2c$ a cărei notație este deci identică cu a feței fundamentale.

Fața paralelă cu o axă, se spune că întîlnește axa la infinit, așa încît caracteristica sa pentru axa respectivă este infinit de mare; se notează cu ∞ . De ex. $ma:nb:\infty c$, pentru o față paralelă cu axa z, cum ar fi în cazul prismei rombice (fig. 87).

Fața care se sprijină pe axele x și y, fiind paralelă cu z, se notează cu $a:b:\infty c$, iar fața care intersectează capătul pozitiv al axei x și cel negativ al axei y, fiind paralelă cu axa z, se notează cu $a:\bar{b}:\infty c$.

Trebuie să precizăm că totdeauna se iau ca axe de coordonate, axele cristalografice ale sistemului respectiv.

3.2. NOTATIA IN INDICI

Cristalograful Miller a introdus un sistem și mai simplu de notație, notația în indici, care de altfel, este obținută tot din notația în parametri.

Am văzut că relațiile dintre parametrii unei fețe oarecare, $A_m B_n C_p$ se exprimă prin raportul, $ma:nb:pc$ (1).

Putem însă exprima și invers, raportul dintre parametrii fundamentali și parametrii feței respective, sub forma: $ha_m:kb_n:lc_p=a:b:c$, (2) în care h,k,l , sînt coeficienții cu care trebuie înmulțiți parametrii feței considerate, pentru a obține parametrii fundamentali.

Acești coeficienți se numesc indicii feței de cristal.

Dacă împărțim cei doi membri ai egalității (2) cu raportul $a_m:b_n:c_p$, respectiv cu echivalentul său, $ma:nb:pc$ (1), rezultă:

$$\frac{ha_m}{a_m} : \frac{kb_n}{b_n} : \frac{lc_p}{c_p} = \frac{a}{ma} : \frac{b}{nb} : \frac{c}{pc}$$

de unde, $h:k:l = \frac{1}{m} : \frac{1}{n} : \frac{1}{p}$, adică indicii sînt invers proporționali cu caracteristicile: $h = \frac{1}{m}$, $k = \frac{1}{n}$ și $l = \frac{1}{p}$.

Indicii fiind inversul caracteristicilor, pot defini ca și acestea, poziția feței de cristal în raport cu fața fundamentală.

Indicii feței de cristal se scriu între paranteze curbe, fără nici un semn între ei, sub forma (hkl) , care este simbolul feței și se scriu, totdeauna în această ordine: h corespunde axei x , k corespunde axei y , iar l axei z .

În cazul cînd fața intersectează partea negativă a unei axe, indicele este negativ și semnul minus se pune deasupra indicelui. Ex. $\bar{h}kl$ pentru indicele negativ corespunzător axei x .

my

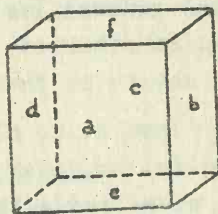


Fig. 84 a

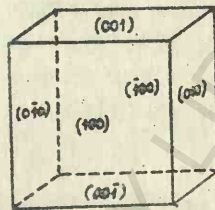


Fig. 84 b

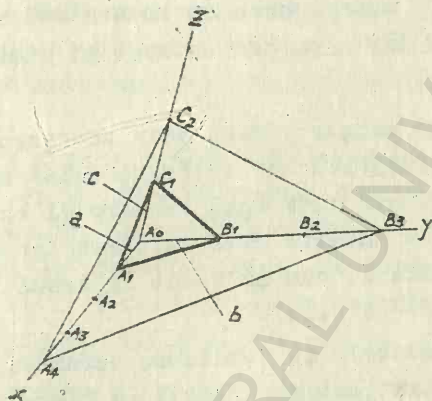


Fig. 86

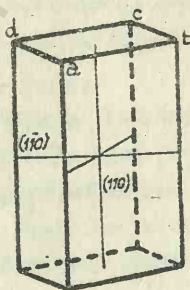


Fig. 87.

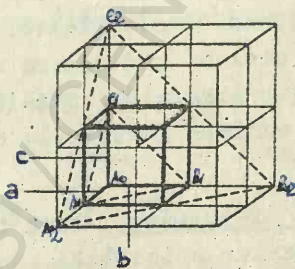


Fig. 85.

În cazul cînd fața este paralelă cu o axă, caracteristica sa pentru acea axă fiind $=\infty$, indicele va fi egal cu zero ($\frac{1}{\infty} = 0$). Așa-i în cazul prismei rombice: fața a:b:oc va fi notată, în general cu $(h k o)$, concret cu (110) , iar fața a:b:oc, va fi notată cu $(h k o)$, respectiv, cu $(1\bar{1}0)$.

Ca și în cazul caracteristicilor, dacă indicii sînt fracționari, se elimină numitorii și se reduc la numere întregi. De ex. pentru fața a:2b:3c, inversele caracteristicilor $\frac{1}{1}$, $\frac{1}{2}$ și $\frac{1}{3}$ duc pentru axele y și z la indici fracționari. Aducînd fracțiile la același numitor, $\frac{6}{6}$, $\frac{3}{6}$, $\frac{2}{6}$ și suprimînd numitorul comun, ceea ce nu schimbă raportul dintre indici, aceștia devin numere întregi și simbolul feței este (632).

Atunci cînd un singur indice este reprezentat printr-o cifră semnificativă iar ceilalți sînt egali cu zero, sau cînd unul singur este egal cu zero și ceilalți doi au valori egale, se împarte prin valoarea lor și se înlocuiesc deci cu cifra 1, cum am văzut în cazul prismei rombice la fețele (110) și $(1\bar{1}0)$.

Formele fundamentale au totdeauna caracteristici egale cu 1, vor avea și notația generală (111) . La simbolul fețelor se citește fiecare indice: în cazul feței fundamentale, unu, unu, unu și nu o sută unsprezece.

Inmulțirea sau împărțirea tuturor indicilor, ca și a tuturor caracteristicilor cu același număr, are semnificația deplasării feței într-o poziție paralelă, fără a-i schimba orientarea și deci, fără a-i schimba însușirile cristalografice.

În sistemul hexagonal și trigonal, unde parametrii fundamentali corespunzători axelor orizontale sînt egali între ei și diferiți de parametrul corespunzător axei z, raportul lor va fi a:a:c sau a:a:a:c.

Notația generală a unei fețe în parametri va fi, mai exact: nb:qd:pc, iar simbolul său va fi compus din 4 indici, corespun-

punzător celor 4 axe cristalografice (x , y , u și z), în general ($h\bar{k}l$), din care indicele \bar{l} , pentru axa u , a cărei capăt negativ este situat în față, între capetele pozitive ale axelor x și y .

In orice poziție, suma primilor trei indici este egală cu zero.

Această relație dintre indicii corespunzători axelor orizontale, rezultă din următoarea construcție: (fig. 88).

Se consideră secțiunea orizontală a unei bipiramide hexagonale, a cărei plan η conține axele x , y și u . Se ia o față care taie toate cele 3 axe cu muchia sa de bază perpendiculară pe capătul C al axei u , în partea negativă și care este paralelă cu o față fundamentală ce trece prin D și E .

Axele x și y sînt întîlnite pe prelungirea lor în punctele A și B . Hexagonul care conține muchia de bază a feței considerate, reprezintă o altă bipiramidă hexagonală, rotită cu 30° față de prima, în jurul axei u .

Notăm cu D , colțul primului hexagon, prin care trece capătul pozitiv al axei z și cu O , originea axelor.

Prin desen au rezultat triunghiurile asemenea AOB și ADC , din care se deduc rapoartele $\frac{OA}{DA} = \frac{OB}{DC}$.

Luînd parametrii fundamentali ca unități de măsură, înlocuim parametrii feței considerate prin caracteristicile ei:

$$\overline{OA} = m; \overline{OB} = n; \overline{OC} = q$$

Din triunghiul echilateral ODC , rezultă că:

$$\overline{OD} = \overline{DC} = \overline{OC} = q \text{ și } \overline{DA} = \overline{OA} - \overline{OD} = m - q$$

Proporția de mai sus devine:

$$\frac{m}{m-q} = \frac{n}{q}. \text{ De unde, } mq = n(m-q) = nm - nq, \text{ sau } mq + nq = nm = q$$

$$(m+n) \text{ și deci } q = \frac{nm}{m+n}.$$

Înlocuind caracteristicile numerice prin inversele lor, adică prin indici, rezultă:

$$\frac{1}{i} = \frac{\frac{1}{h} \cdot \frac{1}{k}}{\frac{1}{h} + \frac{1}{k}}, \text{ de unde } i = \frac{\frac{1}{h} + \frac{1}{k}}{\frac{1}{h} \cdot \frac{1}{k}} = \frac{h+k}{\frac{1}{hk}} = h+k$$

Dar i fiind negativ, putem scrie $i = -(h+k)$, sau trecându-l în membrul al doilea, $i-h-k=0$, sau $h+k+i=0$; suma primilor trei indici ai feței este egală cu zero.

În cazul de față s-a luat fața fundamentală $2a$: $2a:\bar{a}:c$. Calculând indicii, $\frac{1}{2} : -\frac{1}{2} : \frac{1}{c}$ pentru axele orizontale, avem $1\bar{1}2$, iar simbolul feței fundamentale ($1\bar{1}21$).

Și în cazul unei fețe oarecare. FG, se formează aceeași triunghiuri asemenea și rezultă același raport între indici.

La sistemul trigonal, dacă luăm în considerație și sistemul de axe cristalografice al lui Miller, vom avea notația cu 3 parametri, respectiv 3 indici, conform relației axiale, $\alpha = \beta = \gamma \neq 90^\circ$.

$$a : a : a$$

Romboedrul primitiv (fig.89), va avea aceeași notație a fețelor ca și cubul; de ex. pentru fața anterioară, $a : oa : oa$, respectiv (100), iar fața fundamentală, care taie colțul cu L^3 , asemănător cu o față de octoedru, va fi notată, ca și fața acestuia, tot cu $a : a : a$, respectiv (111).

În general, indicii Miller se notează cu (pqr). Între indicii Miller și indicii Bravais (hkil), s-au stabilit anumite relații cu ajutorul cărora se pot transforma unii în alții

$$p = 2h + k + l$$

$$q = k - h + l \quad \text{și invers}$$

$$r = -h - 2k + l$$

$$h = \frac{p-q}{3}, \quad k = \frac{q-r}{3}$$

$$i = h + k \text{ și } l = \frac{p+q+r}{3}$$

Unghiurile se calculează din relația $90 - \frac{\alpha}{2} = \angle$ dintre (001) și (011).

Pentru definirea formei primitive, este suficient să se cunoască unghiul diedru corespunzător unei muchii polare, luată ca axă de coordonate, adică unghiul normalelor celor două fețe ce determină muchia și se poate calcula unghiul α dintre axele de coordonate (cristalografice).

4. LEGEA RAȚIONALITĂȚII INDICILOR

Am văzut că într-o rețea tridimensională se pot duce numeroase sisteme de plane reticulare, care pot corespunde unor fețe de cristal în cazul când parametrii nodurilor de rețea nu sînt prea mari în raport cu parametrii fundamentali. În cazul când caracteristicile au valori mari, ochiurile de rețea au suprafața mare și densitatea nodurilor pe rețea mică. Coeziunea între particule fiind mică, aceste plane reticulare nu mai corespund unor fețe de cristal.

Parametrii planelor reticulare sînt multipli simpli ai parametrilor fundamentali, iar coeficienții lor, caracteristicile m, n, p , sînt numere întregi și mici pentru fețele de cristal, care trebuie să fie plane de mare densitate reticulară.

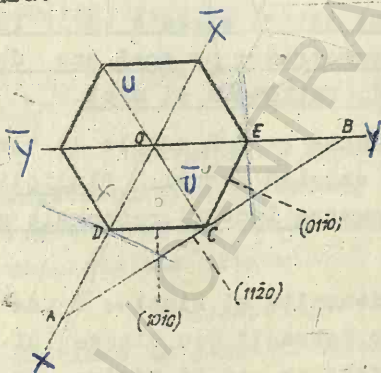


Fig. 88.

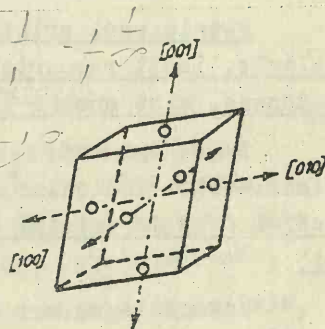


Fig. 89.

Toate planele reticulare considerate au fost alese astfel ca parametrii lor să fie multipli raționali ai parametrilor fundamentali.

Dacă se ia însă un plan al cărui parametri sînt multipli neraționali ai parametrilor fundamentali, acel plan trece pe lîngă noduri; el nu va întîlni nici odată un nod al rețelei. Un asemenea plan nu poate constitui o față de cristal.

Aceasta înseamnă că orice față de cristal trebuie să treacă prin trei noduri ale rețelei care definesc un plan, iar parametrii săi fiind multipli întregi ai parametrilor fundamentali, rapoartele lor între caracteristicile m, n, p , sînt numere raționale.

Indicii feței de cristal, fiind inverșii caracteristicilor, vor fi de asemenea numere întregi, raționale și mici. Raporturile dintre parametri, ca și indicii, exprimă relațiile de poziție dintre diferitele fețe ale unui cristal.

Atît parametrii, cît și indicii se pot determina pe baza unghiurilor dintre fețele de cristal. Folosindu-se de un mare număr de măsurători de unghiuri, R.J. Haüy, profesor la Sorbona, a stabilit în 1784, legea fundamentală a cristalografiei geometrice, cunoscută sub numele de "legea raporturilor raționale ale parametrilor", care se formulează astfel:

Fețele unui cristal sînt astfel asezate unele față de altele, încît rapoartele parametrilor pe trei axe de coordonate, sînt numere întregi, raționale și mici.

Legea mai este cunoscută și sub numele de "legea raționalității indicilor" și se exprimă astfel: "Indicii oricărei fețe de cristal sînt numere întregi, raționale și mici".

Uneori legea mai este denumită și simplu: legea raționalității, "legea numerelor întregi" sau "legea lui Haüy".

Relațiile axiale ale fețelor pot fi scrise sub forma: $ma : nb : po$, sau înlocuind caracteristicile prin indicii,

$\frac{a}{h} : \frac{b}{k} : \frac{c}{l}$. Aceste relații sînt compuse din două părți :

- o parte irațională, $a : b : c$, constantă pentru toate fețele, ca de ex. la gips, $0,689 : 1 : 0,413$ și

- o parte rațională simplă ($h:k:l$) care variază cu fața și care determină poziția ei.

5. METODE DE PROIECȚIE FOLOSITE ÎN CRISTALOGRAFIE

5.1. Proiecția perspectivă paralelă

Atunci cînd se urmărește să se obțină o imagine care să ne redea cît mai apropiat aspectul unui cristal, se folosește proiecția perspectivă paralelă.

În acest sistem, cristallul se proiectează pe un plan cu ajutorul unui fascicul de raze paralele, pe care-l considerăm că vine dintr-un punct vizual situat la infinit. Dacă fasciculul cade perpendicular pe planul de proiecție, avem o proiecție ortogonală, iar dacă fasciculul cade oblic pe planul de proiecție, avem o proiecție înclinată.

a. Proiecția ortogonală

Aceasta se întrebuintează mai puțin în cristalografie și anume, doar atunci cînd se urmărește să se scoată în evidență anumite aspecte particulare ale cristallului care are fețe numeroase.

În această proiecție, muchiile neparalele, cuprinse în plane paralele perpendiculare pe planul de proiecție, se proiectează tot după linii paralele.

Unghiurile însă, nu se proiectează în adevărata lor mărime decât dacă sînt paralele cu planul de proiecție.

Dispoziția grupelor numeroase de fețe este însă foarte clar exprimată în această proiecție, așa cum se poate vedea din proiecția ortogonală în planul (001) a unui cristal de sulf cu fețele a (100), b (010), c (001), d (011), e (101), f (113), g (110), h (111) etc. (fig. 90).

Tot printr-o proiecție asemănătoare se redă foarte clar aspectul după axa z al unui cristal, foarte complicat, de topaz (fig. 91).

În ambele cazuri, nu avem însă, decât aspectul parțial al celor două cristale.

Pentru a avea o imagine a întregului cristal ar fi necesară proiecția ortogonală în trei plane perpendiculare: în plan, în elevație și în profil.

Astfel, o prismă rombică s-ar proiecta, în plan ca un dreptunghi mai îngust, iar în elevație ca un romb (fig. 92).

Deși destul de complicată, totuși nici această proiecție - foarte adecuată în cazurile anterioare - nu redă, în mod evident, aspectul de ansamblu al cristalului.

b. Proiecția înclinată

Aceasta este folosită în mod curent în reprezentarea poliedrelor, în desen - și de asemenea, mult mai larg răsîndită și în reprezentarea cristalelor.

Proiecția înclinată redă o imagine mult mai apropiată de aspectul de ansamblu al cristalului, într-un mod mult mai simplu și ușor de înțeles. Aici se dă cristalului o astfel de înclinare încît muchiile sale să nu se suprapună.

În ceea ce privește proiecția muchiilor paralele, se întâmplă și aici, același lucru ca și la proiecția ortogonală, dar aici nu se mai proiectează nici un fel de unghiuri în adevărata lor mărime.

PROIECTII

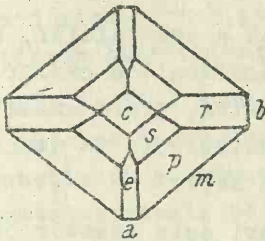


Fig. 90.

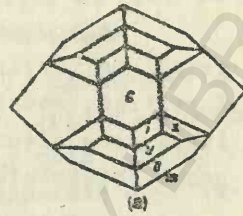


Fig. 91a

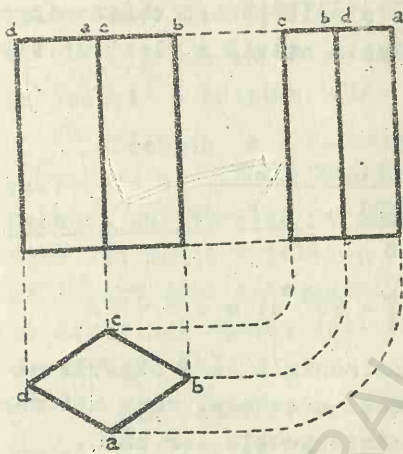


Fig. 92a

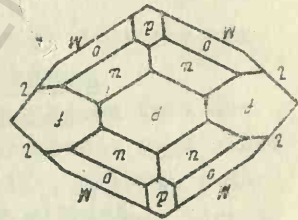


Fig. 91b.

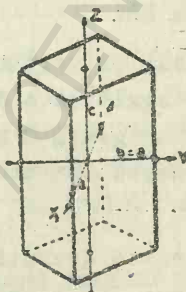


Fig. 92b.

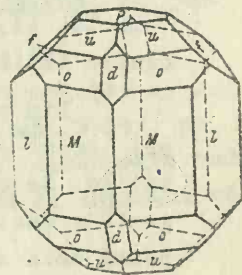


Fig. 91c.

Înfățișarea exterioară a cristalului este însă, cel mai bine prezentată în această proiecție.

Pentru proiecția înclinată a cristalelor, se procedează, mai întâi, la proiecția înclinată a axelor cristalografice, construindu-se așa numita, cruce axială, cu înclinarea aleasă și apoi se construiește pe aceasta, desenul cristalului, prin muchiile sale.

Se folosesc multe înclinări date acestor proiecții, dar cea mai răspândită și mai convenabilă, este cea introdusă de cristalograful Naumann, printr-o metodă de construcție a crucii axiale destul de simplă pentru toate singoniile și în conformitate cu relația axială a fiecărui sistem.

CONSTRUCTIA CRUCII AXIALE PENTRU SISTEMUL CUBIC

Relația axială $\alpha = \beta = \gamma = 90^\circ$ și $a = b = c$.

Se desenează o linie orizontală \overline{AA} (fig.93) și altă linie perpendiculară pe mijlocul acesteia, ceva mai mare decât aceasta, \overline{BB} . Se notează intersecția lor cu O .

Se împarte dreapta \overline{AA} în 6 părți egale și prin capetele lui \overline{AA} , ca și prin a doua și a patra diviziune a acestei linii, se duc paralele la \overline{BB} .

Din capătul \overline{A} se ia în jos, pe verticală ce trece prin acest punct, o lungime \overline{AP} , egală cu o diviziune a dreptei \overline{AA} . Se unește punctul P cu originea O și se prelungește această linie, pînă întâlnește verticala care coboară prin A în punctul P' .

Segmentul $x \overline{x}$ de pe această dreaptă, cuprins între verticalele ce coboară prin a doua și a patra diviziune de pe \overline{AA} reprezintă în mărime și direcție, axa cristalografică $x \overline{x}$ orientată spre observator.

Din punctul x se duce spre stînga o paralelă la $A\bar{A}$, pînă întretaie prima verticală în Q . Se unește punctul Q cu O și se înseamnă cu R , punctul de intersecție al dreptei QO cu verticala care coboară prin a doua diviziune.

Din punctul R se duce o paralelă la $A\bar{A}$ pînă ce aceasta intersectează verticala ce coboară prin A și notăm intersecția cu y . Ducem o dreaptă din y prin O pînă ce întîlnește verticala ce urcă prin \bar{A} și înseamnă cu \bar{y} intersecția acestor două drepte.

Dreapta $y\bar{y}$ reprezintă în mărime și direcție axa orizontală $y\bar{y}$, orientată paralel cu observatorul.

Din punctul O se ia pe dreapta $B\bar{B}$ o lungime $O\bar{z} = OP$, în jos și o lungime $Oz = OP$, în sus.

Dreapta $z\bar{z}$ reprezintă în mărime și direcție axa verticală $z\bar{z}$.

Desenul poliedrelor pe axele cristalografice, se face notînd mai întîi fețele de cristal, în parametri. După aceea se împart dacă este cazul, capetele axelor, într-un număr de diviziuni egale, egal cu caracteristica cea mai mare a parametrilor.

Din punctele corespunzătoare caracteristicilor parametrilor fiecărei axe, se duc plane, a căror intersecție va reprezenta muchiile de cristal și bine-nțelese, acestea vor delimita fețele de cristal și deci cristalul, în proiecția înclinată corespunzătoare.

Exemple. Pentru octaedru (fig.94) cu notația $a: a: a$ și caracteristicile egale cu 1, vom duce plane chiar pe capetele axelor x, y , și z și vom obține un desen care redă cristalul într-o imagine mult mai apropiată de aspectul său real decît în proiecția ortogonală.

Pentru trigontrioetaedru (fig.95 a și b), cu notația $a: a: 2a$, se împart axele x, y , și z în cîte două diviziuni. Cele 3 fețe din octantul xyz se construiesc ducînd

PROIECTIA INCLINATĂ

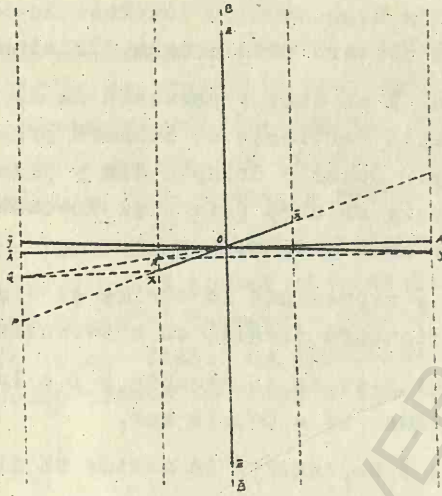


Fig. 93 a.

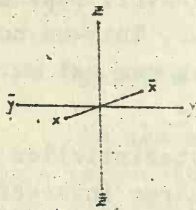


Fig. 93 b.

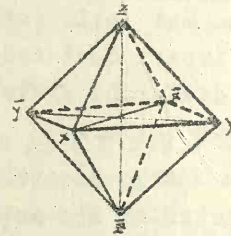


Fig. 94.

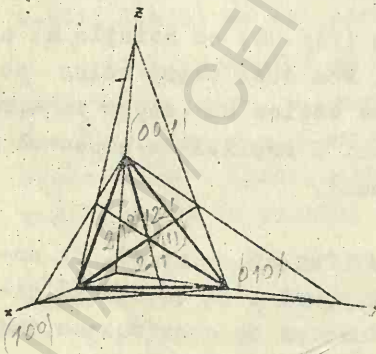


Fig. 95 a.

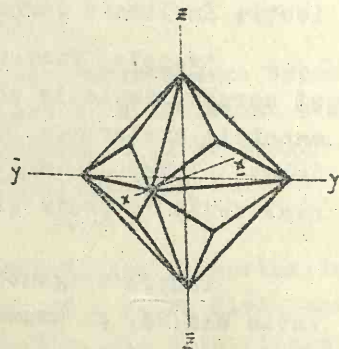


Fig. 95 b.

planele corespunzătoare notațiilor, prin diviziunile $a:a:2a$, $a:2a:a$ și $2a:a:a$.

Se unesc intersecțiile acestor plane cu vîrfurile opuse, situate la $2a$ de origine.

Aceste drepte se intersectează în L_{6m}^3 , iar bazele triunghiurilor isoscele, construite după cele 3 notații sînt muchi de octaedru și totodată, bazele triunghiurilor isoscele mici, cu vîrfurile în L_{6m}^3 , care reprezintă fețele de trigontri octoedru.

Unim deci capetele lor cu L_{6m}^3 și am desenat cele 3 fețe ale formei din octantul xyz , cu notațiile corespunzătoare (221) , (122) și (212) .

Așa se procedează pentru fiecare octant în parte, rezultînd un desen, care, după cum se vede, redă foarte clar aspectul general al cristalului și exprimă în același timp, raportul dintre fețele și simetria lui.

- Pentru sistemul tetragonal se pleacă de la crucea axială a sistemului cubic și se modifică axa $z\bar{z}$ în raport cu relația axială a parametrilor, $a:a:c$.

De obicei, în desenul demonstrativ, se ia $c > a$ (fig.96).

- Pentru sistemul rhombic se pleacă de asemenea de la crucea axială a sistemului cubic, dar se modifică corespunzător atât axa $z\bar{z}$ cît și axa $x\bar{x}$, în conformitate cu relația axială a parametrilor $a:b:c$.

Ca și în cazul precedent, în desenul demonstrativ, se ia $a < b < c$ (fig. 97).

În sistemul monoclinic relația axială se deosebește și în ceea ce privește raportul unghiular: $\alpha = \gamma = 90^\circ \neq \beta$, parametrii rămînînd în același raport ca și la sistemul rhombic, $a:b:c$.

Pentru acesta se pleacă de la crucea axiale a sistemului rhombic și se modifică corespunzător unghiului deplasîndu-se în jos capătul pozitiv al axei $x\bar{x}$.

Formele desenate pe aceste axe vor avea înclinarea, din față spre spate, paralel cu planul ce conține pe $x \bar{x}$ și $z \bar{z}$ (fig.98).

- În sistemul triclinic cu relația axială $\alpha \neq \beta \neq \gamma \neq 90^\circ$ și $a:b:c$ se pleacă de la crucea axială a sistemului monoclinic, dând axei $y \bar{y}$ o mișcare de rotație, astfel ca și unghiurile α și β să capete valoarea corespunzătoare, diferită de 90° (fig.99).

- În sistemul hexagonal se folosește mai rar sistemul de 3 axe cristalografice al lui Miller dar atunci când se folosește, se pleacă de la crucea axială a sistemului cubic, dând axelor $x \bar{x}$ și $z \bar{z}$ înclinarea corespunzătoare relației axiale ($\alpha = \beta = \gamma \neq 90^\circ$; $a:a:a$) pe când axa y , după cum s-a mai observat și în cazurile anterioare, rămâne în aceeași poziție (fig.100).

Mai frecvent se folosește aici sistemul de 4 axe a lui Bravais, care se construiește pe baza relației axiale, $\alpha = \beta = 90^\circ \neq \gamma = 120^\circ$ și $a:a:a$, sau dezvoltată, $\alpha = \beta = \delta = 90^\circ \neq \gamma = 120^\circ$ și $a:a:a:c$, pentru axele x, y, u și z (fig.101).

Aici se pleacă de la crucea axială a sistemului tetragonal, din care se păstrează neschimbate axele $y \bar{y}$ și $z \bar{z}$; axa $x \bar{x}$ se înseamnă cu $a \bar{a}$ (fig. 102). Se măsoară această axă, iar lungimea ei se înmulțește cu $\sqrt{3} = 1,73$. Se prelungesc cele două brațe a și \bar{a} cu 73%, până în A și \bar{A} . Capetele prelungite ale axei $x \bar{x}$ din sistemul tetragonal, adică A și \bar{A} se unesc cu capetele y și \bar{y} ale aceleiași cruci axiale.

Pe mijlocul fiecărui braț OA și $O\bar{A}$ se duce câte o paralelă la $y \bar{y}$. Paralela la $y \bar{y}$ dusă pe mijlocul brațului OA , taie latura $A\bar{y}$ a rombului format, într-un punct care este capătul pozitiv al axei $x \bar{x}$ și latura Ay a aceluiași romb, într-un punct care este capătul negativ al axei $u \bar{u}$. Paralela $y \bar{y}$, dusă pe mijlocul brațului $O\bar{A}$, taie latura $y\bar{A}$ într-un punct care este capătul negativ al axei $x \bar{x}$ și latura $A\bar{y}$ a aceluiași romb, într-un punct care este capătul pozitiv al axei $u \bar{u}$.

AXE CRISTALOGRAFICE

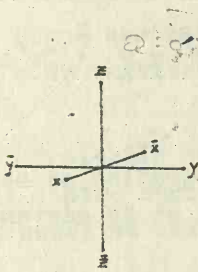


Fig. 96a.
SISTEMUL CUBIC

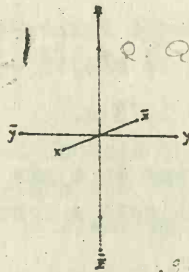


Fig. 96b.
SISTEMUL TETRAGONAL

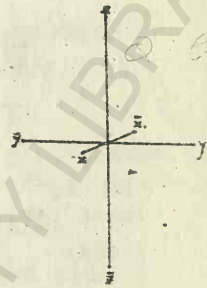


Fig. 97.
SISTEMUL ROMBIC

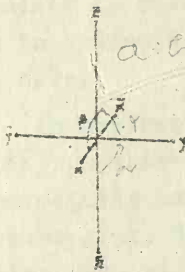


Fig. 98.
SISTEMUL MONOCLINIC



Fig. 99.
SISTEMUL TRICLINIC

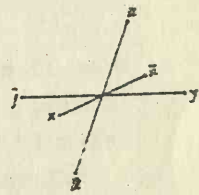


Fig. 100.
SISTEMUL TRIGONAL
AXE MILLER



Fig. 101
SISTEMUL HEXAGONAL
AXE BRAVAIS

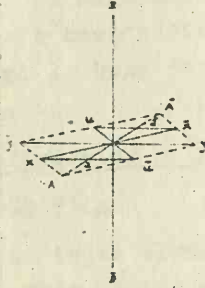


Fig. 102.
CONSTRUCTIA AXELOR PENTRU
SISTEMUL HEXAGONAL

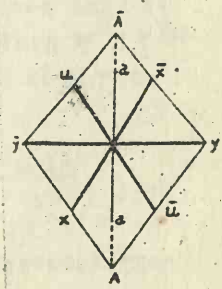


Fig. 103.

Valoarea lui $A \bar{A}$ rezultă din relația care se observă în desenul rombului și hexagonului, construite în planul orizontal, al axelor $x \bar{x}, y \bar{y}$ și $u \bar{u}$ (fig.103)

$$\overline{OA}^2 = \overline{Ay}^2 - \overline{Oy}^2 = (2a)^2 - a^2 = 4a^2 - a^2 = 3a^2;$$

$$\overline{OA} = a\sqrt{3} = 1,73 a.$$

Pe acest sistem de 4 axe cristalografice se construiește proiecția înclinată a formelor, ca și în sistemele cu 3 axe.

- In sistemul trigonal, cu aceeași relație axială, se folosește același sistem de axe.

5. 2. PROIECȚIILE SUBSTITUANTE

După cum știm, o importanță deosebită în cristalografie o au unghiurile dintre fețele și dintre muchiile de cristal.

Proiecția perspectivă nu redă însă unghiurile dintre fețe și dintre muchi în mărimea lor naturală decât atunci când acestea se proiectează pe plane paralele cu ele.

De aceea, în afară de proiecția perspectivă paralelă cu cele două variante ale sale, în cristalografie se întrebuintează frecvent proiecțiile substituante, în care, neglijându-se forma exterioară a cristalului, unghiurile sînt redată în adevărata lor mărime și în același timp, se scoate în evidență simetria cristalului și raportul dintre fețele sale.

În proiecțiile substituante, o față poate fi substituită printr-o linie sau printr-un punct. În primul caz proiecțiile substituante se numesc proiecții lineare; acestea nu sînt, de obicei, folosite în cristalografie. În al doilea caz, se numesc proiecții polare;

Ca și proiecțiile perspective paralele, acestea sînt frecvent întrebuintate în cristalografie. Ele sînt de trei feluri: proiecția sferică, proiecția gnomonică și proiecția stereografică ecuatorială.

Proiecția sferică, pe care am prezentat-o deja cu ocazia trecerii în diagrame a coordonatelor polare φ și δ determinate gonimetric, stă și la baza celorlalte două sisteme de proiecție substituante.

a. Reprezentarea poliedrelor cristaline prin

PROIECȚIA STEREOGRAFICĂ

Acum, cînd cunoaștem toate elementele cristalografice ale poliedrelor cristaline, putem să le reprezentăm

întegral, prin metoda stereografică, expusă anterior, cu ocazia înscrierii grafice a coordonatelor determinate prin măsurători goniometrice.

Pentru aceasta, trebuie să proiectăm stereografic, mai întâi elementele de simetrie, iar după aceea, în modul cunoscut, să proiectăm fețele pe care, acum, le putem nota în indici.

Elementele de simetrie care trebuiesc proiectate sînt axele de simetrie și planele de simetrie.

Proiecția lor se încadrează în problema generală a proiecției unor drepte și a unor plane care intersectează sfera de proiecție

Proiecția axelor de simetrie

Pentru a o proiecta, orice dreaptă se deplasează paralel cu ea însăși pînă cînd ajunge să treacă prin centrul sferei. După aceea se prelungește dreapta la fel cu normala la o față, pînă cînd înțeapă sfera într-un punct. Acesta este polul dreptei.

Acest pol, se proiectează apoi stereografic, pe cercul ecuatorial.

În cazul axelor de simetrie, proiecția polului axei se înseamnă cu semnul convențional de simetrie (O, Δ, \square etc.) în ambele puncte de străpungere a sferei.

Avem trei situații:

- Directia, respectiv axa, este perpendiculară pe cercul de proiecție. Atunci, ambele capete se proiectează în același loc, în centrul cercului ecuatorial (fig.104).

- Directia respectiv axa, este paralelă cu cercul de proiecție și trecînd prin centru, este deci cuprinsă în acest cerc, ca un diametru al său. Cele două capete se proiectează la intersecția axei cu circumferința și se înseamnă cu semnul convențional de simetrie, în ambele puncte, unite printr-o linie întreruptă (fig.105).

- Directia, respectiv axa, este inclinata fata de planul de proiectie. Cele doua capete se prelungesc pana in teapa sfera, iar polii respectivi se proiecteaza stereografic din cele doua puncte de vedere, in interiorul cercului de proiectie, ca si polii fetelor inclinate fata de acest cerc. Proiectiile polilor nu se mai unesc intre ele. (fig.106). Practic proiectiile polilor din emisfera inferioara nu se mai trec in diagrama.

De ex. in clasa primitiva a sistemului cubic cu formula de simetrie $3L^24L^3$ (fig.107), intalnim toate cele trei situatii:

- este o axa L^2 perpendiculara pe planul de proiectie (cazul a); aceasta se proiecteaza in centrul cercului:

- celelalte doua axe L^2 sunt paralele cu cercul de proiectie; se proiecteaza pe cercul de proiectie (cazul b) ca diametre, $y\bar{y}$ si $x\bar{x}$, ale cercului ecuatorial, insemnandu-se cele doua capete cu semne lenticulare, legate printr-o linie intrerupta.

- axele L^3 sunt intalnite la 45° fata de cercul fundamental si se proiecteaza prin capetele superioare in mijlocul fiecarui cadran.

Proiectia planelor de simetrie

Orice plan care intersecteaza sfera de proiectie determina un cerc pe aceasta, asa incat problema se reduce la proiectia unui cerc mare, deoarece toate planele de simetrie trec prin centrul sferei.

Ca si in cazul axelor de simetrie, avem si aici trei situatii:

- Planul de simetrie este paralel cu cercul ecuatorial; trecind prin centrul sferei, el se suprapune cu aceasta. Cercul fundamental este chiar proiectia sa (fig.108).

- Planul de simetrie este inclinat fata de cercul de proiectie; intersecteaza deci sfera dupa un cerc mare in-

PROIECTIA STEREOGRAFICĂ

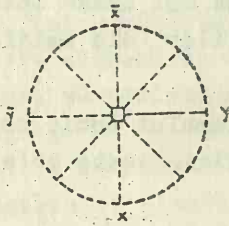


Fig. 104

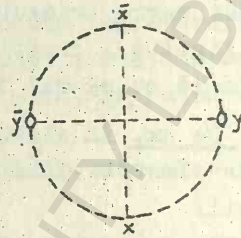


Fig. 105

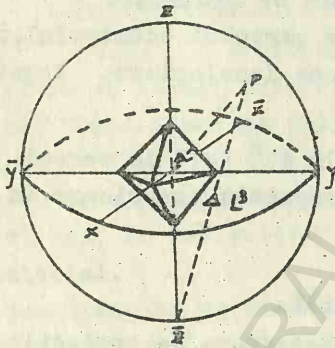


Fig. 106a

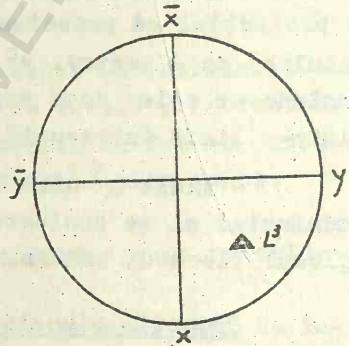


Fig. 106b.



Fig. 107.

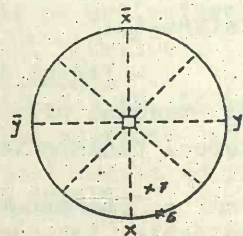


Fig. 108.

clinat; proiecția lui va fi un cerc cu raza mai mare decât raza cercului de proiecție iar centrul său va fi situat dincolo de centrul cercului de proiecție.

Proiecția acestui cerc mare este reprezentată numai de un arc de cerc, corespunzător semicercului mare din partea superioară a planului de proiecție.

Arcul trece prin capetele diametrului. Înălțimea lui este dată de relația, $d = r \cdot \frac{\varphi}{2}$, în care φ este distanța polară (fig.109 a).

În cazul când cercul mare este înclinat de 45° față de cercul ecuatorial, proiecția lui este un cerc mare cu centrul în capătul opus al diametrului perpendicular pe coarda respectivă.

Pentru proiecția unui cerc mare înclinat față de cercul ecuatorial, se proiectează punctul de tangentă al cercului cu meridianul de origine, față de punctul de vedere \bar{Z} . Punctul de pe $y \bar{y}$ în care proiectanta intersectează cercul ecuatorial (b) este proiecția lui (fig.109 b). Prin acest punct și prin cele două capete ale diametrului care subîntinde arcul, se trasează acesta.

La cristale nu se găsesc decât plane de simetrie înclinate de 45° față de cercul de proiecție și anume, numai la sistemul cubic (plane P).

- Planul de simetrie este perpendicular pe cercul de proiecție. În cazul planelor înclinate, proiecțiile lor erau cercurile cu raze mai mari decât ale cercului de proiecție și anume, cu atât mai mari cu cât avem o înclinare mai mare față de el.

La 90° se poate considera că proiecția cercului mare, plan de simetrie, este un cerc cu raza infinit de mare; arcul de cerc va deveni un diametru al cercului de proiecție. Ca exemplu, clasa planală a sistemului tetragonal (fig.110).

În clasa planaxială a sistemului cubic, care are

formula de simetrie $3L^4 \quad 4L_{6m}^3 \quad 6L^2 \quad C$, (fig.110) va avea un plan π .

care coincide cu cercul ecuatorial. Planele se înseamnă cu linie plină; cercul de proiecție se va trasa în acest mod

Celelalte două plane π sînt perpendiculare pe cercul ecuatorial; se proiectează ca diametre $y \bar{y}$ și $x \bar{x}$, de asemenea cu linii pline.

Tot aceeași poziție o au și două plane P^2 care sînt dispuse la 45° între axele $x \bar{x}$ și $y \bar{y}$. Se duc tot ca diametre.

Celelalte 4 plane P^2 care taie diagonal un cub (fig.111) prin muchiile superioare și inferioare opuse, sînt înclinate la 45° față de cercul ecuatorial. Se proiectează ca arce de cerc ce trec la 45° între z și capetele axelor orizontale, x și y , așa cum s-a arătat mai sus.

Centrul de simetrie, rezultînd chiar din construcția proiecției stereografice, nu se mai proiectează.

Cercul de proiecție și axele cristalografice x și y , în cazul cînd nu se suprapun cu plane sau axe de simetrie, se trasează prin linii punctate.

Cunoscînd acum proiecția tuturor elementelor de simetrie, precum și proiecția fețelor vom avea pentru cubul, care face parte din clasa planaxială a sistemului și are 6 fețe, respectiv perpendiculare pe cele 6 capete ale axelor L^4 , proiecția stereografică din fig. 112, iar pentru octaedrul care are aceeași simetrie, dar fețele normale la L_{6m}^3 proiecția din fig.113.

La sistemul cubic, pe proiecția stereografică a oricărei clase se vor trece toate elementele de simetrie ale clasei plan-axiale, dar cele care, în clasa respectivă, lipsesc, se vor trasa prin linii punctate. De ex. formele din clasa axială, cu formula de simetrie $3L^4 \quad 4L^3 \quad 6L^2$, se vor proiecta pe diagrama ce are însemnate cu linii punctate urmele tuturor planelor de simetrie, care aici lipsesc (fig.114).

PROIECTIA STEREOGRAFICĂ

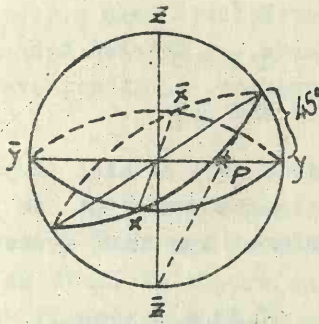


Fig. 109

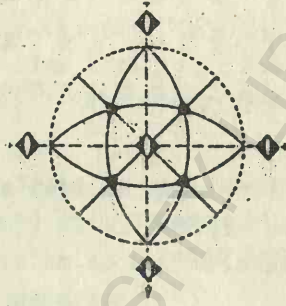


Fig. 110

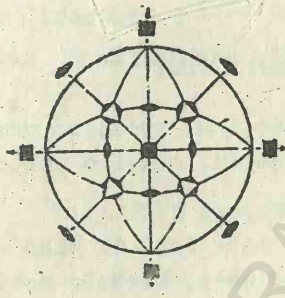


Fig. 111

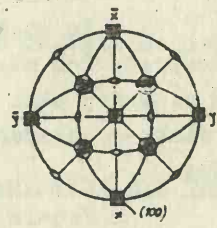


Fig. 112.

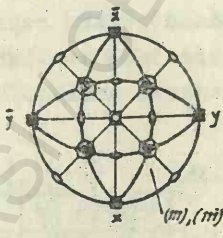


Fig. 113.

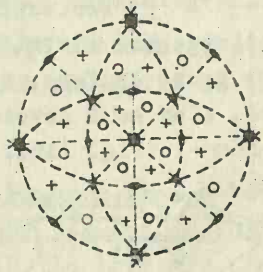


Fig. 114.

3. Proiecția gnomonică

Dacă poli de fețe obținuți prin proiecția sferică se proiectează mai departe, pe un plan tangent la sferă în capătul axei cristalografice, z , atunci avem proiecția gnomonică (fig. 115).

În prima fază se duce deci și aici perpendiculara la fața de cristal, din originea axelor și se prelungește aceasta pînă ce întâlnește sfera în punctul P care este polul feței.

S-a făcut pînă aici proiecția sferică.

După aceea, în a doua fază, se prelungește normala mai departe, pînă cînd întâlnește planul tangent, într-un punct p , care reprezintă proiecția polului, respectiv proiecția gnomonică a feței de cristal.

În această proiecție, unghiurile se proiectează în adevărata lor mărime.

Pe un asemenea plan tangent se pot însă proiecta numai fețele dintr-o emisferă; practic vorbind, numai o parte din acestea.

Fețele cu înclinare mare față de plan se proiectează din ce în ce mai departe de z , trebuie deci un desen din ce în ce mai mare. La limită, pentru fețe perpendiculare pe plan, cu normala paralelă cu planul, proiecția se depărtează la infinit.

Proiecția gnomonică are, din această cauză o utilizare mai restrînsă și anume, doar pentru reprezentarea unor grupe de fețe, cu mică înclinare față de planul tangent, cînd nu-i nevoie decît de redarea unui aspect parțial al formei (fig. 116).

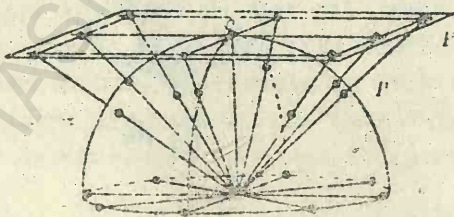


Fig. 115.

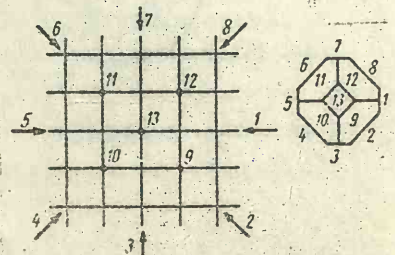


Fig. 116.

VI. POZIȚIA UNEI FEȚE DE CRISTAL ÎN RAPORT CU AXELE CRISTALOGRAFICE.

Am folosit pentru notarea fețelor de cristal, un sistem de trei axe de coordonate, x, y și z . Poziția unei fețe de cristal, în raport cu acest sistem de axe cristalografice poate fi determinată în mai multe moduri:

- prin raportul dintre parametri sau indici ;
- prin stabilirea poziției normalei duse din originea axelor la fața de cristal, cu ajutorul cosinusurilor directe.
- prin ecuația feței în funcție de indicii săi (hkl).

6.1. PRIN RAPORTUL DINTRE PARAMETRI SAU INDICI

O față este determinată în acest mod, prin însăși notația sa prin parametri sau prin indici.

Parametrii, respectiv indicii unei fețe, exprimă așezarea feței respective în raport cu fața fundamentală și în raport cu cele 3 axe de referință, axele cristalografice.

Față de aceste axe, o față de cristal poate avea șapte poziții determinate prin acești parametri și indici (fig. 117).

1. 1 . Fața taie toate cele trei axe; notația sa generală în parametri va fi $ma : nb : pc$, iar în indici, $(h k l)$, cum este cazul, de exemplu, la octaedru, la piramida tetragonală etc. Notația aceasta se referă direct la

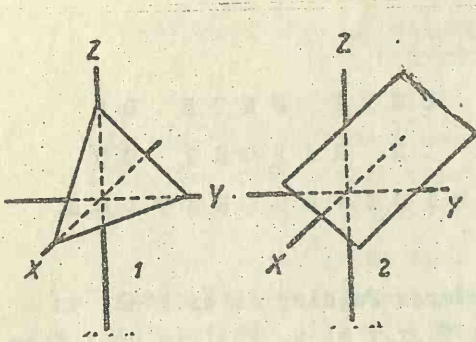


Fig. 117 1,2.

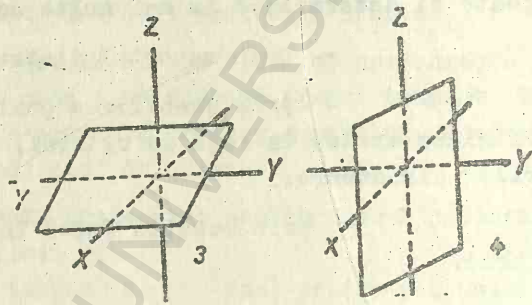


Fig. 117 3,4.

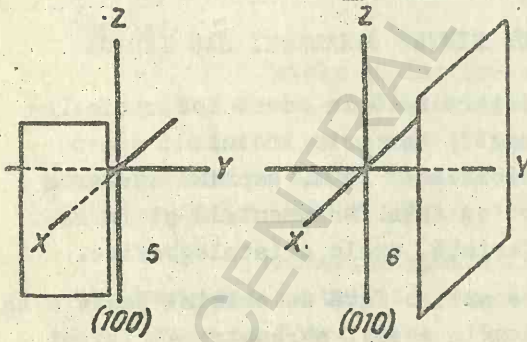


Fig. 117 5,6.

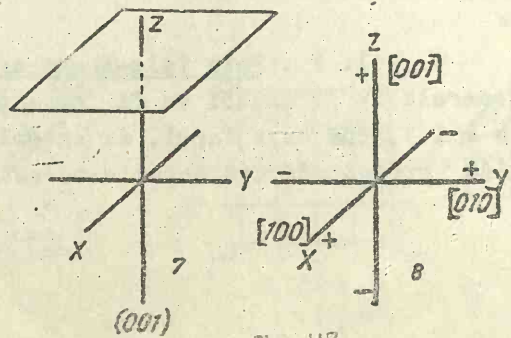


Fig. 117 7,8.

cazul general, cînd fața taie cele 3 axe la distanțe diferite, cum ar fi o față a :2b:3c sau (6 3 2).

Pentru această poziție, sînt însă și două cazuri particulare :

- cînd fața taie 2 axe la aceeași distanță, iar pe a treia la distanță diferită, de ex. față a:b:2c sau (221) și

- cînd fața taie toate cele 3 axe la aceeași distanță, cum este cazul fețelor fundamentale, de ex. față a:b:c sau (111) (caracteristicile egale și indicii egali se reduc la 1).

(2,3,4). Fața este paralelă cu una din axe și taie celelalte două axe, de ex. x și y în cazul prismei rombice, unde fața care intersectează axele x și y este paralelă cu z și se notează, în general, în parametri cu ma:nb:oc, iar în indici cu (hko).

Si aici avem un caz particular : atunci cînd fața taie 2 axe la aceeași distanță și este paralelă cu a 3-a, de ex. față a:a:b:c sau (011), prin reducerea la unitate, ea și în cazul precedent.

(5,6,7) Fața este paralelă cu două axe și o taie pe a treia, cum este cazul la cub sau la o prismă tetragonală cu fețele perpendiculare pe axele x,y sau z, unde avem, în general, notația feței care taie perpendicular axa x, în parametri, ma:∞b:∞c, iar în indici (100) și reducînd la unitate (100). În mod asemănător, fața care taie axa y va fi notată cu ∞a:nb:∞c sau (010) și cea care taie axa z, cu ∞a:∞b:c sau (001).

6.2. DETERMINAREA POZITIEI UNEI FEȚE CU AJUTORUL COSINUSURILOR DIRECTOARE

Aceasta se bazează pe legea constantei unghiurilor: unghiurile pe care le face normala la față cu cele 3 axe, sînt constante pentru toate fețele care au aceeași orientare și care sînt deci paralele între ele.

Aceste unghiuri se numesc unghiuri directoare, iar cosinusurile lor se numesc cosinusuri directoare. Acestea definesc poziția feței.

Intre cosinusurile directoare și parametrii, respectiv indicii feței de cristal, sînt relații care dau posibilitatea să se determine notația fețelor pe baza măsurătorilor de unghiuri.

Să luăm o față care intersectează cele 3 axe în H, K, L (fig. 118) și să ducem, din originea axelor O, normala la această față pe care o intersectează în punctul P.

Intre normala \overline{OP} și cele 3 axe, se formează 3 triunghiuri dreptunghice: \widehat{HOP} , \widehat{KOP} și \widehat{LOP} . Unghiurile pe care le face normala cu cele 3 axe, $\widehat{HOP} = P_x$, $\widehat{KOP} = P_y$ și $\widehat{LOP} = P_z$, sînt unghiurile directoare; ele determină poziția feței de cristal.

Considerînd acum triunghiul HOP (fig. 119) în care unghiul HOP a fost însemnat cu P_x , avem: $\overline{OP} = \overline{OH} \cos P_x$ și la fel în celelalte două triunghiuri, $\overline{OP} = \overline{OK} \cos P_y$ și $\overline{OP} = \overline{OL} \cos P_z$, adică normala la fața de cristal, $\overline{OP} = \overline{OH} \cos P_x = \overline{OK} \cos P_y = \overline{OL} \cos P_z$.

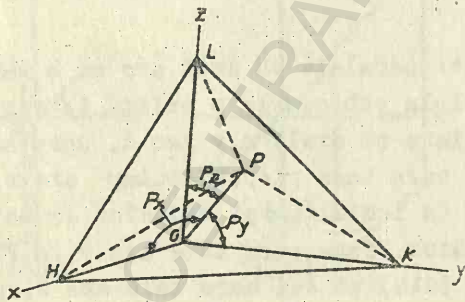


Fig. 118.

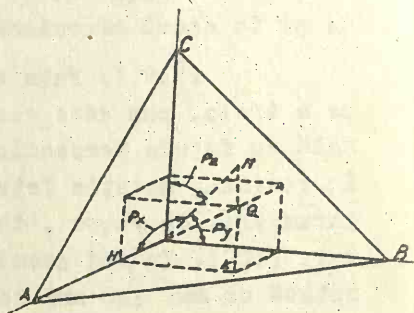


Fig. 120.

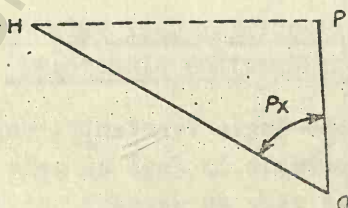


Fig. 119.

\overline{OH} , \overline{OK} și \overline{OL} nu sînt altceva decît parametrii a_1, b_1, c_1 ai feței HKL, în care: $a_1 = ma, b_1 = nb$ și $c_1 = pc$.

Putem scri: $OP = a_1 \cos Px = b_1 \cos Py = c_1 \cos Pz$.

Făcînd raportul dintre termenii acestei relații din care rezultă: $\cos Px = \frac{OP}{a_1}$, $\cos Py = \frac{OP}{b_1}$ și $\cos Pz = \frac{OP}{c_1}$ avem:

$$\cos Px : \cos Py : \cos Pz = \frac{OP}{a_1} : \frac{OP}{b_1} : \frac{OP}{c_1} = \frac{1}{a_1} : \frac{1}{b_1} : \frac{1}{c_1}$$

Deci, cosinusurile directoare sînt invers proporționale cu parametrii feței.

Parametrii feței sînt multipli ai parametrilor fundamentali și deci vom avea: $\overline{OH} = a_1 = ma = \frac{1}{h}a = \frac{a}{h}$

$$\overline{OK} = b_1 = nb = \frac{1}{k}b = \frac{b}{k}$$

$$\overline{OL} = c_1 = pc = \frac{1}{l}c = \frac{c}{l}, \text{ de unde:}$$

$\frac{a}{h} \cos Px = \frac{b}{k} \cos Py = \frac{c}{l} \cos Pz$, care este relația fundamentală de calcul cristalografic.

Pentru sistemul cubic, în care $a=b=c$, relația fundamentală se simplifică și mai mult: $\frac{1}{h} \cos Px = \frac{1}{k} \cos Py = \frac{1}{l} \cos Pz$.

De aici se pot scoate rapoartele :

$$\frac{h}{k} = \frac{\cos Px}{\cos Py} \text{ și } \frac{1}{k} = \frac{\cos Pz}{\cos Py} \text{ sau } h = k \frac{\cos Px}{\cos Py} \text{ și } l = k \frac{\cos Pz}{\cos Py}$$

Rapoartele cosinusurilor sînt numere întregi și mici. Se dă o asemenea valoare de obicei 1, lui k și se determină indicii h și l pe baza acestor relații.

Așa se determină raportul dintre indici, adică notația feței, prin măsurători de unghiuri.

6.3. DETERMINAREA POZIȚIEI FEȚEI DE CRISTAL PRIN ECUAȚIA SA ÎN FUNCȚIE DE INDICI

Se consideră o față ABC care taie axele la distanțele $OA=a$, $OB=b$, $OC=c$ (fig.120).

Ecuția unui plan se poate scrie sub forma:

$A_1x + B_1y + C_1z = K$, în care x, y și z reprezintă coordonatele unui punct oarecare din planul considerat, A_1, B_1 și C_1 sînt constantele feței, iar K , o altă constantă a cărei valoare depinde de distanța planului, feței, de la originea sistemului de coordonate.

Coordonatele intersecției feței fundamentale cu axa x , vor fi $x = a$, $y = 0$ și $z = 0$

Dacă le introducem în ecuația feței rezultă: $A_1 = \frac{K}{a}$.
În același mod se obțin $B_1 = \frac{K}{b}$ și $C_1 = \frac{K}{c}$ de unde se vede că valorile A_1, B_1, C_1 sînt invers proporționale cu parametrii corespunzători, iar ecuația feței devine: $\frac{K}{a}x + \frac{K}{b}y + \frac{K}{c}z = K$
sau $\frac{1}{a}x + \frac{1}{b}y + \frac{1}{c}z = 1$

Pentru fața HKL, generală, $A_1x + B_1y + C_1z = K$ devine

$\frac{K}{a_1}x + \frac{K}{b_1}y + \frac{K}{c_1}z = K$ sau $\frac{1}{a_1}x + \frac{1}{b_1}y + \frac{1}{c_1}z = 1$ și exprimat în parametri fundamentali, cu $a_1 = ma$; $b_1 = nb$ și $c_1 = pc$, ecuația feței HKL este $\frac{1}{ma}x + \frac{1}{nb}y + \frac{1}{pc}z = 1$ sau înlocuind caracteristicile prin indici, rezultă: $\frac{h}{a}x + \frac{k}{b}y + \frac{l}{c}z = 1$.

Aceasta este ecuația feței în funcție de indici și parametri fundamentali, care determină poziția unei fețe de cristal.

Dacă se iau însă ca unități de măsură pe cele trei fețe parametrii fundamentali, ecuația feței devine $hx + ky + lz = 1$, iar dacă fața este deplasată ca să treacă prin origine, ceea ce în cristalografie este totdeauna permis, ecuația feței devine : $hx + ky + lz = 0$.

2.

CRISTALOGRAFIA GEOMETRICA

A. FORMELE POLIEDRICE ALE CRISTALELOR

VII. ZONE DE FEȚE. LEGEA
ZONELOR.

La multe cristale se observă că au serii de fețe care sînt paralele cu o anumită direcțiune și care se intersectează de obicei după muchii paralele între ele și paralele cu direcțiunea respectivă.

Se spune că aceste fețe constituie o zonă de fețe, iar direcția cu care sînt paralele este o axă de zonă.

Fețele dintr-o aceeași zonă sînt numite fețe tauzonale sau cozonale.

Adesea, la o formă sînt mai multe zone de fețe. Așa de ex., la un cristal în formă de prismă tetragonală (fig. 121), cele 4 fețe laterale sînt paralele și au muchiile paralele cu axa L^4 ; ele constituie o zonă de fețe, iar axa L^4 este, în acest caz, axă de zonă. Fața anterioară (100), fața superioară (001), fața posterioară ($\bar{1}00$) și fața inferioară, de bază, (00 $\bar{1}$), constituie deasemenea o zonă, a cărei axă este însă axa L^2 , aleasă ca axă y și \bar{y} .

Deasemenea, cealaltă pereche de fețe laterale, împreună cu fețele de bază, formează o zonă care are ca axă axa L^2 , x și \bar{x} , întrucît toate aceste fețe: (010), (001), (0 $\bar{1}$ 0), (00 $\bar{1}$), sînt paralele cu această direcție.

În cazul unui cristal de cuarț cu fețele de prismă și de bipiramidă hexagonală (fig. 122 a, b) fețele prisme hexagonale sînt paralele cu axa L^6 ; formează o zonă de fețe cu axa de zonă z și \bar{z} (L^6).

Fața lateral anterioară ($10\bar{1}0$), cu fața posterioară ($\bar{1}010$), și cu fețele de bipiramidă adiacente, ($10\bar{1}1$), ($\bar{1}011$), ($10\bar{1}\bar{1}$), ($10\bar{1}\bar{1}$), formează o zonă care are ca axă direcția $y\bar{y}$ (în cazul de față, axă L^2).

Tot astfel constituie o zonă, fețele paralele cu $x\bar{x}$ ($01\bar{1}0$), ($01\bar{1}1$), ($0\bar{1}11$), ($0\bar{1}10$), ($0\bar{1}\bar{1}1$), ($0\bar{1}\bar{1}\bar{1}$) și altă zonă în care fețele sînt paralele cu $u\bar{u}$, ($\bar{1}100$), ($\bar{1}101$), ($\bar{1}\bar{1}00$), ($\bar{1}\bar{1}0\bar{1}$), ($\bar{1}\bar{1}0\bar{1}$), ($\bar{1}\bar{1}01$) acestea fiind axele lor de zonă.

Nu este însă nevoie ca axele de zonă să fie în același timp și axe de simetrie, dar ele sînt mulții posibile de cristal.

În cazul romboedului, de ex. (fig. 123), axele lui Miller, care unesc mijlocul perechilor de fețe opuse ce se notează ca fețele de cub, sînt axe de zonă, fără a fi în același timp și axe de simetrie. Se deosebesc aici 3 zone de fețe:

- zona cu fețele (100), (001), ($\bar{1}00$) și ($00\bar{1}$) care are ca axă de zonă axa $y\bar{y}$;
- zona cu fețele (010), (001), ($0\bar{1}0$) și ($00\bar{1}$), care are axa de zonă $x\bar{x}$;
- zona cu fețele (100), (010), ($\bar{1}00$), ($0\bar{1}0$), care are axa de zonă $z\bar{z}$.

La un tetraedru (fig. 124), fiecare muchie constituie o axă de zonă care cuprinde două fețe. De ex. muchia superioară este axa de zonă pentru fețele (111) și ($\bar{1}\bar{1}\bar{1}$); ș.a.m.d. Dacă se duc plane care taie două fețe tantozonale paralel cu muchia lor de intersecție, rezultă fețe care se găsesc în aceeași zonă.

În fapt axele sînt deplasate paralel pînă cînd trec prin mijlocul cristalului.

O zonă poate fi formată deci din două sau mai multe fețe paralele cu o direcție (muchie reală sau posibilă de cristal) care este axa de zonă.

Dacă la prisma tetragonală (fig. 125) se consideră o serie de fețe care taie prisma paralel cu muchiile laterale, aceste fețe vor face parte ca și fețele prismei inițiale, din aceeași zonă cu axa $z \bar{z}$. Am putea duce astfel o infinitate de fețe paralele cu $z \bar{z}$, care să facă parte din aceeași zonă, să fie tautozonale.

Tot așa se întâmplă în cazul creșterii unui cristal de alaun de crom. Toate fețele virtuale care se formează la început fac parte din aceeași zonă cu fețele finale (100) și (110), fig.125 b).

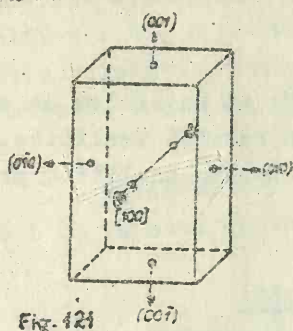


Fig. 121

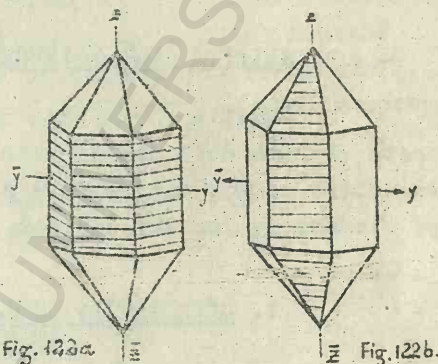


Fig. 122a

Fig. 122b.

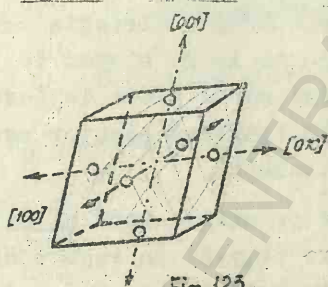


Fig. 123.

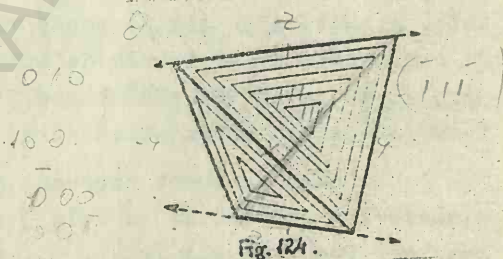


Fig. 124.

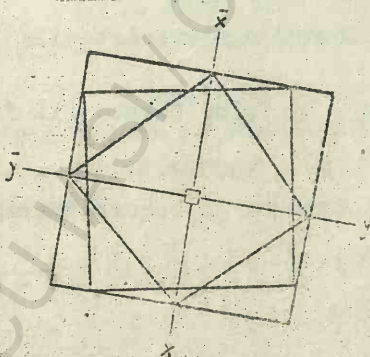


Fig. 125a

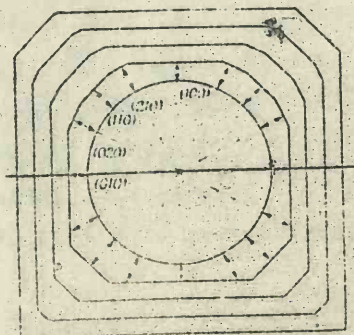


Fig. 125b.

La cristalele reale nu pot însă apărea toate fețele ce pot fi deduse în acest mod. Fețele cu înclinarea mare, în raport cu forma primitivă considerată, au indici mari, nu satisfac legea lui Haüy și deci nu sînt posibile ca fețele de cristal.

Toate fețele posibile ale unui cristal sînt plane ale căror indici sînt numere întregi și mici și sînt între ele în relații zonale.

Aceasta este legea zonelor, care în fapt nu reprezintă decît o altă expresie a legii lui Haüy.

RELATII ZONALE INTRE FEȚE

Poziția unei fețe în raport cu un sistem de axe se poate exprima după cum am văzut, prin relații analitice. Și relațiile zonale dintre fețe se pot exprima analitic, precum și elementele zonelor de fețe.

1. SIMBOLURILE AXELOR DE ZONĂ

O zonă este definită dacă se cunoaște direcția axei sale. Această direcție se poate raporta la un sistem de 3 axe de coordonate ca și fețele de cristal și se poate deplasa paralel cu ea însăși pînă trece prin originea acestor axe, fără ca poziția sa relativă să se schimbe.

Luînd un punct oarecare de pe axa de zonă și determinîndu-i coordonatele pe cele 3 axe (x, y, z) în raport cu parametrii fundamentali (a, b, c), vom avea pentru punctul considerat: $\frac{x}{a} : \frac{y}{b} : \frac{z}{c}$ sau, înlocuind caracteristicile prin

indici, relația : $\frac{hx}{a} : \frac{ky}{b} : \frac{lz}{c}$ și luînd parametrii fundamentali ca unități de măsură, $hx : ky : lz$.

Acestea se transformă totdeauna în numere întregi și se iau: $hx = u, ky = v$ și $lz = w$.

Aceștia sînt indicii axei de zonă, iar simbolul axei de zonă se scrie sub forma generală $[u\ v\ w]$, cu indicii axei de zonă puși între paranteze drepte.

Luînd de ex. axa de zonă $x\ \bar{x}$ a cubului (fig. 126) vom avea relația $\frac{hx}{a} : \frac{ky}{b} : \frac{lz}{c}$. Considerînd punctul de

intersecție al axei cu fața anterioară ($h=1, k=0, l=0$)

relația devine $\frac{x}{a} : \frac{0}{b} : \frac{0}{c} = \frac{x}{a} : 0 : 0$.

Parametrii fundamentali fiind luați ca unități de măsură, rezultă $x : 0 : 0$ și împărțind cu x (ceea ce nu schimbă poziția relativă a elementului cristalografic considerat), vom avea $1 : 0 : 0$ sau $[100]$, simbolul axei de zonă respective.

Axa de zonă $y\ \bar{y}$ va avea simbolul $[010]$, iar axa de zonă $z\ \bar{z}$, va avea simbolul $[001]$.

2. ECUAȚIA AXEI DE ZONĂ.

O dreaptă care trece prin două puncte, $M_1 (x_1 y_1 z_1)$ și $M_2 (x_2 y_2 z_2)$, (fig. 127) are ecuația, $\frac{x - x_1}{x_2 - x_1} = \frac{y - y_1}{y_2 - y_1} = \frac{z - z_1}{z_2 - z_1} = K$

În cazul unei drepte care trece prin origine, relația se simplifică (fig. 128).

Considerînd unul din cele două puncte (M_1) în origine, deci cu coordonatele $(0,0,0)$ iar pe al doilea (M_2) ca un punct oarecare cu coordonatele u,v,w , relația de mai sus devine:

$$\frac{x - 0}{u - 0} = \frac{y - 0}{v - 0} = \frac{z - 0}{w - 0} \text{ sau } \frac{x}{u} = \frac{y}{v} = \frac{z}{w} = K$$

AXA DE ZONĂ

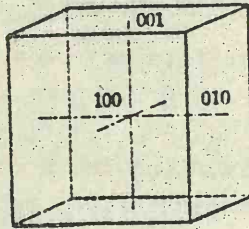


Fig. 126

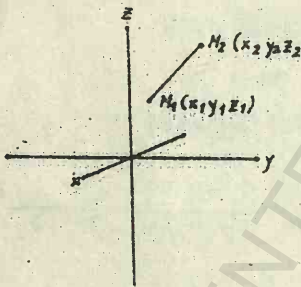


Fig. 127.

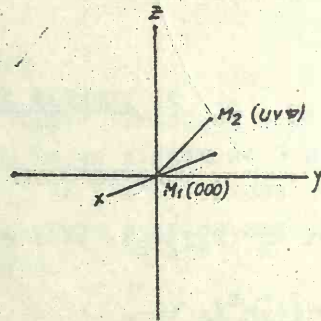


Fig. 128.

O dreaptă care trece prin origine este deci determinată prin proiecțiile u, v, w ale unui singur punct de pe ea.

Acesta este și cazul axei de zonă, în ecuația de mai sus, u, v, w fiind indicii axei, iar x, y și z coordonatele unui punct oarecare al ei.

3. RELATIILE DINTRE O FAȚĂ ȘI AXA ZONEI DIN CARE FACE PARTE. ECUATIA ZONELOR

Relațiile dintre fețele unei zone, între ele și în raport cu axa lor de zonă, sînt date de formule matematice (ecuații), cu ajutorul cărora se pot calcula indicii tuturor fețelor în zonă, sau invers, plecînd de la indicii unor fețe tautazonale se pot calcula indicii zonei din care fac parte.

- Pentru a putea stabili relația dintre o față și axa zonei, deplasăm, atît fața, cît și axa, paralel cu pozițiile lor inițiale, pînă trec prin originea axelor de coordonate. Cele două elemente fiind, prin definiție, paralele, se suprapun. Dreapta $[u v w]$ va fi situată în planul $(h k l)$.

Ecuația dreptei care trece prin origine am văzut că este, $\frac{x}{u} = \frac{y}{v} = \frac{z}{w} = K$, iar ecuația feței care trece prin origine, $hx_1 + ky_1 + lz_1 = K$. Dreapta care este cuprinsă în plan trebuie să aibă astfel de coordonate care să satisfacă ecuația planului.

Pentru aceasta, scoatem din ecuația dreptei, valorile x, y, z și le introducem în ecuația planului. Vom avea:

$$x = uK, y = vK \text{ și } z = wK \text{ și deci}$$
$$hx + ky + lz = uKh + vKk + wKl = 0$$
$$\text{sau } uh + vk + wl = 0$$

Această ecuație leagă fața (hkl) de o axă de zonă $[u v w]$ și poartă denumirea de ecuația zonelor.

4. APLICAȚII ALE ECUAȚIEI ZONELOR

Cu ajutorul acestei ecuații se mai pot stabili și alte relații între fețele în zonă:

4. 1. Condiția ca o față cu indicii (h, k, l) să facă parte din zona determinată de alte două fețe ai căror indici sînt: (h_2, k_2, l_2) și (h_3, k_3, l_3) .

Dacă aceste trei fețe sînt tautozonale, vom putea deplasa una din fețe, paralel cu ea însăși pînă cînd va trece prin intersecția celorlalte două. Această intersecție devine deci o dreaptă comună, cuprinsă în toate cele trei fețe.

Fie un punct de pe această intersecție, ale cărui coordonate sînt x, y și z . Aceste coordonate vor trebui să satisfacă ecuațiile tuturor celor trei fețe, astfel că vom putea scrie:

$$h_1 x + k_1 y + l_1 z = 0$$

$$h_2 x + k_2 y + l_2 z = 0$$

$$h_3 x + k_3 y + l_3 z = 0$$

Condiția necesară și suficientă pentru ca aceste coordonate să satisfacă ecuațiile celor trei fețe, este ca determinantul coeficienților să fie nul:

$$\Delta = \begin{vmatrix} h_1 & k_1 & l_1 \\ h_2 & k_2 & l_2 \\ h_3 & k_3 & l_3 \end{vmatrix} = 0$$

$$\text{deci: } h_1(k_2 l_3 - l_2 k_3) - k_1(h_2 l_3 - l_2 h_3) + l_1(h_2 k_3 - k_2 h_3) = 0$$

Dacă luăm termenii din paranteze, respectiv,

$$k_2 l_3 - l_2 k_3 = u$$

$$h_2 l_3 - l_2 h_3 = -v$$

$$h_2 k_3 - k_2 h_3 = w$$

relația de mai sus devine, $h_1 u + k_1 v + l_1 w = 0$, ecuație care exprimă condiția ca fața $(h_1 k_1 l_1)$ să fie tautozonală cu fețele $(h_2 k_2 l_2)$ și $(h_3 k_3 l_3)$.

Notă Plecînd de la acest calcul s-a imaginat un procedeu mnemonic de a calcula repede indicii de zonă din indicii a două fețe, astfel:

Din ecuațiile celor două fețe tautozonale:

$$h_1 u + k_1 v + l_1 w = 0$$

$$h_2 u + k_2 v + l_2 w = 0$$

se scot și se scriu repetat indicii fiecărei fețe

$$\begin{array}{c|ccc|c} h_1 & k_1 l_1 h_1 k_1 & l_1 \\ & \times \times \times & \\ h_2 & k_2 l_2 h_2 k_2 & l_2 \end{array}$$

Se desparte prima și ultima coloană, se înmulțesc termenii dintre linii și se scot produsele obținute la înmulțirea din dreapta sus spre stînga jos, din cele obținute prin înmulțirile efectuate de la stînga sus la dreapta jos.

Rezultă indicii de zonă

$$k_1 l_2 - k_2 l_1 = u$$

$$l_1 h_2 - h_1 l_2 = v$$

$$h_1 k_2 - k_1 h_2 = w$$

De ex. axa de zonă dintre fețele de cub (010) și (001) :

$$\begin{array}{c|c} 0 & \begin{array}{cccc} 1 & 0 & 0 & 1 \\ \times & \times & \times & \\ 0 & 1 & 0 & 0 \end{array} & 0 \end{array} \text{ și vom avea : } u = (1 \times 1) - (0 \times 0) = 1$$

$$v = (0 \times 0) - (0 \times 1) = 0$$

$$w = (0 \times 0) - (1 \times 0) = 0$$

$u \quad v \quad w$

simbolul axei va fi $[100]$.

La axa de zonă dintre fețele de octaedru, (111) și $(\bar{1}\bar{1}1)$ vom avea:

$$\begin{array}{c|c} 1 & \begin{array}{cccc} 1 & 1 & 1 & 1 \\ \times & \times & \times & \\ 1 & \bar{1} & 1 & \bar{1} \end{array} & 1 \end{array} \text{ pentru } u = (1 \times 1) - (1 \times \bar{1}) = 2$$

$$v = (1 \times 1) - (1 \times 1) = 0$$

$$w = (1 \times \bar{1}) - (1 \times 1) = \bar{2}$$

$u \quad v \quad w$

Simbolul axei de zonă va fi: $[20\bar{2}]$ sau $[10\bar{1}]$. Axa se află în planul xoz la 45° între ox și oz.

4.2. Se determină o față $(h \ k \ l)$ care satisface două zone:

$$[u_1 v_1 w_1] \text{ și } [u_2 v_2 w_2].$$

Plecînd de la ecuațiile:

$$hu_1 + kv_1 + lw_1 = 0$$

$$hu_2 + kv_2 + lw_2 = 0$$

se rezolvă problema cu ajutorul indicilor de zonă:

$$\begin{array}{c|c} u_1 & \begin{array}{ccc} v_1 w_1 u_1 v_1 \\ \times \times \times \\ v_2 w_2 u_2 v_2 \end{array} & w_1 \end{array} \quad h = v_1 w_2 - w_1 v_2$$

$$\begin{array}{c|c} u_2 & \begin{array}{ccc} v_2 w_2 u_2 v_2 \\ \times \times \times \\ v_1 w_1 u_1 v_1 \end{array} & w_2 \end{array} \quad k = w_1 u_2 - u_1 w_2$$

$h \ k \ l$

$$l = u_1 v_2 - v_1 u_2$$

De exemplu fața care satisface zonele $[100]$ și $[10\bar{1}]$ se află din :

$$1 \begin{vmatrix} 0 & 0 & 1 & 0 \\ 0 & 1 & 1 & 0 \\ 0 & 1 & 1 & 0 \end{vmatrix} 0 \quad \text{de unde: } h = (0 \times \bar{1}) - (0 \times 0) = 0$$

$$1 \begin{vmatrix} 0 & 1 & 1 & 0 \\ 0 & 1 & 1 & 0 \\ 0 & 1 & 1 & 0 \end{vmatrix} \bar{1}$$

$$h \ k \ l$$

$$k = (0 \times 1) - (1 \times \bar{1}) = \bar{1}$$

$$l = (1 \times 0) - (0 \times 1) = 0$$

Fața $(h \ k \ l)$ este fața (010) . Fața de cub din dreapta satisface cele două zone.

4.3. Determinarea fețelor posibile la un cristal.

- Cunoscând indicii a două fețe dintr-o zonă $[u \ v \ w]$ se pot calcula indicii tuturor fețelor cuprinse în această zonă, aducînd pe rînd ecuațiile fețelor.

Astfel adunînd indicii fețelor $(h_1 k_1 l_1)$ și

$$(h_2 k_2 l_2),$$

$$h_1 u + k_1 v + l_1 w = 0$$

$$h_2 u + k_2 v + l_2 w = 0, \text{ rezultă ecuația:}$$

$$(h_1 + h_2)u + (k_1 + k_2)v + (l_1 + l_2)w = 0 \text{ a unei a treia fețe,}$$

$$(h_1 + h_2; k_1 + k_2; l_1 + l_2) \text{ din această zonă } [uvw].$$

În modul acesta, dintr-un poliedru cu minimum de fețe și cu cei mai simpli indici, un tetraedru dreptunghic cu fețele: (100) , (010) , (001) și (111) se pot deduce toate fețele posibile ale unui cristal (fig.129) prin adunări succesive de indici (130).

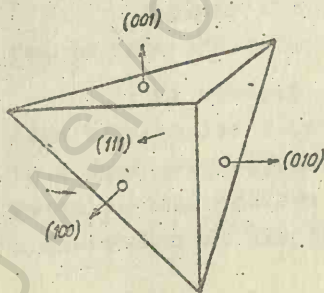


Fig. 129.

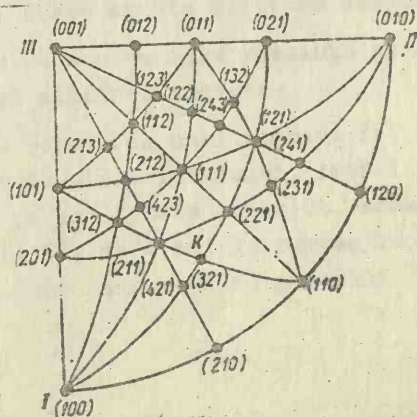


Fig. 130

$(001) + (010) = (011)$; $(100) + (010) = (110)$; $(001) +$
 $(100) = (101)$; $(100) + (011) = (111)$; $(100) + (111) = (211)$;
 $(100) + (110) = (210)$ etc.

Vedem că din $(101) + (010) = (111)$, ca și din suma $(001) + (110) = (111)$, obținem tot fața de octaedru.

Fața (111) se găsește în trei zone:

Putem merge astfel la infinit, de ex. $(100) + (210) =$
 $= (310)$; $(100) + (310) = (410)$ etc., dar pe baza legii lui Haüy, fețele cu indici prea mari nu mai sînt posibile la cristalele reale.

Obținerea fețelor posibile la un cristal, pe această cale, a fost numită de cristalograful Goldschmidt, regula de complicare și se exprimă astfel :

Totalitatea fețelor posibile la un cristal se obține prin complicare, din indicii unui tetraedru elementar (dreptunghic)

Remarcă. Fețele care fac parte din aceeași zonă se proiectează stereografic pe același cerc mare. Ex., fețele:

$(100), (111), (011)$ etc. fac parte din zona $[011]$;
 $(001), (110), (111)$ etc. " " " " $[110]$;
 $(100), (110), (210), (310), (410)$ etc. " " $[001]$.

2.

CRISTALOGRAFIA GEOMETRICA

A. FORMELE POLIEDRICE ALE CRISTALELOR.

VIII. FORME SIMPLE - FORME COMPUSE.

După cum am văzut, cea mai evidentă caracteristică a cristalelor este aceea că, în foarte multe cazuri, ele se prezintă în forme poliedrice.

Poliedrele cristaline care s-au putut dezvolta liber, au forme regulate și se caracterizează prin felul, forma și numărul fețelor care le delimitează.

Nu totdeauna se întâlnesc asemenea forme ideale; de foarte multe ori, din cauza condițiilor nefavorabile de creștere, cristalele se prezintă în forme neregulate, cu fețele analoge dezvoltate diferit, uneori cu contur diferit și adesea, situate la distanțe diferite față de centru. Potrivit legii constanței unghiurilor, în proiecția stereografică, polii acestor deformațiuni cristaline se vor proiecta însă în aceeași poziție cu cei ai formelor ideale.

Noi ne vom ocupa, în cele ce urmează, de formele ideale de cristale, deformațiunile cristaline comportându-se în mod asemănător și supunându-se aceluiași legi.

Formele poliedrice ale cristalelor pot fi împărțite în două categorii : forme simple și forme compuse.

Formele simple sînt acelea care prezintă un singur fel de fețe echivalente și simetric așezate.

Ele rezultă prin repetarea unei anumite fețe, conform elementelor de simetrie ale cristalului. Astfel, dacă se ia o față perpendiculară pe axa L_6^3 din clasa Oh, această față se va repeta, conform axei L^4 , de 4 ori în partea superioară a sistemului de axe (fig.131) iar conform planului π , ori-

zontal, toate aceste fețe se vor oglindi în partea inferioară a sistemului de axe.

Toate fețele vor fi triunghiulare, perpendiculare pe axele L_6^3 ; va rezulta o formă simplă cu opt fețe, adică un octaedru (fig. 132).

Dacă în aceeași clasă, Oh, se ia o față perpendiculară pe axa L^4 , aceasta se va repeta conform aceluiași axe, de 6 ori și va rezulta hexaedrul sau cubul (fig. 133). Atât fețele de cub, cât și cele de octaedru închid spațiul de jur împrejur; se spune că sînt forme închise.

La un cristal în formă de prismă tetragonală cu simetria D_{4h} , se observă însă două feluri de fețe; două fețe patrulate și patru fețe dreptunghiulare (fig. 134). Dacă luăm o față paralelă cu axa L^4 și perpendiculară pe axa L^2 , x \bar{x} , această față se va repeta, conform axei L^4 , de 4 ori în jurul acesteia. Nici unul din celelalte elemente de simetrie nu mai repetă fața în altă poziție.

Rezultă o formă simplă deschisă cu 4 fețe.

Fețele de bază au altă poziție în raport cu elementele de simetrie. Dacă se ia o față perpendiculară pe axa L^4 , în partea superioară acesta se va repeta conform planului π și în partea inferioară; altă repetare a ei nu mai este posibilă pe baza elementelor de simetrie existente.

Rezultă tot o formă simplă deschisă, dar cu 2 fețe, care închide cristalul, formînd cele două baze ale prisme.

Cristalul prezintă deci o formă compusă, care este constituită din 2 forme simple. Formele simple pot fi așa dar, forme închise, cum a fost cubul sau octaedrul, care delimitează complet un spațiu și forme deschise, care nu delimitează spațiul complet. Cristalele nu pot avea însă decît forme închise; fie simple, fie compuse.

Cristalele prezintă mai rar forme simple; cel mai frecvent ele prezintă forme compuse din 2 sau mai multe forme simple. Formele simple deschise, bine-înțeles că nici

nu pot exista izolate; sînt totdeauna asociale cu alte forme simple, închise sau deschise, pentru a constitui forme compuse, închise.

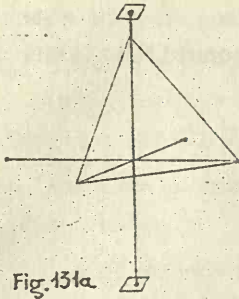


Fig. 131a

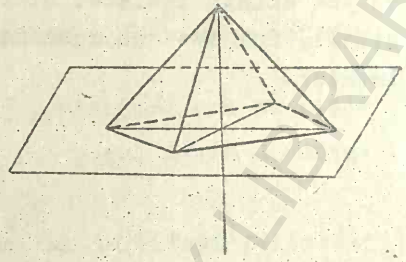


Fig. 131b.

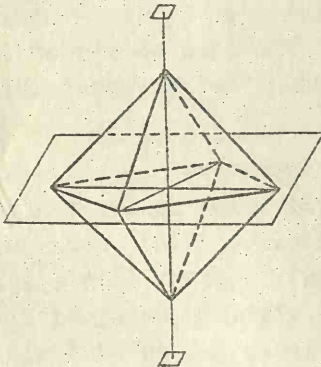


Fig. 132a

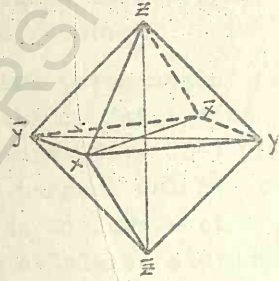


Fig. 132b.

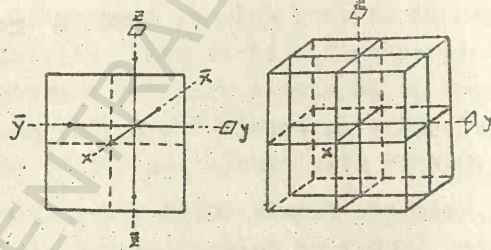


Fig. 133

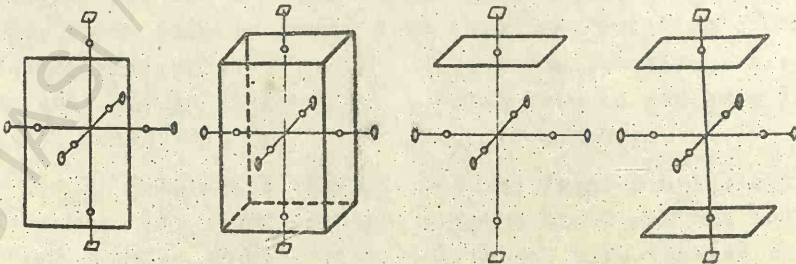


Fig. 134.

1. FORME SIMPLE POSIBILE LA CRISTALE

După cum există un număr limitat de elemente de simetrie, care se pot asocia după legile cristalografice, într-un număr determinat de moduri, constituind cel 32 de clase de simetrie, tot așa și numărul formelor simple de cristal este limitat.

Aceasta, pe de-o parte, din cauza numărului limitat al pozițiilor pe care le poate avea fața generatoare, iar pe de altă parte, din cauza legilor de simetrie, după care se repetă această față.

În denumirea formelor simple de cristale, cel mai simplu și rațional sistem este acela care ține seama de forma și numărul fețelor, de forma primitivă sau fundamentală înrudită și de simetrie.

Aceasta este de ex. cazul trigontrioctaedrului din clasa Oh , cu 8 fețe triunghiale, grupate câte trei, pe fața de octaedru (fig. 135).

Tot astfel este cazul formei cu același număr de 8 fețe pe fiecare față de octaedru, dar de formă tetragonală, tetragontrioctaedru (fig. 136).

Fiecare denumire trebuie să conțină numai elementele esențiale, care o definesc.

În cazul formei cu grupe de câte 6 fețe pe fiecare față de octaedru, care este unică în acest fel, nici nu mai este nevoie să se arate forma fețelor. Ea se numește pur și simplu hexaoctaedru (fig. 137).

După acest criteriu, se disting în total 49 de forme simple.

Există uneori însă, câteva forme cu același aspect, care

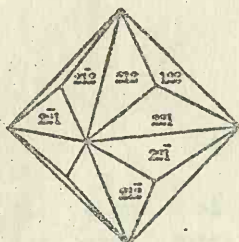


Fig. 135

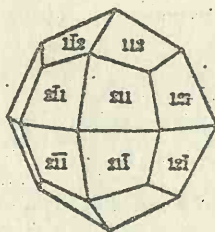


Fig. 136

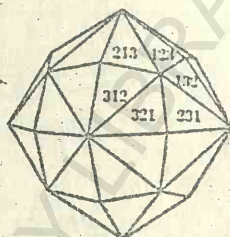


Fig. 137.

ar cere aceeași denumire, dar care rezultă, fie prin repetarea unor fețe generatoare cu poziții diferite între ele și în raport cu sistemul de axe cristalografice, fie prin repetarea aceluiași fețe, dar pe baza unor elemente diferite de simetrie.

Cu aceste variante, numărul formelor simple, în sensul mai larg, dar mai riguros, crește.

Astfel, de ex. dacă luăm o față paralelă cu axa L^4 , $z \bar{z}$, în clasa planaxială a sistemului tetragonal și o considerăm că taie la distanțe egale axele $x \bar{x}$ și $y \bar{y}$, respectiv, două axe L^2 , față, cu notația (110) se va repeta de 4 ori în jurul axei L^4 și va rezulta o prismă cu secțiunea pătrată, prisma tetragonală (fig. 138).

Dacă luăm, în aceeași clasă, față generatoare, paralel cu L^4 , $z \bar{z}$, astfel ca să taie perpendicular o axă din aceeași grupă, de ex. L^2 , $x \bar{x}$, fața se va repeta tot de 4 ori, va rezulta tot o prismă tetragonală, dar cu fețe de forma (100), orientate diferit (fig. 139).

Ambele forme sînt prisme tetragonale, dar fețele lor ocupă poziții diferite și au notații diferite, cu toate că au aceeași simetrie, D_{4h} .

Și în cazul cînd se ia o față paralelă cu $z \bar{z}$, într-o poziție oarecare în raport cu axele x și y , deci o față (hk0), pe baza axei L^4 rezultă tot o prismă tetragonală, dar aceasta nu mai are alte axe de simetrie în afara axei L^4 și nici plane P^2 , face parte din clasa centrică (fig. 140).

Fiecare prismă tetragonală rezultă astfel prin repetarea altei fețe generatoare: (110) , (100) sau de ex. (210) ; în sensul larg sînt forme simple diferite. Formele care taie cele două axe orizontale la aceeași distanță, ca forma (110) , se spune că sînt forme de specia I; cele care taie o singură axă orizontală cu fiecare față, iar aceasta este paralelă cu celelalte două axe, ca forma cu fețe (100) , se spune că sînt forme de specia II-a; în fine, cele ale căror fețe taie oîte două axe orizontale la distanțe diferite, ca forma cu fețe (210) , se spune că sînt forme de specia III-a.

Desigur că la o formă simplă, alegerea poziției axelor cristalografice este arbitrară pentru cele trei specii de forme și că în toate cazurile vom considera forma ca fiind de specia I. Formele simple de specia II-a și III-a nu se consideră ca atare decît atunci cînd sînt asociate între ele și cu forme de specia I, adică în forme compuse.

Am văzut că, în raport cu un sistem de axe cristalografice, o față poate ocupa 7 poziții diferite, din care una generală (hkl) , în care taie cele trei axe la distanțe diferite, iar celelalte, particulare, în care fața, fie că taie două sau toate cele trei axe la distanțe egale, fie că este paralelă cu una sau două axe.

Formele simple care rezultă prin repetarea unei fețe din poziția generală (hkl) , se numesc forme generale, iar celelalte, forme particulare.

Formele care rezultă prin repetarea unei fețe fundamentale se numesc forme fundamentale. Fețele lor intersectează cele trei axe la aceeași distanță, măsurată în parametri fundamentali $(a:b:c)$, (111) și sînt prin urmare, tot forme particulare.

SPECII DE FORME SIMPLE

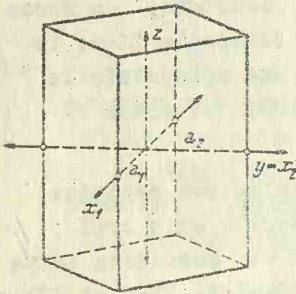


Fig. 138a

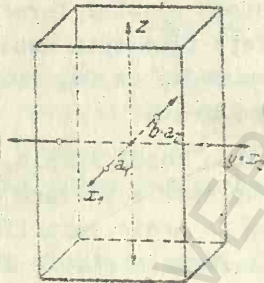


Fig. 139a



Fig. 140a

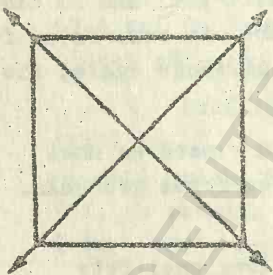


Fig. 138b.

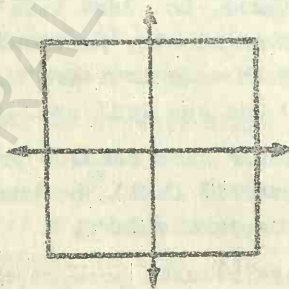


Fig. 139b

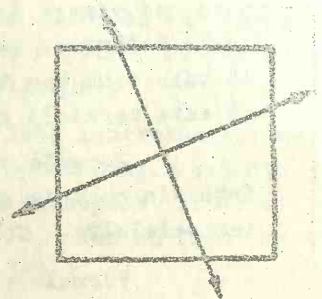


Fig. 140b.

SPECIA I

SPECIA II

SPECIA III

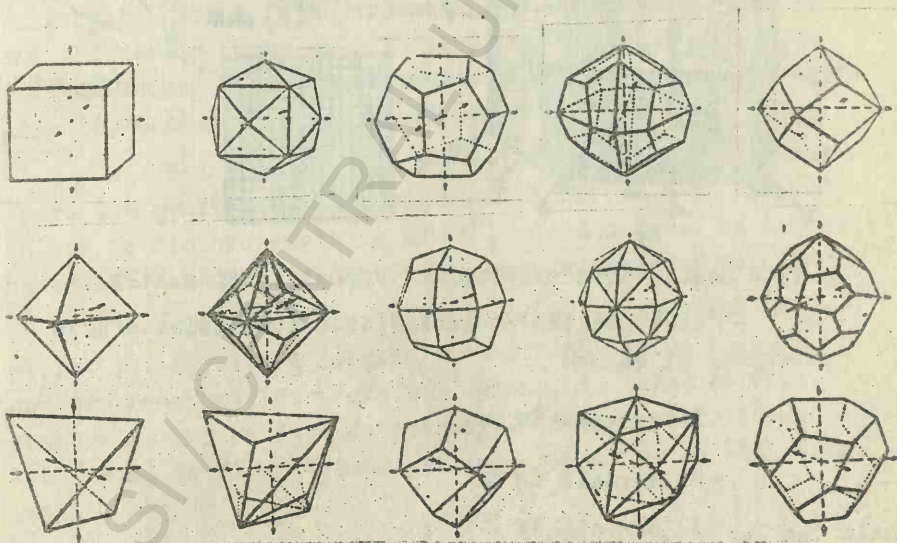
DEDUCEREA FORMELOR SIMPLE POSIBILE LA CRISTALE.

În modul cel mai simplu se pot deduce formele simple posibile la cristale, cu ajutorul proiecției stereografice, repetind polul feței generatoare pentru fiecare din cele 7 poziții pe care le poate ocupa într-un triunghi sferic elementar și în raport cu elementele de simetrie ale fiecărei clase. În acest mod vom prezenta și noi în cele ce urmează, formele simple din fiecare sistem începând cu sistemul cubic.

1. 1. SISTEMUL C U B I C.

Datorită relației axiale, $\alpha = \beta = \gamma = 90^\circ$ și $a : a : a$, formele de cristale din sistemul cubic au, în general, un aspect izometric.

Numărul mare de elemente de simetrie (minimum 7, în clasa de simetrie primitivă, $3L^2 4L^3$, și dispoziția lor reciprocă, face ca în sistemul cubic să nu existe în nici o clasă direcții unice ci, numai direcții simetric egale.



FORMELE SIMPLE DIN SISTEMUL CUBIC

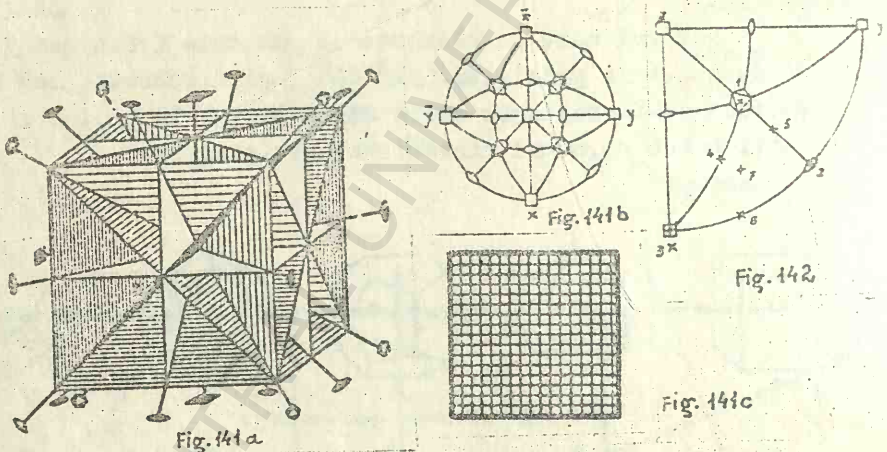
Sistemul cubic are și cele mai multe forme simple (15), fiind singurul sistem care - în clasa planaxială - are câte o formă simplă distinctă pentru fiecare din cele șapte poziții posibile ale feței generatoare.

Se întâlnesc în acest sistem forme meriedrice variate: homiedrice și tetartoeatrice, forme dreapta și stânga, forme pozitive și forme negative.

a. Clasa planaxială.

În clasa planaxială, cu formula de simetrie:

$3L^4$ $4L^3$ $6L^2$ și cu proiecția stereografică din fig.141,
 3π $6P^2C$



o față poate ocupa următoarele 7 poziții (fig.142).

- trei poziții pe colțurile triunghiului sferic elementar și anume:

1. normală în L^3
2. normală în L^2
3. normală în L^4

- trei poziții în care normalele lor se proiectează pe laturile triunghiului sferic:

4. cu normala cuprinsă între L_6^3 și L^4
5. " " " " L_6^3 și L^2
6. " " " " L^2 și L^4

și o poziție, 7, cu normala cuprinsă între L^4 , L_6^3 și L^2 , care se proiectează în interiorul triunghiului sferic.

-Repetind polul feței proiectate în poziția (1) va rezulta câte o față perpendiculară pe fiecare capăt de axă L_6^3 , deci o formă cu 8 fețe, octaedrul (fig.143a). Se obișnuiește să se noteze formele simple de cristal prin indicii feței generatoare, puși între paranteze acolade. Octaedrul este forma fundamentală și se notează $\{111\}$, iar proiecția sa stereografică este cea din fig. 143 b).

- Repetind fața proiectată în poziția (2), (110), va rezulta câte o față perpendiculară pe fiecare capăt de axă L^2 , deci o formă cu 12 fețe, un dodecaedru. Fețele acestui dodecaedru au formă rombică, forma se numește dodecaedru romboidal (fig.144) care se notează cu $\{110\}$.

- Repetind conform simetriei, polul feței generatoare din poziția (3), (100), rezultă câte o față perpendiculară pe fiecare capăt de axă L^4 , adică o formă cu 6 fețe, hexaedrul sau cubul (fig.145), care se notează cu $\{100\}$.

- Prin repetarea feței care se proiectează în poziția (4), (211), va rezulta câte o față pentru fiecare poziție cuprinsă între axele L^4 și L_6^3 , în total 24 fețe grupate câte 3 pe față de octaedru. Fețele sînt tetragonale deci forma va fi un tetragon-trioctaedru, de ex. $\{211\}$ (fig. 146).

După cum înclinarea feței este mai mare sau mai mică față de axa L^4 , normala va cădea în proiecție, mai aproape sau mai departe de capătul respectiv al axei L^4 , dar în toate cazurile pe planul P^2 care trece prin $x \bar{x}$ și printre y

și z , la 45° ; deci vor rezulta mai multe forme tetragontri-octaedru, care se vor nota, în general, cu $\{hll\}$. Numărul lor este limitat de legea lui Hally.

- Prin repetarea feței proiectate în poziția (5), (221), va rezulta câte o față pentru fiecare poziție cuprinsă între axele L_6^3 și L^2 , deci tot 24 fețe, grupate câte 3 pe fiecare față de octaedru.

Fețele fiind însă aici, triunghiulare, forma se va numi trigontriocetaedru (fig.147) și se va nota cu $\{221\}$ sau în general, cu $\{h h l\}$.

- Pentru poziția (6), (210), a feței generatoare va rezulta o formă cu 24 fețe, care au normalele cuprinse între L^2 și L^4 , pe planele π , grupate câte 4 pe fiecare față de hexaedru din care cauză se numește tetrahexaedru sau cub piramidat și se poate nota $\{210\}$ sau, în general $\{hko\}$ (fig. 148).

- Poziția (7), (321), este poziția generală a i generatoare.

Ea taie axele la distanțe diferite. Polul se proiectează între axele L^4 , L_6^3 , L^2 , în interiorul triunghiului sferic, repetându-se în fiecare triunghi, va rezulta o formă cu câte 6 fețe pe fiecare față de octaedru, deci un hexa-octaedru cu 48 fețe, notat cu $\{321\}$ sau, în general $\{h k l\}$, (fig.149).|

Aceasta este forma generală a clasei. Formele particulare se pot repeta și în alte clase, de ex. cubul se găsește în toate clasele pentru poziția (100), dar formele generale nu se mai întâlnesc în nici o altă clasă și în nici o altă poziție; sînt caracteristice pentru clasele respective și de aceea se folosește și denumirea clasei după forma sa generală. În acest caz, clasa hexaoctaedrică.

Formele particulare care se găsesc în mai multe clase de simetrie, prezintă detalii care le pun în evidență meriedria. De exemplu, cubul de galenă, din clasa O_h , care are fețele lucii, clivează după fețele de cub (fig. 150 a), pe cînd cubul de pirită din clasa T_h , prezintă pe fețe striuri paralele, astfel dispuse pe fiecare față în cît indică prezența axelor L^2 în locul axelor L^4 (fig. 150 b).

Avînd cele mai multe elemente de simetrie, formele din clasele planaxiale au și toate fețele posibile pentru fiecare poziție. Formele cu maximum de fețe posibile se mai numesc și forme holodrice.

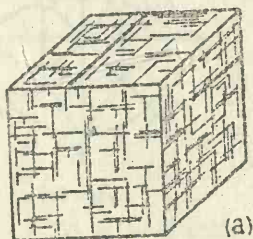


Fig. 150a.

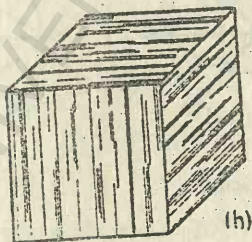


Fig. 150b.

În celelalte clase pot apărea forme; uneori derivate din acestea, care au un număr mai mic de fețe; acestea se numesc forme meriedrice.

Formele meriedrice pot avea jumătate din fețele formei holodrice din care derivă, sînt hemiedrice, un sfert din aceste fețe și sînt tetartoedrice sau, într-un caz, o optime, cînd sînt forme ogdoedrice.

Tot pe acest considerent clasele planaxiale se mai numesc și clase holodrice.

FORME SIMPLE DIN SISTEMUL CUBIC I

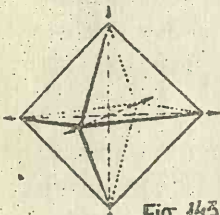


Fig. 143a.

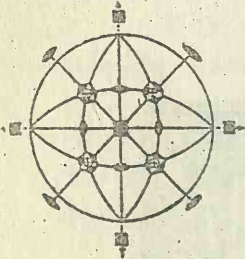


Fig. 143b.

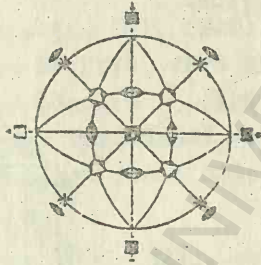
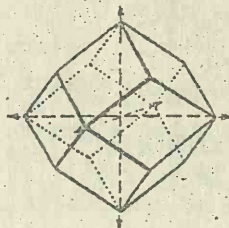


Fig. 144

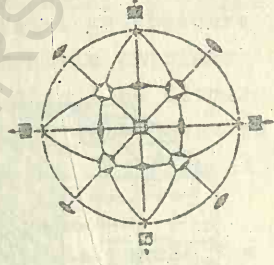
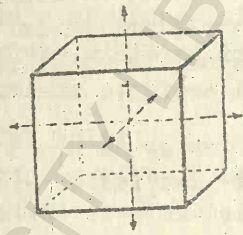


Fig. 145

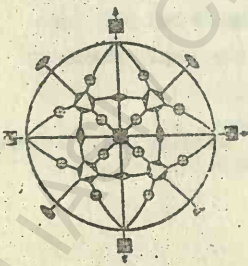
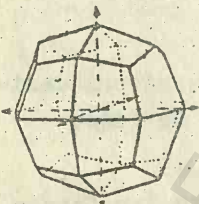


Fig. 146

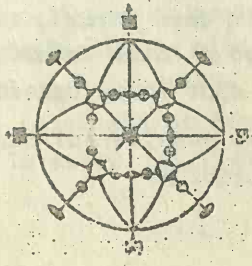
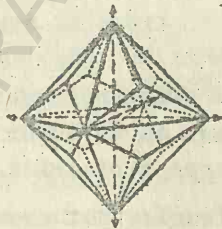


Fig. 147

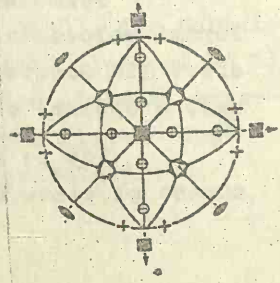
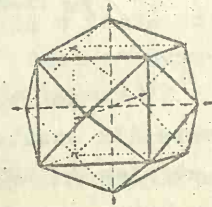


Fig. 148.

CLASA PLANAXIALĂ

FORME SIMPLE DIN SISTEMUL CUBIC (cont. I)

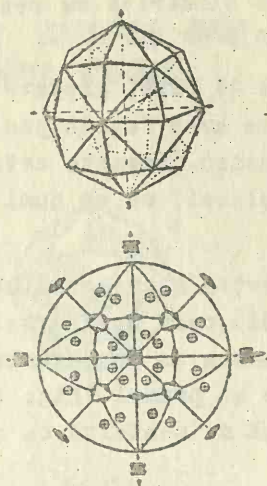


Fig. 149.

b. Clasa axială.

În clasa axială, cu formula de simetrie $3L^4 4L^3 6L^2$ pentru pozițiile 1 - 6 vor rezulta aceleași - - - forme ca și în clasa planaxială. De ex. în poziția (3), (100), fața generatoare va fi repetată, conform elementelor de simetrie, tot de 6 ori, pe fiecare capăt al axelor L^4 și va rezulta tot un hexaedru (cub), dar, prin detaliile de pe fețele sale, acest cub va fi lipsit de plane și de centru de simetrie (fig. 151).

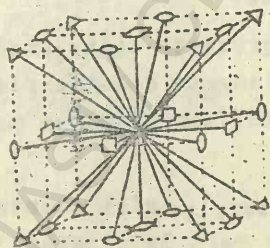


Fig. 151a

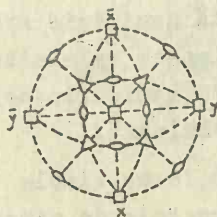


Fig. 151b

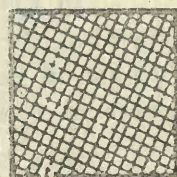


Fig. 151c

O formă nouă, caracteristică, se va forma numai prin repetarea feței generatoare din poziția generală : (7).
(h k l).

Luând în proiecție stereografică fața (321), de ex. și repetînd-o conform simetriei va rezulta, de data aceasta, o formă nouă (fig.152).

Forma va avea 24 fețe, grupate câte 3 pe fiecare față de octaedru și va avea fețele pentagonale, se va numi deci, pentagontrioctaedru. Aceasta este forma generală $\{321\}$ sau $\{h\ k\ l\}$ a clasei; se va numi și clasă pentagontrioctaedrică.

Dacă în proiecția stereografică repetăm, ca față generatoare, fața (231), care are normala tot între L^4, L^3 și L^2 , va rezulta deasemenea un pentagontrioctaedru, dar care nu se poate suprapune cu primul (fig. 153).

Acestea sînt, una față de cealaltă, ca mîna dreaptă față de mîna stîngă.

Se spune că cele două forme sînt enantiomorfe. Ele dau anumite proprietăți caracteristice cristalelor. De ex. rotesc planul de polarizație a luminii spre stînga sau spre dreapta; sînt dextrogire sau levogire, cum este cuarțul sau cum este acidul tartric

Formele se numesc forme dreapta și forme stînga. În clasele cu centru sau plane de simetrie nu pot exista forme enantiomorfe.

După cum vedem, cei doi pentagontrioctaedri conțin, fiecare, câte jumătate (24) din fețele formei generale a clasei planaxiale, hexaoctaedrul, din care derivă (fig.154). sînt forme meriedrice, în acest caz, forme hemiedrice și anume, hemiedrii ale hexaoctaedrului.

În această hemiedrie sînt prezente toate axele sistemului dar lipsesc celelalte elemente de simetrie. Se spune că este o hemiedrie holoaxă, iar clasa se mai numește și clasă holoaxă.

Cele două forme simple hemiedrice sînt simetrice în raport cu elementele de simetrie care le lipsesc, în acest caz, în raport cu planele. Ele sînt forme complementare sau forme corelate. Două forme hemiedrice corelate pot constitui împreună o formă holoedrică simplă.

FORME SIMPLE DIN
SISTEMUL CUBIC

II

CL. AXIALĂ

MERIDIAN

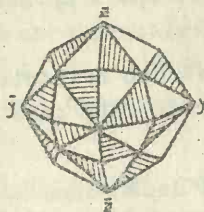


Fig. 454.

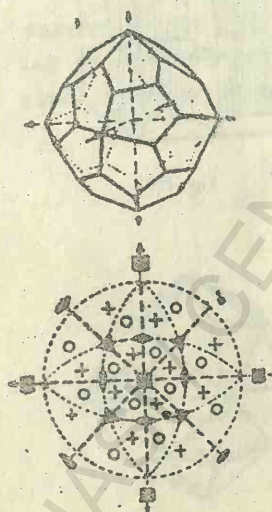


Fig. 452.

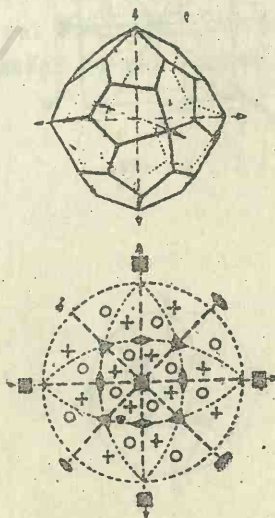


Fig. 453.

c. Clasa centrică.

În clasa centrică cu formula de simetrie, $3L^2 4L_6^3 C_3^2$

(fig. 155) se găsesc 2 feluri de forme noi: forma generală $\{h k l\}$ și forma particulară $\{h k o\}$ cu fețele generatoare în poziția (7), respectiv (6).

(1) Forma generală derivă din hexaoctaedru prin dezvoltarea alternativă a perechilor de fețe care satisfac simetria dată de planele π .

Rezultă și aici două forme hemiedrice corelate, cu câte 12 perechi de fețe, care se numesc, din acest motiv, didodecaedri iar clasa de simetrie se mai numește și clasă didodecaedrică.

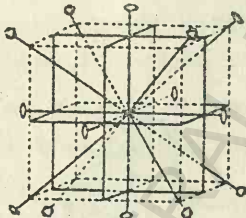


Fig. 155a.

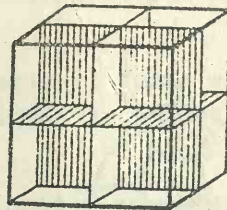


Fig. 155b.

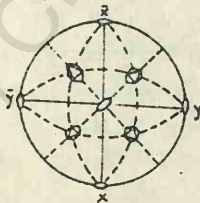


Fig. 155c.

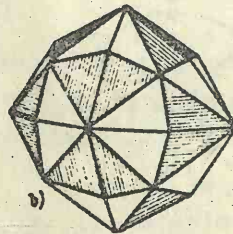


Fig. 156

Cristalele cu asemenea forme nu mai rotesc planul de polarizație a luminii din cauză că au centru de simetrie, iar în acest caz și plane de simetrie, așa că nu mai pot fi numite forme dreapta și stînga. Se numesc forme pozitive și negative. Vom avea un didodecaedru pozitiv, de ex. $\{321\}^+$ cu fața generatoare corespunzătoare pentagontrioctaedrului drept din clasa axială și un didodecaedru negativ de ex. $\{312\}^-$ cu fața generatoare corespunzînd pentagontrioctaedrului stîng (fig. 156).

(2) A doua formă specifică poate fi socotită ca derivînd din forma holohedrică tetrahexaedru, cu fața generatoare în poziția (6), din care s-au dezvoltat alternativ, perechi de fețe. Forma care rezultă în acest fel este hemiedria tetrahexaedrului, are 12 fețe pentagonale și se numește dodecaedru pentagonal.

Și în acest caz vom avea o formă pozitivă, de ex. $\{210\}^+$ și o formă negativă, de ex. $\{120\}^-$, (fig. 157).

Formele hemiedrice din clasa centrică, avînd fețele paralele, două câte două, se mai spune că sînt parahemiedrice, iar pe această bază, clasa însăși se mai spune că este o clasă parahemiedrică.

FORME SIMPLE DIN SISTEMUL CUBIC III

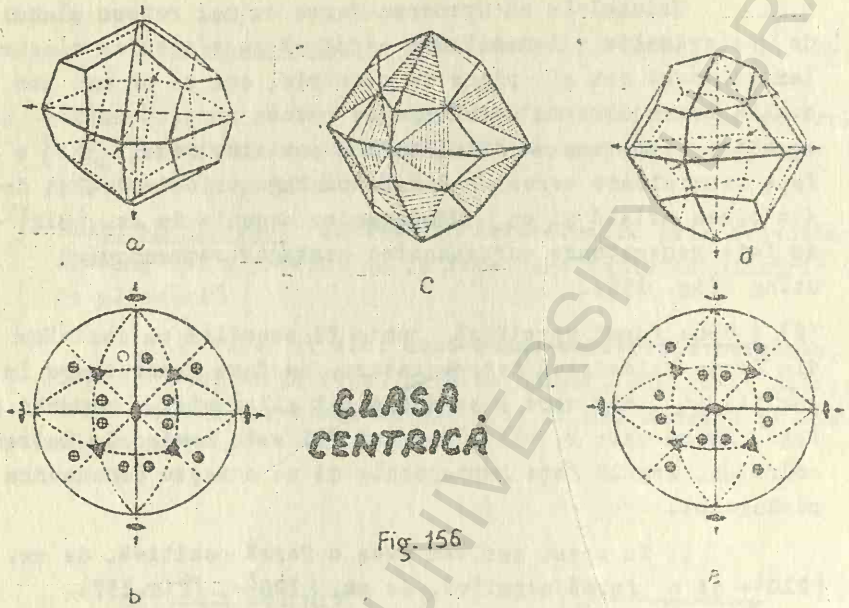


Fig. 156

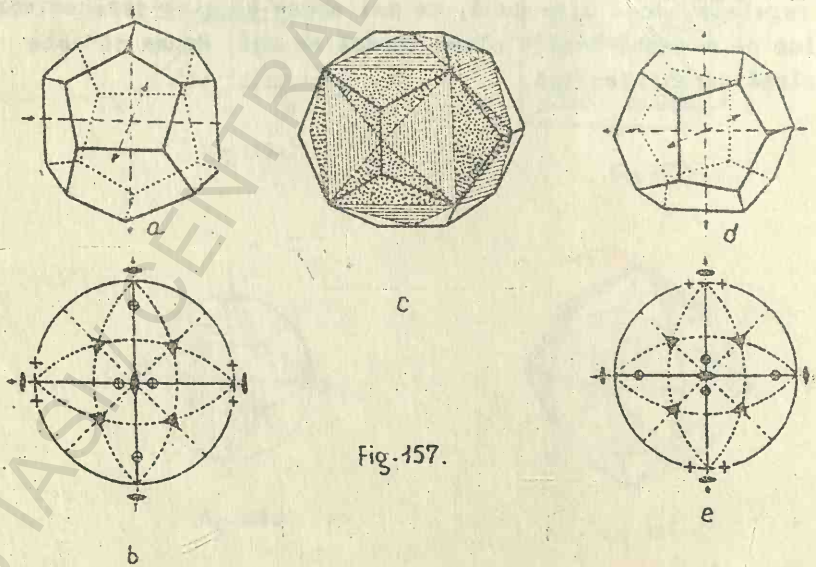


Fig. 157.

d. Clasa planală.

Clasa planală, cu formula de simetrie $3L_4^2 4L^3$ - are ca forme noi formele care rezultă prin repetarea fețelor generatoare din pozițiile (1), (4), (5) și (7), (fig.158).

Aceste forme sînt hemiedriile formelor $\{111\}$, $\{h11\}$, $\{hhl\}$, și $\{h1l\}$ din clasa planală.

Din forma fundamentală, octaedru, se pot deduce doi tetraedri și anume, tetraedrul pozitiv $\{111\}$ + și tetraedrul negativ, $\{1\bar{1}1\}$ - (fig.159).

Din tetragontrioctaedru, de ex. $\{211\}$ se poate deduce trigontritetaedrul, tot în două forme corelate, trigontritetaedrul pozitiv $\{211\}$ + și trigontritetaedrul negativ, $\{2\bar{1}1\}$ -, care conțin câte o jumătate din grupul de cîte trei fețe ale formelor holcedrice, luate alternativ (fig.160).

După cum vedem, fețele formelor hemiedrice au aceleași poziții, aceleași notații ca și în formele holcedrice din care derivă. Trigontritetaedrul pozitiv va avea în octantul x y z, fețele (211), (121) și (112) ca și tetragontrioctaedrul din care derivă, dar forma fețelor se schimbă; din tetragonale devin trigonale.

Invers se vor petrece lucrurile la hemiedria care urmează.

Tot astfel, din trigontrioctaedru, de ex. din $\{221\}$ se poate deduce tetragontritetaedrul în formele corelate, $\{221\}$ + și $\{2\bar{2}1\}$ -, tetragontritetaedrul pozitiv și tetragontritetaedrul negativ, care conțin fiecare câte jumătate din grupele de cîte trei fețe ale trigontrioctaedrului (fig.161).

În fine, din forma holcedrică generală, hexaoctaedrul - de ex. $\{321\}$, se poate deduce hemiedria lui, hexatetraedrul, cu cele două forme corelate: hexatetraedrul pozitiv, $\{321\}$ + și hexatetraedrul negativ, $\{3\bar{2}1\}$ -, fiecare cu cîte jumătate din grupele de 6 fețe ale hexaoctaedrului, luate alternativ (fig.162). Clasa de simetrie se numește hexatetraedrică. Din cauza lipsei centrului de simetrie și a planelor, fețele opuse nu mai sînt paralele; clasa se mai numește și antihemiedrică.

CLASA PLANALĂ SIMETRIE ȘI HEMIEDRII

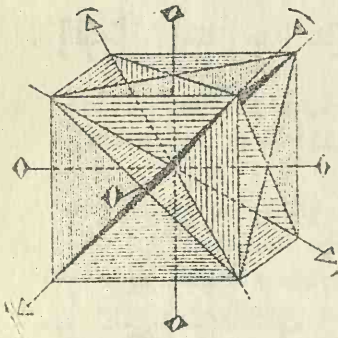


Fig. 158 a

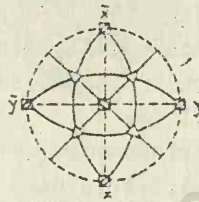


Fig. 158 b.



Fig. 158 c

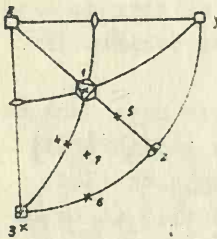


Fig. 158

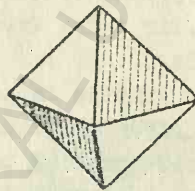


Fig. 159

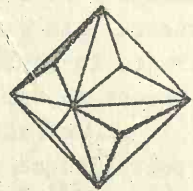


Fig. 161 c.

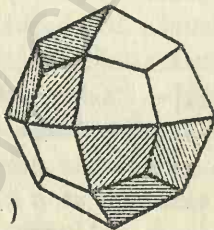


Fig. 160 c

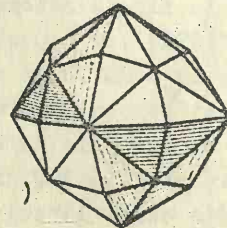
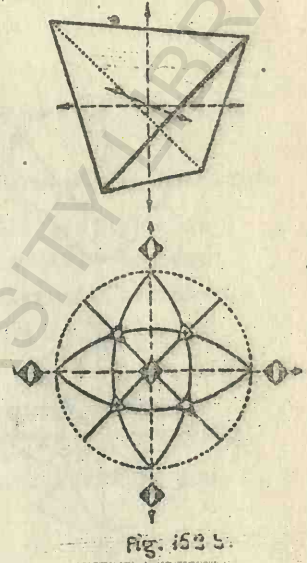
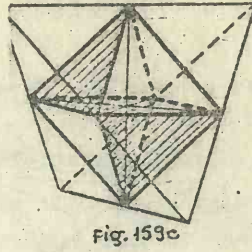
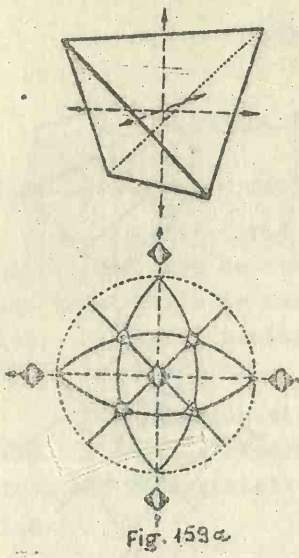
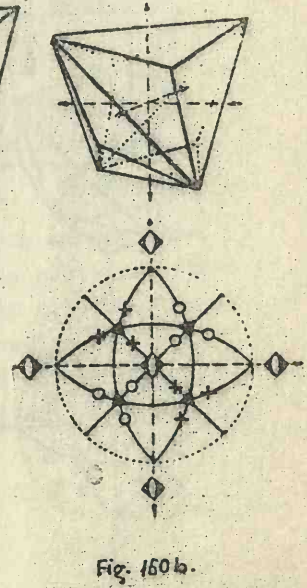
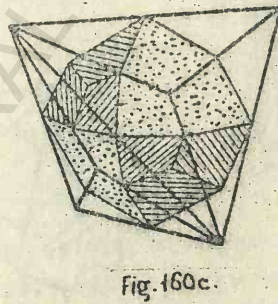
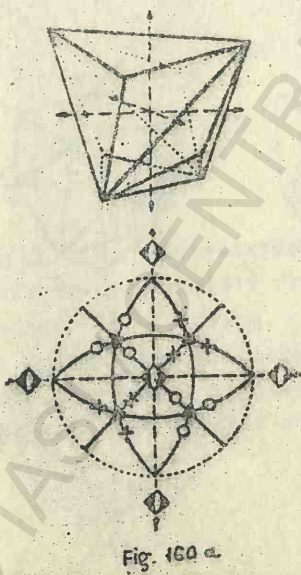


Fig. 162 c

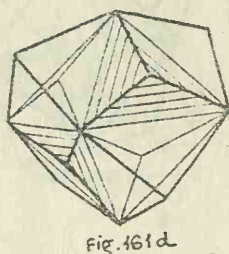
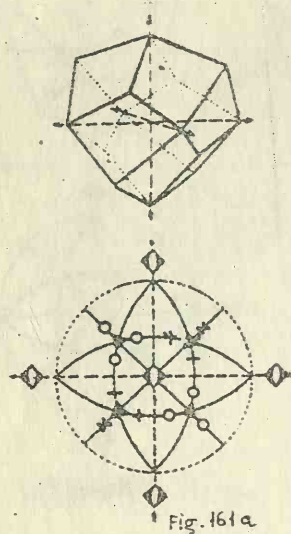
FORME SIMPLE DIN SISTEMUL CUBIC IV



CLASA
PLANALĂ

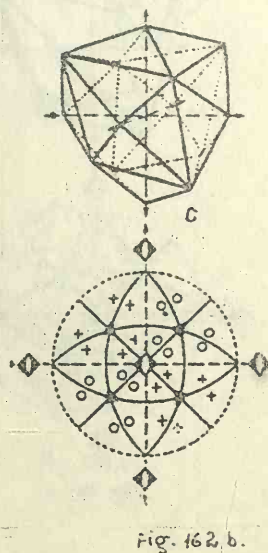
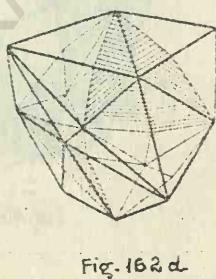
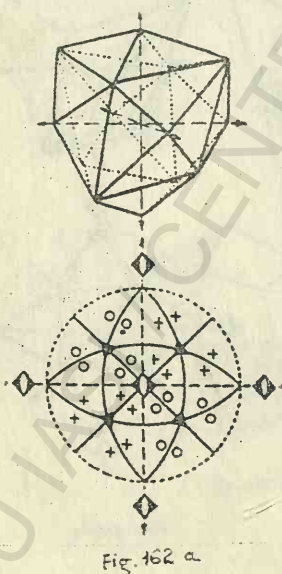
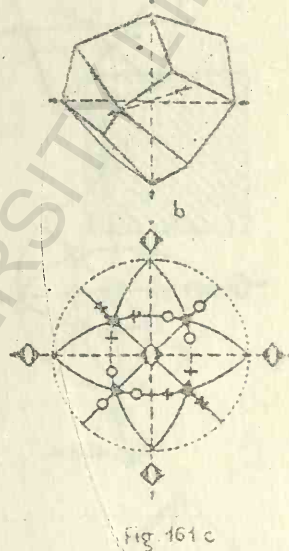


FORME SIMPLE DIN SISTEMUL CUBIC \bar{V}



CLASA
PLANALĂ

2



a. Clasa primitivă.

Clasa primitivă cu formula de simetrie $3L^2 4L^3 -$

(fig. 163) nu are decât forma generală ca formă caracteristică.

Această formă are 12 fețe pentagonale, grupate câte pe fiecare față de tetraedru, este un pentagontritetraedru; clasa de simetrie se mai numește și clasa pentagontritetraedrică. Meriedria pentagontritetraedrului poate fi considerată în două moduri:

- pentagontritetraedru poate fi socotit ca o hemiedrie a hexatetraedrului. Din fiecare hexatetraedru se pot deduce doi pentagontritetraedri corelați, unul drept și unul stâng.

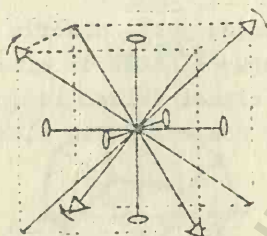


Fig. 163 a



Fig. 163 b

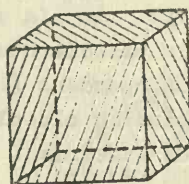


Fig. 163 c

Astfel, din hexatetraedru pozitiv, va rezulta un pentagontritetraedru pozitiv drept, $\{321\} + dr$ și un pentagontritetraedru pozitiv stâng, $\{312\} + stg.$ (fig. 164 a,b). Tot astfel din hexatetraedru negativ, va rezulta un pentagontritetraedru negativ drept, $\{3\bar{2}1\} - dr.$ și alt pentagontritetraedru negativ stâng, $\{3\bar{1}2\} - stg.$ (fig. 164 c,d).

Avem, prin urmare, patru forme corelate: pentagontritetraedrul pozitiv drept, pozitiv stâng, negativ drept și negativ stâng.

Cu cele două forme pozitive se poate reconstitui hexatetraedrul pozitiv, iar cu cele două forme negative se poate reconstitui hexatetraedrul negativ.

- Pentagontritetraedrul mai apare ca derivând, tot ca o hemiedrie, dar din pentagontrioctaedru. Din fiecare pentagontrioctaedru vor deriva doi pentagontritetraedri: doi dreapta și doi stânga, câte unul pozitiv și unul negativ (fig. 165) și anume: 321 dr.+ , $3\bar{2}1$ dr.- ; 312 stg.+ , $3\bar{1}2$ stg.- .

- Pe lângă aceste moduri de reprezentare, ca hemiedrii, pentagontritetraedrul mai poate fi considerat și ca o formă tetartoedrică, derivând din hexaoctaedru și având $1/4$ din fețele acestuia.

Clasa de simetrie, se spune că este o clasă tetartoedrică.

Cu cele 4 forme corelate se poate reconstitui forma holooedrică, hexaoctaedrul.

În ceea ce privește simetria, se poate observa că la clasele hemiedrice lipsește un singur element de simetrie independent (C sau L^2) din formula clasei holooedrice, pe când în clasele tetartoedrice lipsesc două asemenea elemente de simetrie (și L^2 și C).

FORME SIMPLE DIN SISTEMUL CUBIC CLASA PRIMITIVĂ VI

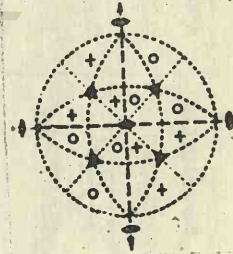
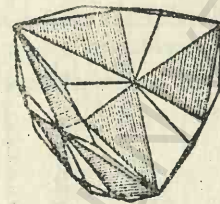
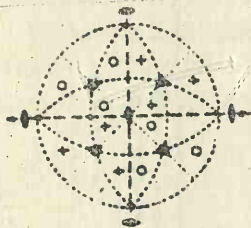
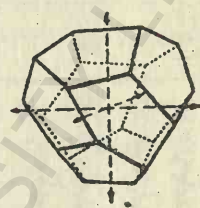
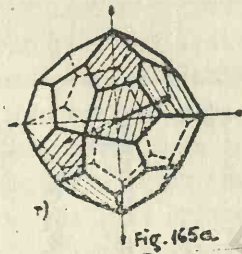
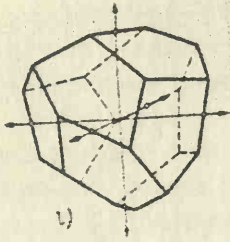


Fig. 164 d₁

Fig. 164c

Fig. C₁

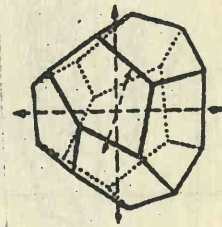
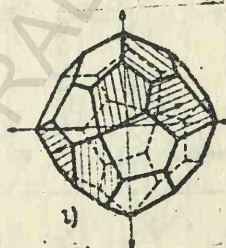


Fig. 165b

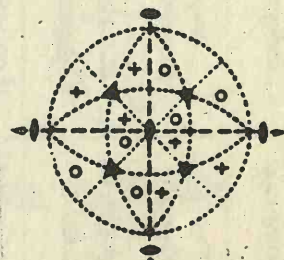
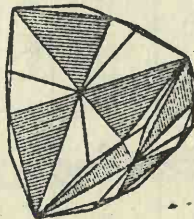


Fig. 164 d₂

Fig. 164 d

Fig. 164 c₂

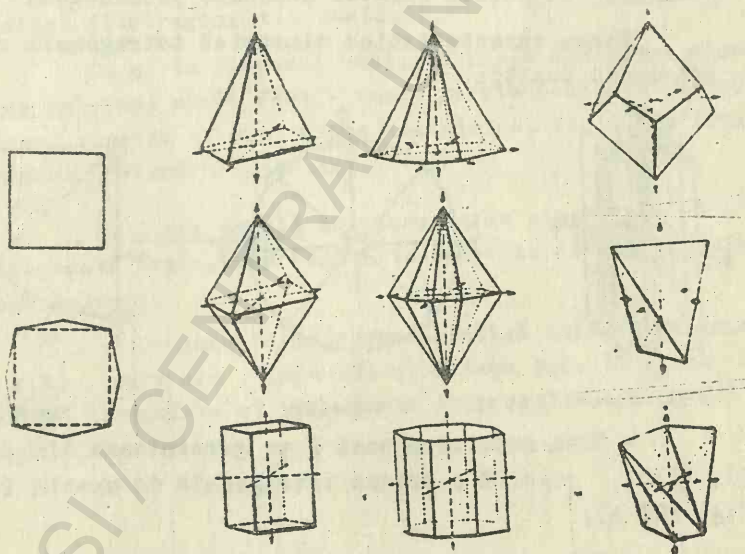
Position of crystal face	Primitive	Centric	Planoid	Axial	Panaxial
	$3L^2 4L^3 -$	$3L^2 4L^3 C$ 3H	$3L^3 4L^3 -$ - GP	$3L^4 4L^3 6L^2 -$ - - -	$3L^4 4L^3 6L^2 C$ 3H - GP ²
1 $N=L^3$	(111)	Octahedru	Tetrahedru	Octahedru	Octahedru
2 $N=L^2$	(110)	Dodecahedru romboidal	Dodecahedru romboidal	Dodecahedru romboidal	Dodecahedru romboidal
3 $N=L^1$	(100)	Hexahedru	Hexahedru	Hexahedru	Hexahedru
4 $L^4 N L^3$	(211)	Tetragon - trioctahedru	Tetragon - tetrahedru	Tetragon - trioctahedru	Tetragon trioctahedru
5 $L^3 N L^2$	(221)	Tetragon - tritetrahedru	Tetragon - tritetrahedru	Tetragon - octahedru	Tetragon octahedru
6 $L^2 N L^1$	(210)	Dodecahedru pentagonal	Tetrahedra - edru	Tetrahedra edru	Tetrahedra edru
7 $L^4 N L^3$	(321)	Pentagonti - tetrahedru	Hexatetra - edru	Pentagon - trioctahedru	Hexaocta - edru

2. 2. SISTEMUL TETRAGONAL

Sistemul tetragonal cu relația axială $\alpha = \beta = \gamma = 90^\circ$ și $a : a : c$ face parte din categoria mijlocie de simonii și este deci caracterizat prin prezența unei direcții unice corespunzătoare unei principale L^4 , respectiv L^2 .

Ca în toate sistemele din această categorie se găsesc și aici forme a căror secțiune prezintă un contur simplu, tetragonal sau contur dublu, respectiv ditetragonal. Acea sînt piramidele, bipiramidele și prismele tetragonale, piramidele bipiramidele și prismele ditetragonale.

În toate clasele axiale ale sistemelor din categoria mijlocie de simonii se găsește ca formă generală un trapezoebru. În acest sistem, trapezoebru tetragonal.



FORMELE SIMPLE DIN SISTEMUL TETRAGONAL

Pot astfel exista numeroase forme corelate: drepte și stângi, pozitive și negative, hemimorfe superioare și inferioare, hemiedrice și tetartodrice, de specia I, II și III.

a. Clasa planaxială.

În clasa planaxială cu formula de simetrie

$$\frac{L^4}{\pi} \frac{2L^2}{2P^2} \frac{2L^2}{2P^2}$$

C elementele de simetrie se proiectează stereografic (fig. 166), astfel că se formează și aici triunghiuri sferice identice. Pentru proiecția polilor de fețe sînt de asemenea posibile 7 poziții:

În poziția (1) a feței generatoare (001), perpendiculară pe L^4 , se produce o singură repetare în partea opusă, datorită planului π și rezultă un pinocoid {001}, care completează de obicei formele deschise prismatice.

Forma caracteristică simetriei tetragonale rezultă în celelalte poziții:

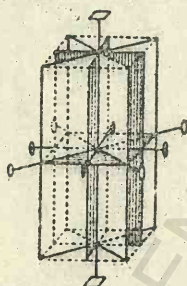


Fig. 166a

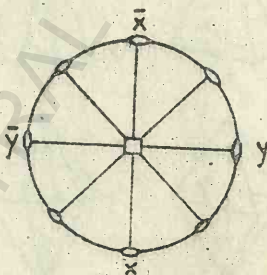


Fig. 166b

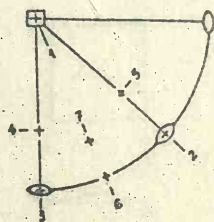


Fig. 166c

- Prin repetarea unei fețe generatoare din poziția (2), (110), rezultă o priză tetragonală de specia I, {110} (fig. 167 a);

- Prin repetarea unei fețe generatoare din poziția (3), (100), rezultă o priză tetragonală de specia II-a, {100}, care se găsește în aceeași zonă cu cea de specia I-a (fig. 167 b).

- Prin repetarea unei fețe generatoare din poziția (4), rezultă o bipiramidă tetragonală a cărei fețe tale axa verticală, $z \bar{z}$ și o axă orizontală, fiind paralelă cu cea de-a doua, adică o bipiramidă tetragonală de specia II-a (fig. 168).

- Prin repetarea feței fundamentale din poziția (5), rezultă bipiramida tetragonală de specia I-a, care este forma fundamentală a sistemului tetragonal $\{111\}$ (fig. 169).

- Cu fața generatoare din poziția (6), (210), se ajunge la o prismă cu 4 perechi de fețe care fac între ele două feluri de unghiuri diedre. Forma se numește prismă ditetragonală, $\{210\}$, (fig. 170).

- În fine repetând o față generatoare din poziția (7), generală, de ex. (211), rezultă bipiramida ditetragonală $\{211\}$, (fig. 171), care este forma generală, caracteristică pentru clasa planaxială a sistemului, dându-i și denumirea de clasă ditetragonal bipiramidală..

Ca și în sistemul cubic, formele din clasa planaxială cu cele mai multe fețe - toate fețele posibile pentru fiecare poziție - sînt forme holocedrice, iar clasa este de asemenea o clasă holocedrică.

b. Clasa axială are formula de simetrie $L^4 2 L^2 2L'^2$, deci toate axele, dar fără alte elemente de simetrie. Este o clasă holoaxă.

- Singura formă caracteristică este forma generală $\{h k l\}$, care are 4 fețe sus și 4 fețe jos, în formă de trapeze neregulate și se numește trapezodru tetragonal (fig. 172).

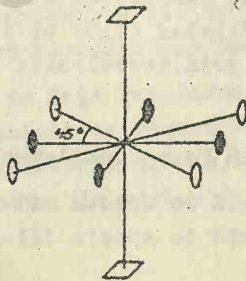


Fig. 172a

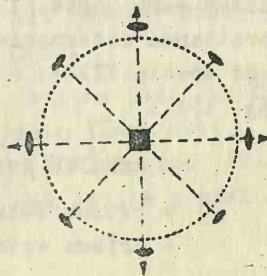


Fig. 172b.

Trapezoeдрul tetragonăl se poate deduce prin dezvoltarea alternativă a fețelor bipiramidei ditetragonale, a cărei hemiedrie este. Neavînd decît axe de simetrie, rezultă două forme enantiomorfe: un trapezoeдр tetragonăl drept $\{321\}$ dr. și un trapezoeдр tetragonăl stîng $\{3\bar{2}1\}$ stg. (fig. 173).

Avem de-a face cu o hemiedrie holoaxă. Prin suprapunerea celor 2 forme se reconstituie forma holoedrică.

Pentru toate celelalte poziții corespund aceleași forme ca și în clasa planaxială.

c. În clasa centrică cu formula $L^4 C$ (fig. 174 a, b) nu rezultă nici o formă nouă, dar pentru poziția (6) și (7) rezultă forme hemiedrice cu secțiunea tetragonălă și orientate astfel încît să taie axele orizontale la distanțe diferite, adică forme de specia a III-a.

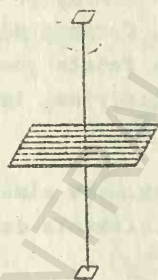


Fig. 174 a₁

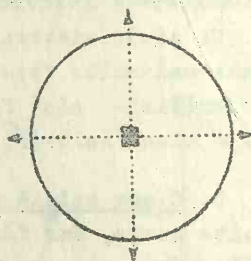


Fig. 174 b₁

În poziția (6) rezultă prisma tetragonălă de specia a III-a care poate fi dedusă din prisma ditetragonălă prin dezvoltarea alternativă a fețelor (210) și prisma tetragonălă de specia III-a, dedusă prin dezvoltarea fețelor (120), (fig. 174c)

Rezultă deci două forme complementare:

- prisma tetragonălă de specia III-a pozitivă $210 +$ și
- prisma tetragonălă de specia III-a negativă $2\bar{1}0 -$.

La fel se pot deduce două forme hemiedrice corelate din bipiramida ditetragonală:

- bipiramida tetragonală de specia III-a pozitivă $\{211\} + g_1$
- bipiramida tetragonală de specia III-a negativă $\{2\bar{1}1\}$ - (fig.175).

Bipiramida tetragonală de specia III-a este forma generală și caracteristică a clasei, care se mai numește deci și clasă tetragonalbipiramidală.

Avînd centru de simetrie, toate formele au fețe paralele, două alte două, sînt parahemiedrice și clasa este o clasă parahemiedrică.

d. In clasa planală, cu formula de simetrie $L^4 - - -$
 $- 2P 2P'$

(fig.176) din cauză că lipsește atît centrul de simetrie, cît și axele de ordinul 2, deci și planul principal π .

Fețele aplecate spre axa z și \bar{z} nu se vor mai repeta în partea opusă, jos și sus. Ele apar ca jumătăți ale formei holodrice corespunzătoare. Se spune că avem de-a face cu o hemiedrie hemimorfă,



Fig. 176a

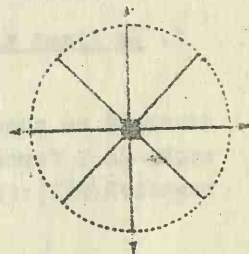


Fig. 176b.

iar formele corelate, vor fi superioare sau inferioare, după cum reprezintă partea superioară sau cea inferioară a bipiramidei din care face parte în forma holodrică (fig. 177).

Față de poziția (1) nu se va mai repeta. Forma simplă este deci un monocedru sau pedion $\{001\}$.

- Forma cu fața generatoare în poziția (4), va fi jumătate bipiramidei tetragonale de specia II-a, deci o piramidă tetragonală de specia II-a, $\frac{1}{2}\{101\} +$ sau $\{10\bar{1}\}$ - după cum o socotim, în partea de sus sau de jos a axei z .

Forma cu fața generatoare în poziția (5) ca fi jumătatea bipiramidei $\{111\}$, de specia I-a, adică o piramidă tetragonală de specia I-a, $\frac{1}{2} \{11\bar{1}\}$.

Forma generală, din poziția (7) va fi jumătatea bipiramidei ditetragonale, adică o piramidă ditetragonală, $\frac{1}{2} \{211\} +$ sau $\frac{1}{2} \{21\bar{1}\}$ - Clasa se mai numește, deci și clasa ditetragonal piramidală.

e. Clasa primitivă are numai axa de simetrie L^4 . În această clasă nu sînt forme noi. Forma generală, care este tot o formă hemimorfă, este însă o piramidă tetragonală de specia III-a, $\frac{1}{4} \{hk1\}$, (fig. 178).

Ea apare în 4 forme corelate, fie ca hemiedrii ale piramidelor ditetragonale, superioare și inferioare, fie ca tetartoedrii ale formeii holloedrice, bipiramida ditetragonală (fig.179). Vom avea deci două piramide tetragonale drepte și două stîngi, câte una superioară și una inferioară, (180).

f. In clasa giroido-planală cu $L_4^2 2L^2$ - (fig.181 a,b forma generală se numește scalenoedru ditetragonal. Aceasta se găsește în 2 forme corelate: forma pozitivă, $\{211\} +$ și forma negativă $\{21\bar{1}\}$ - (fig.181 c,d,e).

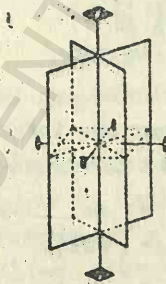


Fig. 181a

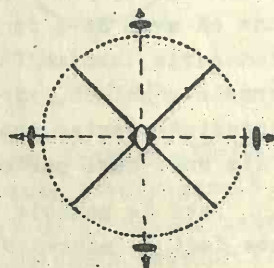


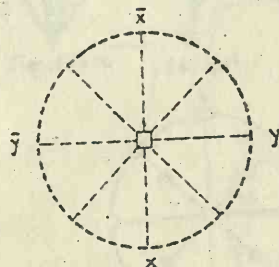
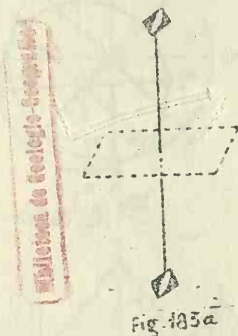
Fig. 181b.

O formă nouă rezultă și prin repetarea feței generatoare din poziția (5). Forma are 4 fețe, este un tetraedru tetragonal, care apare ca hemiedrie a bipiramidei tetragonale

de specia I-a pozitiv, $\{111\}$ + și tetraedul tetragonal de specia I-a negativ, $\{1\bar{1}1\}$ -, (fig. 182).

g. In clasa giroidoprimitivă care are numai giro-ida I_{41}^2 ca element de simetrie, nu apar forme noi. Tetraedrul tetragonal care apare în poziția generală (7) este de specia III-a.

Se găsește în 4 forme corelate, fie oa tetartoe-drii ale bipiramidei ditetragonale, fie oa hemiedrii ale celor doi scalenoedri ditetragonali: dr. + $\{211\}$, dr. - $\{2\bar{1}\bar{1}\}$, st. + $\{121\}$, st. - $\{1\bar{2}\bar{1}\}$ (fig. 183).



FORME SIMPLE DIN SISTEMUL TETRAGONAL I

CLASA PLANAXIALĂ

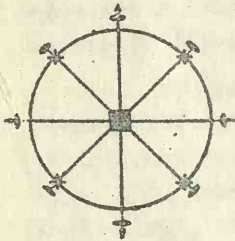
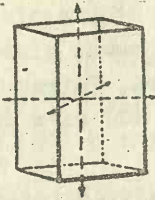


Fig. 167 a

SPECII:
I ← II

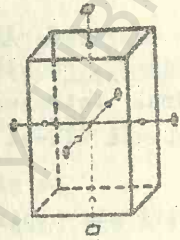


Fig. 167 b₁

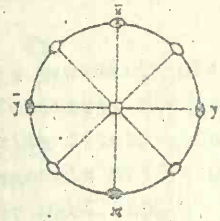


Fig. 167 b



(a)
Fig. 168₁

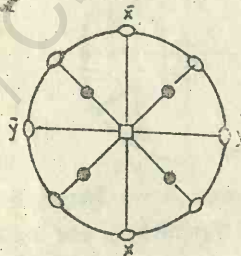
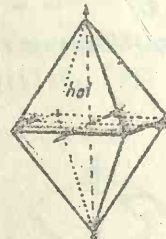


Fig. 168



(b)
Fig. 168₁

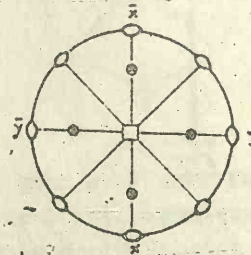
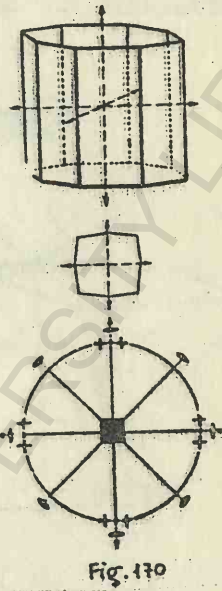
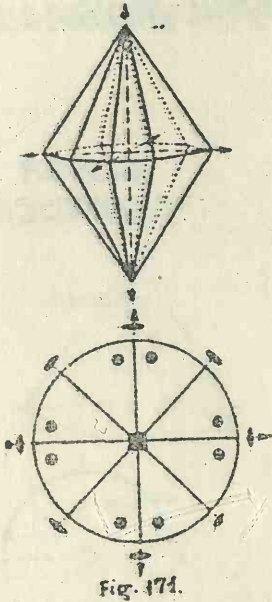


Fig. 168

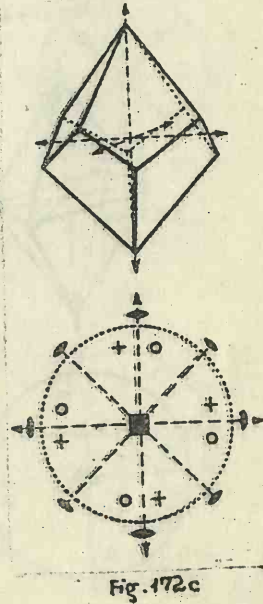
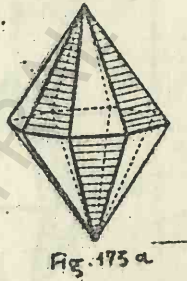
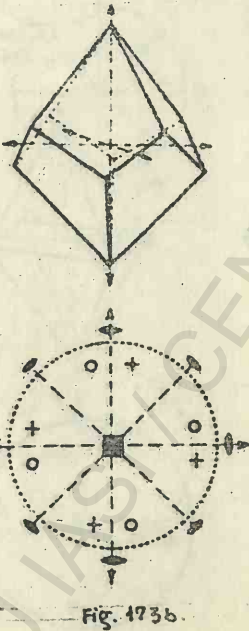
FORME SIMPLE DIN SISTEMUL TETRAGONAL

II

CLASA PLANAXIALĂ - continuare -



CLASA AXIALĂ



FORME SIMPLE DIN SISTEMUL TETRAGONAL

III

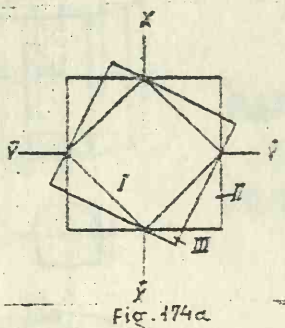


Fig. 174a

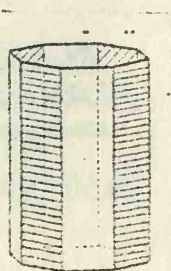


Fig. 174c

CLASA
CENTRICĂ

- specii -

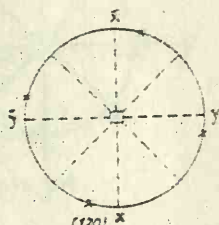


Fig. 174d



Fig. 174e

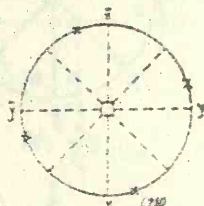


Fig. 174b

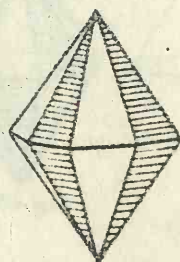
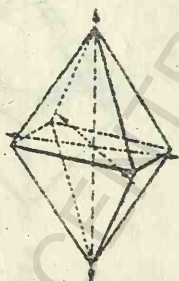


Fig. 175a

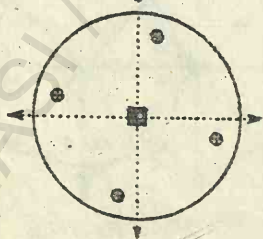
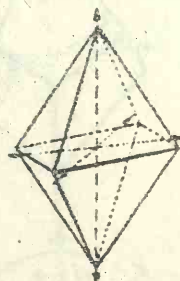


Fig. 175b

HEMIEDRII

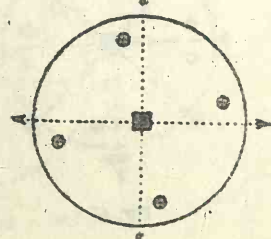


Fig. 175c

FORME SIMPLE DIN SISTEMUL TETRAGONAL IV

CLASA PLANALĂ

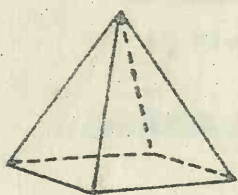


Fig. 177a

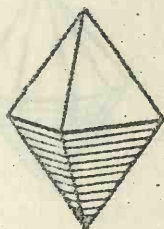


Fig. 177b.

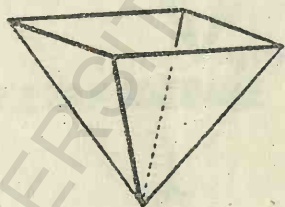


Fig. 177c

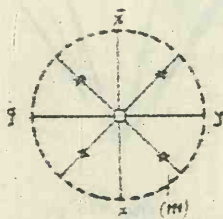


Fig. 177d



Fig. 177e

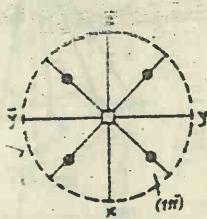


Fig. 177c1

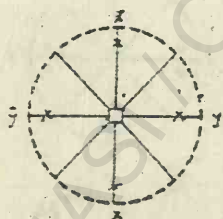


Fig. 177 f.

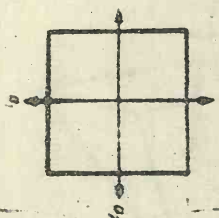


Fig. 177 g.

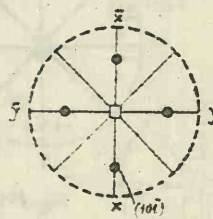


Fig. 177 h.

FORME SIMPLE DIN SISTEMUL TETRAGONAL
V
CLASA PLANALĂ - continuare

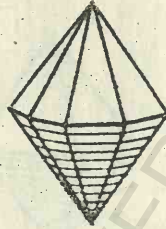


Fig. 177c

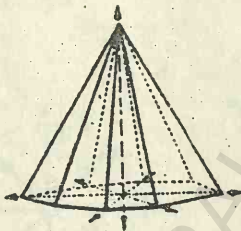


Fig. 177 i₁

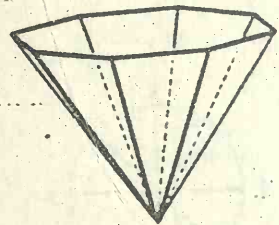


Fig. 177 j₁



Fig. 177 i₂

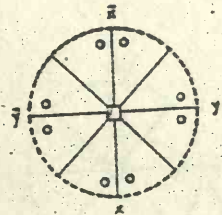


Fig. 177 j₂

FORME SIMPLE DIN SISTEMUL TETRAGONAL VI

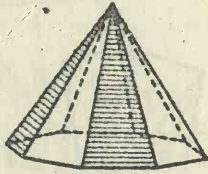


Fig. 179 a

CLASA
PRIMITIVĂ

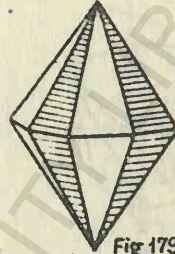


Fig. 179 b

HEMIEDRIE

ȘI

TETARTOEDRIE

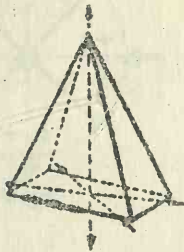


Fig. 180 d

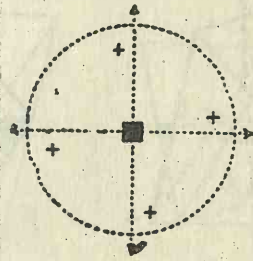
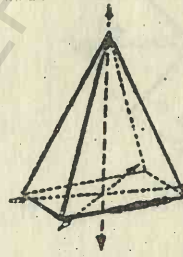


Fig. 180 e

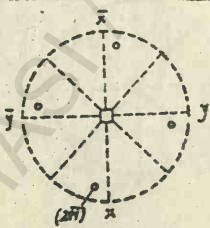


Fig. 180 c

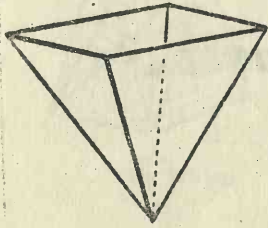


Fig. 180 b.

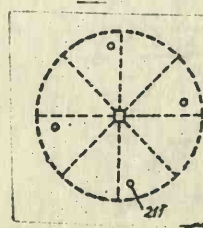


Fig. 180 a

FORME SIMPLE DIN SISTEMUL TETRAGONAL VII

CLASA GIROIDO- PLANALĂ

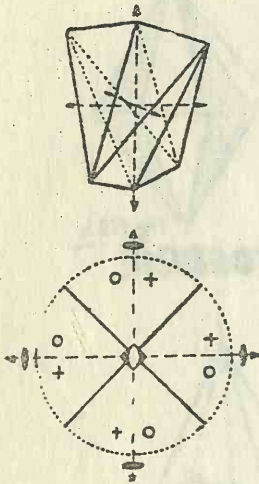


Fig. 181 b.

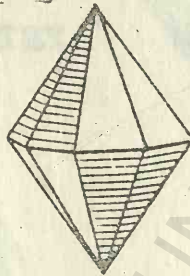


Fig. 181 a.

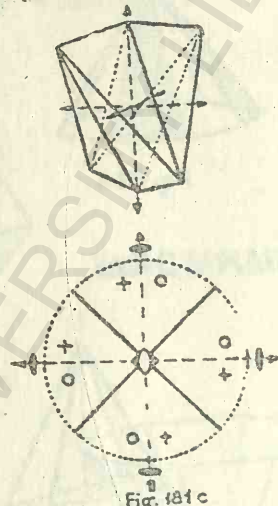


Fig. 181 c.

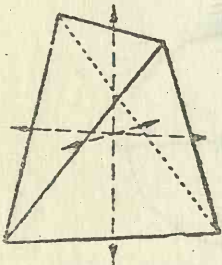


Fig. 182 a₁

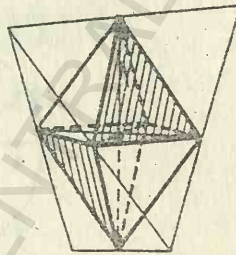


Fig. 182 b

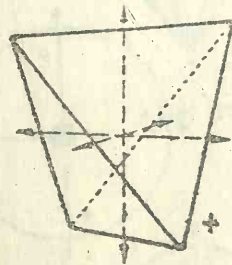


Fig. 182 c₁

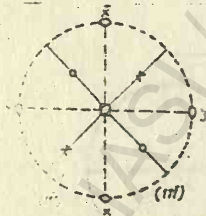


Fig. 182 a₂

HEMIEDR.

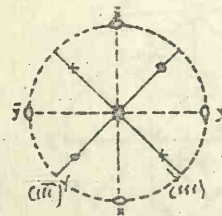


Fig. 182 c₂

SISTEMUL TETRAGONAL

VIII

CLASA GIROIDO-PRIMITIVA

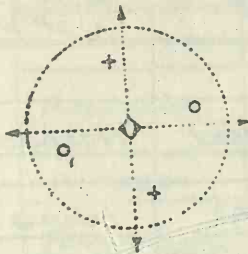
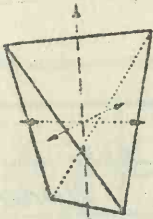


Fig. 183c

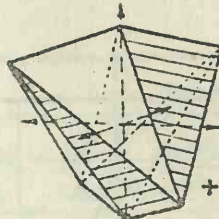


Fig. 183 d₁

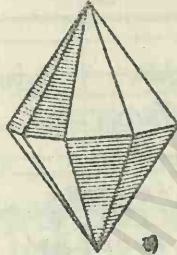


Fig. 183 d₂



Fig. 183 e₁

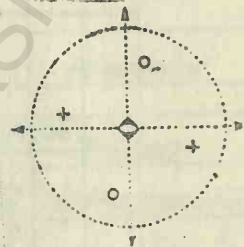


Fig. 183 e₂



Fig. 183 f₁



Fig. 183 f₂

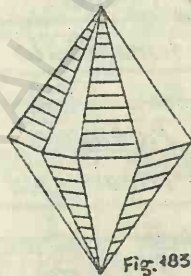


Fig. 183 g₁

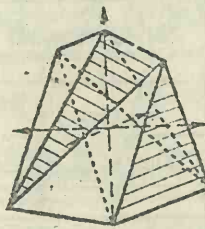


Fig. 183 g₂

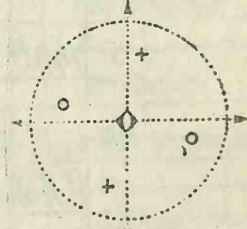
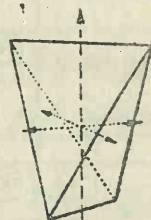


Fig. 183 h.

Formele simple din

Clasele de simetrie Poziția și simbolul					
			Primitivă	Centrică	Planală
			L^4	$L^4 C$	$L^4 - - - -$ $- 2P 2P'$
1	(001)	(001)	Monoedru	Pinacoid	Monoedru
2	(110)	(110)	Prisma tetragonală sp I	Prisma tetragonală I	Prisma tetragonală I
3	(100)	(100)	Prisma tetragonală sp. II	Prisma tetragonală II	Prisma tetragonală II
4	(h0l)	(101)	Piramida tetragonală II	Bipiramida tetragonală II	Piramida tetragonală II
5	(hhl)	(111)	Piramida tetragonală I	Bipiramida tetragonală I	Piramida tetragonală I
6	(hko)	(210)	Prisma tetragonală III	Prisma tetragonală III	Prisma ditetragonală ...
7	(hkl)	(211)	Piramida tetragonală II	Bipiramida tetragonală III	Piramida ditetragonală

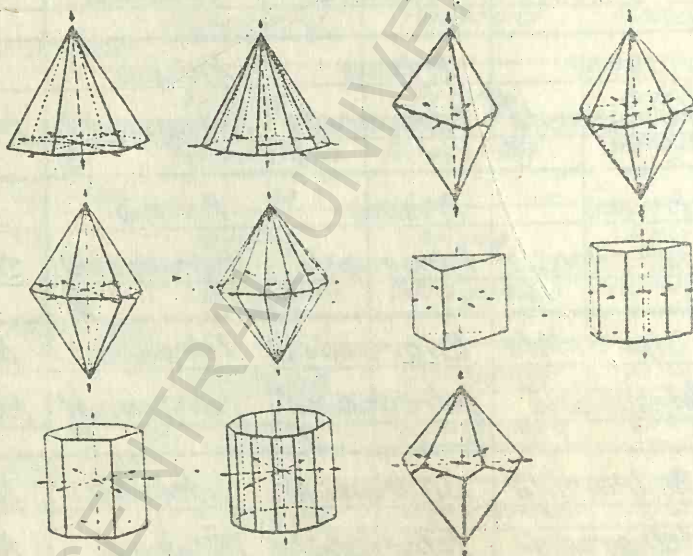
sistemul tetragonal

		Giroido-	Giroido-	
Axială	Planaxială	primitivă	planară	
$L^4 \quad 2L^2 \quad 2L'^2$ - - -	$L^4 \quad 2L^2 \quad 2L'^2$ $\pi \quad 2\rho^2 \quad 2\rho'^2 C$	L^2 4	$L^2 \quad 2L^2 \quad 2\rho^2$ - - -	
Pinacoid	Pinacoid	Pinacoid	Pinacoid	1
Prisma	Prisma	Prisma	Prisma	
tetragonală I	tetragonală I	tetragonală I	tetragonală I	2
Prisma	Prisma	Prisma	Prisma	
tetragonală II	tetragonală II	tetragonală II	tetragonală II	3
Bipiramida	Bipiramida	Tetraedru	Bipiramida	
tetragonală II	tetragonală II	tetragonal II	tetragonală II	4
Bipiramida	Bipiramida	Tetraedru	Tetraedru	
tetragonală I	tetragonală I	tetragonal I	tetragonal I	5
Prisma	Prisma	Prisma	Prisma	
ditetragonală	ditetragonală	tetragonală II	ditetragonală	6
Trapezodru	Bipiramida	Tetraedru	Scalenoedru	
tetragonal	ditetragonală	tetragonal III	ditetragonală	7

1.3. SISTEMUL HEXAGONAL

Pentru deducerea formelor simple vom folosi aici grupa de 4 axe cristalografice și deci vom considera relația axială $\alpha = \beta = \delta = 90^\circ \neq \gamma = 120^\circ$; $a : a : a : c$, cu notația în indici Bravais.

Formele simple din sistemul hexagonal sînt analoge cu cele din sistemul tetragonal; și aici avem forme enantio-morfe dreapta și stînga, forme pozitive și negative, forme de specie I, II și III, forme hemimorfe, forme hemiedrice holocare, paramorfe și antimorfe și forme tetartodrice.



FORMELE SIMPLE DIN SISTEMUL HEXAGONAL

a. Clasa planaxială, cu formula de simetrie :
 $L^6 \quad 3L^2 \quad 3L^2 \quad 3C_2 \quad 6C_6 \quad 6C_3 \quad 6C_2$
 $\pi \quad 3P^2 \quad 3P^2$ c. dă, în proiecția stereografică, fig. 134, de-

asemenea triunghiuri sferice elementare, față de care se pot stabili cele 7 poziții pentru fețele generatoare.

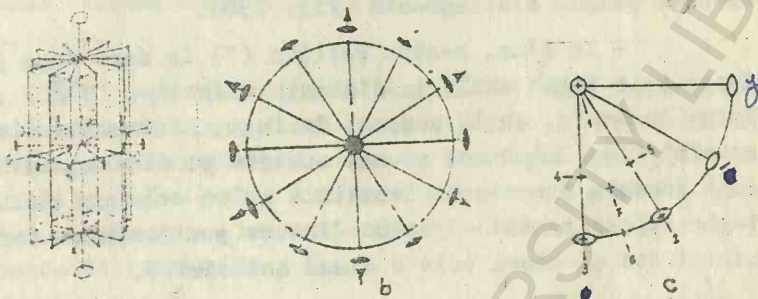


Fig.184

- Pentru poziția (1), fața generatoare perpendiculară pe $z \bar{z}$ și paralelă cu axele orizontale, (0001), rezultă un pinacoid (fig. 185).

- Pentru poziția (2) în care fața generatoare este paralelă atât cu $z \bar{z}$, cât și cu $y \bar{y}$, tăind la distanțe egale pe x și \bar{u} , (10 $\bar{1}$ 0), va rezulta o prismă hexagonală de specia I (fig.186).

- Pentru poziția (3), în care fața generatoare este paralelă cu $z \bar{z}$ și taie axele \bar{y} și \bar{u} la distanțe egale, iar axa x la distanță diferită, (2 $\bar{1}$ 10), va rezulta o prismă hexagonală de specia II (fig.187).

- Pentru poziția (4) în care fața generatoare taie axa z și taie de asemenea axele \bar{y} și \bar{u} la distanțe egale, iar pe x la distanță diferită, (2 $\bar{1}$ 11), va rezulta o bipiramidă hexagonală de specia II (fig.188).

- Pentru poziția (5) în care fața generatoare taie axa z și taie de asemenea axele x și \bar{u} la distanțe egale, fiind paralelă însă cu $y\bar{y}$, (10 $\bar{1}$ 1), rezultă o bipiramidă hexagonală de specia I, (fig. 189).

- Pentru poziția (6) în care fața generatoare este paralelă cu $z\bar{z}$ și taie cele trei axe horizontale la distanțe diferite, $(3\bar{1}20)$, rezultă o prismă cu 6 perechi de fețe diedre, prisma dihexagonală (fig. 190).

- În fine, pentru poziția (7) în care fața generatoare taie toate axele la distanțe diferite, $(3\bar{1}21)$, rezultă forma generală, cu 12 perechi de fețe, bipiramida dihexagonală (fig. 191). Clasa se mai numește și dihexagonalbipiramidală. Formele din clasa planaxială avînd cele mai multe fețe, toate fețele posibile pentru fiecare poziție, sînt forme holodrice și clasa este o clasă holodrică.

b. In clasa axială sau holoaxă, cu formula de simetrie $L^6 3L^2 3L^2$ ca și în clasele axiale anterioare, vom avea o singură formă caracteristică, forma generală, $\{hkil\}$, care este tot un trapezodru ca și în sistemul tetragonal, trapezodrul hexagonal.

Si trapezodrul hexagonal este hemiedria formei generale holodrice. Din bipiramida dihexagonală vor rezulta două forme hemiedrice corelate, enantiomorfe: trapezodrul hexagonal drept, $\{3\bar{1}21\}$ dr. și trapezodrul hexagonal stîng, $\{31\bar{2}1\}$ st., (fig. 192).

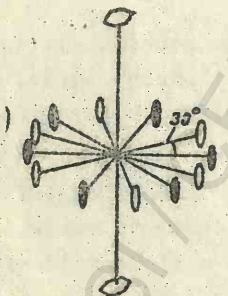


Fig. 192₁

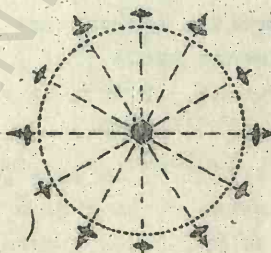


Fig. 192₂

Pentru celelalte poziții, corespund a-
celeași forme ca și
în clasa planaxială,
cu corectivul arătat,
în ceea ce privește
simetria.

c. Clasa centrică,
cu formula de simetrie
 $L^6 C$, nu va avea

forme noi; doar pentru pozițiile (6) și (7) vor rezulta forme
de specia a III-a.

- În poziția (6) va rezulta prisma hexagonală de specia III-a pozitivă, $\{3\bar{1}20\} +$ și în poziția alternă, prisma alternă, prisma hexagonală de specia III-a negativă $\{3\bar{2}10\} -$ (fig. 193).

- În poziția (7) vor rezulta tot două forme corelate: bipiramida hexagonală de specia III pozitivă, $\{31\bar{2}1\} +$ și bipiramida hexagonală de specia III negativă, $\{3\bar{2}11\} -$ (fig. 194). Acestea sînt hemiedrii ale formei generale holodrice, bipiramida dihexagonală și dau denumirea clasei; hexagonalbipiramidală.

Toate formele din clasa centrică vor fi paramorfe, iar clasa este o clasă parahemiedrică.

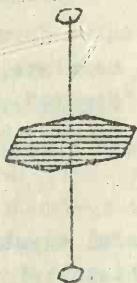


Fig. 193₁



Fig. 193₂

d. - În clasa planală cu formula de simetrie $L^6 - \bar{3}P \bar{3}P$ (fig. 195) vom avea, ca și la sistemul tetragonal, o serie

de forme hemimorfe.

- În poziția (1) va exista o formă simplă, deschisă, monoedrul sau pedionul, compus dintr-o singură față, fața generatoare, (0001) care nu are după ce se repeta cu forme corelate.

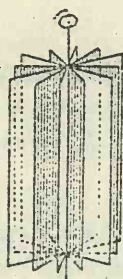


Fig. 195a

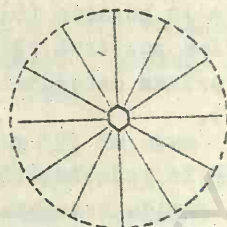


Fig. 195b

- Pentru poziția (4), va rezulta o piramidă hexagonală de specia II-a (fig. 196).

- Pentru poziția (5), va rezulta o piramidă hexagonală de specia I (fig. 197), cu 2 forme corelate.

- Pentru poziția (7), va rezulta forma generală, piramida dihexagonală, în două forme corelate, una superioară și una inferioară, $\{3\bar{1}21\}$ și $\{31\bar{2}1\}$. (fig. 198).

Clasa se mai numește și clasă dihexagonalpiramidală, antihemiedrică sau antimorfă după L^6 .

e. Clasa primitivă cu singurul element de simetrie L^6 , nu are forme noi, dar forma rezultată prin repetarea feței generatoare din poziția (7) generală, este o piramidă hexagonală de specia III-a, $\{hk\bar{1}1\}$.

Ea poate fi privită ca hemiedria piramidei dihexagonale sau ca tetartoedria bipiramidei dihexagonale. Există deci 4 forme corelate, piramide hexagonale de specia III-a, două superioare (dr. și st.) și două inferioare (dr. și st.), (fig. 199).

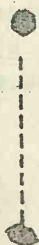


Fig. 199a

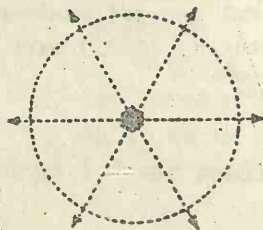


Fig. 199b

f. Clasa giroïdo-planală cu formula de simetrie

$$\begin{matrix} L^3_6 \\ -61 \end{matrix} \begin{matrix} 3L^2 \\ -3P \end{matrix} - \text{ sau } \begin{matrix} L^3_3 \\ \pi \end{matrix} \begin{matrix} 3L^2 \\ -3P \end{matrix} - \text{ are următoarele forme:}$$

- Pentru poziția (2), o prismă trigonală de speca I, $\{11\bar{2}0\}$, (fig.200).

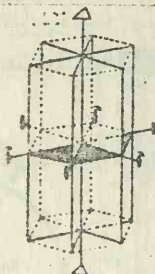


Fig. 200₁

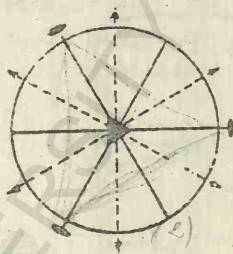


Fig. 200₂

- Aceste forme trigonale apar ca hemiedrii ale formelor holocedrice hexagonale și se prezintă deci în câte două forme corelate: Prisma trigonală din poziția (2) este o prismă posterioară (fig.201 c) și este corelată cu prisma din poziția (2)- opusă-, care este prisma anterioară (fig.201 a). În fel se întâmplă cu bipiramidele trigonale corespunzătoare din pozițiile 5 (fig.201 d) și 5 (fig.201 b).

Toate formele trigonale ca hemiedrii ale formelor holocedrice hexagonale și se prezintă deci în câte două forme corelate, una pozitivă și una negativă.

- Pentru poziția (6) corespund două forme corelate cu aceiași indici pentru axele orizontale, dar care au fețele paralele cu axa $z \bar{z}$: prisma ditrigonală pozitivă $\{3\bar{1}\bar{2}0\}+$ și prisma ditrigonală negativă $\{2131\}$ - (fig.204).

- Pentru poziția (7) se formează o bipiramidă ditrigonală, care este forma generală și caracteristică a clasei, $\{3\bar{1}\bar{2}1\}+$, cu forma corelată, bipiramida ditrigonală, $\{2131\}$ -. Ambele forme sînt hemiedrii ale bipiramidei dihexagonale, forma holocedrică (fig. 205).

Clasa se numește ditrigonalbipiramidală.

C. Clasa giroido-primitivă.

In clasa giroido-primitivă, cu formula de simetrie $L^3_{C_3} = \pi$, nu avem forme noi dar, în pozițiile 6 și 6' apar 4 prisme trigonale de specia a III-a iar forma generală, din poziția (7) este o bipiramidă trigonală de specia a III-a, care apare ca o hemiedrie a bipiramidei ditrigonale din clasa giroido-planară. Sînt două forme hemiedrice corelate:

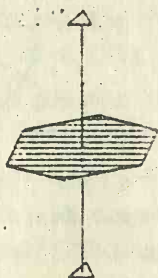


Fig. 206₁

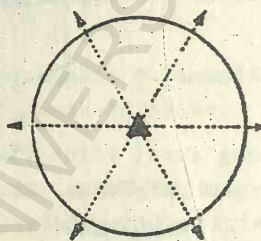


Fig. 206₂

- forma posterioară stîngă, pozitivă și negativă;
- forma anterioară dreaptă, pozitivă și negativă (fig. 206).

De asemenea în poziția (2) se formează prisma trigonală de specia a II-a în formele corelate, dreaptă și stîngă (fig. 201 b), iar în poziția (5), bipiramida trigonală de specia a II-a, tot în formele corelate, dreaptă și stîngă (fig. 202).

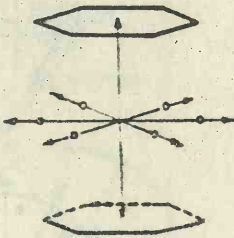
La rîndul său, bipiramida ditrigonală, fiind hemiedria bipiramidei dihexagonale, are și ea două forme corelate: forma $\{3I2I\}$ din care au derivat cele două bipiramide trigonale de specia a III-a, $\{I2I\}$ și $\{32I1\}$ și forma $\{2I3I\}$, din care putem deriva alte două bipiramide trigonale de specia a III-a, $\{2I3I\}$ și $\{123I\}$.

Cele patru forme corelate, bipiramidele trigonale $\{3I2I\}$, $\{32I1\}$, $\{2I3I\}$ și $\{123I\}$, apar ca tetartoedrii ale bipiramidei dihexagonale, care se poate reconstitui prin asocierea lor. Clasa se cheamă trigonal bipiramidală.

FORME SIMPLE DIN SISTEMUL HEXAGONAL

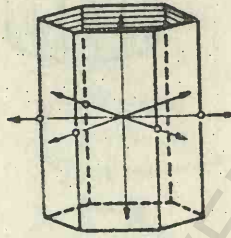
I

CLASA
PLANAXIALĂ



(0001)

Fig. 185



(1010)

Fig. 186₁

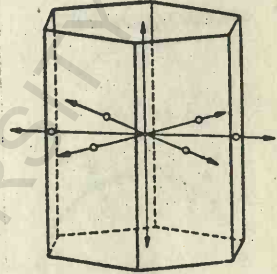


Fig. 187₁

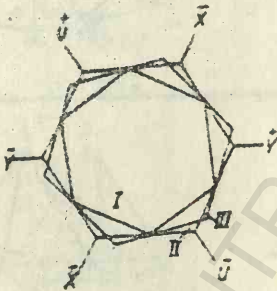


Fig. 185_b

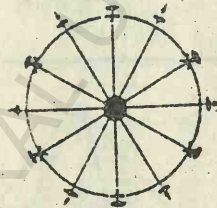


Fig. 186₂

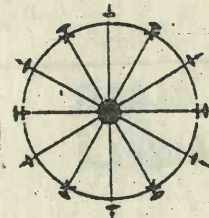


Fig. 187₂

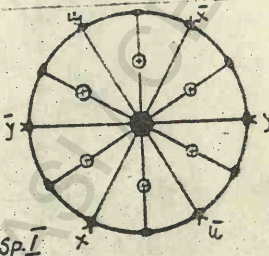


Fig. 189

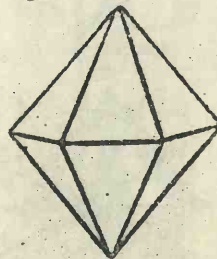


Fig. 188₁

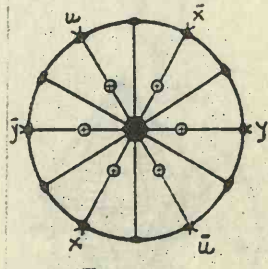
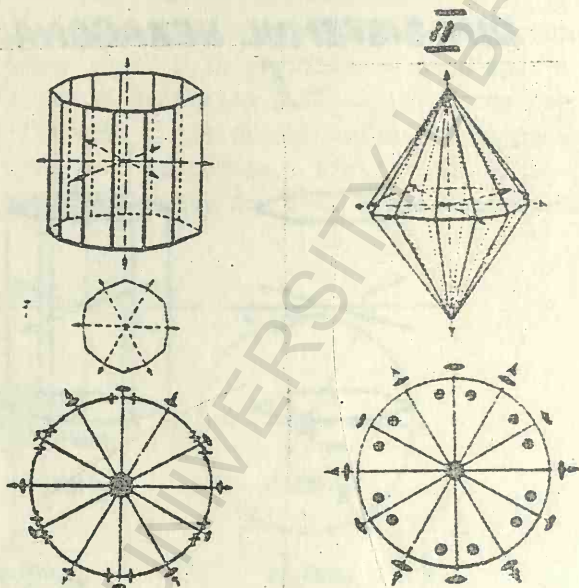


Fig. 188₂

FORME SIMPLE DIN SISTEMUL HEXAGONAL

CLASA PLANAXIALĂ

-CONTINUARE-



CLASA AXIALĂ

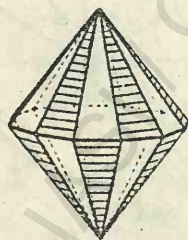


Fig. 192a

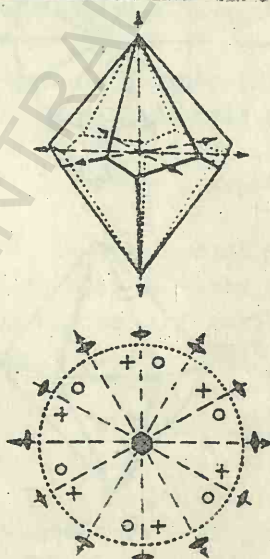


Fig. 192 b

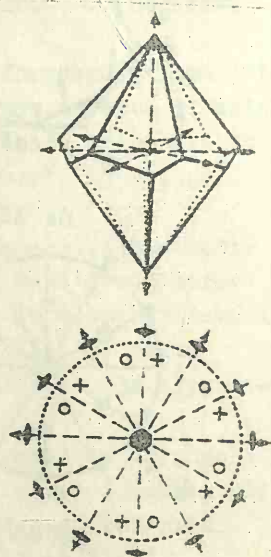


Fig. 192 c.

SISTEMUL HEXAGONAL III CLASA CENTRICĂ

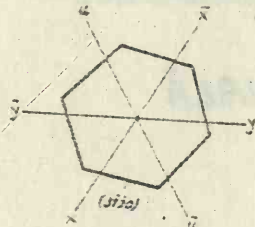


Fig. 193-4a

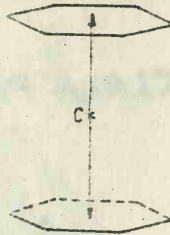


Fig. 193c

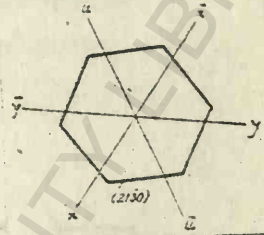


Fig. 193-4b

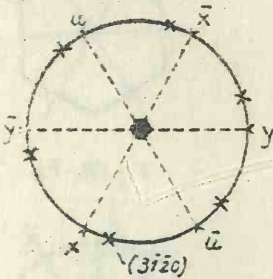


Fig. 193a



Fig. 193

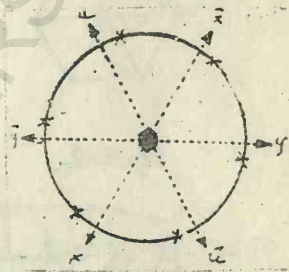


Fig. 193b

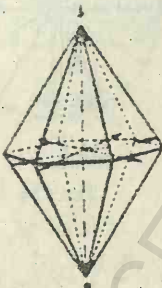


Fig. 194a1



Fig. 194a,b

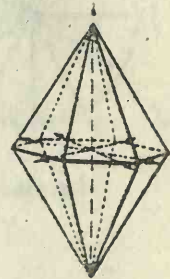


Fig. 194b1



Fig. 194a2

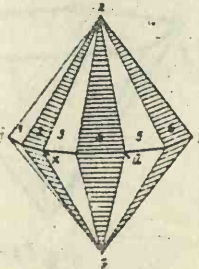


Fig. 194a,b

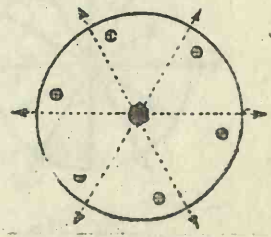


Fig. 194b2

FORME SIMPLE DIN SISTEMUL HEXAGONAL IV CLASA PLANALĂ

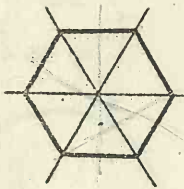


Fig. 196-7a.

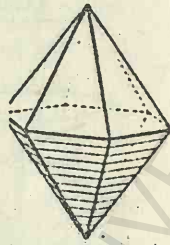


Fig. 196-7

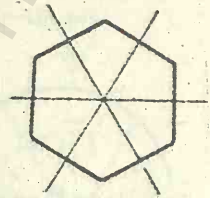


Fig. 196-7b

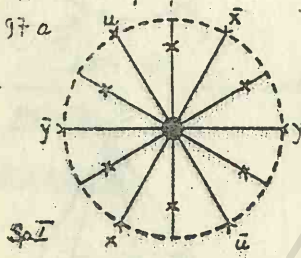


Fig. 196a

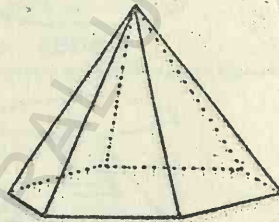


Fig. 196

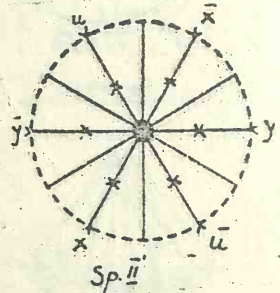


Fig. 196b.

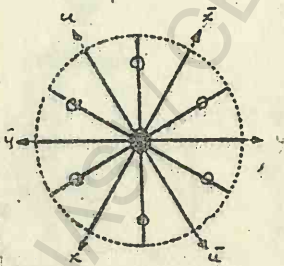


Fig. 197a

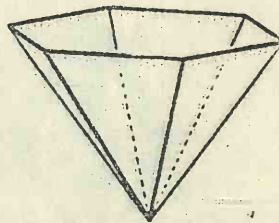


Fig. 197

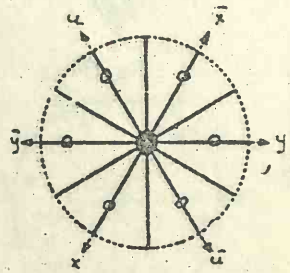


Fig. 197b.

FORME SIMPLE DIN SISTEMUL HEXAGONAL

V

CLASA PLANALĂ

-CONTINUARE-

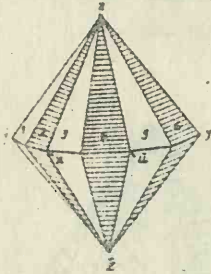


Fig. 198

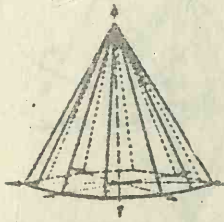


Fig. 198 b

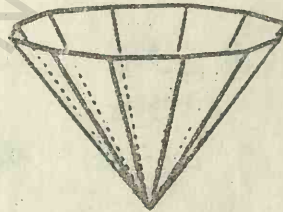


Fig. 198 b1

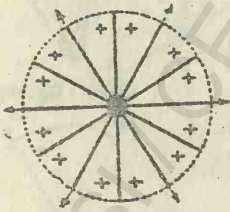


Fig. 198 a

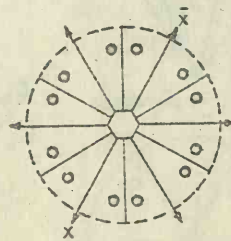


Fig. 198 b2

FORME SIMPLE DIN SISTEMUL HEXAGONAL

CLASA PRIMITIVĂ

VI

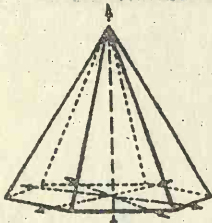


Fig. 199c1

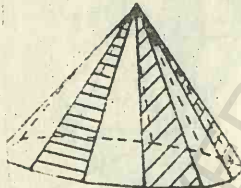


Fig. 199c3

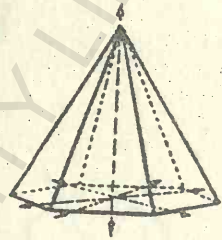


Fig. 199d1

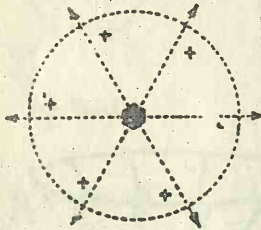


Fig. 199c2

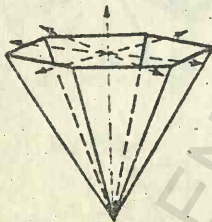
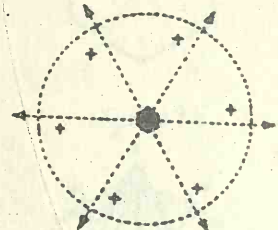


Fig. 199b1

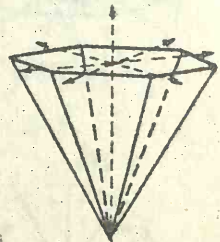


Fig. 199d2

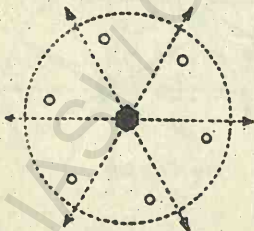


Fig. 199b2

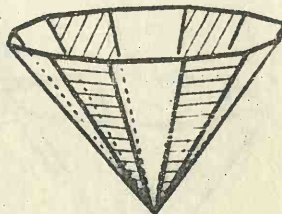


Fig. 199c4

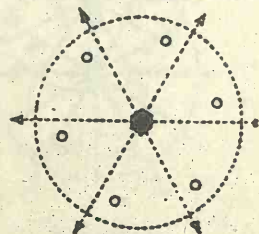


Fig. 199d3

**FORME SIMPLE
DIN SISTEMUL HEXAGONAL**

VII

CLASA GIROIDO-PLANALĂ

- continuare -

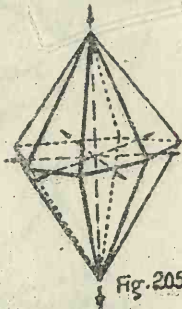


Fig. 205 a₁

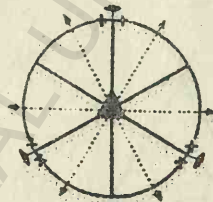


Fig. 204

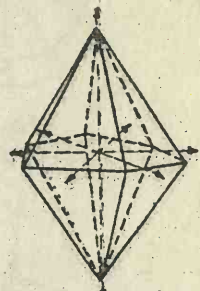


Fig. 205 b

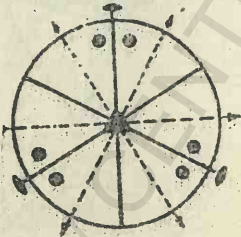


Fig. 205 a₂

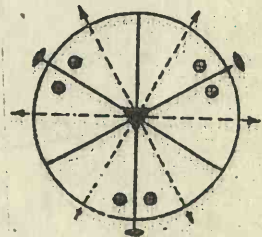


Fig. 205 b₂

SISTEMUL HEXAGONAL

VIII

CLASA SIROIDO-PLANALA

SPECIA I

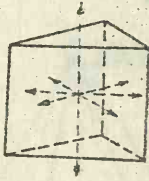


Fig. 201a.

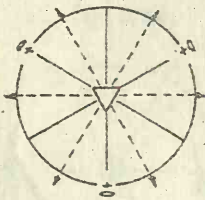


Fig. 201b

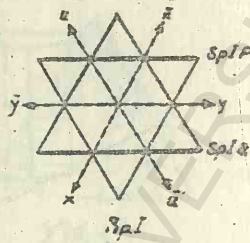


Fig. 202



Fig. 201d.

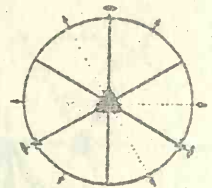


Fig. 201c

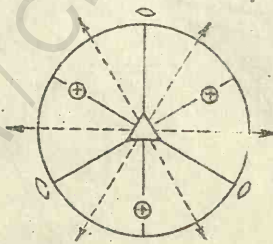


Fig. 203b.

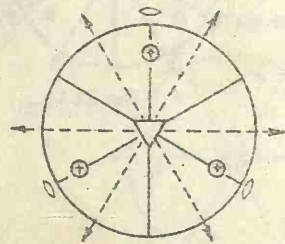
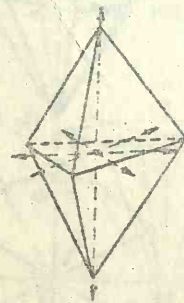


Fig. 203a

**SISTEMUL
HEXAGONAL**

IX

**CLASA GIROIDO-
PRIMITIVĂ**

SPECIA II

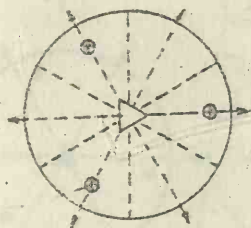
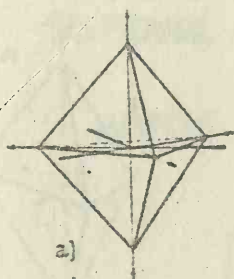


Fig.206 a

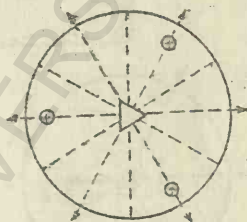
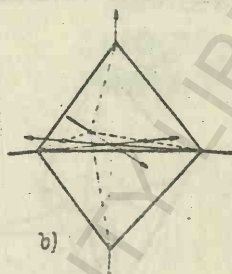


Fig.206 c

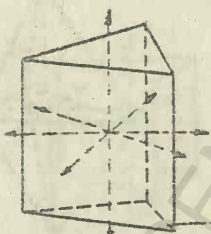


Fig.206 b

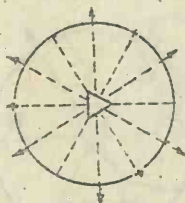
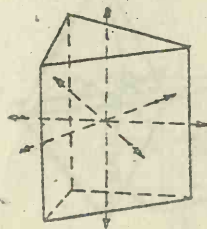


Fig.206 d

**FORME SIMPLE DIN
SISTEMUL HEXAGONAL**

**CLASA GIROIDO-
PRIMITIVĂ**

\bar{x}

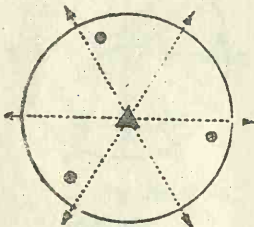
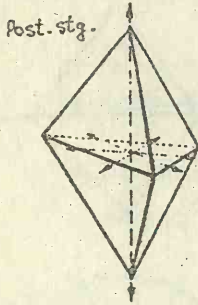


Fig. 207a

SPECIA III-a

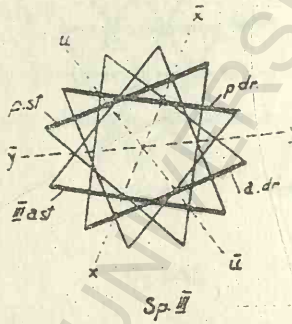


Fig. 207e

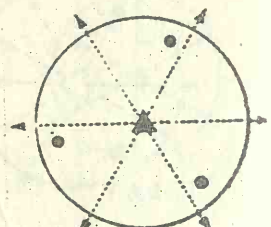
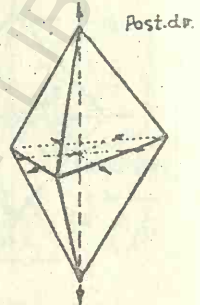


Fig. 207c

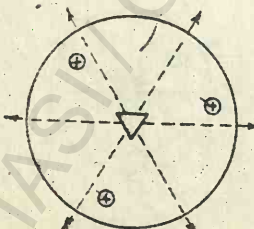
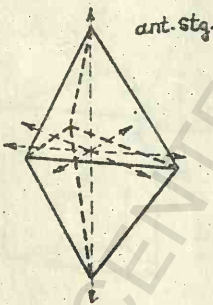


Fig. 207b

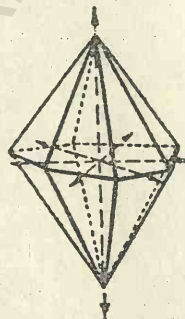


Fig. 207f

HEMIEDRII

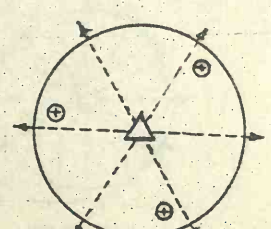
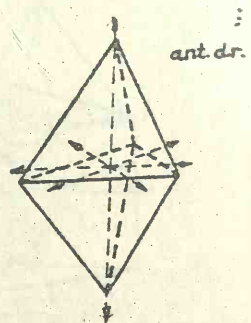


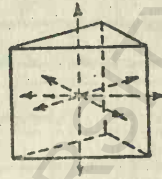
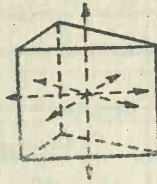
Fig. 207d

**FORME SIMPLE DIN
SISTEMUL HEXAGONAL**

**CLASA
GIROIDO-
PRIMITIVĂ**

XI

SPECIA III-Q



SP. III

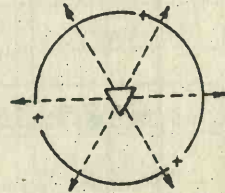
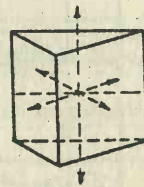
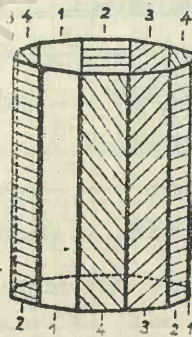
Ant. stg.

SP. III

Ant. dr.

Fig. 207 g.

Fig. 207 i.



SP. III

Post. stg.

SP. III

Post. dr.

Fig. 207 h.

Fig. 207 k.

Fig. 207 j.

HEMIEDRII

Formele simple din

Clasele de simetrie Poziția și simbolul			Primitivă	Centrică	Planală
			L^6	L^6 \overline{II}^C	L^6 — — — $3P$ $3P^1$ —
1	(0001)	(0001)			
			Monoedru	Pinacoid	Monoedru
2	(10\overline{1}0)	(10\overline{1}0)	Prisma	Prisma	Prisma
			hexagonală \overline{I}	hexagonală \overline{I}	hexagonală \overline{I}
3	(2\overline{1}\overline{1}0)	(2\overline{1}\overline{1}0)	Prisma	Prisma	Prisma
			hexagonală \overline{I}	hexagonală \overline{II}	hexagonală \overline{II}
4	(2hh\overline{h})	(2\overline{1}\overline{1}1)	Piramida	Bipiramida	Piramida
			hexagonală \overline{II}	hexagonală \overline{II}	hexagonală \overline{II}
5	(hoh\overline{h})	(10\overline{1}1)	Piramida	Bipiramida	Piramida
			hexagonală \overline{I}	hexagonală \overline{I}	hexagonală \overline{I}
6	(hkio)	(3\overline{1}\overline{2}0)	Prisma	Prisma	Prisma
			hexagonală \overline{III}	hexagonală \overline{III}	dihexagonală
7	(hki\overline{h})	(3\overline{1}\overline{2}1)	Piramida	Bipiramida	Piramida
			hexagonală \overline{III}	hexagonală \overline{III}	dihexagonală

sistemul hexagonal

<i>Axială</i>	<i>Planaxială</i>	<i>Giroido-</i>	<i>Giroido-</i>	
		<i>primitivă</i>	<i>planală</i>	
$L^6 \ 3L^2 \ 3L'^2$ - - -	$L^6 \ 3L^2 \ 3L'^2$ $\pi \ 3\rho^2 \ 3\rho'^2 \ C$	$L^3_{6i} \equiv \frac{L^3}{\pi}$	$L^3_{6i} \ 3L^2 -$ - - 3ρ	
<i>Pinacoid</i>	<i>Pinacoid</i>	<i>Pinacoid</i>	<i>Pinacoid</i>	1
<i>Prisma</i>	<i>Prisma</i>	<i>Prisma</i>	<i>Prisma</i>	
<i>hexagonală</i>	<i>hexagonală</i>	<i>trigonală</i>	<i>hexagonală</i>	
I	I	I	I	2
<i>Prisma</i>	<i>Prisma</i>	<i>Prisma</i>	<i>Prisma</i>	
<i>hexagonală</i>	<i>hexagonală</i>	<i>trigonală</i>	<i>trigonală</i>	
II	II	II	II	3
<i>Bipiramida</i>	<i>Bipiramida</i>	<i>Bipiramida</i>	<i>Bipiramida</i>	
<i>hexagonală</i>	<i>hexagonală</i>	<i>trigonală</i>	<i>trigonală</i>	
II	II	II	II	4
<i>Bipiramida</i>	<i>Bipiramida</i>	<i>Bipiramida</i>	<i>Bipiramida</i>	
<i>hexagonală</i>	<i>hexagonală</i>	<i>trigonală</i>	<i>hexagonală</i>	
I	I	I	I	5
<i>Prisma</i>	<i>Prisma</i>	<i>Prisma</i>	<i>Prisma</i>	
<i>dihexagonală</i>	<i>dihexagonală</i>	<i>trigonală</i>	<i>ditrigonală</i>	
		III		6
<i>Trapezodru</i>	<i>Bipiramida</i>	<i>Bipiramida</i>	<i>Bipiramida</i>	
<i>hexagonal</i>	<i>dihexagonală</i>	<i>trigonală</i>	<i>ditrigonală</i>	
		III		7

1. 4. SISTEMUL TRIGONAL

Plecând de la același sistem de patru axe cristalografice (x, y, u și z) ca și în sistemul hexagonal, vom folosi pentru notație tot indicii Bravais.

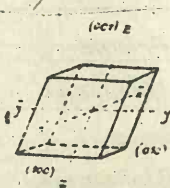
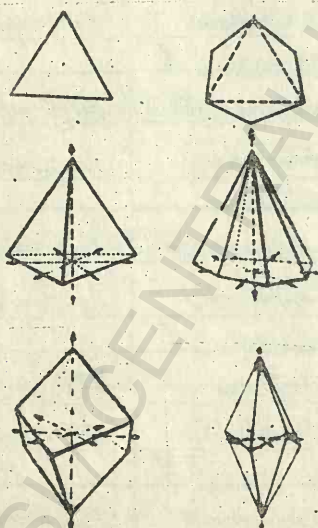
Multe forme din sistemul trigonal apar ca meriedrii ale formelor din sistemul hexagonal. Formele cu secțiune ditrigonală apar sau ca hemiedrii ale formelor hemimorfe dihexagonale, ca tetartloedrii ale formelor holloedrice dihexagonale, sau ca hemimerfii ale formelor ditrigonale din clasă giroïdo-planară.

Formele cu secțiune trigonală apar ca hemiedrii sau tetartloedrii ale formelor ditrigonale și ca tetartloedrii sau ogtoedrii ale formelor dihexagonale.

În sistemul trigonal se găsește cea mai variată gamă de forme corelate: forme drepte și forme stîngi; forme de specie I, II și III-a; forme anterioare și posterioare; forme hemimorfe superioare și inferioare; forme pozitive și forme negative.

Ca în toate clasele din categoria mijlocie de singonii,

și aici, în clasa axială se găsește un trapezoedru, trapezoedrul trigonal.

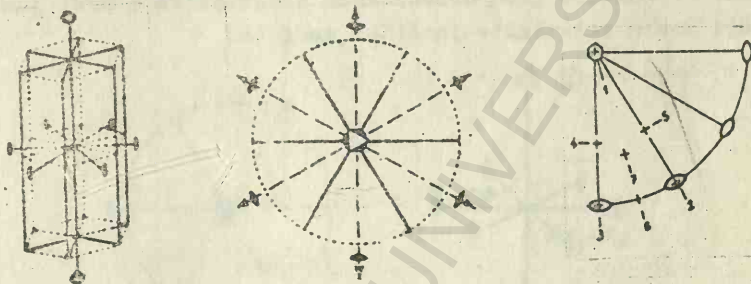


FORME SIMPLE DIN SISTEMUL TRIGONAL

a. In clasa planaxială cu formula $L_6^3 \frac{3L^2}{3P^2} C$,

forme noi apar numai în pozițiile (5) și (7).

În poziția (5), pentru fața generatoare (10 $\bar{1}$ 1) se formează un romboedru de specia I-a pozitiv, care are ca formă corelată romboedrul negativ, {10 $\bar{1}$ 1}-. Ambii, sînt hemiedrii ale bipiramidei hexagonale de specia I, {10 $\bar{1}$ 1}, la care s-au dezvoltat alternativ cîte trei fețe sus și trei fețe jos (fig.208).



- Pentru o față generatoare din poziția (7), rezultă forma generală, {hk $\bar{1}$ l}, cu trei perechi de fețe sus și trei perechi de fețe jos, în formă de triunghiuri scalene, scalenoedrul ditrigonal, în două forme corelate: scalenoedrul ditrigonal pozitiv, 3 $\bar{1}$ 21 + și scalenoedrul ditrigonal negativ, {3 $\bar{1}$ 2 $\bar{1}$ } - (fig. 209).

Acestea apar ca hemiedrii ale bipiramidei dihexagonale și dau denumirea clasei, care se mai numește clasa ditrigonal scalenoedrică.

În celelalte poziții apar forme deja cunoscute de la sistemul hexagonal, dar cu particularități ale fețelor care le reduce simetria: în poziția (2), prisma hexagonală de specia I, în poziția (3), prisma hexagonală de specia II-a, în poziția (4), bipiramida hexagonală de specia II-a, în poziția (6), prisma dihexagonală.

Clasa se numește, după forma generală, clasă ditrigonal scalenoedrică.

b. In clasa axială cu formula de simetrie $L^3 3L^2$

ca și în clasele axiale anterioare din categoria mijlocie de simonii, apare o singură formă nouă, caracteristică și anume tot un trapezoidru, trapezoidrul trigonal.

Trapezoidrul trigonal care este forma generală, rezultă pe baza feței generatoare din poziția (7), $(hk\bar{l}l)$ și se prezintă în două forme enantiomorfe; una dreaptă, $\{3\bar{1}\bar{2}1\}$ și una stângă, $\{3\bar{2}\bar{1}1\}$, (fig.210).

Acestea sînt hemiedrii ale scalenoedrului ditrigonal, rezultate prin dezvoltarea alternativă a unei jumătăți sau a celeilalte jumătăți de fețe.

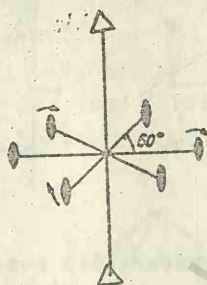


Fig.210₁

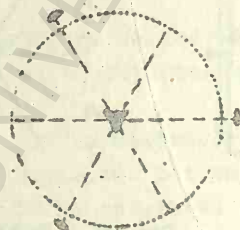


Fig.210₂

După cum am văzut, la rîndul său, scalenoedrul ditrigonal apare ca hemiedrie a bipiramidei dihexagonale și prezintă două forme corelate, una pozitivă, cea considerată anterior și alta negativă. Și din forma negativă rezultă doi trapezoidri, unul drept, $\{2\bar{1}\bar{3}1\}$ și unul stîng, $\{2\bar{1}3\bar{1}\}$.

Trapezoidrul trigonal apare deci și ca tetartoedria bipiramidei dihexagonale. Fiind forma generală, dă denumirea clasei care se numește și trigonal trapezoidrică.

c. In clasa centrică, cu formula de simetrie $L^3 C$ nu apar forme noi, dar forma generală, rezultată prin repetarea feței generatoare din poziția (7) este un romboedru de specia III-a.

El apare în două forme corelate, forma pozitivă, $\{3\bar{1}21\}$. + și forma negativă, $\{12\bar{3}1\}$ -, ca hemiedrii ale bipiramidei hexagonale de specia III-a (fig.211).

- În poziția (4) se găsește romboedrul de specia II-a cu forma pozitivă, $\{2\bar{1}\bar{1}1\}$ și negativă, $\{11\bar{2}1\}$ -.

După forma generală clasa se numește clasa romboedrică.



Fig. 211₁



Fig. 212₂

d. In clasa planală cu formula de simetrie

$L^3 - 3P$ - se găsesc, ca și în celelalte clase planale din categoria mijlocie de simonii, forme hemimorfe.

- În poziția (5) de ex. se găsește o față generatoare care, repetată conform simetriei, dă naștere unei piramide trigonale de specia I-a cu formele corelate, pozitivă, $\frac{1}{2}\{10\bar{1}1\}$ + și negativă, $\frac{1}{2}\{01\bar{1}1\}$ -

(fig. 212).

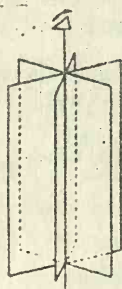


Fig. 211₁

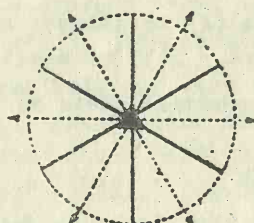


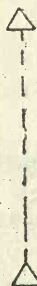
Fig. 211₂

Pentru poziția generală (7) corespunde o piramidă care apare ca hemiedrie hemimorfă a bipiramidei ditrigonale, așa că are toate formele corelate corespunzătoare, așa cum se poate vedea din figura 213.

Clasa se numește clasă ditrigonal piramidală.

e. Clasa primitivă.

În clasă primitivă a sistemului trigonal care nu are de cît un element de simetrie: axa L^3 , nu apar forme noi.



- În pozițiile (4) și (5) pot fi semnalate piramidele trigonale de specia I și II, cu formele corelate superioare, respectiv inferioare, pozitive și negative (fig. 214). Ele apar ca hemiedrii ale bipiramidelor

trigonale de specia I și II.

- În poziția (7) se găsește forma generală $\{hkil\}$, care este o piramidă trigonală de specia III, cu forme corelate superioare și inferioare, pozitive și negative, drepte și stîngi. Ele apar ca hemiedrii ale piramidei ditrigonale sau ca tetartoedrii ale piramidei dihexagonale. Mai pot fi considerate ca forme ogdoedrice ale bipiramidei dihexagonale (fig. 215).

Clasa se numește clasă trigonal piramidală și - după cristalografii care unesc sistemele hexagonal și trigonal într-un singur sistem, romboedric, - aceasta ar fi o clasă ogdoedrică.

FORME SIMPLE DIN SISTEMUL TRIGONAL

I

CLASA
PLANAXIALĂ

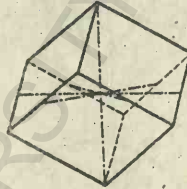
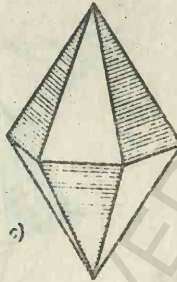
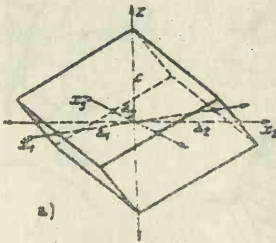


Fig. 208

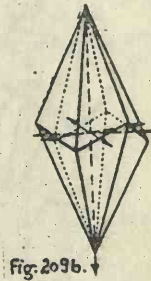
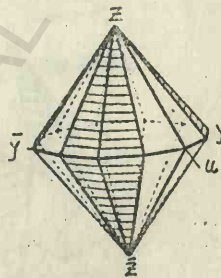


Fig. 209b

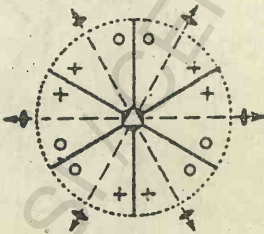


Fig. 209a

Fig. 209c

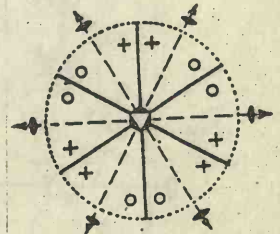


Fig. 209b2

FORME SIMPLE DIN SISTEMUL TRIGONAL

II

CLASA
AXIALĂ

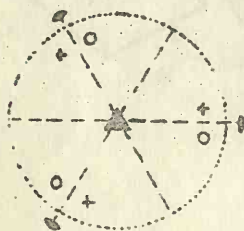
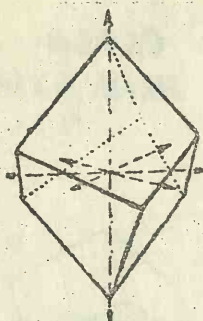
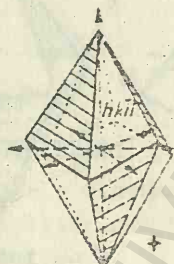


Fig. 210 a₁



(a)

Fig. 210 c₁

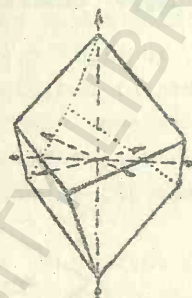


Fig. 210 b₁

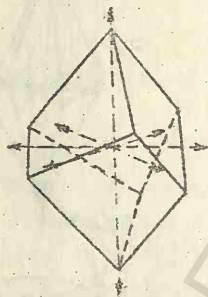
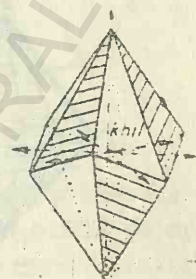


Fig. 210 a₂



(b)

Fig. 210 c₂

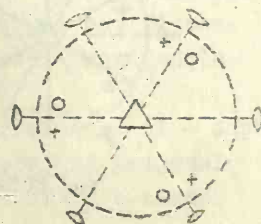
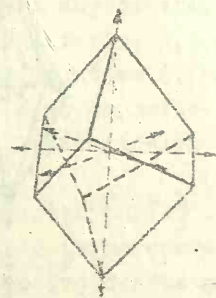


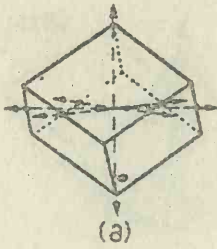
Fig. 210 b₂

HEMIEDRII

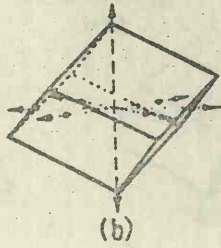
FORME SIMPLE DIN
SISTEMUL TRIGONAL

III

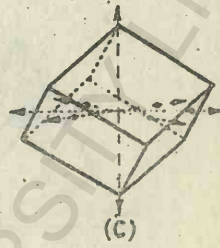
CLASA
CENTRICĂ



(a)

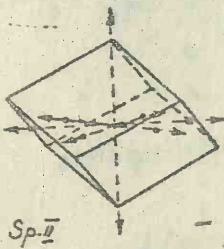


(b)



(c)

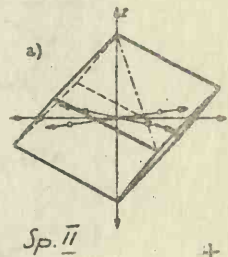
Fig. 211



Sp. II



Fig. 211 b₁



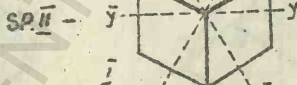
Sp. II

Fig. 211 c.



Fig. 211 b₂

II -



SP. II



Fig. 211 a₄

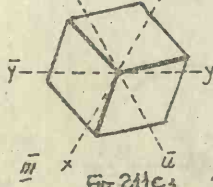
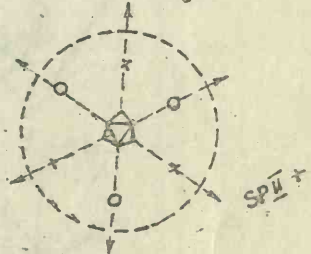


Fig. 211 c₁



SP. II

Fig. 211 b₃

II +

SPECH

**FORME SIMPLE DIN
SISTEMUL TRIGONAL IV**

**CLASA
CENTRICĂ.**

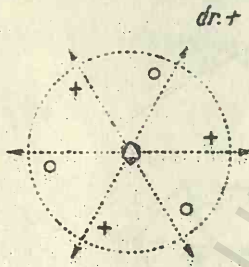
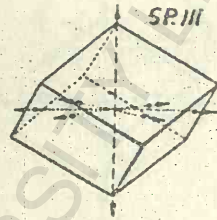
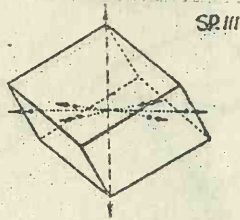


Fig. 2Hc₂

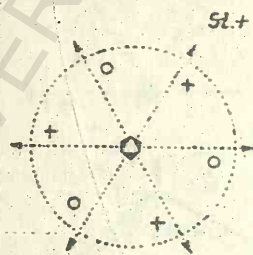


Fig. 2Hc₃

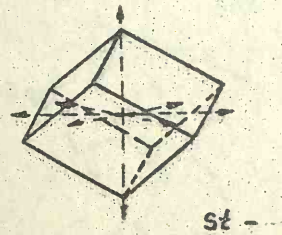
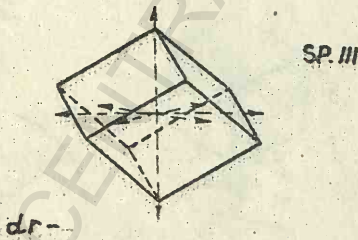


Fig. 2Hc₄

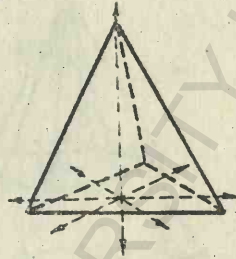
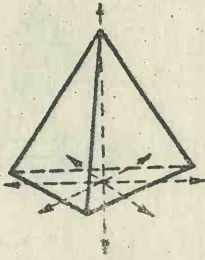


Fig. 2Hc₅

FORME SIMPLE
DIN SISTEMUL TRIGONAL

CLASA
PLANALĂ

SPECIA \bar{I}



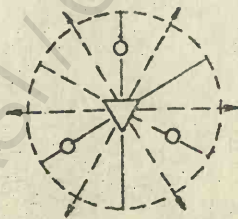
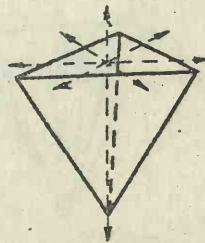
$S\bar{I}ps$

Fig. 212 a



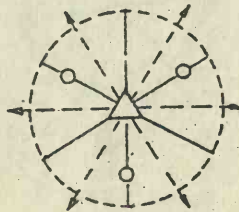
$S\bar{I}as$

Fig. 212 c



$S\bar{I}pi$

Fig. 212 b.



$S\bar{I}ai$

Fig. 212 d

**FORME SIMPLE
DIN SISTEMUL TRIGONAL
VI**

**CLASA
PLANALĂ**

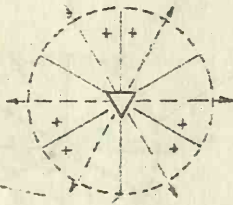
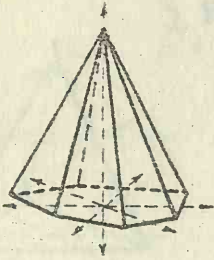


Fig. 213 a

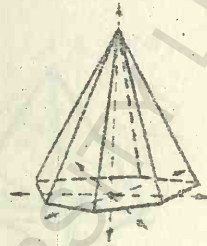


Fig. 213 c

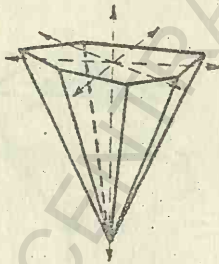


Fig. 213 b.

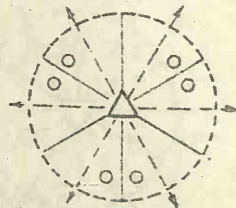
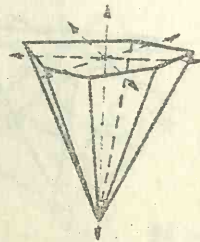


Fig. 213 d

FORME SIMPLE DIN
SISTEMUL TRIGONAL

VII

CLASA
PRIMITIVĂ

- 1 -

SPECIA II-a

Sp. $\bar{1}$ st. s

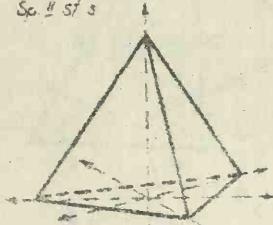


Fig. 214 a



Sp. $\bar{1}$ dr. s

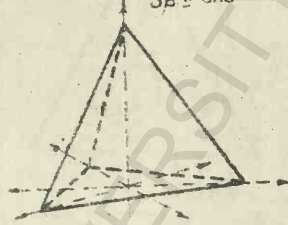


Fig. 214 c



Sp. $\bar{1}$ st. i

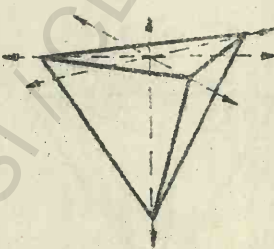


Fig. 214 b

Sp. $\bar{1}$ dr. i

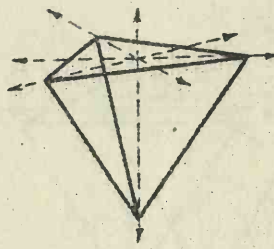
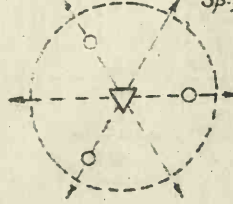


Fig. 214 d

FORME SIMPLE DIN SISTEMUL TRIGONAL

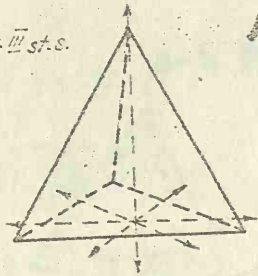
VIII

CLASA
PRIMITIVA
- 2 -

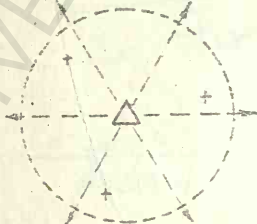
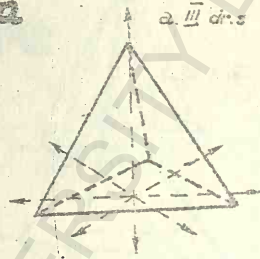
SPECIA

III-Q

a. III st.s.



a. III dr.s.



a. III st.s.

Fig. 214 g₁



Fig. 214 l₁

a. III dr.s.

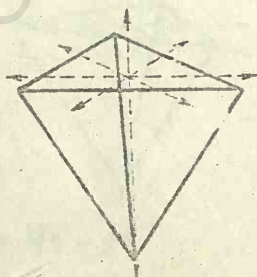
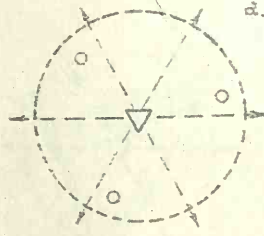


Fig. 214 g₂

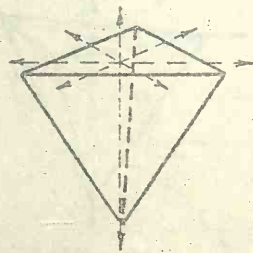


Fig. 214 l₂

**FORME SIMPLE
DIN SISTEMUL TRIGONAL
SPECIA III**

IX

**CLASA
PRIMITIVA
-3-**

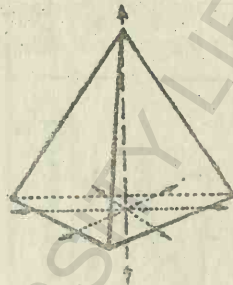
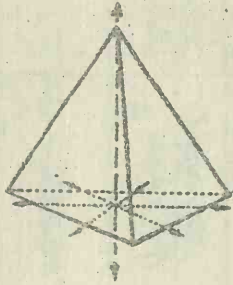


Fig. 214f



Fig. 214g

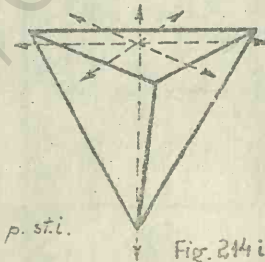


Fig. 214i

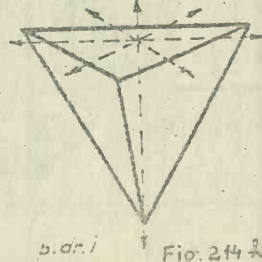


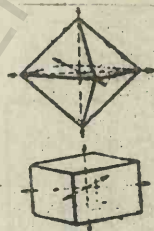
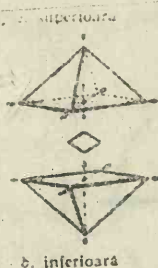
Fig. 214j

forme simple din sistemul trigonal

Clasele de simetrie		Primitivă	Centrică	Plană	Axială	Planaxială
Poziția și simbolul		L^3	$L^2 C$	$L^3 - 3P$	$L^3 3L^2$	$L^3 3L^2 C$
1	(0001) (0001)	Monocedru	Pinacoid	Monocedru	Pinacoid	Pinacoid
2	(1010) (1010)	Prisma trigonală I	Prisma hexagonală I	Prisma trigonală I	Prisma hexagonală I	Prisma hexagonală I
3	(2110) (2110)	Prisma trigonală II	Prisma hexagonală II	Prisma hexagonală II	Prisma trigonală II	Prisma hexagonală II
4	(2110) (2110)	Piramida trigonală II	Romboedru II	Piramida hexagonală II	Bipiramida trigonală II	Bipiramida hexagonală II
5	(1011) (1011)	Piramida trigonală I	Romboedru I	Piramida trigonală I	Romboedru I	Romboedru I
6	(1110) (1110)	Prisma trigonală III	Prisma hexagonală III	Prisma dihedrală	Prisma dihedrală	Prisma dihedrală
7	(1110) (1110)	Piramida trigonală III	Romboedru III	Piramida dihedrală	Trapezoidu trigonal	Scalenoedru dihedral

1. 5. SISTEMUL ROMBIC

Prin relația axială și simetrie, sistemul rombic prezintă mari asemănări cu sistemul tetragonal. De aceea are și forme simple foarte asemănătoare cu cele întâlnite în acest sistem.



FORMELE SIMPLE DIN SISTEMUL ROMBIC

a. Clasa planaxială.

Corespunzător formulei de simetrie în clasa planaxială se găsesc următoarele forme simple:

$$\begin{matrix} L^2 & L^2 & L^2 \\ P^2 & P^2 & P^2 \end{matrix} C$$



Fig. 216a

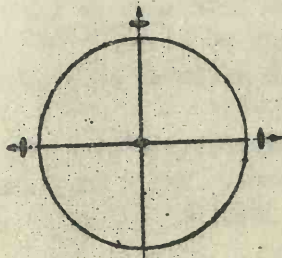


Fig. 216a₂

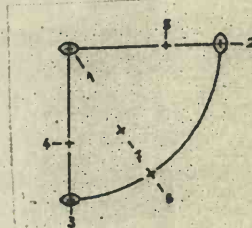


Fig. 216a₃

- În poziția (6) se găsește prisma ortogonală cu secțiunea rombică, adică prisma rombică sau ortorombică, paralelă cu axa $z\bar{z}$ și notată $\{h k 0\}$.

- În poziția (4) se găsește de asemenea o prismă rombică, ale cărei fețe sînt paralele însă cu axa $y \bar{z}$, $\{h 0 l\}$ și tot la fel, în poziția (3) se găsește o prismă rombică paralelă cu axa $x \bar{z}$, $\{0 k l\}$, (fig. 216).

În pozițiile (1), (2) și (3) se găsesc pinacoizi, pe care i-am întîlnit și în cele gorii mijlocie de simonii, respectiv, pinacoizii $\{001\}$ și $\{100\}$, (fig. 217).

- În poziția (7) se găsește forma generală, bipiremidă rombică $\{h k l\}$, care dă și denumirea clasei, clasa rombopiremidală (fig. 218).

b. Clasa planală.

Clasa planală a sistemului rombic, cu formula de simetrie $L^2 - P - P'$ - are următoarele forme simple:

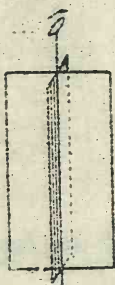


Fig. 219₁



Fig. 219₂

- În poziția (1), o față care nu se mai repetă, un monocedru, cea mai simplă formă, care include formele heximorfă din categoria mijlocie și inferioară de simonii și este mai frecvent întîlnită la formele compuse din simoniile inferioare.

- În pozițiile (2) și (3) se întîlnesc pinacoizi cu aceleași caractere.

În poziția (4) se găsește o formă simplă deschisă, compusă din două fețe care se intersectează după un unghi diedru diferit de 90° . Prin intersecția fezelor trece un plan de simetrie și forma se numește diedru planal sau domă (fig. 219).

Acesta se mai numește și diedru planal transversal. El prezintă două forme corelate: una superioară, $\frac{1}{2}\{101\}$ și una inferioară, $\frac{1}{2}\{10\bar{1}\}$.

- Și în poziția (5) se găsește tot un diedru planal, care are, însă, fețele paralele cu axa $x \bar{x}$, diedru planal longitudinal, ce se prezintă de asemenea în două forme corelate: una superioară, $\frac{1}{2}\{011\}$ și una inferioară, $\frac{1}{2}\{0\bar{1}\bar{1}\}$, fig.220.

- În poziția (6) se găsește tot o prismă rombică, ca și în clasa planaxială.

- În poziția (7), forma generală și caracteristică, este o formă hemimorfă, piramida rombică $\frac{1}{2}\{h k l\}$, care dă denumirea clasei: rombopiramidală.

Fiind hemiedria bipiramidei rombice, vor exista două forme corelate: piramida rombică superioară, $\frac{1}{2}\{111\}$ + și piramida rombică inferioară, $\frac{1}{2}\{1\bar{1}\bar{1}\}$ - (fig.221).

c. Clasa axială.

Are formula de simetrie $L^2 L'^2 L''^2$ -

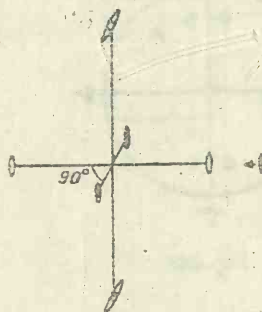


Fig.222₁

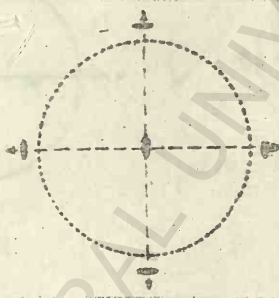


Fig.222₂

În această clasă, forma nouă este forma generală, din poziția 7. Aceasta este o formă închisă cu 4 fețe și anume un tetraedru a cărui secțiune este un romb, deci un tetraedru rombic.

Clasa se numește rombotetraedrică.

Tetraedrul rombic apare ca hemiedrie a bipiramidei rombice și deci se prezintă în două forme corelate care sînt enantiomorfe: tetraedrul rombic drept, $\{111\}$ dr. și tetraedrul rombic stîng, $\{1\bar{1}\bar{1}\}$ stg. (fig.222).

Un diedru care admite o axă de simetrie se numește diedru axial. Tetraedrul rombic apare ca o pereche de asemenea diedri axiali care se închid unul pe altul.

Din cauză că diedrul axial se mai numește și sfenoid, tetraedrul rombic se mai numește și bisfenoid.

În celelalte poziții nu apar forme noi, doar corelate.

FORME SIMPLE DIN SISTEMUL ROMBIC I

CLASA PLANAXIALĂ

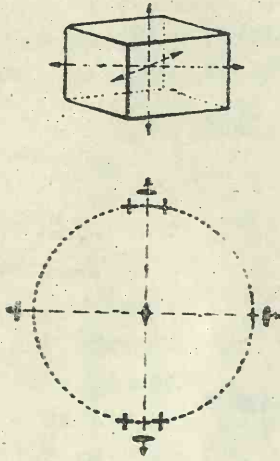


Fig. 216a

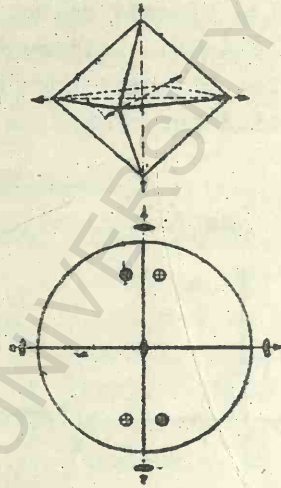


Fig. 218.

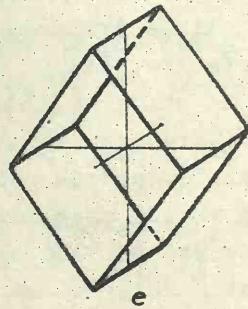
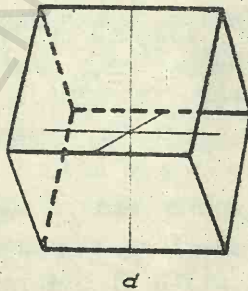


Fig. 216 b.

**FORME SIMPLE
DIN SISTEMUL
ROMBIC**

**CLASA
PLANAXIALĂ**

II

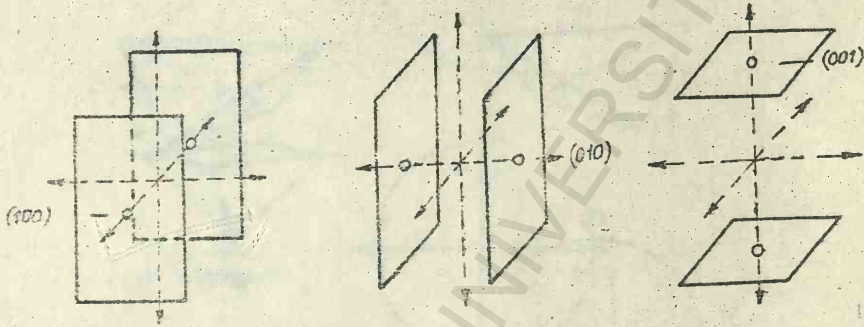


Fig. 247 a.

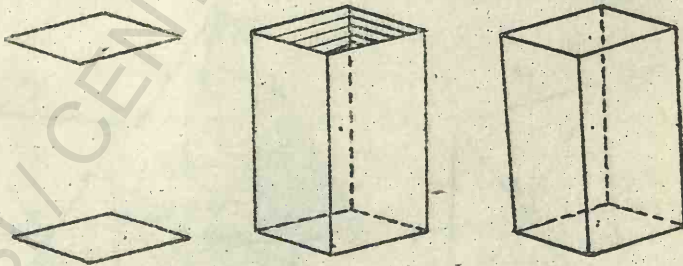


Fig. 247 b.

**FORME SIMPLE
DIN SISTEMUL
ROMBIG**

**CLASA
AXIALĂ**

III

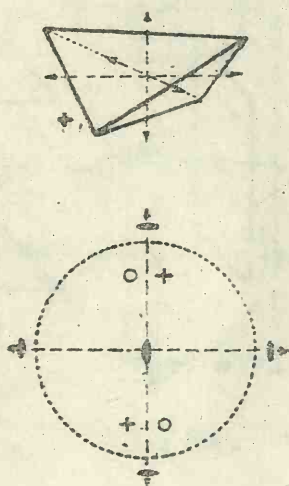


Fig. 222a

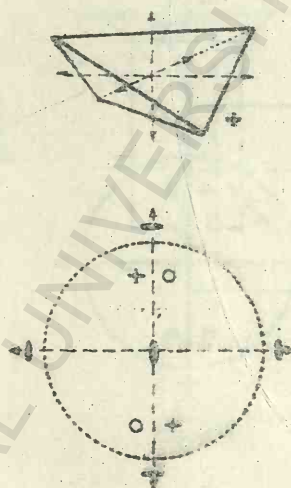


Fig. 222b

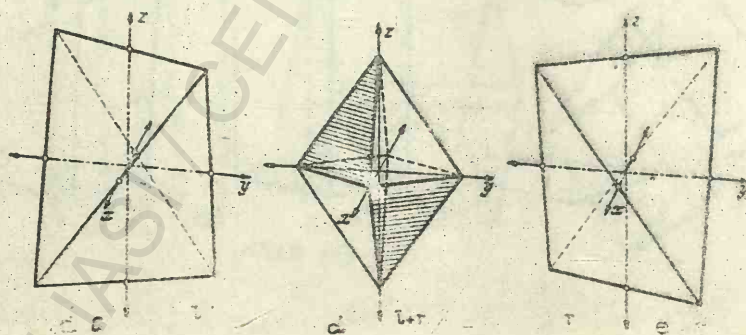


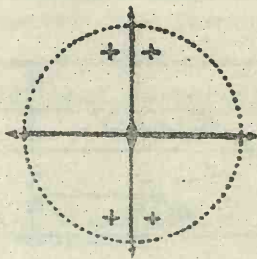
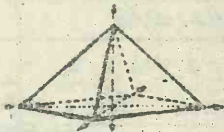
Fig. 222

**FORME SIMPLE
DIN SISTEMUL ROMBIC**

IV

**CLASA
PLANALĂ**

a. superioară



b. inferioară

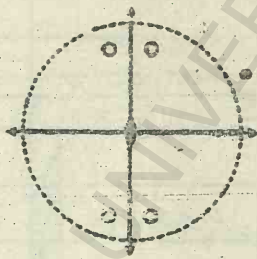
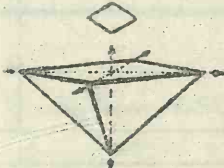
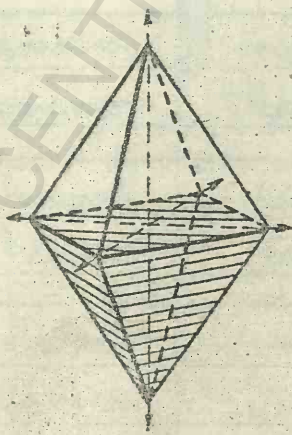


Fig. 221₁



HEMIMORFII

Fig. 221₂

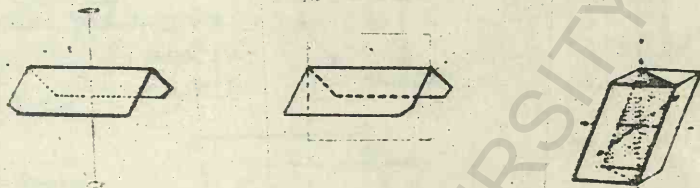
Formele simple din sistemul rombic

Clasele de simetrie			Planală	Axială	Planaxială
Pozitia și simbolul			$L^2 - -$ $- p' p''$	$L^2 L'^2 L''^2$ $- - -$	$L^2 L'^2 L''^2$ $p_2 p'_2 p''_2 C$ (π)
1	(001)	(001)			
			Monodru	Pinacoid	Pinacoid
	(010)	(010)			
			Pinacoid	Pinacoid	Pinacoid
3	(100)	(100)			
			Pinacoid	Pinacoid	Pinacoid
4	(101)	(101)			
			Diedru	Prisma	Prisma
			planal	rombică	rombică
5	(011)	(011)			
			Diedru	Prisma	Prisma
			planal	rombică	rombică
6	(110)	(110)			
			Prisma	Prisma	Prisma
			rombică	rombică	rombică
7	(111)	(111)			
			Piramida	Tetraedrul	Bipiramida
			rombică	rombică	rombică

1. 6. SISTEMUL MONOCLINIC

Sistemul monoclinic sau clinorombic cuprinde, ca și sistemul ortorombic, tot trei clase de simetrie: planală, axială și planaxială, dar acestea sînt formate pe baza axei primitive L^1 .

Formele simple din sistemul monoclinic sînt forme deschise:



a. Clasa planaxială.

Clasa planaxială a sistemului monoclinic are formula de simetrie $\frac{L^1}{2} C$

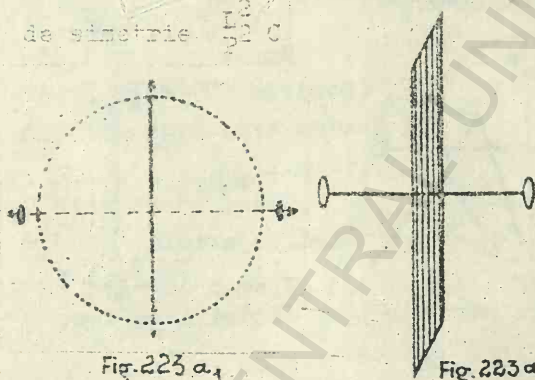


Fig. 223 a₁

Fig. 223 a₂

Forma generală, din poziția (7), este o prismă cu secțiunea rombică, dar înclinată în direcția planului de simetrie -prisma monoclinică sau clinorombică (fig. 223).

Nu mai există nici o clasă de simetrie care să aibă forma generală o prismă și de aceea, clasa se numește simplă: clasă prismatică.

În celelalte poziții corespund de asemenea numai forme deschise: pinacoizi și prisme monoclinice.

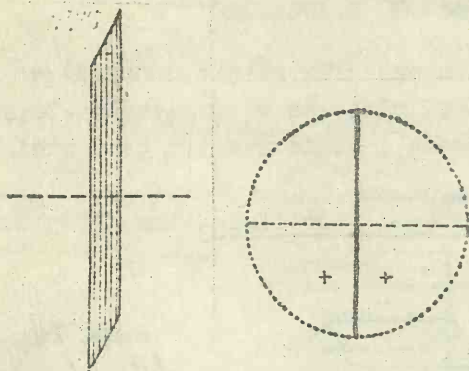
b. Clasa planală.

Clasa planală nu are decît un singur element de simetrie, un plan de simetrie: \bar{p} .

Pentru poziția generală, (7) corespunde o formă cu două fețe diedrice, prin intersecția cărora trece planul de simetrie, deci diedrul planal $h k l$ sau lll .

Clasa se numește diedric planală.

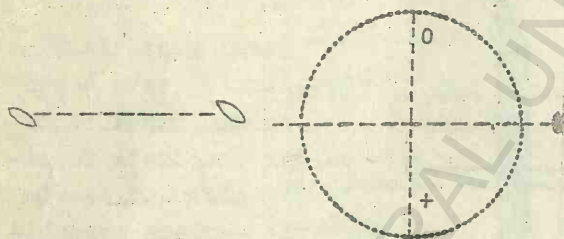
Acest diedru fiind hemiedria prismei monoclinice $\{110\}$, vor rezulta două forme corelate: diedrul planal pozitiv, $\frac{1}{2}\{110\}$ și diedrul planal negativ, $\frac{1}{2}\{\bar{1}\bar{1}0\}$, (fig.224).



Pentru celelalte poziții corespund de asemenea nomenclaturii monocedri, pinacoizi și diedri planali, deci forme deschise deja întâlnite, unele în clasele anterioare din singoniile inferioare, altele și în singoniile din categoria mijlocie.

c. Clasa axială.

Și clasa axială a sistemului monoclinic are tot un singur element de simetrie: axa L^2 .



Forma generală, din poziția (7) este un diedru axial sau sfenoid (fig.225).

Clasa se numește diedric axială.

- În celelalte poziții vor rezulta monocedri, pinacoizi și diedri axiali, cu indicii corespunzători.

FORME SIMPLE DIN SISTEMUL MONOCLINIC



Fig. 224c

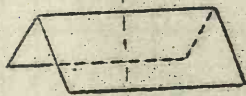


Fig. 224 a, b.



Fig. 224 b2

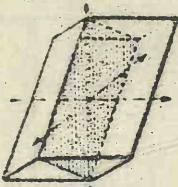


Fig. 224c2

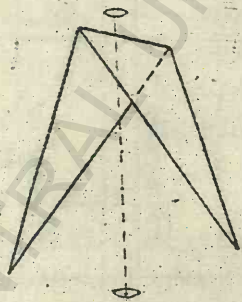
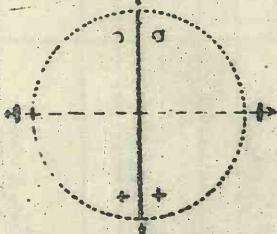


Fig. 225a

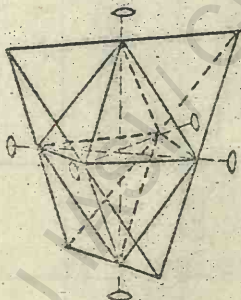
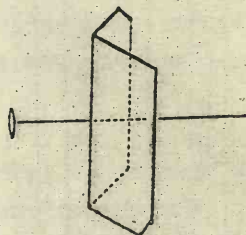


Fig. 225c

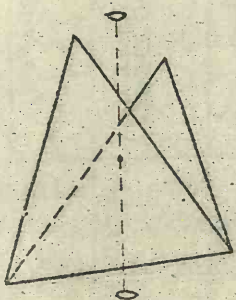


Fig. 225d, e

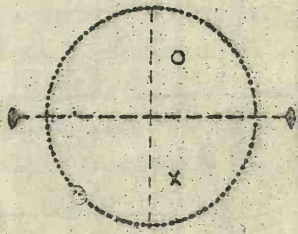


Fig. 225b.

Formele simple din sistemul triclinic și monoclinic

Clasele de simetrie poziția și simbolul		Sistemul triclinic		Sistemul monoclinic		
		Primitivă $L' (-)$	Centrică C	Planala P	Axială L^2	Planaxială $L^2 C$
1	(001)	Monocedru	Pinacoid	Monocedru	Pinacoid	Pinacoid
2	(010)	Monocedru	Pinacoid	Pinacoid	Monocedru	Pinacoid
3	(100)	Monocedru	Pinacoid	Monocedru	Pinacoid	Pinacoid
4	(h0l)	Monocedru	Pinacoid	Monocedru	Pinacoid	Pinacoid
5	(0kl)	Monocedru	Pinacoid	Diedru	Diedru	Prisma clinorombică
6	(hkl)	Monocedru	Pinacoid	Diedru	Diedru	Prisma clinorombică
7	(hkl)	Monocedru	Pinacoid	Diedru	Diedru	Prisma clinorombică

1. 7. SISTEMUL TRICLINIC

Sistemul triclinic are numai două clase de simetrie: clasa centrică și clasa primitivă, adică primele două clase care rezultă pe baza axei primitive L^1 .

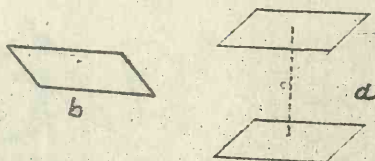


Fig. 226. FORMELE SIMPLE

Din cauza simetriei foarte reduse, în acest sistem nu rezultă, de alt fel, decât cele mai simple două forme: monoedri și pinacoizi, cu diferite poziții.

a. Clasa centrică.

În clasa centrică singurul element de simetrie este centrul de inversiune C .

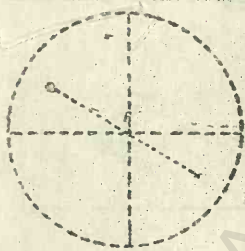


Fig. 226 a

În poziția generală (7) rezultă un pinacoid, $\{h k l\}$ și de aceea clasa se numește clasă pinacoidală (fig. 226 a).

În toate celelalte poziții fețele se repetă o singură dată formînd de asemenea pinacoizi.

b. Clasa asimetrică.

În clasa primitivă nu există nici un element de simetrie, axa L^1 care este axă primitivă nu duce la nici o repetare a feței generatoare.



Fig. 226 b

Pentru acest motiv clasa se mai numește și clasă asimetrică.

Forma generală, din poziția (7) este un monoedru sau pedion $\{h k l\}$ (fig. 226 b). Clasa se numește clasă monoedrică.

- Pentru toate celelalte poziții corespund de asemenea numai monoedri, care sînt notați corespunzător.

Notă. În tabelul cu 47 forme simple se consideră un singur diedru și o singură prismă rombică (orto și clinorombică).

FORME SIMPLE DIN SISTEMUL TRICLINIC

St. CLASA CENTRICĂ

Dr. CLASA PRIMITIVĂ

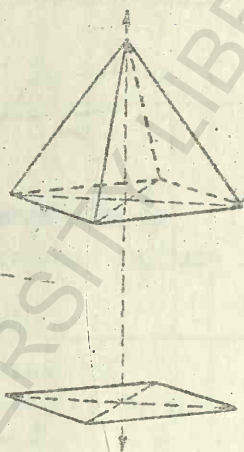
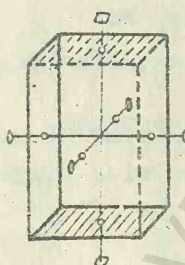
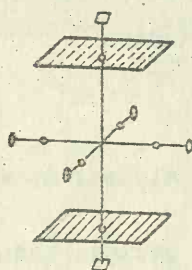


Fig. 226 b₁

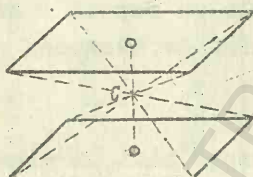
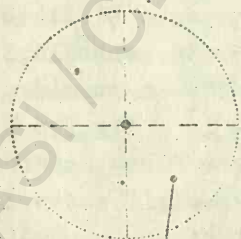


Fig. 226 a₁

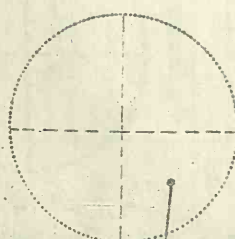


Fig. 226 b₂



(hkl)

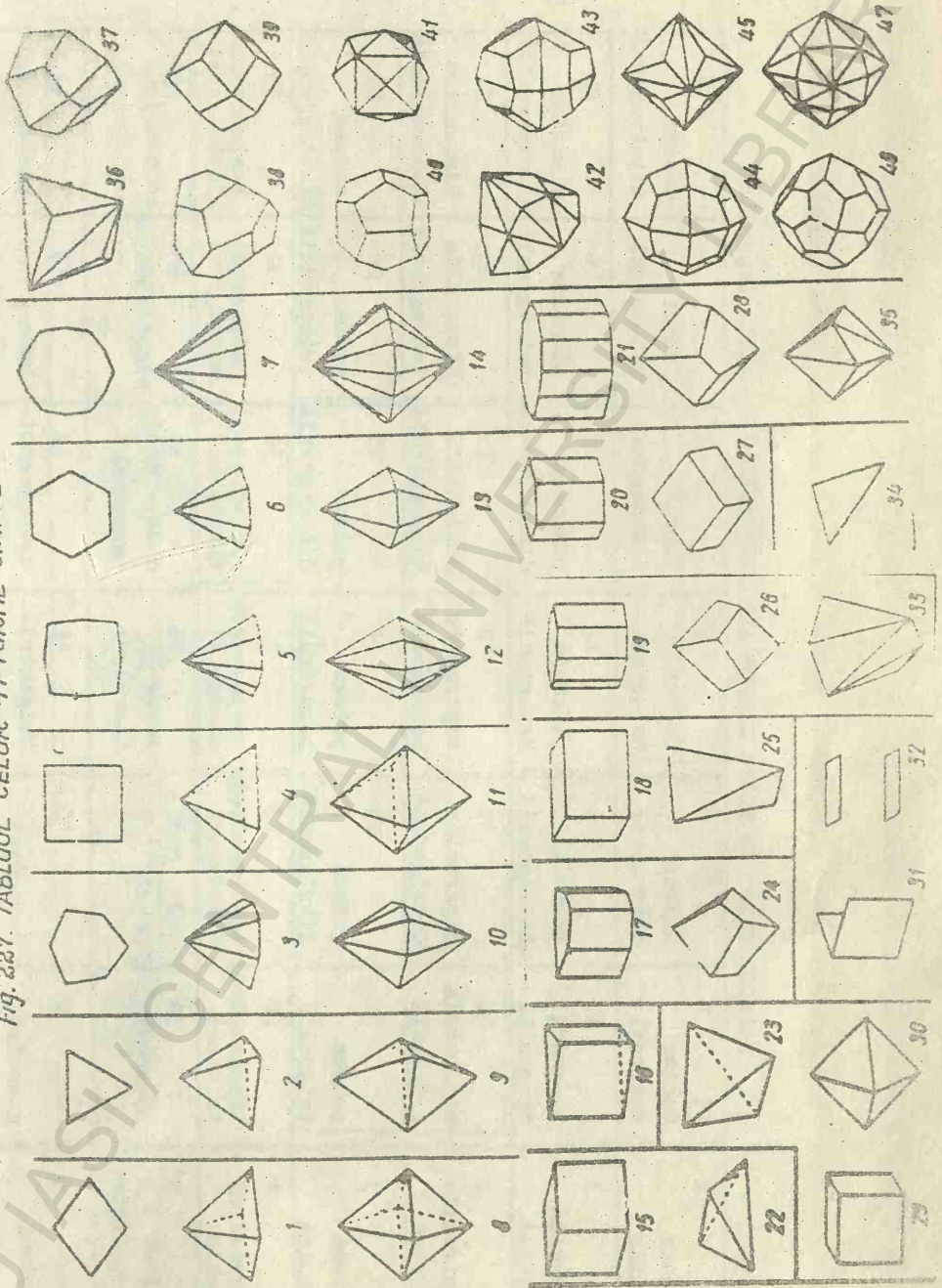
Fig. 226 a₂



(hkl)

Fig. 226 b₃

Fig. 227. TABLOUL CELOR 47 FORME SIMPLE



TABLOUL CELOR 49 FORME SIMPLĂ ALE CRISTALELOR - lista figurilor -

I	A	II	B	C	D	E	F	G
	Contur rombic	Contur trigonal	Contur trigonală	Contur ditrigonal	Contur hexagonal	Contur dihexagonal	Contur tetragonal	Contur ditetragonal
1	piramida rombică	10	piramida trigonală	11	piramida hexagonală	13	piramida tetragonală	15
2	bipiramida rombică	16	bipiramida trigonală	17	bipiramida hexagonală	19	bipiramida tetragonală	21
3	prisma rombică	22	prisma trigonală	23	prisma hexagonală	25	prisma tetragonală	27
4	tetraedrul rombic	28	trapezoedrul trigonal	29	trapezoedrul hexagonal	31	tetraedrul tetragonal	33
5	prisma monoclinică	34	romboedrul	35	tetra- hexaedrul	37	didodecaedrul	39
6	diedrul planal	9	monoedrul	40	trigontri- octaedrul	42	hexa- octaedrul	44
7	diedrul axial	8	prisma trigonală	45	trigontri- tetraedrul	47	hexa- tetraedrul	49

TABLOUL CELOR 49 FORME SIMPLE ALE CRISTALELOR

I	A	B	C	D	E	F
pir. rombica 1	pir. trigonal 2	pir. ditrigonal 3	hexag. 4	p. dihexag. 5	p. tetrag. 6	p. ditetrag. 7
bi-pir. rombica 8	bi-pir. trig. 9	bi-pir. 10	11	12	13	14
prismă rombica 15	prismă trig. 16	p. ditrig. 17	p. hexag. 18	p. dihexag. 19	p. tetrag. 20	p. ditetrag. 21
tetraedru rombica 22	tetraedru trigonal 23	scatru hexagonal 24	tetraedru hexag. 25	trapez. tetrag. 26	tetraedru tetragonal 27	scatru hexagonal ditetrag. 28
prismă trigonal 29	romboedru 30	31	32	33	34	35
diedru planal 36	37	38	39	40	41	42
diedru axial 39	40	41	42	43	44	45
pinacoid 46	47	48	49	50	51	52

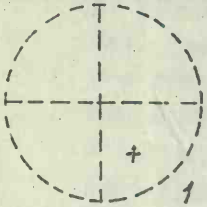
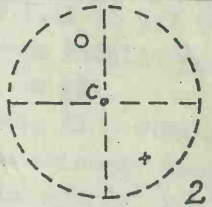
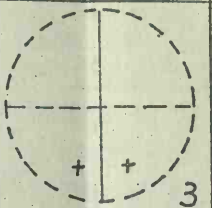
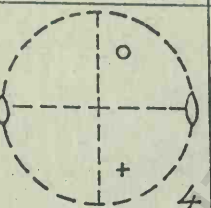
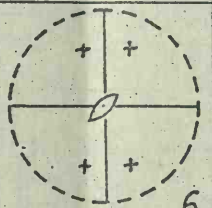
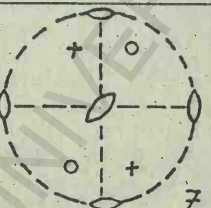
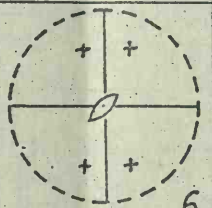
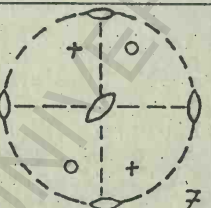
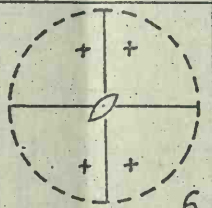
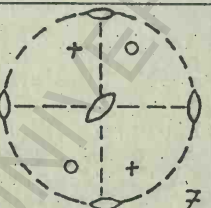
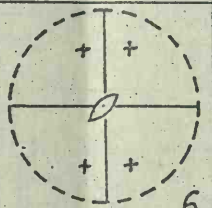
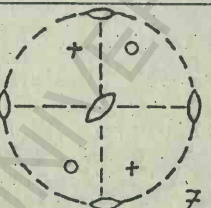
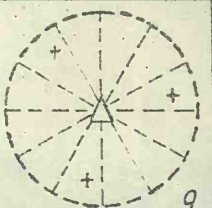
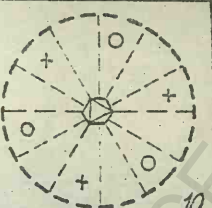


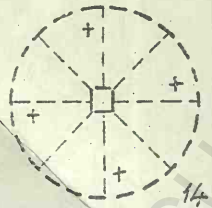
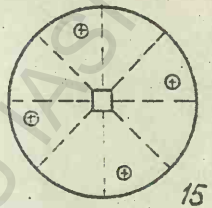
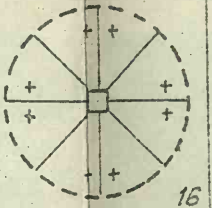
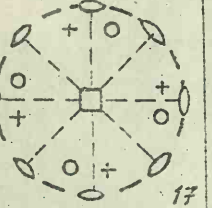
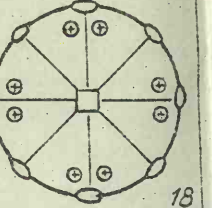
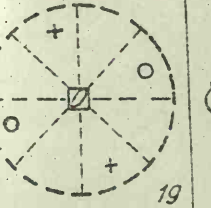
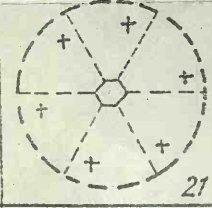
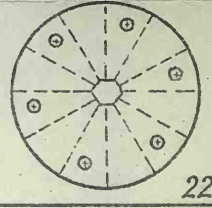
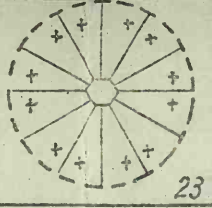
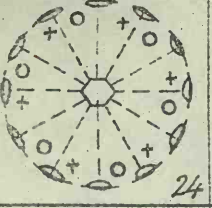
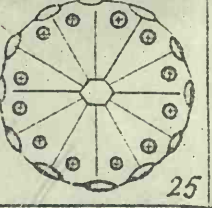
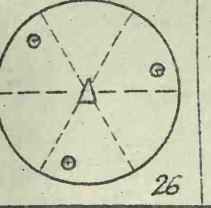
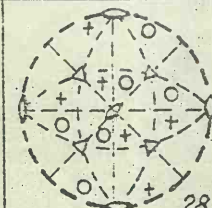
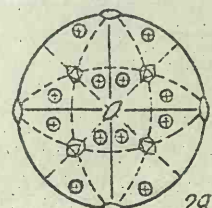
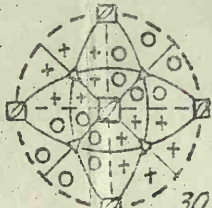
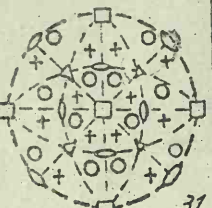
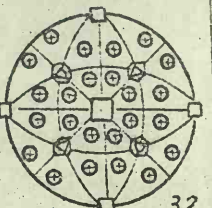
ARANJAMENT : TRAIAN IORCEANU, CRISTALOGRAFIE Ed. 1973

CENTRUL DE MULTIPLICARE AL UNIVERSITĂȚII "AL.I. CUZA" IAI

Tabelul 2

CLASELE DE SIMETRIE

PROIECTIA STEREOGRAFICA A ELEMEN-
TELOR DE SIMETRIE SI FORMELOR GENERALE

CLASA		PRIMITIVA	CENTRICA	PLANALA	AXIALA	PLAN- -AXIALA	GIROIDO- -PRIMITIVA	GIROIDO- -PLANALA
CATEG.	SISTEMUL							
INFERIOARA	L ¹	TRICLINIC	L^1 C_1 1	C C_i $\bar{1}$				
								
		MONOCLINIC			P C_2 2	L^2 C_2h 2/m		
								
		ROMBIC			L^2 2P C_{2v} mm	$L^2 \pi C$ D_2 222		
								
	L ²	TRICLINIC			L^2 2P C_{2v} mm	$L^2 \pi C$ D_2 222		
								
		MONOCLINIC			L^2 2P C_{2v} mm	$L^2 \pi C$ D_2 222		
								
		ROMBIC			L^2 2P C_{2v} mm	$L^2 \pi C$ D_2 222		
								
MIDIE	L ³	TRIGONA	L^3 C_3 3	$L^3 C$ $C_3i = S_6$ $\bar{3}$	L^3 3P C_{3v} 3m	L^3 3L ² D_3 32		
								
		TETRAGONAL	L^4 C_4 4	$L^4 \pi C$ C_4h 4/m	L^4 4P C_{4v} 4mm	L^4 4L ² D_4 422	L^4 4L ² π 4P ² C D_{4h} 4/m mm	L^4i S_4 $\bar{4}$
								
		HEXAGONAL	L^6 C_6 6	$L^6 \pi C$ C_6h 6/m	L^6 6P C_{6v} 6mm	L^6 6L ² D_6 622	L^6 6L ² π 6P ² C D_{6h} 6/m mm	$L^3i = L^3 \pi$ C_3h $\bar{6}$
								
SUPERIOARA	3L ² 4L ³	CUBIC	$3L^2$ 4L ³ T 23	$3L^2$ 4L ³ $3\pi C$ T_h m3	$3L^2$ 4L ³ 6P T_d $\bar{4}3m$	$3L^2$ 4L ³ 6L ² O 432	$3L^2$ 4L ³ 6L ² 3π 6P ² C O_h m3m	
								

2. FORME COMPUSE DE CRISTALE

Studiind simetria poliedrelor cristaline, ne-am referit în primul rând la formele simple de cristale.

Am considerat forme simple, formele rezultate prin repetarea unei fețe generatoare din toate pozițiile posibile, în raport cu axele cristalografice, pe baza elementelor de simetrie ale celor 32 de clase.

Am văzut că unele forme simple sînt identice ca aspect, dar se deosebesc prin simetria lor. Considerîndu-se acestea ca variante ale unei singure forme, cum a fost cazul formelor de specia I, II și III din categoria mijlocie de singonii, deci într-un înțeles mai restrîns, numărul formelor simple s-a redus la 49.

Din acestea, 19 - care sînt forme deschise - nu pot fi întîlnite la cristale decît în asociere, ca forme compuse, care închid spațiul din toate părțile, așa cum se întîmplă în cazul paralelepipedurilor formați din asocierea prismelor cu pinacoizi etc. (fig. 228).

Formele deschise nu se asociază însă numai între ele; se întîlnesc la cristale, de multe ori, forme compuse rezultate prin asocierea formelor simple deschise cu forme simple închise, cum este cazul unor cristale de cuarț, care îmbracă forma unei bipiramide hexagonale, cu muchiile laterale tăiate de o prismă hexagonală (fig. 229).

Deasemenea se întîlnesc forme compuse din mai multe forme simple închise, cum sînt de ex. formele rezultate din asocierea cubului cu octaedrul, din asocierea cubului cu dodecaedrul romboidal etc. (fig. 230).

Formele compuse sînt rezultatul repetării mai multor fețe generatoare, cu poziții diferite, simultan, în raport cu aceleași axe cristalografice și pe baza aceleași formule de simetrie.

Ele au uneori înfățișarea foarte complicată din cauză că forma fețelor de forme simple care le compun diferă foarte mult de cea a formelor simple izolate.

Astfel, în exemplele de mai sus, fețele de octaedru, în mod normal triunghiuri echilaterale, capătă un contur hexagonal, iar fețele bipiramidei tetragonale, normal, triunghiuri isoscele, capătă forma de trapez.

Cu cât numărul formelor simple combinate este mai mare, cu atât formele compuse au o înfățișare mai complicată, ex. (fig. 231).

Identificarea formelor simple componente se face în aceste cazuri determinând mai întâi formula de simetrie a cristalului și alegând axele cristalografice, după care, se stabilește notația fiecărei fețe. Trecute în proiecția stereografică, apar clar toate formele simple componente și pozițiile lor relative.

2.1. Habitus

În cazul exemplurilor considerate, am văzut că prin asocierea aceluiași forme simple (cub cu octaedru, pinacoid bazal, prisma și bipiramida tetragonală) au rezultat forme compuse cu aspect diferit, după cum s-au dezvoltat mai mult fețele unei forme simple sau ale alteia.

Se spune că aceste forme au un habitus deosebit. În cazul în care fețele de cub sînt mult mai dezvoltate decît cele de octaedru (fig. 230 a,b), aspectul general al formei este cel cubic și forma are un habitus cubic. În cazul cînd fețele de octaedru sînt mai dezvoltate, (fig. 230 c,d), aspectul general al formei este octaedric; forma are habitus octaedric.

2.2. Traht.

În cazul cînd două forme compuse au același habitus, de ex. habitus cubic, dar formele simple componente

sînt diferite la una și la cealaltă, ca în exemplele de mai sus, cub cu octaedru și cub cu dodecaedru romboidal, se spune că formele au trahit diferit. Prima, trahit $\{100\}$, $\{111\}$, a doua, trahit $\{100\}$, $\{110\}$. Trahtul este dat de totalitatea formelor simple componente, habitusul, de forma predominantă în dezvoltare. În fig.24 sînt exemple variate din clasa O_h .

În general vorbind, formele simple se întîlnesc, la cristale, mult mai rar decît cele compuse și bine-nțelese că în sistemele monoclinic și triclinic, în care toate formele simple sînt forme deschise, nici nu pot exista decît cristale de forme compuse.

Fie ca forme simple închise, fie ca forme compuse, în toate cazurile însă, este aici vorba de indivizi cristalinii izolați, cu fețe de același fel sau cu asociații de fețe ale formelor simple diferite, dar nicidecum de asociații de cristale, așa cum vom vedea mai departe.

2.3. EX. DE COMPUNEREA FORMELOR SIMPLE

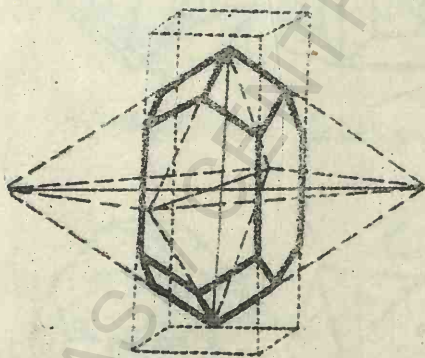


Fig. 229 b

- BIPIRAMIDĂ TETRAGONALĂ DE SP. I, $\{111\}$
- PRISMĂ TETRAGONALĂ DE SPECIA II, $\{100\}$.

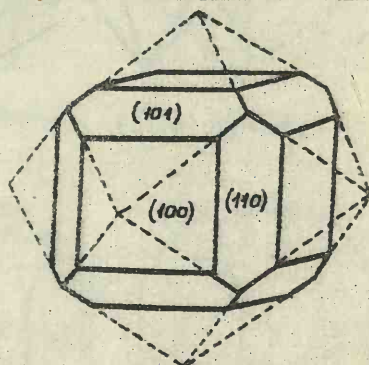


Fig. 230 a

- HEXAEDRU (CUB), $\{100\}$
- DODECAEDRU ROMBOIDAL, $\{110\}$

FORME COMPOSE

I

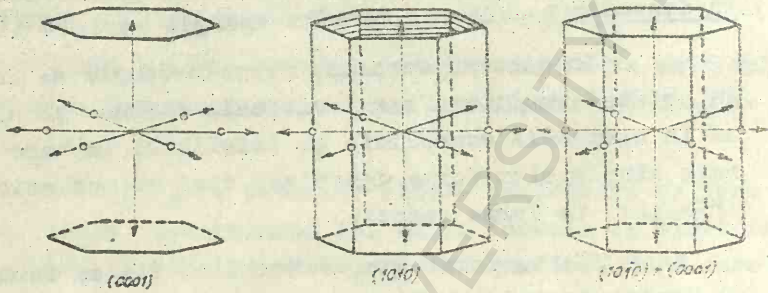


Fig. 228.

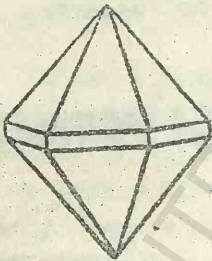


Fig. 229.

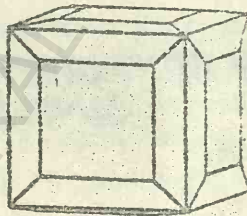


Fig. 230 a.

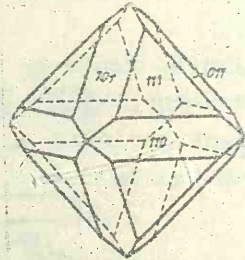


Fig. 230 b.

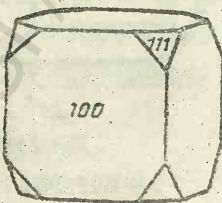


Fig. 230 c.

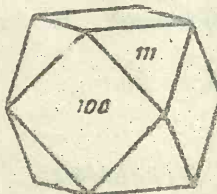


Fig. 230 d.

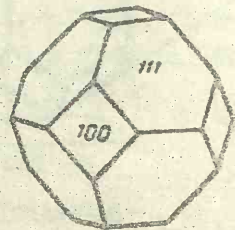


Fig. 230 e.

FORME COMPOSE II

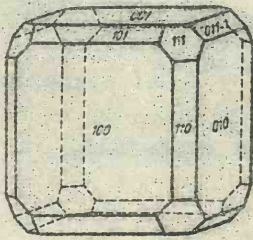


Fig. 230 f

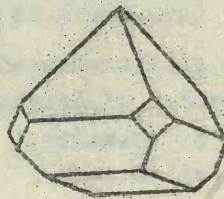


Fig. 230 h

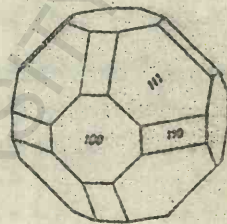


Fig. 230 g

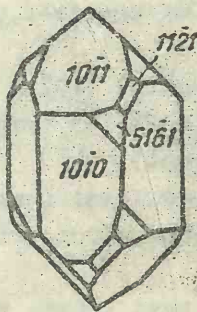


Fig. 230 l1

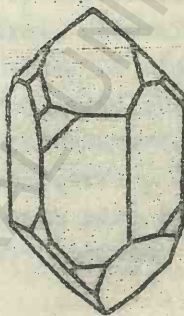


Fig. 230 l2

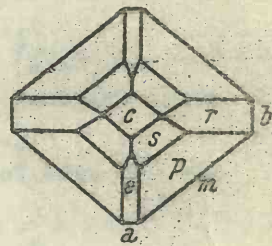


Fig. 230 j

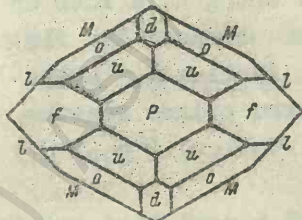


Fig. 230 k1

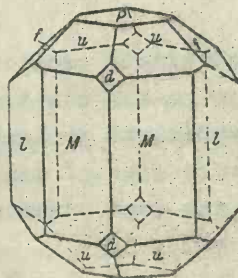


Fig. 230 k2

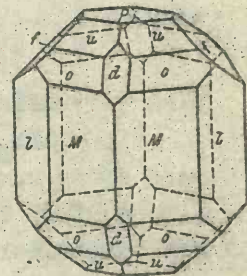


Fig. 230 k3

EXPLICATIA FIGURILOR 228-230

Fig.228: a. pinacoidul $\{0001\}$,
 b. prisma hexagonală $\{10\bar{1}0\}$,
 c. forma compusă din prisma hexagonală $\{10\bar{1}0\}$
 și pinacoidul $\{0001\}$.

Fig.229: Formă compusă din bipiramida hexagonală de
 specia I și prisma hexagonală de specia I.

Fig.230: a. cub și tetrahexaedru,
 b. octaedru și dodecaedru romboidal,
 c. cub și octaedru,
 d. cub și octaedru,
 e. octaedru și cub,
 f. cub, dodecaedru romboidal și octaedru,
 g. octaedru, cub și dodecaedru romboidal,
 h. bipiramida tetragonală de specia I, prisma
 tetragonală de specia II și monocedru,
 i₁. prisma hexagonală, romboedrul $\{10\bar{1}1\}$, rom-
 boedrul $\{01\bar{1}1\}$, bipiramida trigonală $\{11\bar{2}1\}$ și trapezo-
 edrul trigonal $\{51\bar{6}1\}$ (trapezocedru drept),
 i₂. forma este compusă din aceleași forme sim-
 ple, dar este forma enantiomorfă, cu trapezocedru stâng,
 $\{61\bar{5}1\}$,
 j. forma este compusă din trei prisme rombice,
 (m, r și e), din două piramide rombice, (p și s) și
 din trei pinacoizi, (a, b, și c), deci din opt forme
 simple;

k_1 reprezintă proiecția ortogonală într-un
 plan perpendicular pe axa z a formei compuse din fig. k_3

k_3 reprezintă proiecția înclinată a acele-
 eași forme, care este compusă din patru prisme rombice,
 (M, d, f și l), din două piramide rombice, (o și u) și
 din pinacoidul (p) ;

k_2 reprezintă o variantă a aceluiași cristal
 de topaz, dar este compusă din mai puține forme simple.

2.4. FORME COMPUSE ALE UNOR CRISTALE REALE.

(EXEMPLE)

În mai rare cazuri cristalele reale (minerale ș.a.) se găsesc în forme simple; de cele mai multe ori ele au forme compuse din două și de obicei, din mai multe forme simple.

Trahtul cristalului, în ansamblu, scoate în evidență simetria lui.

În cele ce urmează vom prezenta exemple de asemenea cristale pentru fiecare din cele 32 clase de simetrie.

A. CATEGORIA INFERIOARA DE SINGONII.

I. Sistemul triclinic.

1. Clasa primitivă, monoedrică. $L^1 (-)$.

Feroberasulfocianura de rubidiu, $Rb_4Fe(SCN)_6 \cdot 2H_2O$ (Fig. 231.1). - Relația axială: $a:b:c = 1,9855:1:1,0760$;
 $\alpha = 90^\circ 55'$, $\beta = 109^\circ 35'$, $\gamma = 87^\circ 11'$
 - Forme simple: monoedri, $a = \{100\}$, $m = \{110\}$,
 $n = \{001\}$, $r = \{101\}$ și $k = \{011\}$.

2. Clasa centrică, pinacoidală. C.

Albit, $NaSi_3Al_2O_8$, fig. 231.2.

- Relația axială: $a:b:c = 0,6335:1:0,5577$;
 $\alpha = 94^\circ 05'$, $\beta = 116^\circ 29'$, $\gamma = 86^\circ 09'$.
 - Forme simple: pinacoizi, $b = \{010\}$, $c = \{001\}$,
 $m = \{110\}$, $n = \{1\bar{1}0\}$, $o = \{111\}$ și $p = \{1\bar{1}\bar{1}\}$.

II. Sistemul monoclinic.

3. Clasa planală, diedric planală. P.

Tetratationatul de potasiu, $K_2S_4O_6$, fig. 231.3.

- Relația axială: $a:b:c = 0,9302:1:1,2665$;
 $\beta = 104^\circ 16'$.
 - Forme simple: monoedri, $a = \{100\}$, $c = \{001\}$,
 diedri, $m = \{110\}$, $n = \{011\}$, $v = \{11\bar{1}\}$ și $o = \{11\bar{1}\}$ ș.a.

4. Clasa axială, diedric axială. L^2 .

Acidul dextro și levo tartric, $C_4H_6O_6$ (fig. 231₄).

- Relația axială: $a:b:c = 1,2747 : 1 : 1,0266$; $\beta = 100^\circ 17'$
- Forme simple: Pinacoizi: $a = \{100\}$, $c = \{001\}$, $r = \{101\}$, $s = \{10\bar{1}\}$; diedri axiali: $m = \{110/\bar{1}\bar{1}0\}$, $n = \{1\bar{1}0/110\}$, $q = \{011/0\bar{1}1\}$.

5. Clasa planaxială, prismatică. $L^2 P^2$ a.

Realgarul, AsS (fig. 231₅).

- Relația axială: $a:b:c = 1,4403:1:0,9729$; $\beta = 113^\circ 55'$.
- Forme simple: Pinacoizi: $r = \{010\}$, $c = \{001\}$; prisme monoclinice: $m = \{110\}$, $l = \{210\}$, $n = \{011\}$, $s = \{111\}$.

III. Sistemul rombic.

6. Clasa planală, rombopiramidală. $L^2 2P$.

Calamina, $Zn_4 Si_2 O_7 (OH)_2 \cdot H_2 O$ (fig. 231₆).

- Relația axială: $a:b:c = 0,7835 : 1 : 0,4778$; $\alpha = \beta = \gamma = 90^\circ$
- Forme simple: Monocedru, $c = \{001\}$; pinacoizi: $a = \{100\}$ și $b = \{010\}$; prisma rombică $m = \{110\}$; diedri: $s = \{301\}$, $r = \{101\}$, $t = \{031\}$ și $l = \{011\}$; piramida rombică $q = \{12\bar{1}\}$.

7. Clasa axială, rombotetraedrică $L^2 2L^2$.

Tartratul de stibit și potasiu, $C_4H_4O_6 (SbO)K \cdot H_2 O$.

(fig. 231₇).

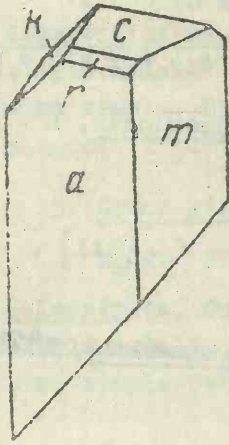
- Relația axială: $a : b : c = 0,9578 : 1 : 1,1048$.
- Forme simple: Pinacoidul $c = \{001\}$, prisma rombică $m = \{110\}$, tetraedrii rombici: $o = \{111\}$ și $\omega = \{1\bar{1}1\}$.

8. Clasa planaxială, rombobipiramidală, $L^2 2L^2 2P^2$ c

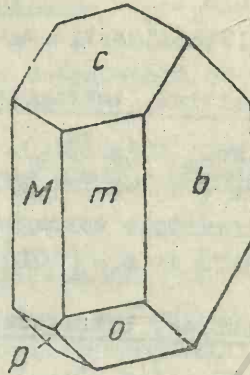
Clorura de plumb, $Pb Cl_2$ (fig. 231₈).

- Relația axială: $a : b : c = 0,5943 : 1 : 1,1898$.
- Forme simple: Pinacoidul $b = \{010\}$, prismele rombice: $k = \{012\}$ și $d = \{021\}$; bipiramidele rombice: $p = \{111\}$ și $q = \{112\}$.

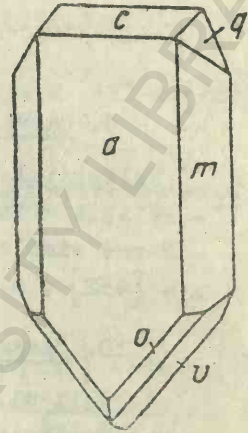
**SISTEME TRICLINIC 1-2; MONOCLINIC 3-5 și
ROMBIC 6-8.**



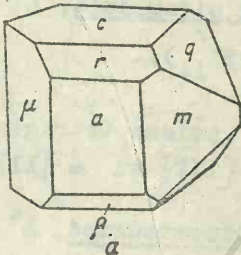
1



2



3



4

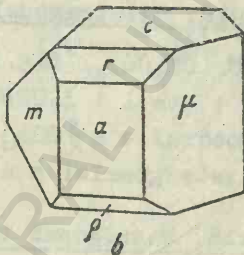
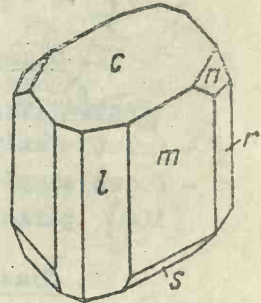
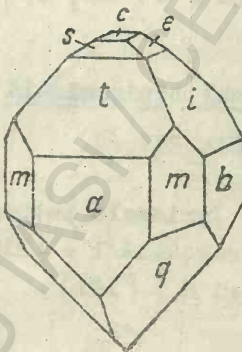


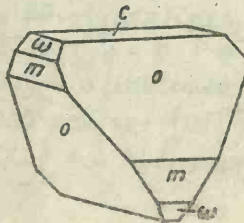
Fig. 231/n



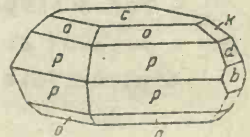
5



6



7



8

B. CATEGORIA MIJLOCIE DE SINGONII.

IV. Sistemul tetragonal.

9. Clasa primitivă, tetragonal piramidală, L^4 .

Wulfenitul, $Pb MoO_4$ (fig.231₉).

- Relația axială: $a : c = 1 : 1,5777$.
- Forme simple: Piramidele tetragonale: $o = \{111\}$, $= \{11\bar{1}\}$
 $x = \{432\}$, $s = \{31\bar{1}\}$ și $e = \{10\bar{1}\}$.

10. Clasa centrică, tetragonalbipiramidală, $L^4\pi C$.

Scheelitul, $Ca WO_4$ (fig.231₁₀).

- Relația axială: $a : c = 1 : 1,5268$.
- Forme simple: Bipiramidele tetragonale: $p = \{101\}$, $y = \{31\bar{3}\}$, $o = \{111\}$ și $s = \{131\}$.

11. Clasa planală, ditetragonal piramidală, $L^4 4P$.

Pentaeritritul, $C (CH_2OH)_4$ (fig.231₁₁).

- Relația axială: $a : c = 1 : 1,0236$.
- Forme simple: Monoedrul $c = \{001\}$, prisma tetragonală $a = \{100\}$, piramidele tetragonale: $o = \{111\}$ și $= \{11\bar{1}\}$.

12. Clasa axială, tetragonal trapezoidală, $L^4 4L^2$.

Tricloracetatul de potasiu, $C Cl_3(CO_2K) \cdot C Cl_3(CO_2H)$

- Relația axială: $a : c = 1 : 0,7808$.
- Forme simple: bipiramida tetragonală $o = \{111\}$ și trapezoidalul tetragonal $x = \{311\}$.

13. Clasa planaxială, ditetragonal bipiramidală $L^4 4L^2$ $\pi 4P^2$

Vezuvianul, $Ca_3Al_2 (SiO_4)_2 \cdot OH_4$ (fig.231₁₃).

- Relația axială: $a : c = 1 : 0,5372$.
- Forme simple: Pinacoidul $c = \{001\}$, prismele tetragonale: $a = \{100\}$ și $m = \{110\}$, prisma ditetragonală $l = \{210\}$ și bipiramidele tetragonale: $o = \{111\}$ și $d = \{101\}$.

14. Clasa giroido-primitivă, tetragonal tetraedrică, L_4^2 .

Alumosilicatul de calciu, $Ca_2Al_2SiO_7$. (fig.231₁₄).

- Relația axială: $a : c = 1 : 0,6955$.
- Forme simple: Prisma tetragonală de specia a III-a, $\{210\}$ și pinacoidul $\{001\}$.

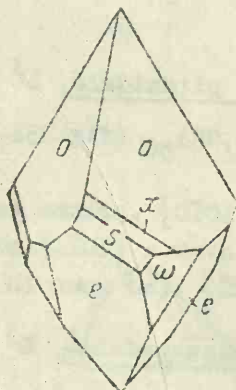
15. Clasa giroido-planală, ditetragonal scalenoedrică,

$L_4^2 2L^2 2P$

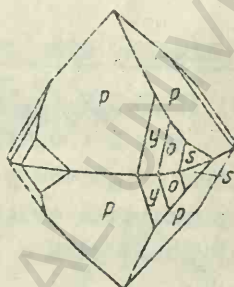
Calcopirita, $CuFeS_2$ (fig.231₁₅).

- Relația axială: $a : c = 1 : 0,9856$.
- Forme simple: Tetraedrii tetragonali: $\sigma = \{111\}$ și $\omega = \{1\bar{1}1\}$.

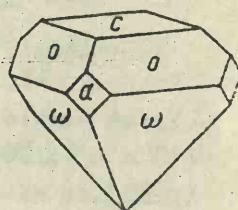
Fig.231/n
-continuare-



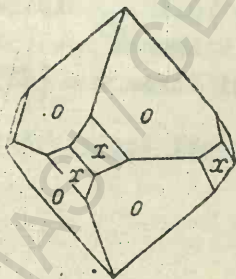
9



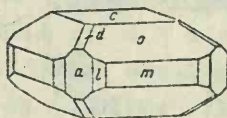
10



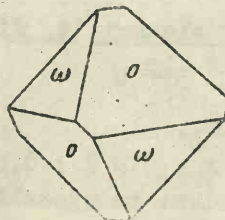
11



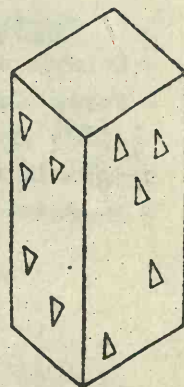
12



13



15



14

V. Sistemul trigonal.

16. Clasa primitivă, trigonal piramidală, L^3 .

Periodatul de natriu, $\text{Na}_2\text{I}_2\text{O}_8 \cdot 6\text{H}_2\text{O}$ (fig.231₁₆).

- Relația axială: $a : c = 1 : 1,094$.
- Forme simple: Monoedrul $\{0001\}$ și piramidele trigonale: $r = \{10\bar{1}0\}$, $e = \{02\bar{2}1\}$ și $s = \{21\bar{3}1\}$.

17. Clasa centrică, romboedrică, $L^3_6 C$.

Fenacitul, Be_2SiO_4 (fig.231₁₇).

- Relația axială: $a : c = 1 : 0,6611$.
- Forme simple: Prismele hexagonale: $m = \{10\bar{1}0\}$ și $a = \{11\bar{2}0\}$, romboedrii: $x = \{1\bar{3}41\}$, $r = \{10\bar{1}1\}$, $s = \{21\bar{3}1\}$ și $d = \{01\bar{1}2\}$.

18. Clasa planală, ditrigonal piramidală, $L^3 3P$.

Turmalina, $(\text{Na}, \text{Ca})(\text{MgFe})_6\text{B}_3\text{Al}_3\text{Si}_6(\text{O}, \text{OH})_{30}$ (fig.231₁₈).

- Relația axială: $a : c = 1 : 0,4476$.
- Forme simple: Prisma trigonală $p = \{10\bar{1}0\}$, prisma hexagonală $m = \{11\bar{2}0\}$ și piramidele trigonale: $r = \{10\bar{1}1\}$ și $e = \{02\bar{2}1\}$; de asemenea: $\{10\bar{1}\bar{1}\}$ și $k = \{01\bar{1}2\}$, (nu apar în desen).

19. Clasa axială, trigonal trapezoedrică, $L^3 3L^2$.

Cuarțul - drept și stîng - SiO_2 (fig.231₁₉).

- Relația axială: $a : c = 1 : 1,1000$.
- Forme simple: - la forma dreaptă, prisma hexagonală $m = \{10\bar{1}0\}$, romboedrii: $r = \{10\bar{1}1\}$ și $z = \{01\bar{1}1\}$, bipiramida trigonală $s = \{11\bar{2}1\}$ și trapezoedrul trigonal $x = \{51\bar{6}1\}$;
- la forma stîngă: forma $s = \{21\bar{1}1\}$ și forma $x = \{61\bar{5}1\}$.

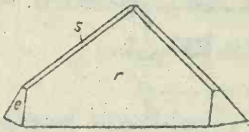
20. Clasa planaxială, ditrigonal scalenoedrică,

$L^3_6 3L^2 3P^2 C$

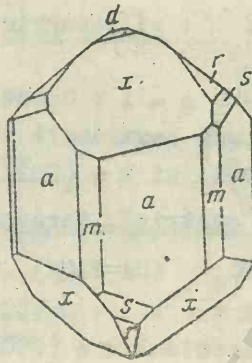
Calcita, CaCO_3 .

- Relația axială: $a : c = 1 : 0,8543$.
- Forme simple: Prisma hexagonală $a = \{11\bar{2}0\}$ și scalenoedrul ditrigonal $s = \{21\bar{3}1\}$.

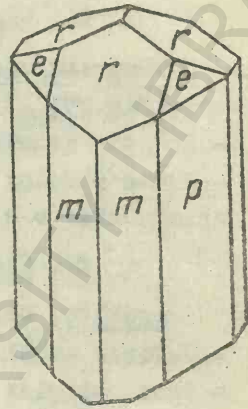
SISTEMUL TRIGONAL



16

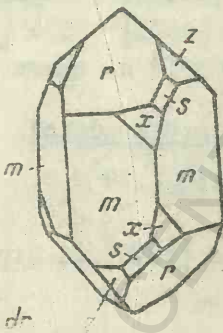


17

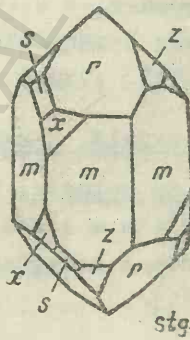


18

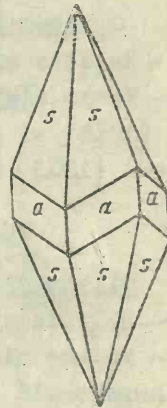
Fig. 231n
- continuare -



19



stg.



20

VI. Sistemul hexagonal.

21. Clasa primitivă, hexagonal piramidală, L^6 .

Tartratul de stibit și stronțiu, $Sr (C_4H_4O_6)_2 (SbO_2)$.
(fig.231₂₁).

- Relația axială: $a : c = 1 : 0,8442$.
- Forme simple: Prisma hexagonală $m = \{10\bar{1}0\}$ și piramidele hexagonale: $o = \{10\bar{1}1\}$ și $k = \{20\bar{2}1\}$.

22. Clasa centrică, hexagonal bipiramidală, $L^6\bar{3}C$.

Apatita, $Ca_5 (PO_4)_3 (Cl, F, OH)$. (fig.231₂₂).

- Relația axială: $a : c = 1 : 0,7356$.
- Forme simple: Pinacoidul $c = \{0001\}$; prisme hexagonale: $m = \{10\bar{1}0\}$ și $a = \{11\bar{2}0\}$; bipiramidele hexagonale: $o = \{10\bar{1}1\}$, $s = \{11\bar{2}1\}$, $x = \{3\bar{2}11\}$ și $t = \{20\bar{2}1\}$.

23. Clasa planală, dihexagonal piramidală, $L^6 6P$.

Grenochitul, $Cd S$ (fig.231₂₃).

- Relația axială: $a : c = 1 : 1,6218$.
- Forme simple: Monoedrul $c = \{0001\}$, prisma hexagonală $m = \{10\bar{1}0\}$ și piramidele hexagonale: $o = \{20\bar{2}1\}$, $i = \{10\bar{1}1\}$, $r = \{10\bar{1}2\}$ și $\omega = \{10\bar{1}1\}$; (monoedrul $\{000\bar{1}\}$ nu apare în desen).

24. Clasa axială, hexagonal trapezoidică, $L^6 6L^2$.

Silicomolibdatul de potasiu, $K_4Mo_{12}Si_{40} \cdot 18 H_2O$.

- Relația axială: $a : c = 1 : 0,6809$.
- Forme simple: Prisma hexagonală $m = \{10\bar{1}0\}$ și bipiramida hexagonală $o = \{10\bar{1}1\}$.

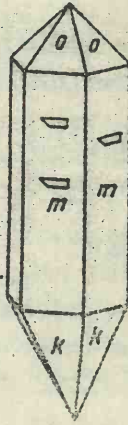
25. Clasa planaxială, dihexagonal bipiramidală,

$L^6\bar{3} 6L^2 6P^2 C$.

Berilul, $Be_3 Al_2 Si_6 O_{18}$ (fig.231₂₅).

- Relația axială: $a : c = 1 : 0,4989$.
- Forme simple: Pinacoidul $c = \{0001\}$, prisma hexagonală $m = \{10\bar{1}0\}$, bipiramidele hexagonale: $o = \{10\bar{1}1\}$, $t = \{20\bar{2}1\}$ și $r = \{11\bar{2}1\}$ și bipiramida dihexagonală $x = \{3\bar{2}11\}$.

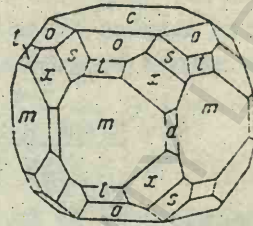
SISTEMUL HEXAGONAL CLASE CU L⁶



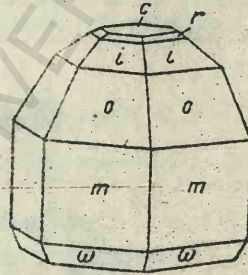
21

Fig. 231n

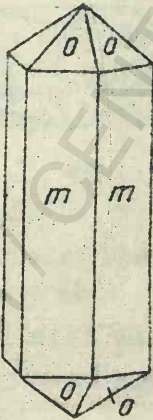
- continuare -



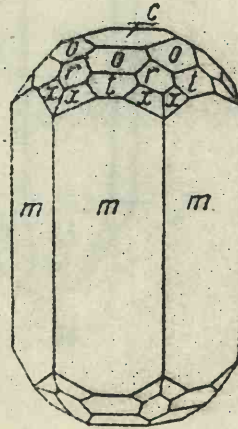
22



23



24



25

26. Clasa giroïdo-primitivă, trigonal bipiramidală.

$$L_{6i}^3 = L^3 \pi.$$

Fosfatul acid de argint, $Ag_2H(PO_4)$, (fig.231₂₆).

- Relația axială: $a : c = 1 : 0,7297$.
- Forme simple: Prismele trigonale: $m = \{10\bar{1}0\}$ și $\mu = \{01\bar{1}0\}$, bipiramidele trigonale: $r = \{10\bar{1}1\}$, $s = \{02\bar{2}1\}$, $\sigma = \{20\bar{2}1\}$.

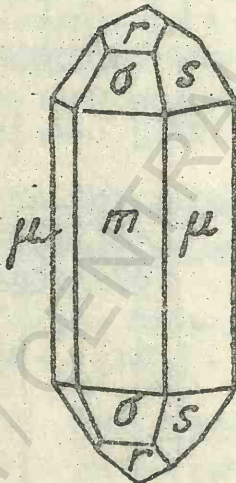
27. Clasa giroïdo-planală, ditrigonal bipiramidală.

$$L_{6i}^3 \ 3L^2 \ 3P.$$

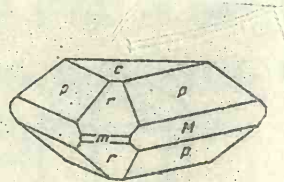
Benitoitul, $BaTiSi_3O_9$, (fig.231₂₇).

- Relația axială: $a : c = 1 : 0,7319$.
- Forme simple: Pinacoidul $c = \{0001\}$, prismele trigonale: $m = \{10\bar{1}0\}$ și $\mu = \{01\bar{1}0\}$, bipiramidele trigonale: $r = \{10\bar{1}1\}$ și $p = \{01\bar{1}1\}$.

CLASE CU L_{6i}^3



26



27

Fig. 231n

- continuare -

VII. Sistemul cubic.

28. Clasa primitivă, pentagontritetraedrică $3L^2 4L^3$

Cloratul de sodiu, $Na Cl O_3$ (fig.231₂₈).

- Relația axială: $a : a : a$ și $\alpha = \beta = \gamma = 90^\circ$.
- Forme simple: Cubul $a = \{100\}$, dodecaedrul pentagonal $p = \{201\}$, dodecaedrul romboidal $d = \{110\}$ și tetraedrul $o = \{111\}$

29. Clasa centrică, didodecaedrică, $3L^2 4L_6^3 3\pi C$.

Pirita, $Fe S_2$ (fig.231₂₉).

- Forme simple: Octaedrul $o = \{111\}$ și dodecaedrul pentagonal $p = \{210\}$.

30. Clasa planală, hexatetraedrică, $3L_h^2 4L^3 6P$.

Blenda, $Zn S$. (fig.231₃₀).

- Forme simple: Cubul $a = 100$ și tetraedrul $o = \{111\}$.

31. Clasa axială, pentagontrioctaedrică, $3L^4 4L^3 6L^2$

Clorura de amoniu, $NH_4 Cl$ (fig.231₃₁).

- Forme simple: tetragontrioctaedrul $i = \{211\}$ și pentagontrioctaedrul $x = \{875\}$.

32. Clasa planaxială, hexaoctaedrică,

$$3L^4 4L_6^3 6L^2 3\pi 6P^2 C.$$

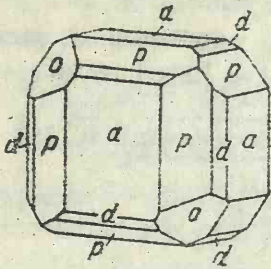
Cuprul, Cu . (fig.231₃₂).

- Forme simple: Cubul $a = \{100\}$ și dodecaedrul romboidal $d = \{110\}$.

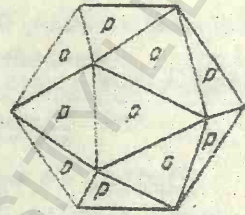
Grosularul, $Ca_3 Al_2 (Si O_4)_3$, (fig.231₃₃).

- Forme simple: dodecaedrul romboidal $d = \{110\}$ și tetragontrioctaedrul $i = \{211\}$.

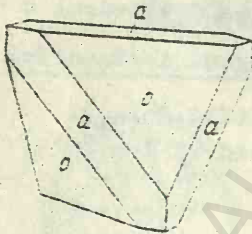
SISTEMUL CUBIC



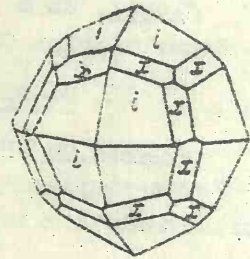
28



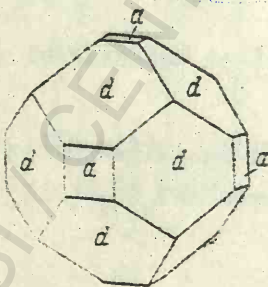
29



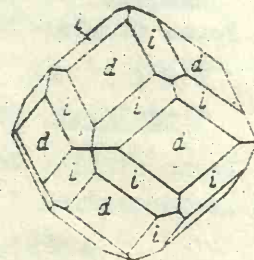
30



31



32



33

Fig. 231n
- continuare -

2.

CRISTALOGRAFIA GEOMETRICĂ

A. FORMELE POLIEDRICE ALE CRISTALELOR

IX. CONCREȘTERI SIMETRICE DE CRISTALE SAU MACLE

Atît în cazul formelor simple cît și în cazul formelor compuse, examinate anterior, am avut de-a face cu indivizi cristalini izolați. În realitate însă, cristalele se găsesc foarte frecvent, grupate, mai multe la un loc. De obicei se grupează cristale de același fel, dar se pot grupa și cristale ale unor minerale sau substanțe chimice diferite.

După modul cum se grupează cristalele la creșterea lor, în general, ne vom ocupa în capitolul de cristalogeneză. Aici ne vom ocupa numai de grupările de indivizi cristalini asociați ca urmare a concreșterii simetrice, grupări care se numesc m a c l e.

Macia este un complex cristalin care apare ca format din doi sau mai mulți indivizi cristalini, asociați pe baza unor anumite legi de simetrie.

După modul de asociere a indivizilor cristalini, se deosebesc două feluri de macle: macle de alipire sau juxtapunere și macle de penetrație sau de întrepătrundere.

Indivizii cristalini maciați sînt așezați simetric unul față de altul, fie în raport cu o axă de simetrie, nu-

mită axă de maclă, fie în raport cu un plan de simetrie numit plan de maclă.

Planul de maclă și axele de maclă de ordin par nu pot fi elemente de simetrie ale indivizilor cristalini căci, în acest caz, maclă s-ar reduce la o simplă concreștere paralelă.

Și în cazul elementelor de maclă se aplică legile de asociere a elementelor de simetrie studiate la cristalele izolate, ca de ex. legea după care, atunci când există două din elementele L^{2n} , \bar{u} , C (axă de ordin par, plan perpendicular sau centru), trebuie să existe și al treilea.

Elementele de maclă reprezintă fețe, reale sau posibile de cristale, sînt deci șiruri sau plane de mare densitate reticulară, ca și elementele respective de simetrie ale cristalelor unice.

În afară de planul de simetrie al maclei, planul de maclă, mai trebuie luat în considerație și planul după care se face concreșterea indivizilor care compun macla și care se numește plan de asociere al maclei.

Uneori, planul de asociere coincide cu planul de maclă, alteori însă nu coincide cu acesta. Și planul de asociere este tot un plan de mare densitate reticulară, adică o față reală sau posibilă de cristal.

La maclele de alipire, planul de asociere este o suprafață regulată, pe cînd la maclele de întrepătrundere el se prezintă ca o suprafață complexă.

O maclă se caracterizează prin poziția reciprocă a indivizilor cristalini maclați și deci, prin elementele sale de simetrie.

Indivizi cristalini care compun macla, pot fi aduși astfel ca să se suprapună, aproape în toate cazurile prin rotirea în jurul unei axe care este cuprinsă în planul de maclă sau, perpendicular pe acesta.

1. MACLA DE ALIPIRE SAU JUXTAPUNERE

În această macă indivizii cristalini sînt alipiți după planul de macă, iar alipirea se face după o rotire a cristalului asociat, în jurul axei de macă.

Maclele obținute prin învîrtirea cristalului asociat, de 180° , se numesc macle prin hemitropie și sînt cele mai frecvente.

Se cunosc trei feluri de macle prin hemitropie, corespunzătoare la trei legi de macare:

hemitropii normale, paralele și complexe.

1.1. Macle de hemitropie normală.

Cînd axa este perpendiculară pe planul de macă, se spune că este o hemitropie normală. Un individ cristalin este alipit de vecinul său de macă după o rotire de 180° în jurul acestei axe.

a. În sistemul monoclinic este foarte obișnuită maca de hemitropie normală a gipsului, numită "coadă de rîndunică" (fig. 232).

Aici, două cristale monoclinice prismatice sînt alipite după fața (100), după ce unul din ele s-a rotit cu 180° față de celălalt, în jurul unei axe perpendiculare pe această față.

Fața (100) este un plan de asociere și în același timp și planul de simetrie al maclei, planul de macă.

Maclele de hemitropie normală se notează prin indicii feței de macă, în cazul considerat, cu (100).

O macă de hemitropie normală (100) se întîlnește și la augit (fig. 233), iar la gips se mai întîlnește și maca de hemitropie normală (101), numită macă "în fier de lance" sau maca de Paris (fig. 234).

MACLE

I

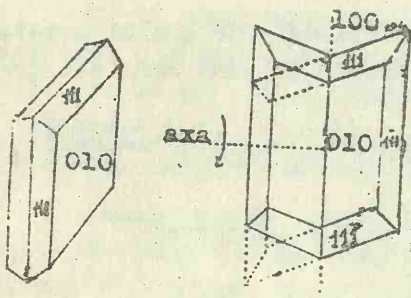


Fig. 232.

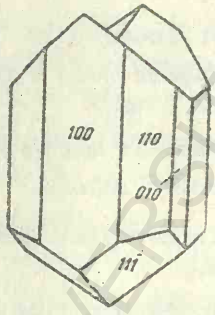


Fig. 233.

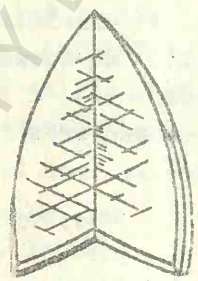


Fig. 234

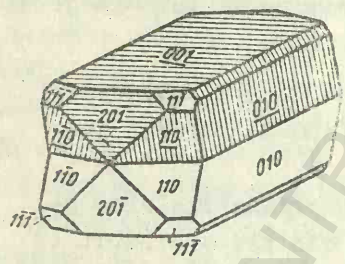


Fig. 235

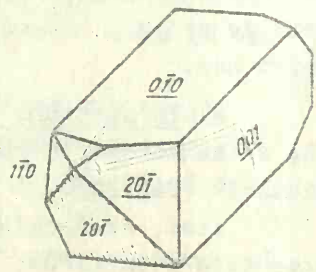


Fig. 236

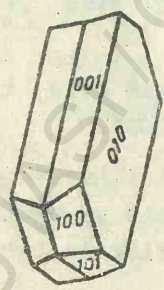


Fig. 237.

HEMITROPIE

NORMALA

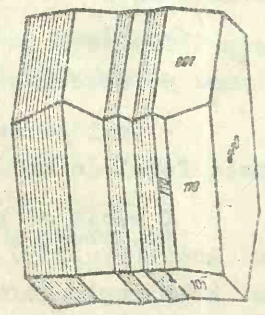


Fig. 238.

Tot în sistemul monoclinic se mai întâlnesc și două macle de hemitropie normală ale ortozei: o macă după fața (001), numită macă de Manebach (fig. 235) și alta după fața (021), numită macă de Baveno (fig. 236).

b. În sistemul triclinic, se găsește o macă de hemitropie normală, foarte răspândită, macă albitului. Fața de asociere în macă albitului este fața de pinacoid (010), fig. 237..

La unele macle de alipire ca și la macă de alipire a albitului se observă în mod frecvent, o repetare alternativă a indivizilor macelați după aceleași fețe (fig. 238). Asemenea macle se numesc macle alternante.

Uneori, perechile de lame de orystal macelate, se repetă foarte des, ca în cazul albitului. Asemenea macle se numesc macle polisintetice.

În secțiuni subțiri, la microscopul polarizat macă polisintetică apare în benzi paralele luminate și întunecate în mod alternativ (fig. 239). Pe această bază se recunosc cu ușurință o serie de minerale pentru care macă polisintetică este foarte caracteristică, cum este cazul feldspatilor plagioclazi.

c. În sistemul rombic se găsește macă de hemitropie normală a aragonitei, CaCO_3 , (fig. 240).

Macelarea se face în acest caz după fața de prismă rombică (110). Și aragonita prezintă în mod frecvent macle repetate alternativ. Uneori repetarea maclelor se face foarte des și după aceeași față, dând ca și în cazul albitului macă polisintetică (fig. 241).

Alteori însă, planele de asociere corespund unor fețe echivalente, dar diferite și se formează o macă ciclică, în care repetarea se face în același sens (fig. 242). Astfel, unul din indivizi maclează cu al doilea după fața (110), iar cu al treilea, după fața (110). În felul acesta ciclul se închide, însă nu complet din cauză că unghiul de alipire nu

are 120° , ci numai $116^\circ 16'$. În locul gol care rămîne între cele trei prisme poate să crească unul din cele trei cristale și macula capătă un contur pseudohexagonal. Prisma hexagonală care se formează este numai aparent regulată (fig. 243).

d. În sistemul tetragonal, cele mai frecvente sînt maculele de hemitropie normală după fața (101) a bipiramidei tetragonale de specia II-a. O asemenea maculă se întîlnește la casiterită (SnO_2). Din cauza formei, poartă numele de "maculă în vizieră" sau "maculă cioc de staniu" (fig. 244).

Tot în sistemul tetragonal se găsesc o serie de macule de hemitropie normală la rutil (TiO_2). Aceste macule pot fi repetate alternativ sau ciclic (fig. 245). Astfel, o maculă după fața (101), în care diviziile cristaline fac între ei un unghi, obtuz ($134^\circ 25'$) poartă denumirea de maculă "în genunchi" (fig. 246), iar alta în care diviziile maculați fac între ei un unghi ascuțit, avînd planul de maculă (301) se mai numește maculă "în formă de inimă" (fig. 247).

Uneori macula în genunchi cuprinde încă un individ cristalin, alipit în același sens, iar alteori, trei macule în genunchi închid ciclul, cînd o maculă ciclică cu contur hexagonal (fig. 248).

e. În sistemul trigonal, foarte răspîndite, sînt maculele de hemitropie normală ale calcitei (CaCO_3).

- Astfel se întîlnește o maculă formată prin alipirea a doi scalenoedri ditrigonali sau a doi romboedri, după pinacoidul bazal (0001), în urma unei rotiri de 60° în jurul axei ternare (fig. 249).

- Prin alipirea a doi romboedri după fața (0112) paralelă cu o muchie de romboedru, rezultă o maculă care este de multe ori polisintetică (fig. 250). Această maculă este foarte răspîndită mai ales în calcarele cristaline, unde s-a format pe cale mecanică, din cauza presiunilor tectonice.

MACLE DE ALPIRE HEMITROPIE NORMALĂ II



Fig. 239

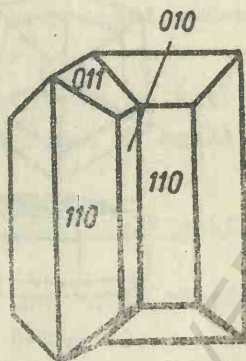


Fig. 240

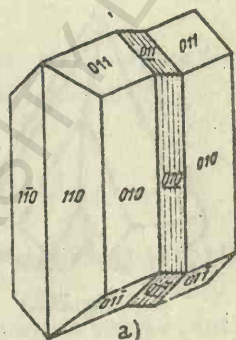


Fig. 241

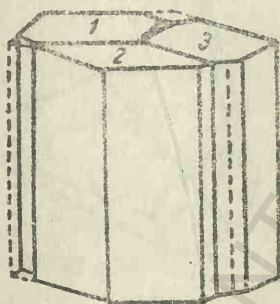


Fig. 242a



Fig. 242b

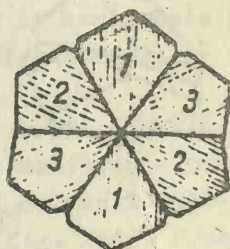


Fig. 243

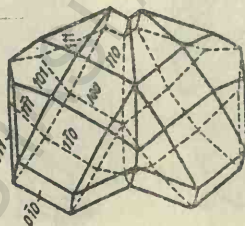


Fig. 244.

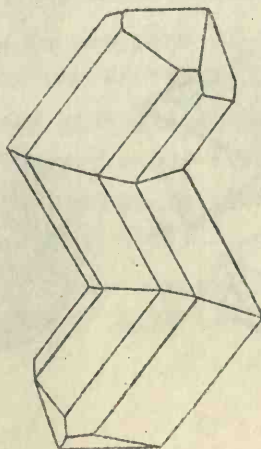


Fig. 245

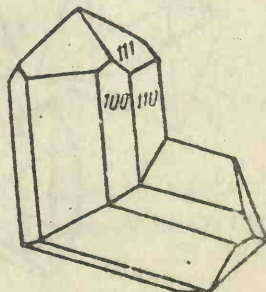


Fig. 246.

MACLE DE ALIPIRE HEMITROPIE NORMALĂ III

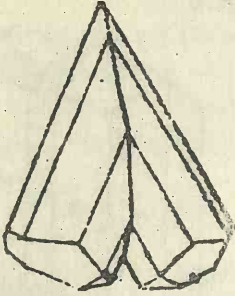


Fig. 247.

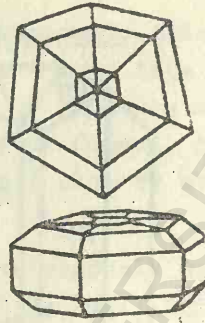


Fig. 248



Fig. 249.

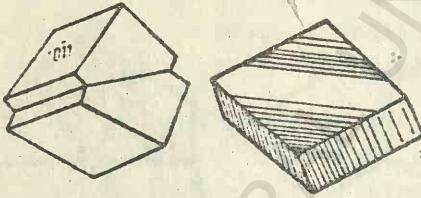


Fig. 250.

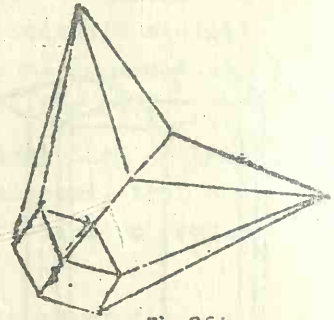


Fig. 251.

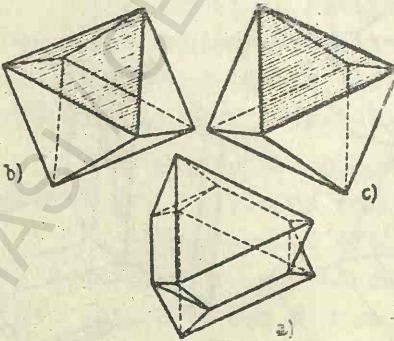


Fig. 252.

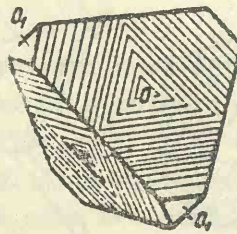


Fig. 253a

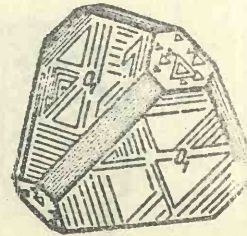


Fig. 253b.

- După fața (10 $\bar{1}$ 1) de romboedru, se întâlnește la caloită, macla în formă de fluture (fig. 251) și aceeași maclă rezultă și după fața (20 $\bar{2}$ 1).

f. In sistemul cubic este foarte cunoscută macla de hemitropie normală a spinelului ($MgSi_2O_4$), (fig. 252). Ea este formată prin alipirea a doi octaedri, după fața (111). Axa de maclă este axa L^3 .

O asemenea maclă, după (111), se întâlnește și la blendă (fig. 253), adesea sub formă de maclă polisintetică.

1.2. Macles prin hemitropie paralelă

Aceste sînt mai puțin răspîndite decît cele prin hemitropie normală.

Aici, unul din indivizii cristalini care compun macla, este de asemenea rotit de 180° , dar în jurul unei axe care este cuprinsă în planul de asociere, deci paralelă cu el.

Pentru caracterizarea unei macle de hemitropie paralelă este nevoie să se arate, pe lîngă planul de maclă și axa de maclă.

Astfel la ortoză, pe lîngă maclele de hemitropie normală pe care le-am văzut, se întîlnesc și macle de hemitropie paralelă. Este foarte cunoscută macla cu planul de maclă (010) și cu axa $[001]$, numită maclă de Karlsbad A (fig. 254). Uneori aceste cristale se întrepătrund (fig. 255).

Tot cu fața de asociere (010), dar cu axa $[100]$, se formează altă maclă numită "Ala B".

În alte macle axa rămîne neschimbată și se schimbă planul de asociere, ca de ex.:

"Karlsbad B" cu axa $[001]$, dar cu planul (100) și "Ala A", cu axa $[100]$, dar cu planul (001).

O particularitate remarcabilă a acestor macle este aceea că, dacă axa de maclă este determinată ca fiind

o muchie a cristalului, cuprinsă în planul de maclă, în schimb, planul de maclă poate fi variabil. Acest plan variază cu compoziția chimică a cristalului, fiind însă o față din aceeași zonă.

- În sistemul triclinic se întâlnește o astfel de maclă la feldspații plagioclazi: așa numita macla periclinului. Aceasta are ca axă de maclă muchia $[010]$, pe cînd planul de maclă este o față din zona $(001)/(100) = [010]$, a cărei poziție față de pinacoidul bazal (001) , variază între $+35^\circ$ la albit și -17° la anortit, (fig. 256).

1.3. Macles de hemitropie complexă

Există macles de alipire în care indivizii sînt aranjați atît după hemitropia normală cît și după hemitropia paralelă.

Aceste macles au fost numite de către Fedorov, macles de hemitropie complexă.

Maclesle complexe sînt de asemenea întîlnite în seria feldspaților plagioclazi și cea mai răspîndită este macla complexă "albit" plus "Karlsbad A" (fig. 257).

Pentru a obține macla complexă, se rotește de ex. unul din indivizi cu 180° în jurul unei axe perpendiculare pe fața de maclă (010) , apoi, același individ cristalin se rotește din nou, tot cu 180° , în jurul unei muchi cuprinse în planul de maclă (001) , de ex.

Aceste două rotații succesive pot fi înlocuite printr-o singură rotație în jurul unei axe situate în planul de maclă și perpendiculare pe axa de hemitropie paralelă.

Macla complexă respectivă se notează prin această axă, $[001]$ și prin planul de asociere, (010) , astfel: $[001]/(010)$, (fig. 258). Maclesle complexe se recunosc la microscopul polarizant.

MACLE DE ALPIRE **HEMITROPIE PARALELĂ** **IV**

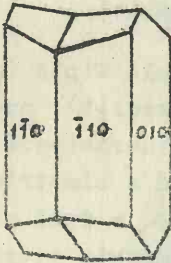


Fig. 254

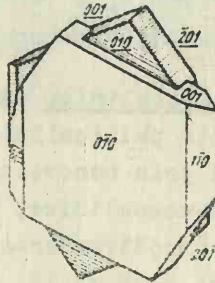


Fig. 255

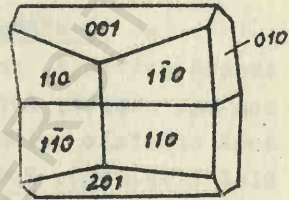


Fig. 256

HEMITROPIE COMPLEXĂ

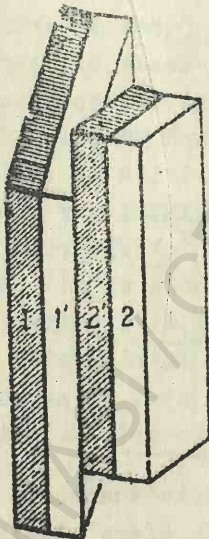


Fig. 257.

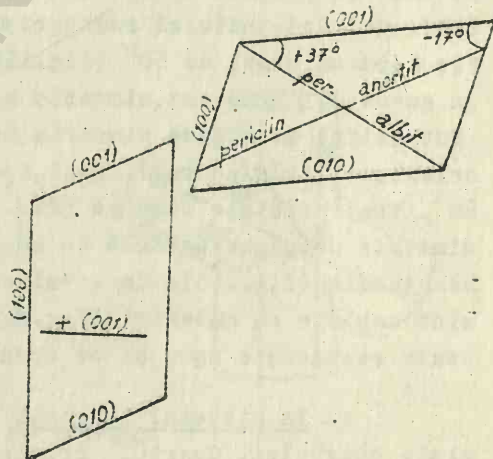


Fig. 258.

2. MACLE DE ÎNTREPĂTRUNDERE SAU PENETRAȚIE

Aceste macle sînt formate din doi indivizi cristalini care se întrepătrund, după ce unul din ei a fost rotit în jurul unei axe.

Formele meriedrice care se asociază în acest mod, formează o macă de meriedrie, a cărei simetrie este mai ridicată decît simetria indivizilor cristalini.

a. In sistemul monoclinic, un exemplu tipic în această privință, prezintă philipsitul (un zeolit): maca cea mai simplă, formată prin concreșterea încrucișată a două cristale prismatic-monoclinice, capătă o simetrie rombică (fig. 259). Prin întrepătrunderea la 90° a două asemenea macle, se formează altă macă, cu simetrie tetragonală (fig. 260). Mai departe, prin întrepătrunderea a trei macle tetragonale, după trei direcții perpendiculare, se formează un edificiu complex de macle, cu simetria cubică (fig. 261).

b. In sistemul rombic, este bine cunoscută maca staurolitului; $\text{Fe Al}_4 [\text{SiO}_4]_2 \text{O}_2 (\text{OH})_2$, în formă de cruce, de unde și denumirea mineralului (stavros=cruce, litos=piatră). Cei doi indivizi romboprismatici sînt întrepătrunși, fie după un unghi de 60° (fig. 262), fie după 90° (fig. 263). În acest din urmă caz, simetria maclei se ridică la ordinul 4.

Tot astfel se ridică simetria în cazul cristalelor de crisoberil (alexandrit), BeAl_2O_4 . Aici se întrepătrund la 60° , trei cristale rombice (fig. 264) și maca capătă o simetrie pseudohexagonală cu aspectul unei bipiramide hexagonale (fig. 265). În cazul cînd toate întrîndurile maclei sînt umplute cu material (fig. 266), maca nici nu se mai poate recunoaște ușor și se spune că este o macă mimetică.

c. In sistemul trigonal sînt foarte cunoscute maclele cuarțului. Cuarțul cristalizează în clasa axială a

MACLE DE INTREPĂTRUNDERE I

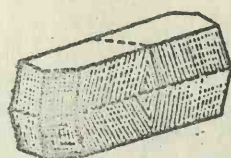


Fig. 259.

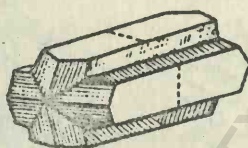


Fig. 260

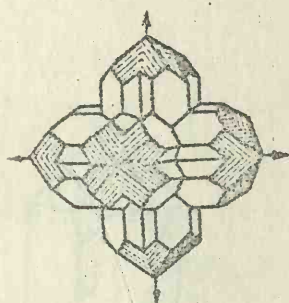


Fig. 261.

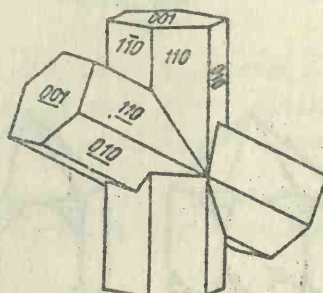
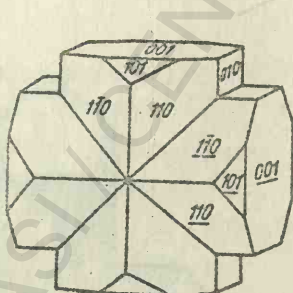
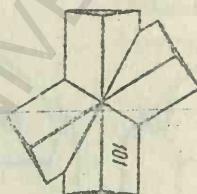


Fig. 263-262

MACLE DE INTREPĂTRUNDERE II

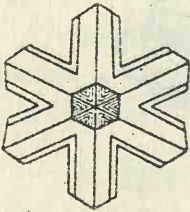


Fig. 264.

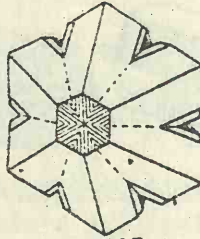


Fig. 265.

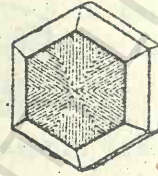


Fig. 266

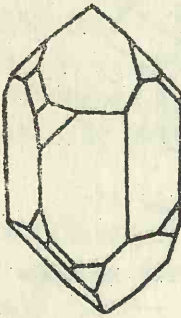


Fig. 267a

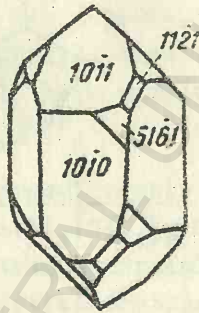


Fig. 267b,

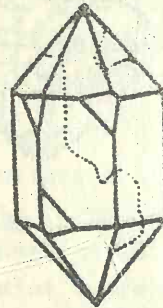


Fig. 267

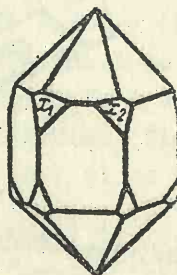


Fig. 268.

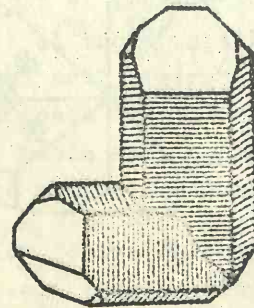


Fig. 269.

a acestui sistem și prezintă forme enantiomorfe, drepte sau stîngi, care sînt compuse din mai multe forme simple între care predomină prisma hexagonală de specia I{1010}; doi romboedri, unul pozitiv{1011}⁺ și altul negativ, {0111}; două bipiramide trigonale de specia II-a, {1121} și {2111}, care dau așa numitele fețe rombice ale cuarțului și trapezoedrul trigonal drept, {3161} sau stîng {6151}, după cum fețele lui sînt în dreapta sau în stînga feței de prismă de specia I-a. Aceste fețe arată dacă forma este dreaptă sau stîngă și tot aceste fețe arată și felul maclelor (fig. 267 a).

Se cunosc la cuarț trei macle importante:

- Macla Dauphiné, compusă din doi indivizi cristallini de aceeași fel, dreapta sau stîngi, întrepătrunși după o rotire de 60° în jurul axei L³. Ei formează un cristal unitar, iar macla se recunoaște după simetria sa, mai ridicată, L⁶ 3L² 3L². Se găsește frecvent la cristalul de stîncă din Alpi, iar denumirea sa este legată de numele regiunii Dauphiné din Franța (fig. 267 b).

- Macla Braziliană, este formată prin întrepătrunderea a două cristale de cuarț diferite, unul dreapta și unul stînga.

Fețele celor doi trapezoedri trigonali se repetă alternativ, din 60° în 60°, dar cristalul capătă simetria clasei planaxiale a sistemului trigonal, L³ 3L² C. Fețele de

- 3P²

trapezoedru trigonal ale celor doi indivizi maclați sînt dispuse simetric prin oglindire, pe trei fețe alternative de prismă hexagonală (fig. 268). Se întîlnește frecvent la ametistele braziliene.

După cum am văzut, aceste macle ale cuarțului sînt macle prin meriedrie.

- Macla japoneză, este o macă complexă, formată prin concreșterea a două macle Dauphiné sau Braziliene, după fața de bipiramidă trigonală (1122), la un unghi aproape drept (84°33'), fig. 269).

Este o maclă rară. A fost găsită în Japonia dar se găsește și la cristalul de stîncă de la Baia Sprie și Căvnic (Baia Mare) și de la Baia de Arieș.

d. - In sistemul tetragonal, se întâlnește macla calcopiritei (CuFeS_2), formată prin întrepătrunderea a doi tetraedri tetragonali cu colțurile tăiate, la 90° unul față de celălalt în raport cu axa L_4^2 .

Este o maclă de meriedrie; prin maclare ajunge la simetria clasei planaxiale (fig. 270).

e. In sistemul cubic se întâlnește deasemenea, o maclă formată din întrepătrunderea a doi tetraedri, în aceeași poziție, la diamant. Și aici, axele L_4^2 devin axe L^4 ; prin maclare se ajunge la simetria holocedrică (fig. 271).

Tot astfel, prin întrepătrunderea după L^2 a doi dodecaedri pentagonali de pirită, se formează macla "crucea de fier" a piritei (FeS_2), (fig. 272).

La fluorină (CaF_2) se întâlnește o maclă formată prin întrepătrunderea a două cuburi, după axa L^3 , în urma unei rotiri de 60° (fig. 273).

O axă L^3 a devenit aici axă L^6 ; simetria cubică a fost înlocuită cu cea hexagonală. Simetria axei a crescut, însă simetria maclei, în general, nu se poate spune că a crescut.

3. MACLE MIMETICE

Unele cristale au aspectul unor forme simple sau compuse, apărînd ca indivizi cristalini. În realitate ele sînt formate din multe lame de cristale cu simetrie inferioară celei a întregului complex. Aceste asociații se numesc macle mimetice. Ele se deosebesc de indivizii cristalini, de multe ori, după unele caractere exterioare și anume: între indivizii cristalini macლაți se observă mai totdeauna unghiuri intrînd, care nu se întîlnesc niciodată la cristalele izolate; alteori indivizii macლაți sînt contopiti în așa fel încît dau aspectul unui singur cristal, dar

MAGLE DE INTREPĂTRUNDERE III

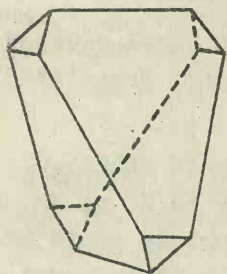


Fig. 270a



Fig. 270b.

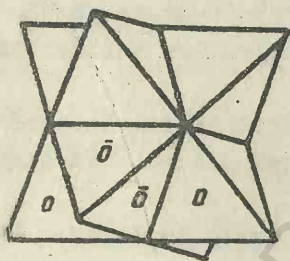


Fig. 271.

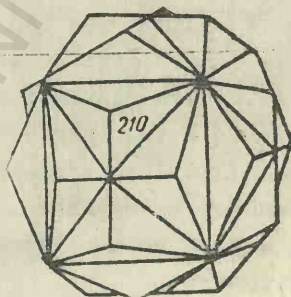


Fig. 272a

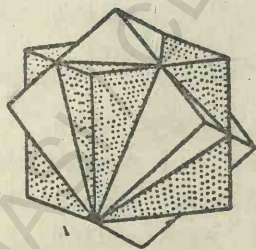


Fig. 273

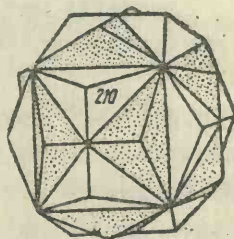


Fig. 272b.

examenînd cristalul cu atenție, macula se recunoaște, fie prin unghiurile întrînde care mai pot fi totuși observate, fie prin urma neregulată a fețelor de asociere, fie prin aspectul neomogen al fețelor care pot fi, unele cu striuri sau punctuații, altele lipsite de acestea.

Unele macle mimetice nu pot fi însă recunoscute decît pe calea roentgenometrică sau după proprietățile lor optice.

Astfel de ex., mineralul, leucit (KAlSi_2O_6), care cristalizează în lavele bazice bogate în Fe și Mn, cum este lava de la Vezuviu, la temperaturi de peste 620° , sub formă de tetragontrioctaedru, trece la temperaturi coborîte într-un edificiu de lamele cu simetrie tetragonală, maculate polisintetic după fețele de dodecaedru romboidal, dar își păstrează în ansamblu, forma exterioară (fig.274). Această formă este însă pseudocubică deoarece unghiurile diedre dintre fețe nu corespund unghiurilor tetragontrioctaedrului din sistemul cubic.

Fețele de tetragontrioctaedru prezintă striații care pun în evidență lamele maculate, care s-au dovedit că aparțin sistemului tetragonal.

Unii autori numeau tetragontrioctaedrul, după acest mineral, leucitoedru.

S-a constatat că prin încălzire la 620° , leucitul își recapătă proprietățile simetriei cubice și parametrii devin : $a = 13,4 \text{ \AA}$ în loc de $a:c = 12,95 : 13,65 \text{ \AA}$.

Asemenea macle se întîlnesc și la granați care sînt niște silicați de tipul $x_3y_2z_3\text{O}_{12}$ în care

$x=\text{Ca}, \text{Mg}, \text{Fe}^{2+}, \text{Mn}^{2+}$; $y=\text{Al}, \text{Fe}^{3+}, \text{Cr}^{3+}$, iar $z = \text{Si}, \text{P}, \text{As}$.

S-a constatat la un granat cristalizat sub formă de dodecaedru romboidal că este în realitate o maculă compusă din 12 piramide rombighe cu vîrful în centrul cristalului și cu baza pe fața de dodecaedru romboidal.

Acestea pot reprezenta și întrepătrunderea a 6 prisme rombice, după cele 6 axe L^2 ale clasei planaxiale a sistemului cubic, normale pe fețele de dodecaedru romboidal (fig.275).

Tot o macă mimetică este cea întâlnită prin asocierea a 12 cristale monoclinice de philipsit sub formă de dodecaedri romboidali, pe care o capătă în urma umplerii golurilor dintre cele trei grupe de macle, întrepătrunse la 90° .

Aspect mimetic poate căpăta și maca ciclică a aragonitului sau maca de penetrație a crisoberilului, pe care le-am văzut.

Unii cristalografi folosesc denumirea de macle mimetice, numai pentru maclele care au fost considerate, după forma lor exterioară, ca fiind cristale simple și a căror indivizi componenți nu se găsesc niciodată izolați. În acest sens, nici, maca ciclică a aragonitului, nici maca ciclică a crisoberilului, care sînt pseudohexagonale, dar în realitate de singonie inferioară, nu sînt macle mimetice, ci ar putea fi numite macle mimetiforme.

4. STRUCTURA MACLELOR

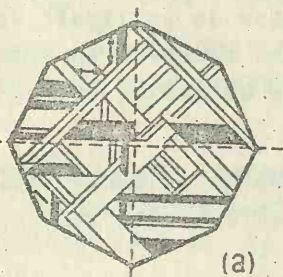
Din punct de vedere al structurii interne, maca este un edificiu cristalin unic, neomogen, dar constituit din părți omogene așezate simetric în raport cu elementele de simetrie ale maclei.

Rețelele indivizilor maclați sînt indentice și se continuă de-o parte și de alta a planului de macă.

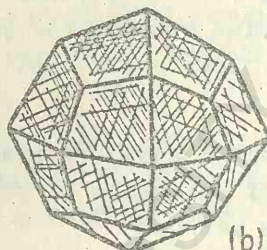
În majoritatea cazurilor maca prezintă o simetrie superioară indivizilor cristalini componenți deoarece prin macrare apar elemente de simetrie noi, suplimentare.

Aceasta se observă mai ales în cazul macării unor cristale meriedrice, cum am văzut de ex. la maca piritei, unde prin macrarea a două cristale meriedrice (dodecaedri pentagonali

MACLE DE ÎNTREPĂTRUNDERE MACLE MIMETICE IV



(a)



(b)

Fig. 274.

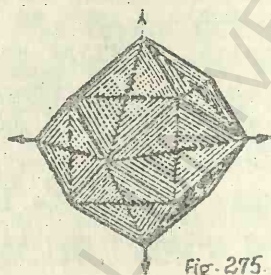


Fig. 275.

STRUCTURA MACLELOR



Fig. 276a

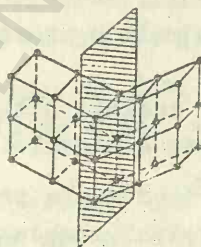


Fig. 276b.

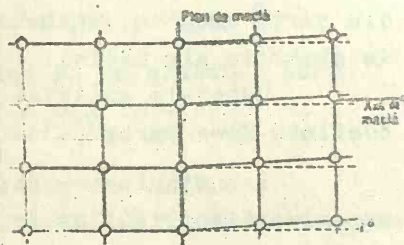


Fig. 279.

din clasa centrică), se formează un complex la care apar și elementele de simetrie suplimentare, restabilindu-se simetria holocentrică.

Numai orientarea diferită a "motivelor" cristaline meriedrice ale rețelelor cristalelor componente produce neomogenitatea edificiului maclat. Asemenea macle au fost numite macle prin meriedrie.

Un astfel de maclă prin meriedrie se întâlnește de ex. la calamină, $\text{Zn}_4[\text{Si}_2\text{O}_7](\text{OH})_2 \cdot \text{H}_2\text{O}$. Ea se formează prin alipirea a două cristale rombice hemimorfe după monoedrul (001), simetria ridicându-se de la L^2P la simetria holocentrică, $L^2L^2L^2C$. În acest caz rețelele celor doi indivizi P^2P, P^2P, P^2

vizi maclați se prelungesc fără întrerupere, constituind o singură rețea de simetrie rombică (fig.276).

Alteori, edificiul maclat prezintă și o rețea superioară proprie, care se prelungeste de asemenea de-o parte și de alta a planului de maclă, dar care nu cuprinde decât o parte a punctelor analoge ale rețelei cristalelor componente. Această rețea este un multiplu simplu al rețelei individului cristalin, iar rețeaua acestuia este meriedrică față de rețeaua maclei.

Asemenea macle sînt deci macle de meriedrie reticulară. Macla mecanică a calcitei ilustrează prin experiența lui Baumhauer asemenea schimbări morfologice și structurale ale cristalelor:

Așezînd un romboedru de spat de Islanda în echilibru pe o muchie polară (fig.277) și apăsînd cu o lamă de cuțit, perpendicular pe muchia opusă, la cîtiva mm. de vîrf L^3 , această lamă pătrunde în interiorul cristalului ca într-un material plastic, provocînd deplasarea porțiunii dinspre L^3 într-o poziție simetrică, în partea opusă (fig.278). Planul ab ce desparte porțiunea deplasată de cristalul ne-deformat este planul de maclă (0112).

FORMAREA MAGLELOR MAGLE MECANICE

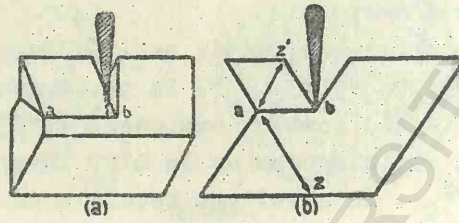


Fig. 277 a

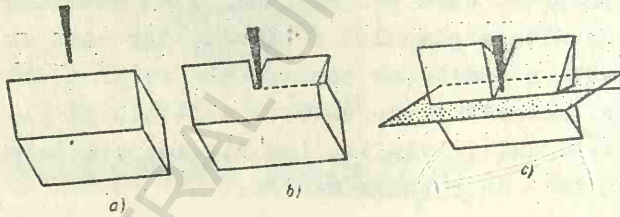


Fig. 277.b

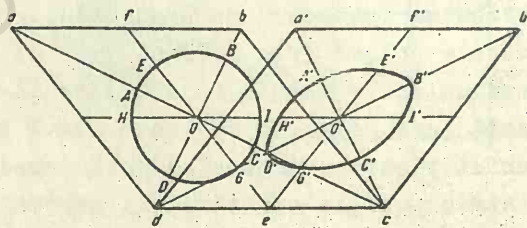


Fig. 278.

Axa L^3 în poziția z' b, paralelă cu z a, capătă la maclare o poziție z -a simetrică cu aceasta în raport cu planul de simetrie ab al maclei.

Este posibilă și operația inversă. Stringind într-o presă colțurile ascuțite opuse ale romboedrului de calcită astfel maclat, cristalul revine în poziția inițială. Aceste deplasări se explică prin translația tuturor punctelor porțiunii deplasate în direcția muchiei polare, simetric, de cealaltă parte a planului.

La unele macle, sirurile reticulare ale rețelei simple sau multiple nu se prelungesc exact deo parte și de alta a planului de maclă ci prezintă o deviație de câteva grade numită "oblicitatea maclei" (fig.279).

Aceste cristale prezintă o simetrie foarte apropiată de simetria imediat superioară și se numesc pseudosimetrice.

Astfel, un cristal monoclinic cu un unghi foarte apropiat de 90° , se spune că are o simetrie pseudorombică; un cristal romboedric cu unghiurile foarte apropiate de 90° după axele lui Miller, se spune că este pseudocubic.

Prin maclarea unor astfel de cristale, elementele de pseudosimetrie pot deveni elemente de simetrie ale maclei.

Rețelele cristalelor componente nu sînt riguros simetrice față de planul de maclă, iar cristalele sînt pseudomeriedrice în raport cu simetria maclei. Asemenea macle prin meriedrie se întîlnesc la rutil (TiO_2), zircon ($ZrSiO_4$), feldspați, zeoliți etc.

5. GENEZA MACLELOR

Geneza maclelor este variată. Se știe că se formează macle în timpul creșterii cristalelor din soluții suprasaturate sau din topituri, prin răcire bruscă și că se pot forma macle și după creșterea cristalelor, în urma schimbărilor

de temperatură, cum am văzut la leucit, sau din cauza presiunii, cum am văzut la calcită (macle mecanice).

Maclarea constă, în esență, dintr-o aranjare sau rearanjare reticulară, în care agregatele reticulare capătă poziții simetrice corelate, după legile de maclare. Este vorba de o poziție specială de echilibru a edificiului cristalin, în care atomii sînt repartizați periodic într-o rețea unică ce se prelungește, deoparte și de alta a planului de macă.

Această poziție de echilibru poate fi provocată ca în experiența lui Baumhauer sau, în modul cel mai frecvent, se realizează spontan datorită cauzelor amintite, dar după un mecanism încă neprecizat.

Maclele sînt adesea caracteristice pentru unele minerale, cum sînt feldspații plagioclazi, care apar de regulă maclați polisintetic.

Alte minerale nu apar niciodată sub formă de macle.

Absența și mai ales prezența și caracteristicile maclelor sîrvesc ca un criteriu important în recunoașterea unor minerale.

2.

CRISTALOGRAFIA
GEOMETRICA.

B.

STRUCTURA
INTERNA A
CRISTALELOR

2.

CRISTALOGRAFIA GEOMETRICA

B.STRUCTURA INTERNA A CRISTALELOR.

X. IPOTEZE SI TEORII
ASUPRA STRUCTURII
INTERNE.

De mult s-a presupus că forma externă a unui cristal ar reprezenta imaginea structurii sale interne.

1. IPOTEZE GEOMETRICE

1.1. Cr. Huyghens (1690) a explicat proprietățile optice ale calcitei prin aranjarea regulată a particulelor elipsoidale care ar constitui cristalul romboedric (fig.280).

1.2. M.V.Lomonosov (1749) în lucrarea sa "Despre salpetru" consideră că forma hexagonală de salpetru se datorește modului de aranjare a particulelor sferice, pe care le numește corpuscule, din care sînt alcătuite. Astfel, așezînd în modul cel mai strîns, sfere identice ca dimensiuni, în jurul unei sfere centrale vom putea aranja șase asemenea sfere. Centrele acestor sfere formează un hexagon regulat.

Un număr mare de asemenea particule sferice foarte mici, așezate cît se poate de des, vor alcătui figuri asemănătoare hexaganelor salpetrului. Figura din manuscrisul lui Lomonosov (fig.281) ne dă o idee clară despre felul cum aceasta a reprezentat structura cristalelor.

Prin aceste păreri Lomonosov a anticipat, în mare parte, concepțiile contemporane despre această structură. Si astăzi, într-o primă aproximație, se consideră structurile ca așezări foarte dense ale sferelor de acțiune ale atomilor sau ionilor.

1.3. - T. Bergman, tot pe la mijlocul secolului XVIII-lea, consideră calcita constituită din romboedri primitivi, galena și sarea din cuburi primitive etc., după formele de clivaj.

1.4. - R. J. Haüy, cunoscând proprietatea pe care o au unele cristale de a cliva, și considerînd că diviziunea prin clivaj a cristalelor nu poate merge la infinit, formulează în 1781, o teorie după care, cristalul este format dintr-o serie de particule în formă de paralelepipedzi, pe care le numește "molecule integrante".

Molecula integrantă ar avea forma paralelepipedzilor care rezultă prin clivaj; de ex. pentru calcită, forma de romboedru etc.

Dar galena se mai întâlnește adesea și în formă de octaedru sau de dodecaedru romboidal. El explică aceasta tot cu ajutorul moleculelor integrante, pe care le consideră unite prin desorescență (fig. 282).

În teoria lui Haüy s-au găsit contradicții. Între altele, nu se putea explica clivajul octaedric al fluorinei (CaF_2). Întradevăr, unind octaedrii prin fețele lor, nu se poate completa spațiul, rămîn goluri.

1.5. - E. S. Fedorov, prin teoria sa asupra paraleloedrilor, din 1885, înlătură această contradicție.

El consideră că există patru tipuri de poliedre cu ajutorul cărora se deduc. toate poliedrele convexe cunoscute. Acestea fiind egale, paralele și adiacente după fețe întregi, unplu în întregime spațiul. Aceste tipuri de poliedre sînt:

- Triparaleloedru (cu trei perechi de fețe paralele); cel mai simetric triparaleloedru este cubul (fig.283);

- Tetraparaleloedru (cu patru perechi de fețe paralele și egale); cel mai simetric este în formă de prismă hexagonală cu baza un hexagon regulat (fig.284).

- Hexaparaleloedru (cu șase perechi de fețe paralele și egale între ele); cel mai simetric este dedecaedrul romboidol (fig.285).

- Heptaparaleloedru (cu șapte perechi de fețe paralele și egale între ele); cel mai simetric paraleloedru de acest tip este o formă compusă din cub și octaedru, cu toate muchiile egale (fig.286).

Toate celelalte paraleloedre, mai puțin simetrice, se deduc din acestea prin deformări (alungiri, alunecări).

Fedorov observă că la umplerea spațiului cu aceste paraleloedre, anumite puncte, de ex. centrele lor de greutate, formează anumite rețele:

- La cub se formează o rețea cubică simplă sau rețea hexaedrică (fig.287);

- La completarea spațiului cu tetraparaleloedrele cele mai simple, centrele lor de greutate formează o rețea prismatică, cu nodurile pe vîrfurile de prismă hexagonală și pe centrele bazelor (fig.288);

- Completarea spațiului cu hexaparaleloedre în formă de dedecaedri romboidali duce la o rețea cubică cu fețe centrate (dedecaedrică, fig.289);

- În fine, completarea spațiului cu heptaparaleloedre de formă cub-octaedru, duce la o rețea cubică centrată intern (octaedrică, fig.290).

Toate celelalte rețele, mai puțin simetrice, se deduc din acestea prin deformări.

Sînt în total deci, patru tipuri de rețele: trei tipuri deduse din rețelele cubice și un tip, din cea hexagonală.

IPOTEZELE GEOMETRICE ASUPRA STRUCTURII CRISTALELOR

I

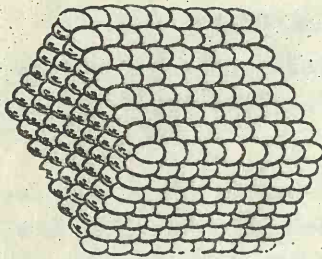


Fig. 280a

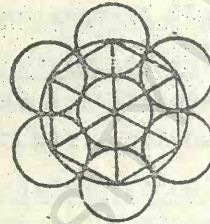


Fig. 281

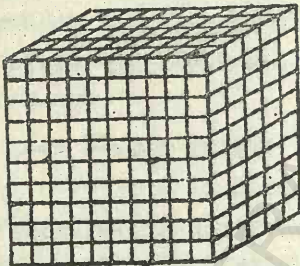


Fig. 282a

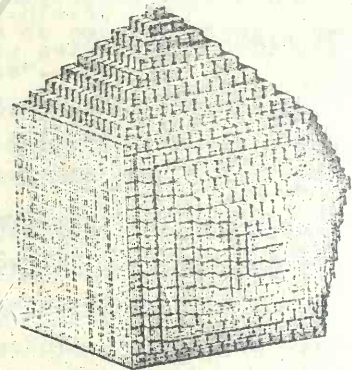


Fig. 282 b.

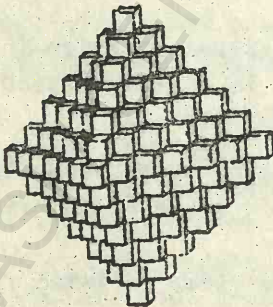


Fig. 282c

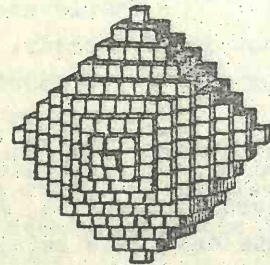


Fig. 282 d

IPOTEZE GEOMETRICE

II

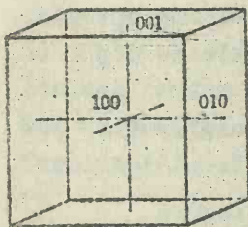


Fig. 283a

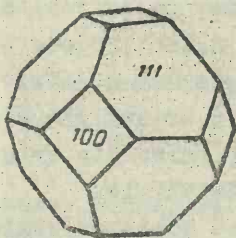


Fig. 286

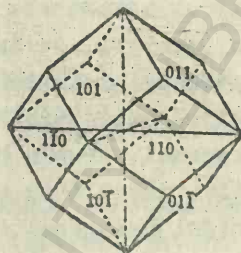


Fig. 285

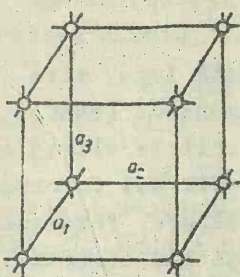


Fig. 287

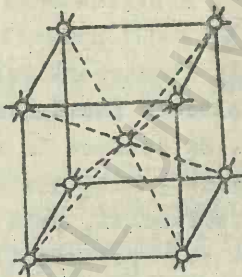


Fig. 290

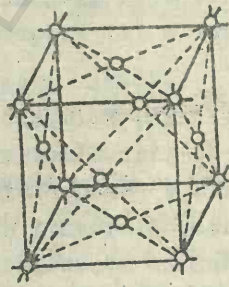


Fig. 289

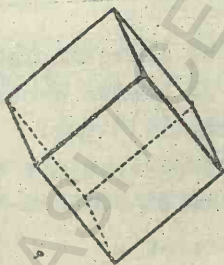


Fig. 283b.

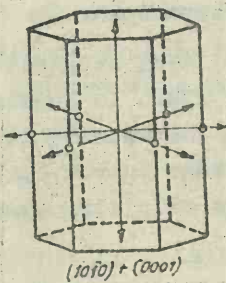


Fig. 284



Fig. 288

Astfel stabilește Fedorov legătura dintre forma exterioară și structura internă. El a ajuns la concluzia că lumea cristalelor se împarte în două tipuri: tipul cubic și tipul hexagonal. Cristalele de tipul cubic se apropie, prin unghiuri, de cristalele cubice, iar cele de tipul hexagonal, de cristalele hexagonale.

De tipul cubic țin toate cristalele sistemului cubic și tetragonal, precum și o parte din cristalele sistemelor rhombic, monoclinic și triclinic.

În tipul hexagonal intră toate cristalele hexagonale și o parte din cele trigonale, rhombice, monoclinice și triclinice.

În aceasta constă esența uneia din legile fundamentale ale cristalografiei, numită „legea limitelor cristalografice” a lui Fedorov.

Cîteva exemple ilustrează această lege: mica, monoclinică, formează plăcuțe pseudohexagonale; (BaSO_4) rhombică, prin fisurare, se desface în așchii de olivaj care prezintă o pseudocubicitate; mineralele cele mai importante din roci, piroxenii și amfibolii, prin crăpare, formează unghiuri de aproximativ 90° (piroxenii) și 120° (amfibolii).

1.6. - A.Bravais, unul din continuatorii lui Haüy, considerînd, în mod just, că forma particulelor componente ale cristalului nu este cunoscută (1855), s-a ocupat de problemele repartiției centrelor de greutate ale lor în interiorul corpului cristalin.

Plecînd de la ideea omogenității și anizotropiei cristalelor, Bravais a ajuns la concluzia că aceste centre de greutate trebuie să fie așezate ca și nodurile unei rețele spațiale și a dedus în total, 14 rețele spațiale ce se deosebesc după forma celulelor elementare și după simetrie.

Aceste 14 rețele se împart în 7 singonii. Prin deducții matematice, folosind operația de traslație pe cele trei direcții în spațiu, Bravais a ajuns la aceleași

rezultate la care ajunsese pe cale experimentală la începutul sec. XIX, Weiss și Mohs.

Aceste rețele sînt, pentru sistemul cubic, în formă de cub și anume: cub simplu (particulele în colțuri), cub centrat intern (particulele în colțuri și în centru), și cub centrat pe fețe (particulele pe colțuri și în mijlocul fețelor (fig. 291).

Pentru sistemul tetragonal există o prismă tetragonală simplă și o prismă tetragonală centrată intern (fig. 292).

În sistemul hexagonal este o singură rețea în formă de prismă hexagonală centrată pe fețele de bază, ea și cum ar rezulta din alipirea a trei prisme rombice, după aceeași muchie, la fiecare 120° (fig. 293).

- În sistemul trigonal, rețeaua, unică, este un Romboedru (fig. 294) ;

- În sistemul rombic sînt patru rețele: o prismă cu toate secțiunile dreptunghiulare, de forma unei cărămizi; în fapt o prismă ortogonală formată din trei pinacoizi; a doua, asemănătoare, dar cu fețele de bază centrate; a treia centrată intern și a patra, centrată pe toate fețele (fig. 295).

- În sistemul monoclinic sînt două rețele tot de formă prismatică compuse din cîte trei pinacoizi, dar aplecate pe-o direcție; cu relația : $\alpha = \delta = 90^{\circ} \neq \beta$ și cu particulele numai pe colțuri (fig. 297) *.

După cum se poate observa, aceste 14 rețele se pot grupa în cîteva categorii, care au fost însemnate cu simboluri semnificative :

- Rețelele primitive (simple) de formă prismatică se înseamnă cu P; cea în formă de romboedru, cu R;

- Rețelele cu baze centrate se înseamnă cu C;

RETELE BRAVAIS

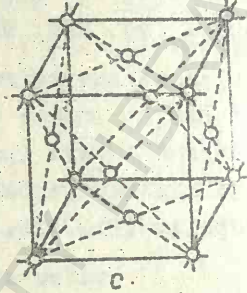
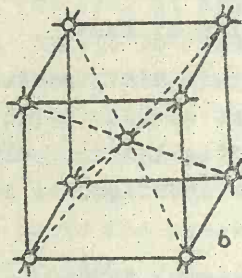
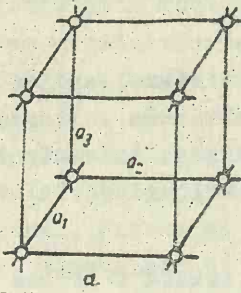


Fig. 291

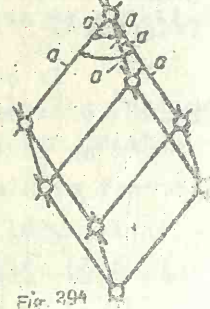
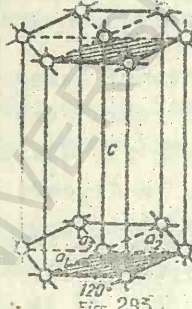
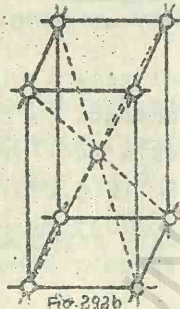
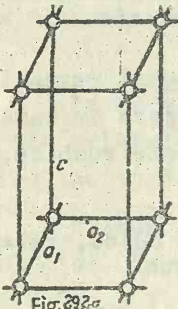


Fig. 292a

Fig. 292b

Fig. 293

Fig. 294

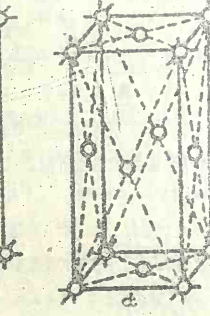
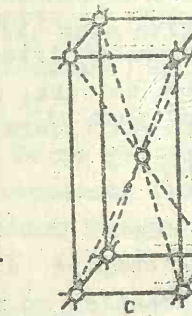
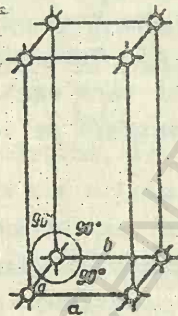


Fig. 295

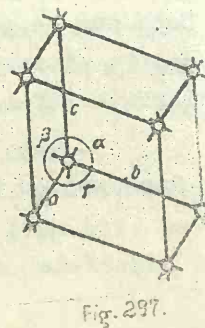
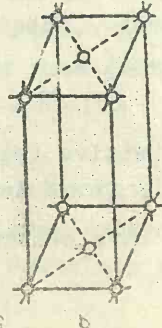
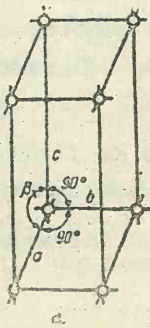


Fig. 296

Fig. 297

- Rețelele cu volum centrat se înseamnă cu J;
- Rețelele cu toate fețele centrate se înseamnă cu F.

Rețelele lui Bravais nu pot explica însă structura majorității cristalelor care nu aparțin claselor planaxiale, nu pot explica structura formelor hemimorfe, unele forme enantiomorfe etc.

Se pot deduce cu ajutorul acestor rețele numai structurile cu particule similare așezate paralel între ele și legate prin translații paralele.

Fiecare rețea Bravais reprezintă în fond o sumă, o grupă spațială de translații. Fiecare particulă este deplasată paralel pe cele trei direcțiuni, formând rețeaua spațială.

1.7. - Sohncke, în 1879 formulează o teorie mai completă, introducând pe lângă translație și operația de rotire și de asemenea, combinația lor, rotire-translație (axa helicoidală).

Pe baza acestor operațiuni el construiește 65 de "sisteme de puncte".

Nici teoria lui Sohncke nu este însă satisfăcătoare, nici ea nu poate explica simetria unor cristale ca cele hemimorfe, enantiomorfe etc.

2. TEORII CU PRIVIRE LA STRUCTURA INTERNA

- Fedorov (1890), Schoenflies (1891) și Barlow (1897), independent unul de altul au dat o soluție definitivă acestei probleme, stabilind toate aranjamentele posibile, după operațiunile de acoperire: translație, rotire, oglindire și combinațiile lor.

Schoenflies a numit aceste aranjamente, grupe spațiale sau aranjamente spațiale și sînt în număr de 230. Între ele intră și cele 65 sisteme de puncte ale lui

Sohncke și implicit, cele 14 grupe de translație ale lui Bravais.

Grupele spațiale de elemente de simetrie se repartizează de asemenea în cele 32 clase de simetrie, cunoscute de la poliedrele cristaline, deci în cele 7 sisteme cristaline.

Această ipoteză inițială s-a verificat cu exactitate după descoperirea difracției razelor Roentgen prin cristale de către Laue din 1912, căpătând forma unei teorii unitare.

2.

CRISTALOGRAFIA GEOMETRICA

B. SIMETRIA INTERNA A CRISTALELOR

XI. SIMETRIA STRUCTURII INTERNE

1. ELEMENTELE DE SIMETRIE IN FIGURILE CRISTALINE INFINITE (STRUCTURI)

Am văzut, în cazul figurilor cristaline finite, al poliedrelor cristaline, că sînt posibile următoarele elemente de simetrie:

- Centrul de inversiune, C , ($\bar{1}$) ;
- Planale de oglindire, P , (m) ;
- Axele de rotire, L^2 , L^3 , L^4 , L^6 , (2,3,4,6) ;
- Axele compuse - de inversiune - L_{4i}^2 și L_{6i}^3 , ($\bar{4}$, $\bar{6}$) și
- de rotire-oglindire - L_{4m}^2 și L_{6m}^3 .

Acestor elemente de simetrie le corespund, respectiv, operațiile simple de acoperire și operațiile complexe: rostire-oglindire și rotire-inversiune.

În cazul structurilor interne, pe lângă acestea, mai avem și alte elemente de simetrie:

- Axele de translație (mutație) ;
- Planale de reflexie ou alunecare și
- Axele helicoidale.

1.1. Axele de translație

Aceste axe corespund unei operații de translație a unui punct pe direcția axei respective.

Să considerăm segmentul AB (fig.298), cu punctele $A, B, C, D, E \dots$ situate la distanțe egale, $AB=BC=CD=DE \dots$. Printr-o translație de mărime \overline{AB} , punctul A trece în locul lui B , B în locul lui C etc.

În urma acestei operații, segmentul întreg AB se deplasează și ocupă o poziție nouă în spațiu, ce nu coincide cu prima poziție.

Suprapunerea se realizează dacă se consideră A, B, C, D, E ca noduri ale unui șir infinit, cu intervalul AB . În acest caz, după translație, în locul lui A vine un nod nou din dreapta, în timp ce E trece în locul unui nod asemănător înspre dreapta, etc. și astfel întregul șir se suprapune peste el însuși. În felul acesta translația este posibilă la structurile infinite, în general, și deci și la structurile cristaline.

Elementul de simetrie corespunzător translației se numește axă de translație, iar mărimea celei mai mici translații de-a lungul acestei axe, după care figura se poate suprapune peste ea însăși, se numește pasul sau perioada translației.

1.2. Planele de reflexie cu alunecare, corespund unei operații compuse dintr-o translație pe direcția unui plan, urmată de oglindirea în planul respectiv.

După cum știm, rețeaua plană a $NaCl$ are o formă (fig. 299), în care ionii de clor și sodiu se succed alternativ la infinit.

Socotind acest desen infinit de întins, observăm cu ușurință că de-a lungul liniei $a-a$, marcată pe figură întrerupt, trece un plan de reflexie cu alunecare. Într-adevăr, pentru a suprapune ionul de clor (1), peste ionul

analog (2), trebuie să mutăm primul ion paralel cu planul a-a, în locul ionului de Na situat sub el și apoi să-l reflectăm în același plan a-a, perpendicular pe figură. Astfel întregul desen, infinit de întins, al NaCl se va suprapune cu el însuși.

Un asemenea plan va trece și de-a lungul lui a_1-a_1 și alte plane analoge vor trece prin $b-b$ și b_1-b_1 etc.

În acest sistem sînt deci trei feluri de plane de reflexie cu alunecare:

- plane a, cu componenta egală cu $\frac{1}{2}$ din perioada de translație deci $\frac{a}{2} = \frac{a}{2}$ în direcția axei $[100]$, după un plan (010) sau după (001);
- plane b, cu componenta $\frac{b}{2}$ în direcția axei $[010]$, după un plan (100) sau după (001);
- plane c, cu componenta $\frac{c}{2}$ în direcția axei $[001]$, după un plan (100) sau după (010).

Alt sistem de plane de reflexie cu alunecare este legat de translațiile realizate în direcția diagonalelor fețelor de paralelepiped elementar:

- plan paralel cu (100), cu translația $\frac{b}{2} + \frac{c}{2}$;
- plan paralel cu (010), cu translația $\frac{a}{2} + \frac{c}{2}$;
- plan paralel cu (001), cu translația $\frac{a}{2} + \frac{b}{2}$,

cînd rezultă puncte simetrice în mijlocul fețelor și cu deplasarea $\frac{a}{2} + \frac{b}{2} + \frac{c}{2}$, cînd rezultă puncte identice așezate în centrul paralelepidului.

Planele de reflexie cu alunecare diagonale sînt notate ca plane n și se întîlnesc la structurile (F) și (J).

Prin translații de $\frac{1}{4}$ din diagonala fețelor sau $\frac{1}{4}$ din diagonala spațială a paralelepipezilor, rezultă alt sistem de plane cu alunecare, notate cu litera d, astfel:

- plane cu translația $\frac{b}{4} + \frac{c}{4}$
- plan cu translația $\frac{a}{4} + \frac{b}{4}$ sau cu
translația $\frac{a}{4} + \frac{b}{4} + \frac{c}{4}$.

Planele d se întâlnesc la structurile de tip (F), particulare, cum este rețeaua diamantului (fig. 300).

Simbolurile grafice ale planelor cu alunecare constă din linii întrerupte (a,b), linii punctate (c), alternanțe de linii și puncte (n), alternanțe linie, punct, săgeată, punct (d) etc. (fig. 301).

1.3. Axele helicoidale sau helicogirele corespund unei operații compuse dintr-o rotire de n° , cuplată cu o translație, paralelă cu această axă, pe o distanță egală cu o fracțiune din perioada T, care se numește componentă helicoidală sau componentă de translație (t).

Perioada de translație T este distanța dintre poziția inițială și poziția finală la care ajunge punctul considerat, în urma acestor operații repetate într-o rotire completă, de 360° .

Mărimea translației elementare este egală cu $\frac{1}{n}$ sau multiplu de $\frac{1}{n}$ din perioada de translație, n fiind ordinul axei; poate fi deci $\frac{1}{n} T$, $\frac{2}{n} T$ etc., până la $\frac{n-1}{n} T$.

Se înțelege că axa cu componenta $\frac{n}{n} T = T$ se reduce la axa simplă de ordinul n.

Vor exista n-1 axe helicoidale pentru fiecare axă simplă de ordinul n.

Axele helicoidale în cristale, ca și axele simple și compuse cunoscute, pot fi numai de ordinele 2, 3, 4 și 6. Axa helicoidală de ordinul 1 corespunde unei translații simple.

SIMETRIA STRUCTURII INTERNE

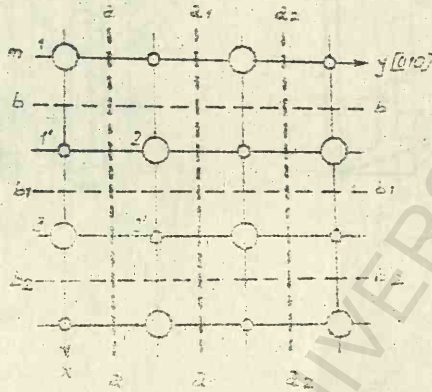
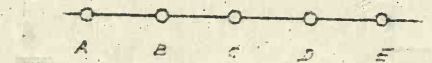


Fig. 299

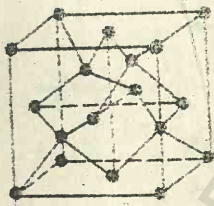


Fig. 300 a

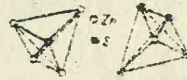
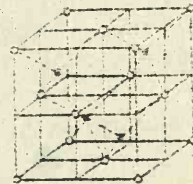
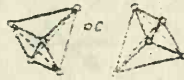
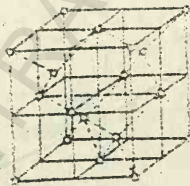


Fig. 300 b.

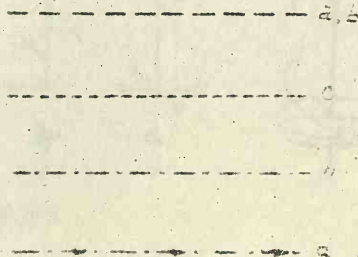


Fig. 301.

SIMETRIA STRUCTURII INTERNE AXE



Fig. 302a

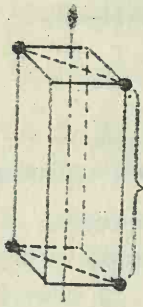


Fig. 302b



Fig. 303a



Fig. 304

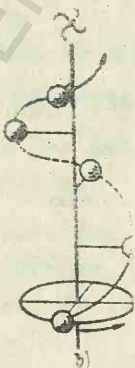


Fig. 304c

ELEMENTE DE SIMETRIE II

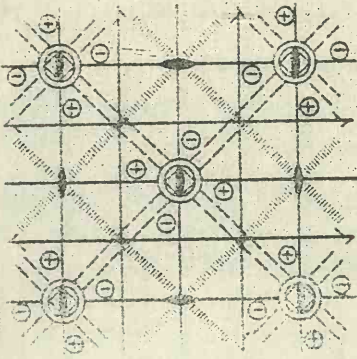


Fig. 304 b.



Fig. 305 b.

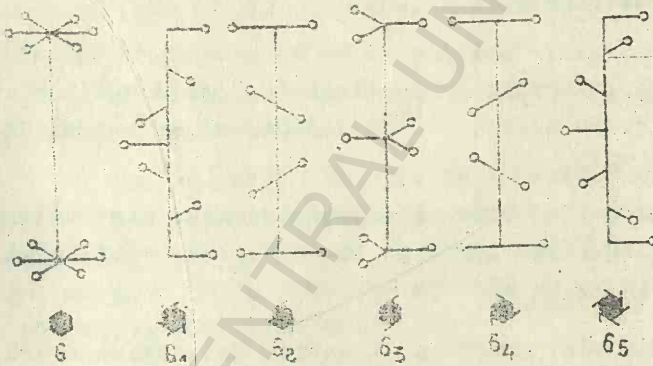


Fig. 305.

Axele helicoidale se notează cu cifra corespunzătoare ordinului axei, lângă care se scrie, în dreapta jos, un indice care, raportat la ordinul axei, dă mărimea componentei de translație.

Vom avea deci axele helicoidale $2_1, 3_1, 3_2, 4_1, 4_2, 4_3, 6_1, 6_2, 6_3, 6_4$ și 6_5 .

Se deosebesc de asemenea axe helicoidale drepte sau dextrogire și stîngi sau levogire.

Se consideră dextrogire axele la care, privind de-a lungul direcției de translație, rotirea se face în sensul acelor de ceasornic și levogire cele la care rotirea se face invers.

Axa helicoidală binară 2_1 , este în același timp și dreaptă și stîngă (fig. 302).

Trihelicogira 3_1 este dreaptă pe cînd trihelicogira 3_2 este stîngă (fig. 303).

La axele cuaternare se deosebește o helicogiră dreaptă (4_1), o helicogiră stîngă (4_3) și o helicogiră neutră (4_2), cu același efect, indiferent de sensul de rotirii (fig. 304).

La axele senare se deosebesc două axe dextrogire (6_1 și 6_2), două axe levogire (6_4 și 6_5) și o helicogiră neutră (6_3), (fig. 305).

Simbolul grafic al fiecărei helicogire arată simetria, ordinul, axei și sensul rotirii, așa cum sînt desenate în figurile arătate mai sus, pentru pozițiile verticale.

Pentru pozițiile cîizontale pe care le pot avea tetrahelicogirele și dihelicogira și pentru pozițiile oblice pe care le poate avea dihelicogira și trihelicogirele, sînt alte semne, mai complicate.

2. ASOCIEREA ELEMENTELOR DE SIMETRIE ÎN STRUCTURA INTERNĂ

GRUPE SPAȚIALE

Prin asocierea elementelor de simetrie simple și complexe după anumite reguli (în cazul nostru pe baza teoremelor enunțate) s-a ajuns la cele 32 de aranjamente și grupări de elemente de simetrie ce caracterizează clasele de simetrie, în care sînt cuprinse toate poliedrele cristaline.

Asociind după aceleași reguli, elementele de simetrie ale poliedrelor cristaline și cele noi, caracteristice structurii interne a cristalelor, se ajunge la formarea a 230 grupe de elemente de simetrie, aranjate regulat în spațiu și repetate în serii paralele, la infinit. Acestea s-au numit grupe spațiale și au fost deduse matematic, așa cum am mai amintit, mai întîi de către Fedorov și Schoenflies.

Ca și clasele de simetrie, fiecare grupă spațială are formula sa de simetrie.

Aceste grupe spațiale se repartizează la rîndul lor în cele 32 clase de simetrie pe care le-am stabilit la poliedrele cristaline. Numărul de grupe spațiale din diferite clase variază de la 1 (clasa monocentrică și pinacoidală pînă la 28 (clasa rombopiramidală).

Notăția prescurtată după Schoenflies se face adăugînd la notația clasei o cifră care arată numărul grupei în clasa respectivă. Numărul se scrie în partea dreaptă, sus, a primei litere din simbol, de ex., pentru cele 4 grupe spațiale care există în clasa C_3 , notațiile sînt:

C_3^1 , C_3^2 , C_3^3 , și C_3^4 . Notația Maugain și cea internațională pleacă de la notația clasei în sistemul respectiv, adăugîndu-se în fruntea simbolului litera care arată tipul de rețea Bravais și, intercalat, elementele de simetrie caracteristice

structurii interne (plane de alunecare după plane simple, axe helicoidale după axe simple sau complexe).

Grupele din clasa 3, de mai sus, se scriu respectiv, P_3, P_3, P_3, R_3 .

Vom exemplifica combinațiile de elemente de simetrie posibile în structura internă, chiar cu această clasă.

- În clasa trigonal-piramidală sînt, după cum am văzut, 4 grupe spațiale:

- Grupa C_3^1 , respectiv - P_3 este formată numai din axe trigonale simple (gyre) paralele cu axa cristalografică z (fig. 306 a);

- Grupa spațială $C_3^2 - P_3$ este formată numai din trihelicogire dextragire cu componenta helicoidală $\frac{C}{3}$, așezate în locul trigirelor din grupa a (fig. 306 b);

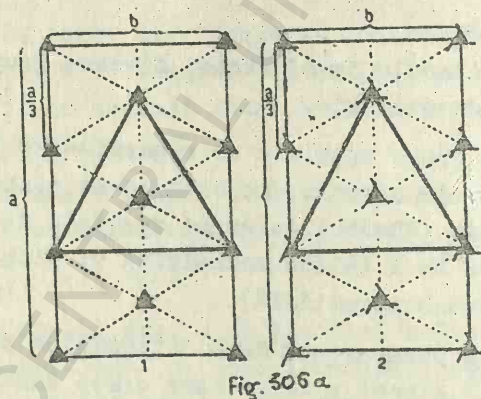


Fig. 306 a.

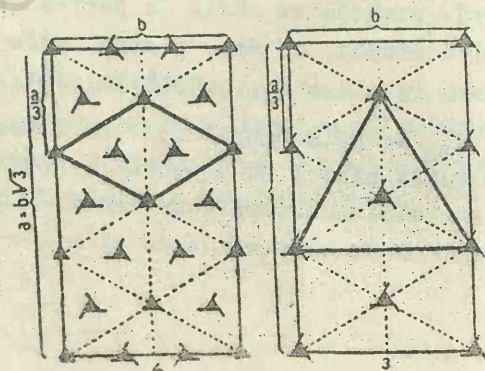


Fig. 306 b.

- Grupa spațială $C_3^3 - P 3_2$ este formată numai din trihelicogire levogire cu aceeași componentă și cu aceeași poziție (fig. 306 c);

- Grupa spațială $C_3^4 - R 3$ este constituită din axele trigonale simple cu poziția din grupa C_3^1 , combinate cu trihelicogire dextrogire și levogire așezate alternativ, câte trei din fiecare, în jurul fiecărei trigire (fig. 306 d).

3. SISTEME REGULATE DE PUNCTE

Așa cum am văzut la proiecția stereografică a elementelor de simetrie ale celor 32 de clase, și aici există un spațiu delimitat de elemente de simetrie, prin care nu trece nici un element de simetrie, ca și la triunghiurile sferice elementare. Acesta se cheamă "domeniul fundamental".

Particulele constitutive ale substanței cristaline ocupă față de acest domeniu fundamental, poziții analoge cu cele ocupate de proiecțiile polilor de fețe în triunghiul sferic elementar; în interiorul domeniului fundamental ca poziții generale, pe axele de simetrie și pe planele de simetrie, care delimitează domeniul fundamental, ca poziții particulare.

Să considerăm grupa spațială $P mm-C_{2v}^1$ din clasa rombopiramidală. Această grupă spațială rezultă din combinarea grupului de elemente $L^2 2P$ cu grupul de translații (T_1, T_2 și apoi T_3), fig. 307 a.

În jurul grupului punctiform $L^2 2P$ s-ar repeta polii fețelor de piramidă rombică (fig. 307 b).

Reflectarea oricărui punct în planul de simetrie sau rotirea lui în jurul axei de simetrie, sau în fine, translația lui, îl deplasează într-o poziție de suprapunere cu un punct simetric egal.

GRUPE SPAȚIALE SISTEME REGULATE DE PUNCTE

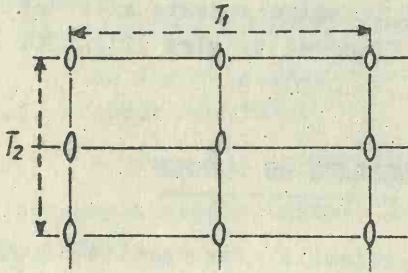


Fig. 307 a

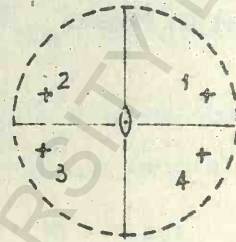


Fig. 307 b.

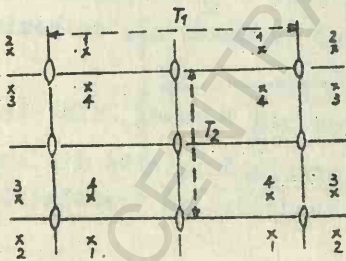


Fig. 307 c

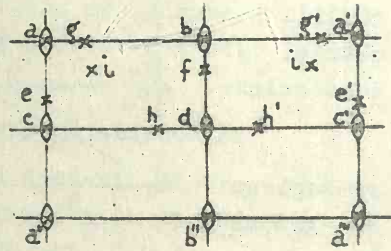


Fig. 308

În rețeaua infinită, întregul sistem de puncte din fig. 307 b, se suprapune cu sine însuși (fig. 307 c).

Am considerat aici proiecția după planul perpendicular pe axa z ; prin efectul celei de-a treia translații, T_3 , în direcția acestei axe, tot sistemul se multiplică și se formează celulele elementare.

Punctele care se repetă conform simetriei acestei grupe spațiale formează rețele tridimensionale, întrepătrunse și congruente, de tipul rețelelor Bravais, pentru fiecare fel de atomi sau ioni care intră în compoziția cristalului.

Un punct situat în poziția generală are trei grade de libertate, un punct situat pe un plan de simetrie are două grade de libertate, iar un punct situat pe o axă de simetrie are un singur grad de libertate. Pentru un punct situat în centrul de simetrie, gradul de libertate se reduce la zero.

Pe măsură ce scade numărul gradelor de libertate simetria ansamblului scade, însă simetria punctului crește, în cazul gradului de libertate zero fiind maximă.

În grupa spațială Pmm sînt, după cum se poate vedea (fig. 308), 9 poziții în care se poate situa punctul generator (a, b, c, d, e, f, g, h și i). Sînt posibile 9 sisteme regulate de puncte. Dintre acestea, sistemul (i) este sistemul general, iar celelalte sînt sisteme particulare.

Așa cum am stabilit cu ajutorul proiecției stereografice numărul formelor simple posibile la cristale, putem să stabilim și numărul de "sisteme regulate de puncte" în fiecare grupă spațială, repetînd după elementele de simetrie ale motivului cristalin, un punct generator de rețea pentru fiecare din pozițiile pe care le oferă domeniul fundamental. S-a calculat astfel că sînt posibile 654 de sisteme regulate de puncte, așa cum la poliedrele cristaline se găsesc 49 de forme simple posibile.

După cum la poliedre era important numărul de fețe al diferitelor forme simple, la structuri este esențial numărul de puncte ce revin unei celule elementare.

Poziția particulelor din celula elementară se determină cu ajutorul coordonatelor de bază.

4. DEFINIREA POZIȚIEI PUNCTELOR, DIRECȚIILOR ȘI PLANELOR DIN REȚEAUA CRISTALINA PRIN SIMBOLURI.

4.1. Notăția punctelor.

După cum pentru a caracteriza un poliedru cristalin a fost nevoie să notăm fețele de cristal prin indici, care definesc poziția lor relativă, tot astfel, pentru definirea poziției elementelor componente ale structurii interne, în rețea, este necesar să notăm aceste puncte care reprezintă atomi sau ioni, în raport cu un sistem de axe de coordonate.

Pentru aceasta se aleg trei axe de coordonate, x , y și z , pe care se construiește paralelepipedul elementar. Acesta este definit prin direcția și lungimea muchiilor, prin relația axială, care se compune, ca și la poliedrele cristaline, din raportul dintre unghiuri și din raportul dintre parametri. Axele considerate sînt deci tot axe cristalografice.

Rețeaua unui cristal constă din repetarea la infinit a paralelepipedelor elementare, ale celulelor elementare, care conțin toate punctele caracteristice ale motivului cristalin realizat prin translații simple.

Dacă se definește poziția fiecărui punct caracteristic, adică se stabilește așezarea particulelor constitutive ale cristalului, atunci se cunoaște "sistemul regulat de puncte" căruia aparține.

Paralelepipedul elementar se construiește pe părțile pozitive ale axelor și coordonatele unui punct se înseamnă pentru cele 3 axe, respectiv, cu x , y și z , iar simbolul punctului se scrie între paranteze drepte duble: $[[xyz]]$.

Simbolul punctului din originea axelor, 0 (fig. 309), va fi deci $[000]$.

Punctul A din colțul paralelepipedului, situat pe axa x va avea simbolul $[100]$; punctul B din colțul situat pe axa y va avea simbolul $[010]$; punctul C situat pe axa z $[001]$; punctul A', $[\bar{1}01]$; Punctul B' $[0\bar{1}1]$; punctul C' $[1\bar{1}\bar{1}]$ etc.

Toate aceste puncte fiind analoge cu punctul 0, și coordonatele lor sînt analoge cu $[000]$.

Simbolurile punctelor situate în interiorul sau în afara paralelepipedului elementar vor avea forme m+r, n+s, p+t în care (rst) este simbolul colțurilor (coordoanatele de bază), iar m,n,p sînt fracții raționale și mici.

Luînd pe axele y și z o rețea plană care intersec-tează pe x în origine (fig.310), vom avea pentru punctul A simbolul $[000]$, pentru punctul B, $[010]$, pentru punctul C, $[001]$, iar mai departe, pentru punctul D, $[0 \frac{1}{4} \frac{3}{4}]$, pentru E, $[0 \frac{1}{2} \frac{1}{2}]$, pentru F, $[0 \frac{3}{4} \frac{1}{4}]$ pentru G, $[0 \frac{1}{4} \frac{1}{4}]$ etc.

În cazul blendei (ZnS), cu rețeaua cub centrat pe fețe (fig. 311) ionii de Z vor fi notați:

A, cu $[\frac{3}{4} \frac{1}{4} \frac{3}{4}]$, B cu $[\frac{1}{4} \frac{3}{4} \frac{3}{4}]$, C cu $[\frac{1}{4} \frac{1}{4} \frac{1}{4}]$ și D cu $[\frac{3}{4} \frac{3}{4} \frac{1}{4}]$, iar ionul de sulf E, cu $[\frac{1}{2} \frac{1}{2} 0]$ etc.

4.2. Notăția direcțiilor

Direcția unui șir reticular se definește ca și axa de zonă pe care am notat-o la poliedrele cristaline prin indici puși între paranteze drepte.

Ca și muchiile poliedrelor cristaline, șirurile re-ticulare paralele sînt identice și deci oricare șir reticular are corespunzător un șir identic, paralel, care trece prin ori-ginea axelor. Poziția sa este definită deci prin coordonatele unui singur punct de pe șir ca și în cazul axei de zonă.

NOTAȚIA PUNCTELOR

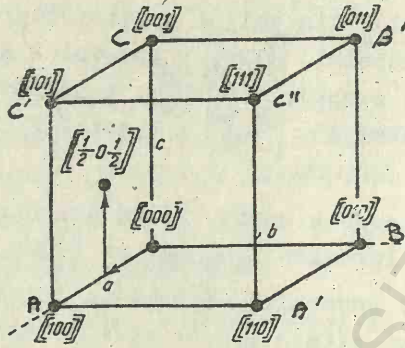


Fig. 309

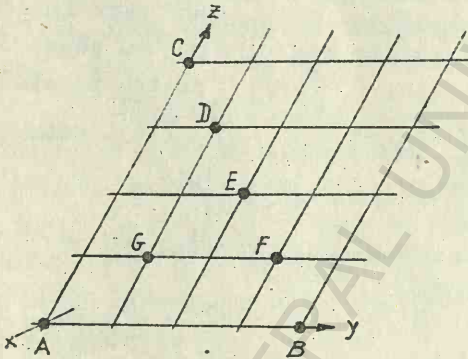


Fig. 310.

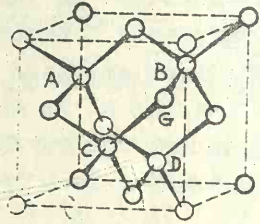


Fig. 311

NOTAȚIA DIRECTIILOR

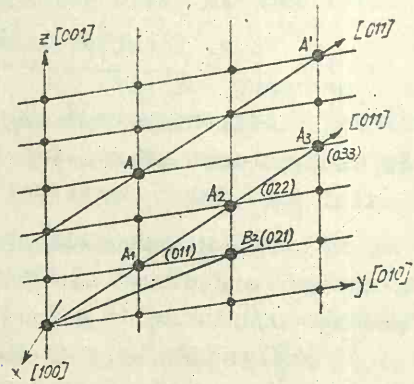


Fig. 312.

Astfel de ex.șirul A (fig. 312), în urma unei translații, se suprapune cu șirul A_1 , al cărui simbol este $[011]$, după coordonatele punctului A_1 . Și, de altfel, coordonatele oricărui punct de pe această direcție; $A_2 [022]$, $A_3 [033]$ etc. se reduc la aceeași valoare; simbolul direcției AA' este $[011]$. Axele cristalografice însăși vor avea simbolurile: $[100]$ pentru axa x, $[010]$ pentru axa z.

Și în acest caz indicii se notează în general prin $[uvw]$ ca și la axele de zonă. Orice valoare a lor, în cazul axelor cristalografice, poate fi redusă la unitate, ca în notațiile arătate.

4.3. Notația planelor reticulare

Ca și în cazul fețelor de cristal, poziția planelor reticulare se definește prin raportul dintre indici, iar simbolul se scrie (h k l) ca și în cazul fețelor de cristal. Și în acest caz, indicii sînt inversul caracteristicilor parametrilor.

Toate planele reticulare paralele au același simbol, ele putînd fi deplasate paralel cu poziția lor inițială, fără a li se schimba orientarea în raport cu axele cristalografice.

Astfel, dacă considerăm planul reticular yoz (fig. 313) și luăm o serie de plane reticulare perpendiculare pe acesta și paralele între ele $P, P_1, P_2, P_3, P_4, P_5, P_6 \dots$ vom avea după punctele lor de intersecție cu axele, următoarele notații în parametri:

$$P = \infty a : 3 b : 2 c \text{ sau } \frac{1}{\infty} : \frac{1}{3} : \frac{1}{2} = (023);$$

$$P_1 = \infty a : \frac{5}{2} b : \frac{5}{3} c = \frac{1}{\infty} : \frac{2}{5} : \frac{3}{5} = (023);$$

$$P_2 = \infty a : 2 b : \frac{4}{3} c = \frac{1}{\infty} : \frac{1}{2} : \frac{3}{2} = (023);$$

$$P_3 = \infty a : \frac{2}{2} b : c = \frac{1}{\infty} : \frac{2}{3} : \frac{1}{1} = (023);$$

$$P_4 = \infty a : b : \frac{2}{3} c = \frac{1}{\infty} : \frac{1}{1} : \frac{3}{2} = (023) ;$$

$$P_5 = \infty a : \frac{1}{2} b : \frac{1}{3} c = \frac{1}{\infty} : \frac{2}{1} : \frac{3}{1} = (023) ;$$

adică aceeași notație.

Cei mai mari parametri pe care o serie de plane reticulare de simbol (hkl) , respectiv (023) taie cele trei axe cristalografice sînt : $\frac{1}{h} a$; $\frac{1}{k} b$ și $\frac{1}{l} c$, în cazul nostru $\frac{1}{0} a$, $\frac{1}{2} b$ și $\frac{1}{3} c$.

Echidistanța unei serii paralele de plane reticulare cu simbolul (hkl) este determinată prin acești indici și se înseamnă cu d_{hkl} , în cazul de față, d_{023} .

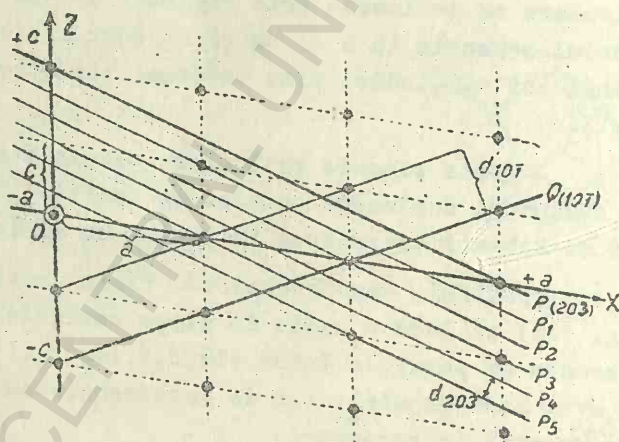


Fig. 315.

2.

CRISTALOGRAFIA GEOMETRICA.

B. STRUCTURA INTERNA A CRISTALELOR

XII. DETERMINAREA RADIO-
METRICA A STRUCTURII
INTERNE A CRISTALELOR.

A. R O E N T G E N O M E T R I A C R I S T A L E L O R .

1. IPOTEZE

1.1. Natura razelor X.

Încă de la descoperirea lor de către Roentgen, în 1895, s-a pus ipoteza că, asemănător cu razele luminoase, razele X ar fi tot de natură oscilatorie.

Pentru radiațiile luminoase însă, se cunoștea¹ proprietatea de difracție la trecerea lor prin fante înguste și se cunoșteau procedee de determinare, cu ajutorul rețelelor de difracție, a lungimilor de undă, care le caracterizează.

În ceea ce privește razele X, natura lor oscilatorie era argumentată doar de faptul că nu erau deviate din drumul lor de către un câmp magnetic, așa cum sînt deviate radiațiile corpusculare, respectiv razele catodice, descoperite cu aproape 30 de ani înainte.

Se știa că pentru difracția razelor luminoase sînt necesare rețele cu deschideri de același ordin de mărime cu lungimea lor de undă, respectiv, rețele cu 50- 300 zgîrieturi pe un mm. și s-a bănuț că difracția razelor X nu s-ar fi produs, în condițiile experimentate, din cauză că acestea

ar avea lungimi de undă mai mici.

După această idee, o serie de cercetători (Wind, Walter, Pahl etc) au întrebuințat o fantă în formă de V, deci cu deschiderea din ce în ce mai mică, obținând în cele din urmă, mai multe diagrame de difracție a razelor X.

Din aceste diagrame, Sommerfeld (1912) a calculat pentru razele X lungimi de undă de ordinul $X = 4 \cdot 10^{-9}$ cm., adică aproximativ de 10.000 de ori mai mici decât cele ale razei galbene de sodiu din spectrul luminos ($5,89 \cdot 10^{-5}$ cm.).

Natura oscilatorie a razelor X era, în parte, confirmată, dar rezultatele obținute, lipsite de precizie, nu dădeau posibilitatea determinărilor exacte de lungimi de undă.

1.2. Structura reticulară a cristalelor

Încă de la 1690, fizicianul olandez Christian Huyghens, și-a fundamentat teoria sa asupra legilor de propagare a luminii plecând de la ipoteza unui aranjament regulat al particulelor care constituie cristalele de calcită și alte cristale.

Pe baza aranjamentului regulat al elementelor geometrice care îmbracă de multe ori cristalele (Lomonsov, Fedorov etc.), sau pe baza formelor poliedrice regulate care rezultă prin olivajul unor cristale (Haüy etc.), s-a pus de asemenea ipoteza structurii interne regulate a materiei cristalizate.

În fine, prin aplicarea din ce în ce mai completă a operațiilor de simetrie la către Bravais, Sohncke și în sfârșit de către Schoenflies și Fedorov, s-a ajuns să se stabilească toate posibilitățile de grupare și aranjare a particulelor componente ale cristalelor în cele 230 de grupe spațiale.

În această concepție și a ideilor lui Haüy asupra formei celulei elementare, după cunoașterea numărului lui

Avogadro, s-au putut face ipoteze și asupra dimensiunilor paralelepipedelor elementari care ar compune cristalele, precum și asupra distanțelor dintre atomii moleculelor care ar constitui acești paralelepipedii.

Așa s-a determinat latura d a cubului de clorură de sodiu din volumul moleculei sale prin următorul calcul simplu:

$V = d^3 = \frac{M}{D}$ cmc., în care V este volumul molecular al NaCl , M este masa unei molecule de NaCl , obținută din împărțirea echivalentului gram ($23+35,46=58,46$) prin numărul lui Avogadro ($N=6,06 \cdot 10^{23}$) și D este densitatea clorurii de sodiu ($D=2,168$).

Înlocuind cu aceste cifre termenii formulei de mai sus, rezultă:

$$V = d^3 = \frac{58,46}{2,168 \times 6,06 \cdot 10^{23}} \text{ cmc.} = 44,9 \text{ \AA}^3,$$

de unde, $d = \sqrt[3]{44,9} = 3,546 \cdot 10^{-8} \text{ cm.}$, valoarea comparabilă cu cea obținută de Sommerfeld pentru lungimea de undă a razelor X.

2. CONCEPTIA LUI LAUE

În acest studiu al cunoștințelor despre razele X și despre structura internă a cristalelor, fizicianul Max von Laue a avut suficiente elemente pe care să-și bazeze ideea genială de a le uni într-o concepție unitară ce avea să rezolve definitiv problema razelor X și totodată să confirme pe deplin ipotezele cu privire la structura reticulară a cristalelor.

Dacă întradevăr particulele componente ale cristalelor sînt așezate în rețele ale căror șiruri reticulare sînt situate la distanțe de cîțiva angströmi, iar razele X sînt de natură ondulatorie și au lungimi de undă de același ordin, înseamnă că tocmai cristalele trebuie să constituie

rețelele de difracție pentru razele X, atât de căutate, dar imposibil de realizat prin mijloacele tehnice obișnuite. La trecerea prin cristale trebuie să se producă difracția și interferența razelor X.

Acest lucru a fost realizat experimental de către asistenții lui Laue, W. Friedrich și P. Knipping în același an (1912).

2.1. Interferența razelor difractate

Laue pleacă de la ideea că în cristal se află mai multe serii de plane reticulare cu echidistanțe diferite și diferit înclinate față de direcția razelor X incidente.

În drumul lor prin cristal, o parte din raze trec nedeviate și produc o pată centrală pe placa fotografică așezată în partea opusă sursei de raze X.

Alte raze sînt difractate pe planele reticulare ale cristalului sub unghiuri diferite.

Aceste raze, rezultate prin difracția pe diferite noduri ale planului reticular, interferează pozitiv ori de cîte ori diferența lor de drum este egală cu un număr întreg de lungimi de undă, satisfăcîndu-se anumite relații dintre parametrii rețelei, unghiurile de înclinare față de razele X și lungimea lor de undă.

Intensitatea razelor rezultate crește în urma acestor interferențe și astfel se produce impresionarea plăcii fotografice, se produc pe placă anumite pete secundare.

Luîndu-se un șir reticular XX (fig. 314) cu parametrul a și considerînd că pe el cade, sub un unghi α_0 , un fascicol primar de raze X, S_1, S_2, S_3 etc. cu lungimea de undă λ , aceste raze se vor difracta pe nodurile rețelei, după un unghi α_h , în direcțiile S'_1, S'_2, S'_3 etc.

Coborînd din nodurile A și B perpendicularele AC și BD pe raza incidentă S_2 și pe raza difractată S'_1 vedem că diferența de drum a celor două raze, de la frontul de undă AC

pînă la frontul de undă BD, va fi egală cu AD-CB.

Interferența va fi pozitivă atunci cînd diferența de drum va fi egală cu un număr întreg de lungimi de undă:

$$\Delta = h\lambda = AD - CB.$$

Dar $AD = AB \cos \alpha_h = a \cos \alpha_h$, iar $CB = AB \cos \alpha_0 = a \cos \alpha_0$, așa că interferența va fi pozitivă atunci cînd:

$$\Delta = AD - CB = a \cos \alpha_h - a \cos \alpha_0 = a (\cos \alpha_h - \cos \alpha_0) = h\lambda.$$

La fel se deduc și ecuațiile pentru celelalte două direcții $y\bar{y}$ și $z\bar{z}$,

$$\Delta = b (\cos \beta_k - \cos \beta_0) = k\lambda \text{ și}$$

$$\Delta = c (\cos \gamma_l - \cos \gamma_0) = l\lambda$$

Fiecare atom difractează razele X în toate direcțiile, așa că pentru un maximum de interferență, razele difractate vor forma un con cu vîrfurile în atomul respectiv, cu axa în direcția șirului reticular din care face parte atomul și cu o deschidere α a cărei unghi variază cu ordinul de difracție $\lambda, 2\lambda, 3\lambda$ etc.).

În fig. (315) se văd conurile rezultate în cazul incidenței normale pe șirul de atomi și proiecția lor pe o placă fotografică a cărei plan este perpendicular pe fasciculul de raze incidente.

Asemenea conuri se formează în toate cele trei direcții pentru interferențele care satisfac ecuațiile respective.

Pentru a obține însă interferențe pozitive în cazul unui fascicul de raze X ce străbate rețeaua tridimensională este necesar ca direcțiile razelor difractate să fie situate simultan pe cîte trei suprafețe conice, adică să fie satisfăcute toate cele trei ecuații ale lui Laue.

În fig. 316 este reprezentată interferența a două suprafețe conice corespunzător rețelei plane, iar în fig. 317, interferența a trei asemenea suprafețe, corespunzător

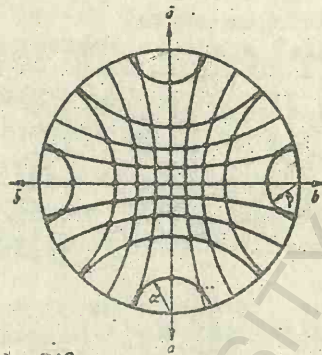
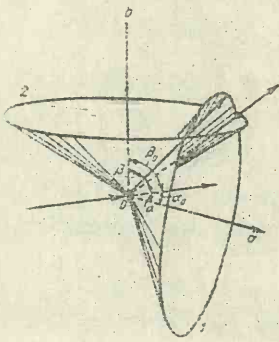


Fig. 316

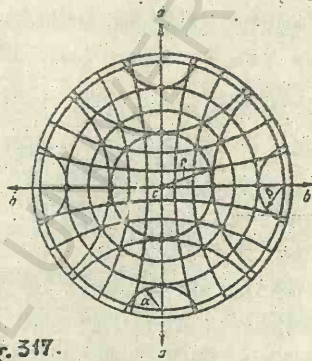
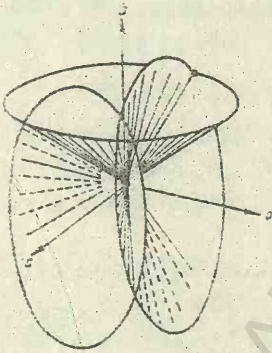


Fig. 317.

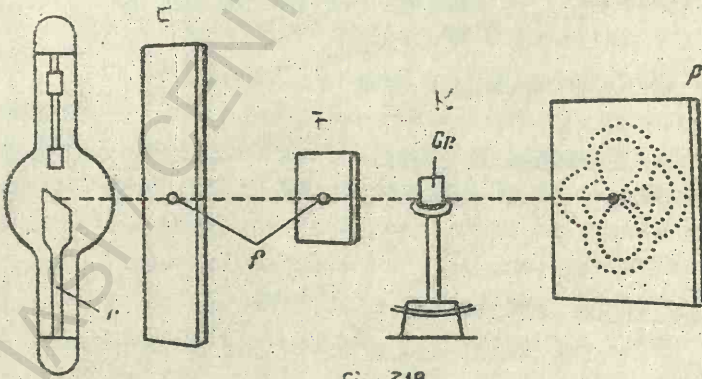


Fig. 318.

rețelei tridimensionale, pentru cazul particular al incidențelor rectangulare.

Coincidența ca o direcție carecare a fasciculului să fie comună la trei conuri de difracție este foarte puțin probabilă, așa că în cazul unei radiații monocromatice nu se poate produce interferența pozitivă decât în cazul unei anumite incidente $\alpha_0, \beta_0, \gamma_0$, determinată de parametrii celulei elementare.

Sînt două posibilități de a obține asemenea interferențe de difracție:

- Sau se trimite asupra cristalului un fascicul de raze X albe (cu spectru continuu) sub un anumit unghi de incidență (fix).

- Sau se trimite asupra cristalului un fascicul de raze X monocromatice (cu anumită lungime de undă) și se variază în mod continuu unghiul de incidență.

Laue a folosit primul procedeu.

Din numeroasele sisteme de conuri succesive de difracție care se produc pentru fiecare radiație din spectrul continuu, se găsește și o asemenea radiație, de o anumită lungime de undă, care să satisfacă ecuațiile lui Laue și deci a cărei conuri pe cele trei direcții să se intersecteze.

2.2. Metoda Laue

a. Dispozitivul Laue (fig. 318) este prevăzut cu un tub Roentgen (R) cu anticatoda de wolfram, de la care, printr-un sistem de ecrane de plumb cu fante de paralelizare E, F, trece un fascicul de raze X albe. În drumul lor, pe un suport reglabil, este așezat cristalul (K), astfel ca fasciculul să cadă, fie perpendicular pe o față cunoscută, fie în direcția unei axe de simetrie, a unei axe de zonă sau a unui plan de simetrie.

În dosul cristalului se găsește o placă fotografică (P).

b.- Razele X în spectru continuu (albe)

Supus la o tensiune, nu prea mare, care este variată între 20 și 65 KV, catoda tubului emite un curent de electroni accelerați care lovesc anticatoda cu o mare energie, insuficientă totuși, pentru pătrunderea lor în învelișul electronic al atomilor anodei^x).

Prin frînarea electronilor această energie se transformă în cea mai mare parte în căldură, dar o parte se transformă în cuante de fotoni $h\nu$, emisiune de raze X, a căror lungime de undă este invers proporțională cu tensiunea curentului electric.

Acest lucru este exprimat prin relația $eV = h\nu = \frac{h \cdot c}{\lambda}$, în care e este sarcina electronului, V = tensiunea în kV, h = constanta lui Planck, ν = frecvența radiației X și $\lambda = \frac{c}{\nu}$ în care c = constanta lui Einstein ($3 \cdot 10^{10}$).

Prin variația tensiunii rezultă un spectru continuu de raze X cu lungimi de undă cu atât mai scurte cu cât tensiunea este mai mare (fig.319), așa numitele raze X albe.

Intensitatea razelor X crește odată cu creșterea tensiunii și a numărului de ordine, al elementului din care este confecționată anticatoda, după ecuația:

$I \approx Z \cdot V^2 \cdot i$, în care Z este numărul de ordine al elementului iar i , intensitatea curentului de electroni. Pentru wolfram, molibden și crom, cu numere de ordine din ce în ce mai mici. $I_{W(74)} > I_{Mo(42)} > I_{Cr(24)}$ așa cum se vede din fig.320.

c.- Roentgenograma Laue sau Lauegrama,

Care se obține pe placa fotografică prin difracția razelor X albe în cristalul orientat din drumul lor, constă dintr-o serie de pete negre așezate simetric de-o x Importanța acestui fapt se va arăta la metoda Bragg.

LAUEGRAME I

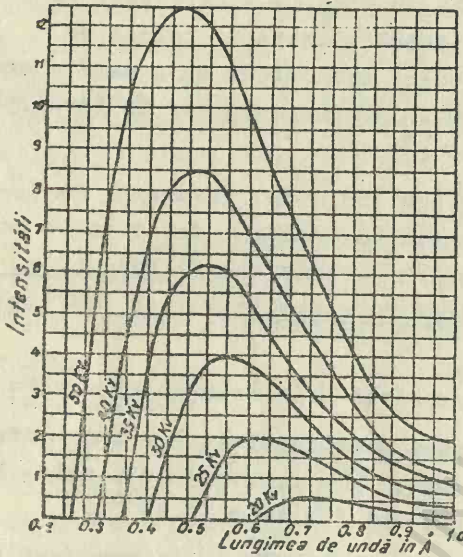


Fig. 319

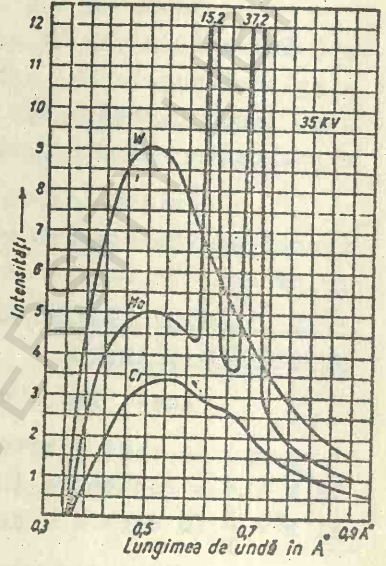


Fig. 320.

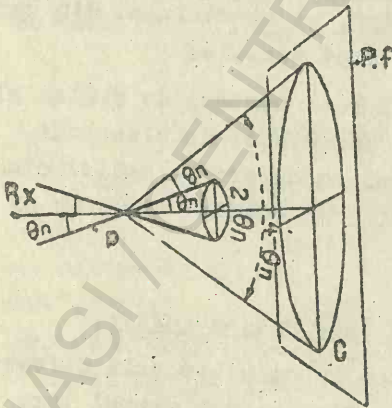


Fig. 321a

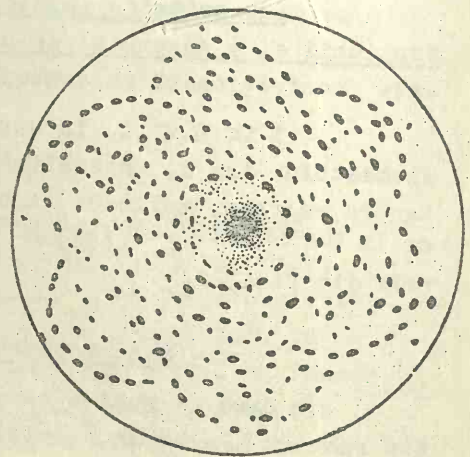


Fig. 321b.

parte și de alta a unei pete centrale, produsă de razele primare, care au trecut nedeviate.

Petele secundare sînt situate față de pata centrală la un unghi de difracție 2θ , de două ori mai mare decît unghiul de incidență al razelor care interferează (fig.321).

Aceste pete se pot transpune în proiecția stereografică pe rețeaua Vulf.

În (fig.322 a, b) sînt diagramele lui Laue pentru blendă, iar în (fig. 323 a,b) este dată diagrama silvinei după axa L^4 și proiecția sa stereografică cu cercurile de zonă.

Diagramele Laue dau o privire foarte clară asupra simetriei cristalului și posibilitatea de a nota ușor cu indicii planele reflectante. Cu ajutorul lor se pot determina ușor unele elemente de simetrie dar nu dau posibilitatea să se deosebească clasele cu centru de simetrie de cele fără centru și nici să se distingă polaritatea axelor, adică să se recunoască dacă o direcție este parcursă într-un sens sau altul.

În felul acesta, cele 32 clase de simetrie se reduc la 11 grupe de clase. Astfel, în sistemul cubic se deosebesc numai două grupe: grupa T_h , care cuprinde clasele T și T_h și grupa O_h , care cuprinde clasele T_d , O și O_h .

La fel, în sistemele din categoria mijlocie, sînt cîte două grupe de clase de simetrie, iar în sistemele din categoria inferioară, numai cîte o singură grupă.

Pentru obținerea lausgramelor sînt necesare cristale bine formate care să fie așezate în dispozitiv pe anumite direcții sau trebuie să se folosească secțiuni cu orientare precisă.

Indicații importante pentru recunoașterea structurii dă și intensitatea petelor obținute pe placa fotografică, dar în metoda Laue, măsurarea acestei intensități constituie o problemă dificilă.

LAUEGRAMME

II

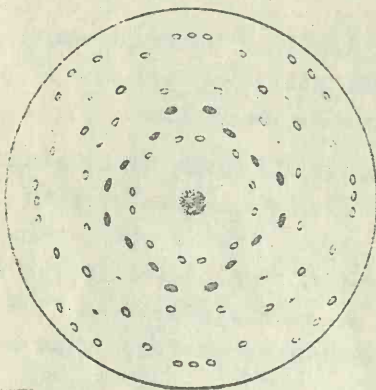


Fig. 322 a

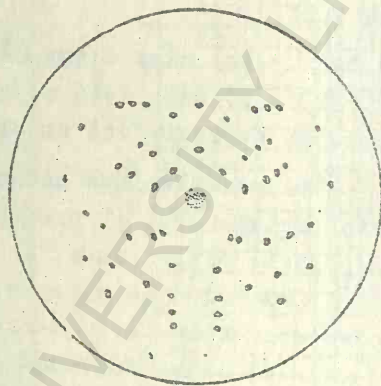


Fig. 322 b

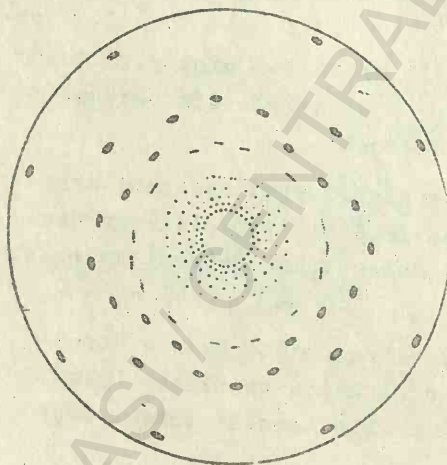


Fig. 323 a

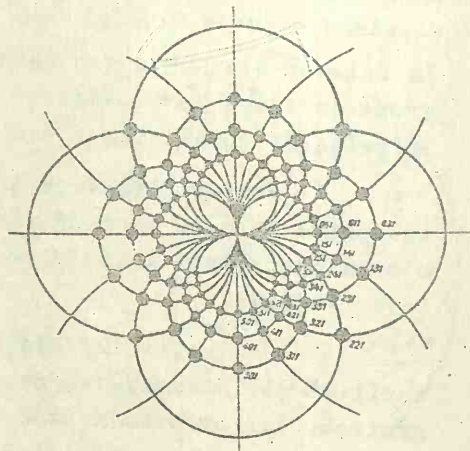


Fig. 323 b

3. CONCEPȚIA LUI BRAGG

În anul următor (1913) după publicarea lucrărilor lui Laue, fizicianul englez W.I.Bragg formulează o teorie după care se consideră că razele X ce pătrund în cristal se reflectă pe diferitele sisteme de plane reticulare, iar razele reflectate pe planele reticulare echivalente, interferează pozitiv în funcție de diferența de drum.

Acest fenomen, într-adevăr asemănător cu reflexia difteritelor radiații pe fețele de cristal, este totuși de natură internă și se produce pe planele reticulare ale cristalului, indiferent de forma suprafeței lui.

Interferența razelor astfel reflectate, are tot un caracter difractiv, dar explicația fenomenului este mult mai simplă decât în teoria lui Laue.

3.1. Relația Bragg-Vulf

Considerînd o serie de rețele atomice (1,2,3) ale cristalului, paralele și echidistante, se ia un fascicul paralel de raze Roentgen monocromatice (p, q, \dots) cu lungimea de undă λ , care cade oblic pe rețelele 1,2,3, după un unghi θ (fig.324).

Raza p cade pe rețeaua 1 în punctul C și se reflectă pe aceasta în direcția P_1 ; raza q cade pe rețeaua 2 în punctul A și se reflectă în aceeași direcție P_1 ; în aceeași direcție se va reflecta și raza r și alte raze ale sistemului 1,2,3 .. în număr foarte mare.

Toate acestea vor interfera. Rezultatul interferenței depinde de diferența de drum a razelor.

Interferența va fi pozitivă, razele se vor aplica reciproc în cazul diferențelor de drum egale cu un număr întreg de

lungimi de undă, adică atunci cînd $\Delta = n\lambda$, n fiind un număr întreg, 1, 2, 3 . .

Goborînd perpendiculara AB din A pe p și perpendiculara CD din C pe rețeaua 2, se vede că întârzierea $\Delta = AC - BC$.

Din triunghiul ABC rezultă că:

$$BC = AC \cos 2\theta \text{ așa că } \Delta = AC - AC \cos 2\theta = AC (1 - \cos 2\theta) \quad (1)$$

Înlocuind în această relație pe 1 după ecuația $\sin^2 \theta + \cos^2 \theta = 1$ și pe $\cos 2\theta$ după relația $\cos^2 \theta - \sin^2 \theta = \cos 2\theta$ va rezulta:

$$\Delta = AC (1 - \cos 2\theta) = AC (\sin^2 \theta + \cos^2 \theta - \cos^2 \theta + \sin^2 \theta) = AC (2 \sin^2 \theta) = 2 AC \sin^2 \theta \quad (2).$$

Din triunghiul dreptunghic ADC, cu cateta $CD = d$, rezultă că $AC \sin \theta = CD$ sau : $AC = \frac{CD}{\sin \theta} = \frac{d}{\sin \theta} \quad (3)$ încît $\Delta = 2 \frac{d}{\sin \theta} \cdot \sin^2 \theta = 2d \sin \theta$ sau $\Delta = n\lambda = 2d \sin \theta \quad (4).$

Aceasta este ecuația lui Bragg, ce stă la baza tuturor metodelor de roentgenometrie a cristalelelor, afară de metoda Laue.

Tot după această concepție, pe alte căi, I.V.Vulf a ajuns la o formulă asemănătoare și de aceea se mai numește și relația Bragg-Vulf.

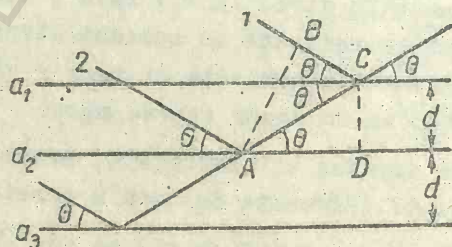


Fig. 324.

3.2. Legea reflexiei razelor Roentgen pe seria planelor echidistante

Pentru diferite ordine de reflexie, formula Bragg-Vulf devine: $\lambda = 2 d \sin \theta_1$ - ordinul 1;

$2\lambda = 2 d \sin \theta_2$ - ordinul 2;

$3\lambda = 2 d \sin \theta_3$ - ordinul 3 etc.

Impărțind aceste ecuații ajungem la raportul :

$\sin \theta_1 : \sin \theta_2 : \sin \theta_3 \dots = 1:2:3 \dots$, care exprimă

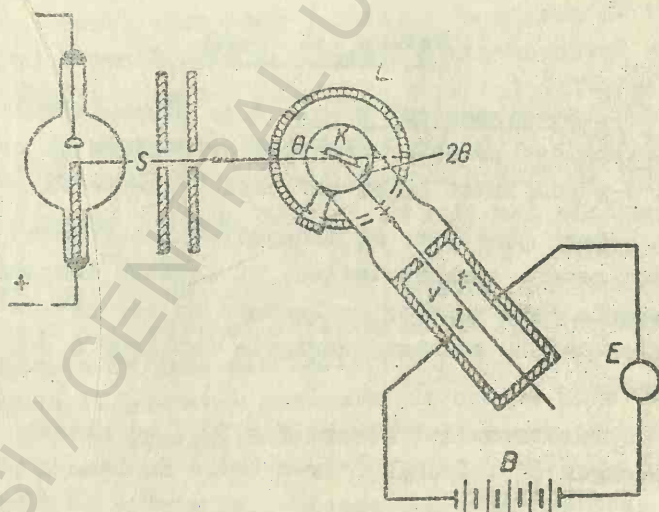


Fig. 525.

legea reflexiei razelor Roentgen pe seria planelor reticulare, lege care se formulează în felul următor:

Razele Roentgen cu o anumită lungime de undă se reflectă de un anumit plan reticular al cristalului sub unghiurile $\theta_1, \theta_2, \theta_3$ etc. iar raportul sinusurilor acestor unghiuri este egal cu raportul unor numere întregi și simple.

De ex., razele Roentgen cu $\lambda = 0,5865 \text{ kX}$ ($1 \text{ kX} = 0,002 \text{ \AA}$) pe fețele de cub (100) ale KCl, sub unghiurile: $\theta_1 = 5^\circ 23'$; $\theta_2 = 10^\circ 49'$; $\theta_3 = 16^\circ 20'$, de unde, $\sin \theta_1 : \sin \theta_2 : \sin \theta_3 = \sin 5^\circ 23' : \sin 10^\circ 49' : \sin 16^\circ 20' = 0,094 : 0,282 = 1:2:3$.

Formula Bragg-Vulf se folosește la calculul echidistanței d cu raze X caracteristice a căror lungime de undă este cunoscută și deasemenea la determinarea lungimii de undă cu substanțe cristalizate care au echidistanța dintre planele reticulare, d , cunoscută.

3.3. Metoda lui Bragg

a. Spectrometrul Bragg este dispozitivul cu care s-au determinat primele structuri cristaline și cu ajutorul căruia s-a confirmat legea reflexiei razelor X.

Spre deosebire de dispozitivul lui Laue, aici se folosesc raze X caracteristice, cu anumită lungime de undă, iar interferența razelor reflectate se bazează pe cel de-al doilea principiu enunțat: variația continuă a unghiului de incidență.

Spectrometrul Bragg (fig.325) se compune dintr-un tub Roentgen (R), închis într-o cutie de lemn căptușită cu tablă de plumb de 2 mm. grosime, un sistem de diafragme și fante (D,F) cu care se aranjează lărgimea și se paralelizează fasciculul de raze incidente, un goniometru cu un singur cerc (G) pe care se așează cristalul (K) într-o anumită orientare și o cameră de ionizare (I) alimentată de un acu-

ma tor (A) și prevăzută cu un aparat electric de măsură foarte sensibil (E).

b. Razele X caracteristice sau monocromatice

Mărind tensiunea curentului electric care alimentează tubul de raze X peste o anumită limită (în cazul tubului cu anticatoda de wolfram, peste 69 kV), se produc, pe lângă razele X albe și niște radiații aproape monocromatice, caracteristice pentru metalul din care este făcută anticatoda și care sînt mult mai intense decît radiațiile în spectru continuu.

Ridicînd tensiunea peste anumite limite, uneori la sute de mii de volți, electronii emiși de catodă sînt așa de puternic accelerați, capătă o energie atît de mare, încît pătrund în interiorul învelișului electronic al atomului anticatodei și smulg electroni din învelișurile profunde ale acestora, aducîndu-i în stare de excitație.

Atomii trec însă repede de la starea de excitație la starea normală prin deplasarea dintr-un nivel superior a unui electron care-l înlocuiește pe cel îndepărtat.

La trecerea electronului de pe un nivel energetic superior pe unul inferior se emite o cantitate de fotoni, raze X cu o anumită lungime de undă, cu atît mai mică cu cît tensiunea este mai mare și cu cît numărul de ordine al atomului anticatodei este mai mare, după ecuația menționată în cazul razelor X albe și după legea lui Moseley care arată că lungimile de undă ale radiațiilor X sînt invers proporționale cu patratul numărului de ordine al atomului micșorat cu o anumită constantă, după ecuația:

$$\sqrt{\nu} = \left(\frac{1}{\lambda}\right)^2 = A^2 \cdot (Z-B)^2 \text{ unde } \nu \text{ este frecvența, } Z \text{ numărul de ordine, } A \text{ și } B \text{ constante.}$$

Razele X caracteristice se înseamnă cu litera nivelului energetic de pe care a fost smuls electronul și

cu un indice care arată de ce electron din stratul superior a fost înlocuit.

Astfel, în cazul anticatodei de wolfram, la smulgerea electronului din stratul K se vor produce radiații K. Dacă aceasta este înlocuit cu un electron din stratul L III, razele se vor nota cu K_{α_1} , iar din L III, cu K_{α_2} .

Dacă electronul înlocuitor coboară de pe nivelul M II sau M III se va nota cu K_{α_1} , iar de pe nivelul N II sau N III, cu K_{α_2} .

Și în cazul razelor caracteristice intensitatea este direct proporțională cu numărul de ordine al atomului și cu patratul tensiunii, așa că la tensiunile mari la care se lucrează, intensitatea lor va fi foarte mare.

c. Modul de lucru.

Odată cristalul așezat și bateria de acumulatori conectată la camera de ionizare, se pune în funcție tubul de raze X și dispozitivul de rotire a cristalului și camerei.

Razele X monocromatice, reflectate pe planele rețiculare ale cristalului trec printr-o foiță de aluminiu în camera de ionizare.

După cum s-a mai arătat, în cazul general adică la o înclinare oarecare, razele monocromatice reflectate de cristal nu interferează. Circuitul camerei de ionizare rămîne deschis, gazul din interiorul camerei de ionizare fiind rău conducător de electricitate.

În anumite poziții de rotire a cristalului însă, oînd unghiul de reflexie a razelor X dă posibilitatea satisfacerii relației Bragg-Vulf, razele interferează pozitiv și amplificate, trec prin foița de aluminiu în camera de ionizare, unde ionizează gazul făcîndu-l bun conducător și închizînd circuitul.

Intensitatea curentului de ionizare și deci a fluxului

de raze X pentru reflexiile de diferite ordine sînt indicate de microamperetrul E.

d. Diagramele Bragg.

Măsurătorile gonimetrice și electrice se trec în diagrame binare cu valorile unghiului θ pe abscisă și cu intensitatea razelor reflectate pe ordonată.

Prin unirea acestor puncte se trasează curba de variație a intensității reflexiilor pe fața respectivă (fig.326).

În mod normal, cînd planele reticulare după fața respectivă au aceeași putere de reflexie, reflexiile de diferite ordine au valori descrescînd odată cu creșterea ordinului.

În cazul cînd planele cu fața respectivă au compoziție diferită și putere diferită de reflexie, se produc abateri de la această regulă.

Astfel, în cazul NaCl, după fața (100) toate planele sînt identice, formate din șiruri în care ionii de Na și cei de Cl alternează, puterea lor de reflexie este aceeași și nu variază decît în raport invers cu ordinul de reflexie.

În schimb, după fața (111) cînd planele reticulare sînt formate alternativ numai de ioni de Na și numai de ioni de Cl, care dau reflexii de intensități foarte diferite, proporționale cu numărul lor de ordine foarte diferit ($I_{Cl\ 17} > I_{Na\ 11}$) pe diagramă se produc alternanțe de maxime și minime.

Nu totdeauna radiațiile caracteristice sînt riguros monocromatice; destul de frecvent sînt compuse din cîteva raze apropiate, dar diferite ca lungime de undă. În acest caz, diagramele prezintă grupe de maxime, corespunzătoare fiecărei raze, pentru fiecare ordin de reflexie. Astfel în cazul anticatodei de Pt, care dă trei raze caracteristice din seria L și anume L_{α} , L_{β} și L_{γ} , diagrama va prezenta grupe de cîte trei maxime pentru fiecare ordin de reflexie (fig.327).

Metoda Bragg permite să se determine exact indicii planelor de reflexie și, prin măsurarea exactă a intensității fețelor de interferență dă posibilitatea să se obțină informații importante asupra celulei elementare.

Și în această metodă însă, pentru cercetare, este nevoie de cristale mai mari, cu fețe sau plane de clivaj clare sau care să poată fi ștefuite după anumite plane cu orientare determinată.

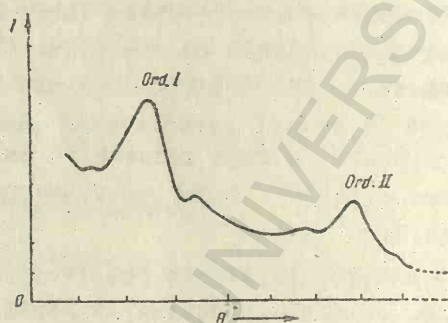


Fig. 326.

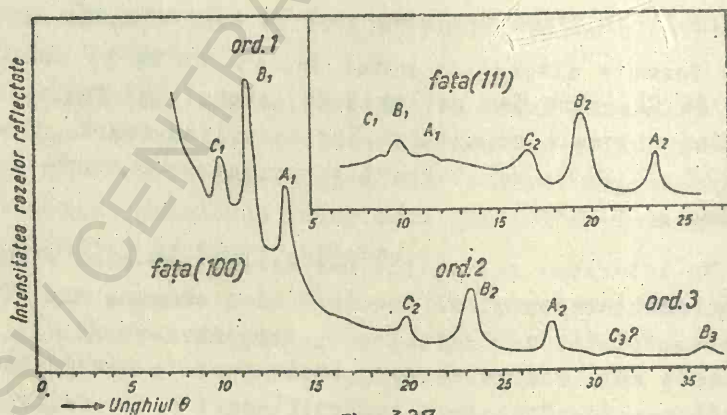


Fig. 327.

4. METODA PULBERILOR

Dificultățile pe care le prezintă metodele arătate au fost înlăturate de către Debye și Scherrer în Germania (1916) și Hull în U.S.A. (1917) printr-o metodă de cercetare, bazată tot pe concepția lui Bragg, dar în care, în loc de monocristale mari și crientate, se folosesc agregate sau pulberi fine de cristal.

4.1. Dispozitivul și procedenul de lucru

Prepararea probei. Se fărâmițează cu atenție proba într-un majar de agat pînă la o granulație de cca, 10^{-3} mm., avînd în vedere că granulele cu dimensiuni prea mari provoacă o discontinuitate în liniile diagramei iar cele prea fine produc linii difuze.

Pulberea astfel obținută se aplică pe un filament de sticlă, acoperit cu o substanță de lipit (colodiu etc.) sau se presează într-un tub capilar confecționat dintr-un material care să permită trecerea razelor X fără a produce însă interferențe (mase plastice etc).

Obiectul cilindric astfel format trebuie să aibă un diametru de 0,5 - 1 mm., ținînd seama de faptul că la o grosime prea mică prepararea este dificilă, iar expunerea la raze X trebuie să dureze prea mult.

b. Principiul metodei. Obiectul preparat prezintă o infinitate de granule cristaline, așezate într-o dezordine totală, avînd deci toate pozițiile posibile în spațiu.

Trimițînd asupra obiectului un fascicul de raze X monocromatice, acesta va întîlni o serie de granule în care, o anumită familie de plane reticulare (hkl), cu echidistanța d_1 , va face cu fasciculul un unghi θ_1 , care să satisfacă relația Bragg-Vulf pentru interferența pozitivă de ordinul 1 (fig.328).

În altă serie de granule, aceleași plane reticulare vor face cu fasciculul un unghi θ_2 care îndeplinește aceleași condiții; se va produce interferența de ordinul 2 ș.a.m.d.

Unghiurile de difracție vor avea față de direcția razei incidente o valoare 2θ .

c. Dispozitivul și funcționarea lui (fig.329).

Preparatul în formă de baghetă se așează în mijlocul unei camere cilindrice (fig.330), pe pereții căreia este desfășurată o peliculă fotografică perforată la mijloc și la capetele care au să se unească în jurul orificiului cu care este prevăzută camera, pentru pătrunderea fasciculului de raze X (fig.331).

Se confecționează camere a căror circumferință, în mm. să împartă simplu cele 360° ; de ex. camera cu circumferința de 180 mm. ($R=28,65$ mm) la care 1 mm. corespunde cu 2° .

Fereștriuca prin care pătrund razele X în cameră este închisă de o foiță de aluminiu.

Proba perfect centrată este așezată pe un suport axial care, în timpul expunerii, se rotește cu tot cu probă.

Tubul Roentgen, prevăzut cu anticatodă convenabilă, trimite un fascicul de raze X caracteristice care, trecînd printr-un sistem de fante și filtre, pătrunde prin foița de

aluminu în camera de difracție căzînd perpendicular pe obiectul cilindric al probei.

d. Diagramele Debye-Scherrer. Din infinitatea de granule cristaline cu toate orientările posibile, de pe preparat, fasciculul de raze va întîlni o serie de cristale în care anumită familie, de plane reticulare (hkl) cu echidistanță d să facă cu razele incidente un unghi θ care să satisfacă relația Bragg-Vulf pentru interferență.

Planele reticulare din aceeași familie și cu aceeași înclinare față de raza incidentă sînt dispuse în jurul acestora după suprafața unui con cu deschiderea 2θ . Reflexia razelor pe toate aceste plane, se face la rîndul său, după unghiul θ față de plan și 2θ față de raza incidentă, încît conul razelor reflectate pe același sistem de plane reticulare are o deschidere de 4θ (fig. 332). Cu baza sa, conul de raze difractate, intersectează pelicula fotografică după un cerc concentric în jurul punctului de incidență.

Pentru fiecare familie de plane reticulare rezultă asemenea conuri de reflexie care intersectează pelicula, sub formă de cercuri, atît timp cît diametrul acestora nu depășește lățimea filmului, și sub forma de arce de cerc simetrice, de-o parte și de alta a punctului de incidență, după ce-o depășește (fig. 333).

Pentru unghiul $2\theta = 90^\circ$, intersecția se aseamănă cu un con cu raza infinit de mare și capătă forma a două linii drepte, simetrice de-o parte și de alta. Pentru unghiuri mai mari de 90° , apar din nou arce de cerc, dar întoarse divergent față de mijlocul peliculei.

Densitatea planelor reticulare, numărul de ordine al elementelor din nodurile rețelei și poziția planelor în rețea, dau reflexelor intensități diferite. Numărul, poziția și intensitatea liniilor dau caractere proprii diagramei fiecărei substanțe, uneori în așa măsură,

METODA PULBERILOR

Debye-grame.

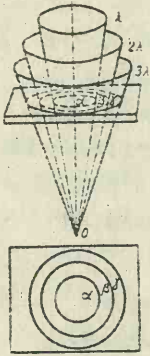
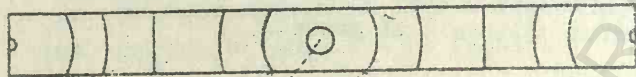
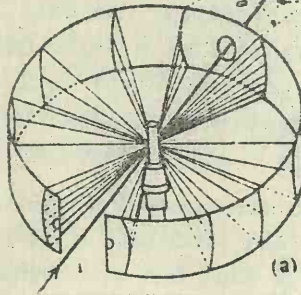


Fig. 328.



(b)

Fig. 331.



(a)

Fig. 330.

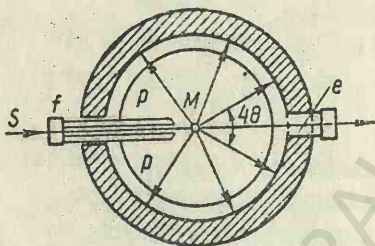


Fig. 229

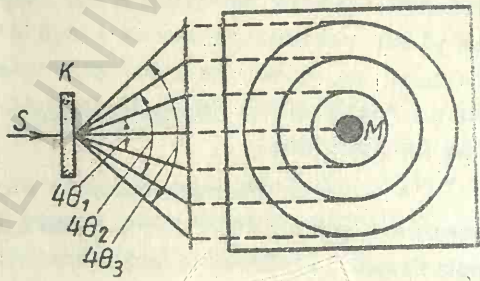


Fig. 332



Fig. 333a.

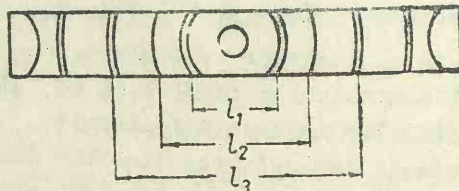


Fig. 333b.

1. Fie substanța poate fi recunoscută prin comparația diagramei cu o serie de diagrame de colecție.

Determinarea precisă se face însă prin măsurarea distanței dintre curbele simetrice, determinarea echidistanței $\frac{d}{n}$ între diferitele plane reticulare și calcularea altor elemente cristalografice, precum și prin măsurarea intensității reflexiilor pe fiecare sistem de plane. În felul acesta, rezultatele nu depind de condițiile experimentale diferite în care s-au făcut diagramele.

Valoarea unghiului θ se calculează din distanța $2L$ la care sînt situate liniile simetrice din diagramă, cunoscînd că pentru $2L$ corespunde unghiul 4θ , de unde rezultă că $\frac{2L}{4\theta} = \frac{2\pi R}{360}$ sau $2\theta = 2L \frac{180}{2\pi R}$.

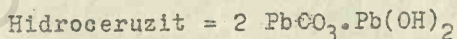
În cazul camerei cu $R = 28,65$, cînd $2\pi R = 180$ mm. distanța $2L$ măsurată în mm. exprimă în grade valoarea lui 2θ .

Introducînd în formula Bragg-Vulf valoarea lui θ și lungimea de undă a razelor folosite, se poate calcula valoarea d pentru sistemul cubic și pentru sistemele din categoria mijlocie de singonii și valoarea $\frac{d}{n}$ pentru sistemele din categoria inferioară de singonii.

În practică se aplică măsurătorilor $2L$ diferite corecții, cum ar fi de ex. corecția pentru grosimea preparatului cu cristale.

Intensitatea I a liniilor de interferență apreciată vizual se notează de la 1 la 10 sau se determină exact cu fotometrul.

Valorile $\frac{d}{n}$ și I ale liniilor de interferență se înscriu în tabele, cum este de ex. tabela pentru hidroceruzit din determinantul lui V.I. Mihev.



Singonia trigonală $c:a = 1,419$

Nr.	I	$\frac{d}{n}$	Nr.	I	$\frac{d}{n}$
					n
1	3	4,45	6	5	2,23
2	4	4,24	7	5	2,11
3	9	3,61	8	4	2,03
4	10	3,28	9	6	1,86
5	10	2,62	10	5	1,69

Complexul de linii al debye-gramei este caracteristic pentru fiecare substanță.

Pentru identificarea substanței cercetate se compară datele din tabelele întocmite, cu tabelele din determinatoarele, care s-au întocmit pentru foarte multe substanțe, cum este cel al lui Miheev pentru minerale.

Metoda fiind foarte larg aplicată, a suferit perfecționări importante, care dau în prezent posibilitatea unor determinări foarte precise și rapide, pentru o gamă mult mai largă de substanțe cu structuri foarte fine și complicate.

4.2. Camera de focalizare

reărezintă o astfel de perfecționare a dispozitivului.

Sînt asemenea substanțe, ca mineralele argiloase, care avînd distanțe mari între planele reticulare (între 7 și 40 Å) dau reflexe foarte apropiate la unghiuri mici și cu linii de multe ori difuze.

În aceste camere se trimite un fascicul divergent de raze monocromatice pe pulberea de cristal, iar razele reflectate pe plane reticulare din diferite poziții se concentrează într-un punct al unui plan focal circular ce coincide cu pelicula fotografică.

Înainte de a intra în camera de difracție, razele X caracteristice, compuse din oțeva radiații apropiate, trec printr-un așa numit monocromator, unde sînt reflectate pe o placă de cuarț, curbă ce le dirijează convergent în cameră. Aici, după ce sînt difractate sau reflectate, sînt focalizate pe filmul fotografic.

În felul acesta se obțin și pentru asemenea substanțe spectrograme clare, cu linii nete și cu intensitate pronunțată.

4.3. Difractometrul

Acesta reprezintă în prezent ultima perfecțiune în aparatura de studiu cu metoda pulberilor.

Principiul difractometrului este asemănător cu principiul spectrometrului Bragg, dar aici, cu ajutorul unui dispozitiv electronic, interferențele se înregistrează direct, pe hîrtie milimetrică, într-o diagramă care arată intensitatea liniilor corespunzătoare unghiurilor de difracție θ (fig.334).

Difractometrul prezintă avantajul că într-un timp mult mai scurt se obțin măsurători precise ale unghiurilor de difracție și ale intensității liniilor de interferență chiar pentru structuri cu echidistanțe mari, ca cele ale mineralelor argiloase.

5. METODA CRISTALULUI ROTIT

Considerată ca o variantă a metodei lui Bragg în care camera de ionizare a spectrometrului este înlocuită cu o cameră Debye-Scherrer metoda prezintă și o evidentă analogie cu metoda pulberilor.

Aici însă, în locul baghetei cu pulbere de cristale se așează pe suportul axial al camerei un monocristal bine format și suficient de mare pentru a putea fi centrat vertical, cu o axă de zonă în axa camerei cilindrice de difracție.

DIFRACTOMETRUL DIAGRAMĂ

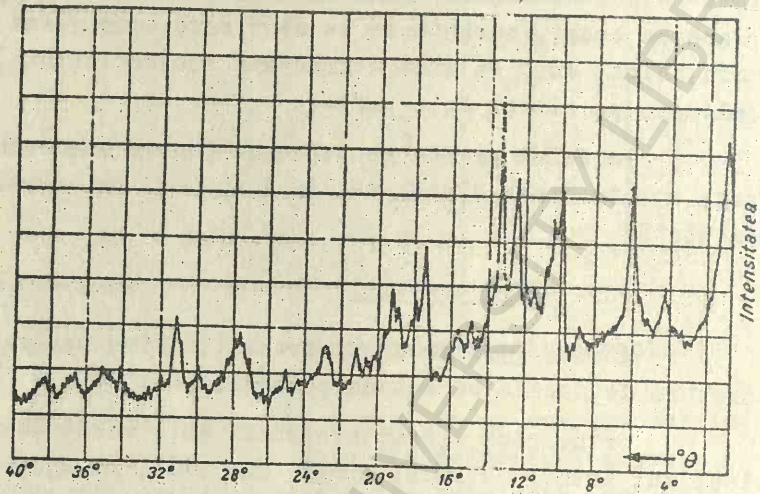


Fig. 334a

PELICULA

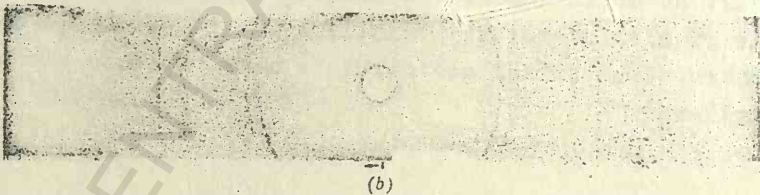


Fig. 334 b.

METODA CRISTALULUI ROTATOR **DIAGRAMA CUARTULUI**

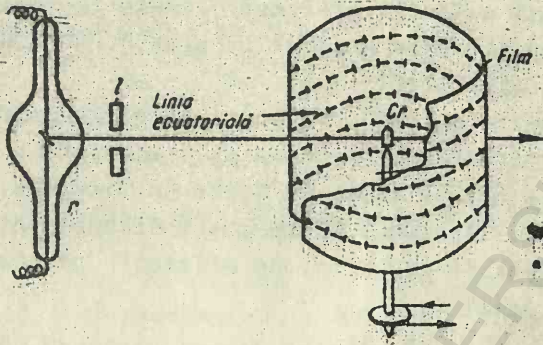


Fig. 335

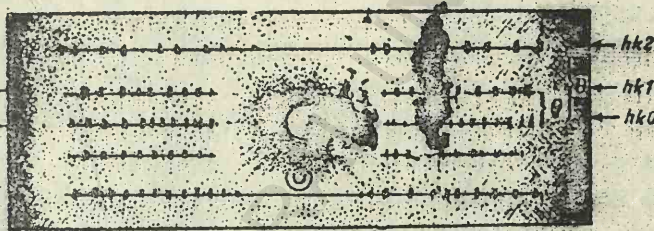


Fig. 336

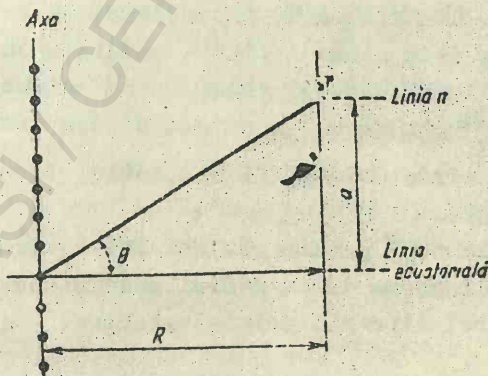


Fig. 337

Ca și la metoda pulberilor, suportul axial împreună cu cristallul se rotesc, iar fasciculul de raze cade pe cristal perpendicular pe axa de rotire (fig.335).

Difractate pe planele reticulare ale cristallului și amplificate prin interferență, razele impresionează pelicula fotografică după cercuri și arce de cerc dispuse ca și la metoda pulberilor.

Aici însă dungile nu mai sînt continui ca în cazul pulberilor, unde difracția se produce pe o infinitate de plane reticulare ale cristalelor, cu toate înclinările posibile, ci sînt formate din linii întrerupte, fiecare pată reprezentînd intersecția conurilor de difracție pe șirurile reticulare ale cristallului.

În cazul cristallului așezat vertical, după axa cristalografică \bar{z} , reflexia pe planele $(hk0)$, paralele cu aceasta, va da o serie de pete dispuse după linia ecuatorială a filmului (fig. 336).

Planele reticulare (hkl) înclinate față de axa $z\bar{z}$, cu indici (hk_1) , (hk_2) , (hk_3) etc. vor da pete dispuse după linii paralele, de-o parte și de alta a liniei ecuatoriale, la distanțe corespunzătoare ordinului de difracție (1,2,3, etc.). În felul acesta, diagrama este formată din pete care, pe de-o parte sînt dispuse pe linii orizontale paralele, iar pe de altă parte sînt aliniate după arcele de cerc transversale.

Echidistanța d , în direcția axei de rotire, se calculează ușor din diagramă, introducînd în relația Bragg-Vulf pe n , care este numărul liniei paralele cu linia ecuatorială, adică 1,2,3 etc. și valoarea lui θ , scoasă din ecuația $\text{tg } \theta = \frac{p_n}{R}$, în care p_n este distanța dintre linia ecuatorială și linia ordinului respectiv, iar R este raza camerei (fig.337).

Pentru a calcula toți parametrii celulei elementare trebuie făcute diagrame cu cristallul aranjat pentru rotirea în jurul fiecărei direcții cristalografice.

La un cristal din sistemul rombic trebuie făcute trei roentgenograme:

- una cu axa $z \bar{z}$ ca axă de rotire pentru determinarea parametrului c ,
- una cu axa $y \bar{y}$ ca axă de rotire pentru determinarea parametrului b și
- una cu axa de rotire $x \bar{x}$ pentru determinarea parametrului a .

6. ANALIZA RADIOMETRICA A SUBSTANTELOR CRISTALINE

Pentru cunoașterea structurii interne a unui cristal este necesar să se determine următoarele date:

- Simetria generală a cristalului ;
 - Constantele cristalografice care dau relația axială a paralelepipedului elementar și anume: parametrii celor 3 direcțiuni (a, b, c) și unghiurile dintre muchiile paralelepipedului (α, β, γ);
 - Volumul molecular ;
 - Numărul de atomi sau de molecule cuprinse în paralelepipedul elementar;
 - Grupa spațială, și anume : tipul Bravais de rețea și elementele de simetrie ale motivului cristalin;
 - Poziția atomilor în paralelepipedul elementar.
- Nu vom prezenta în detaliu mersul analizei în general, dar vom exemplifica această succesiune de determinări pentru sistemul cubic și anume cu clorură de sodiu.

Înainte de a trece la analiza roentgenometrică a NaCl vom determina raporturile dintre elementele relației Bragg-Vulf pentru cele 3 rețele Bravais ale sistemului cubic.

Din relația $n\lambda = 2d \sin \theta$ se scoate valoarea lui

$$d = \frac{n\lambda}{2 \sin \theta} \text{ și apoi } \frac{1}{d} = \frac{2}{n\lambda} \sin \theta .$$

Pentru ordinul 1 de reflexie în cazul fețelor de cub, dodecaedru romboidal și octaedru cu echidistanțele d_{110} și d_{111} vor corespunde unghiuri diferite, θ_1 , θ_1' , θ_1'' între care sînt următoarele raporturi:

$$\frac{1}{d_{100}} : \frac{1}{d_{110}} : \frac{1}{d_{111}} = \frac{2}{n\lambda} \sin \theta_1 : \frac{2}{n\lambda} \sin \theta_1' : \frac{2}{n\lambda} \sin \theta_1''$$

sau eliminînd constanta $\frac{2}{n\lambda}$, comună, vom avea:

$$\frac{1}{d_{100}} : \frac{1}{d_{110}} : \frac{1}{d_{111}} = \sin \theta_1 : \sin \theta_1' : \sin \theta_1''.$$

Aceasta este relația cu ajutorul căreia se identifică tipul de rețea Bravais, întrucît raporturile sînt diferite la cele trei celule elementare.

Unghiurile reflexiilor de ordinul 1 pentru cele 3 fețe se determină cu spectrometrul Bragg.

Echidistanțele celor trei sisteme de plane reticulare se calculează în felul următor:

a. La cubul simplu (fig.338)

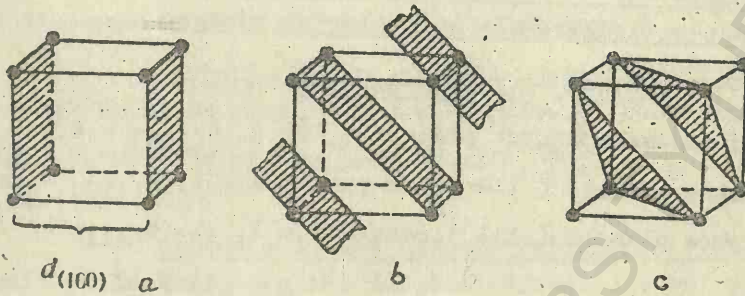
Distanța dintre planele reticulare (100) este egală cu muchia cubului, parametrul a , și luînd parametrul a ca unitate, $d_{100} = 1$.

- distanța dintre planele reticulare (110) este egală cu jumătate din diagonala feței de cub: $\frac{1}{2} a \sqrt{2} = \frac{a}{\sqrt{2}}$ și pentru $a = 1$, $d_{110} = \frac{1}{\sqrt{2}}$.

- Distanța dintre planele reticulare (111) este egală cu $\frac{1}{3}$ din diagonala spațială a cubului, deci $\frac{1}{3} a \sqrt{3} = \frac{a}{\sqrt{3}}$ și pentru $a = 1$, $d_{111} = \frac{1}{\sqrt{3}}$.

Raportul $\frac{1}{d_{100}} : \frac{1}{d_{110}} : \frac{1}{d_{111}} = 1 : \sqrt{2} : \sqrt{3}$

ECHIDISTANȚA PLANELOR RETICULARE



Cub simplu
Fig. 338

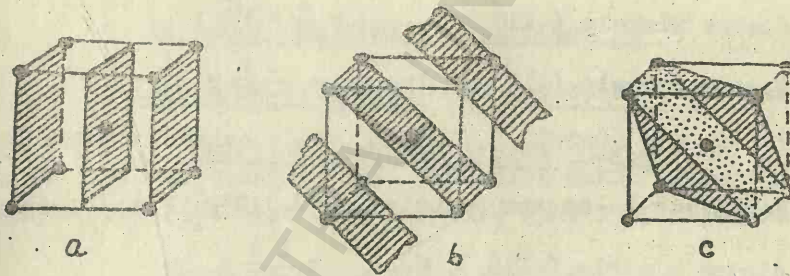
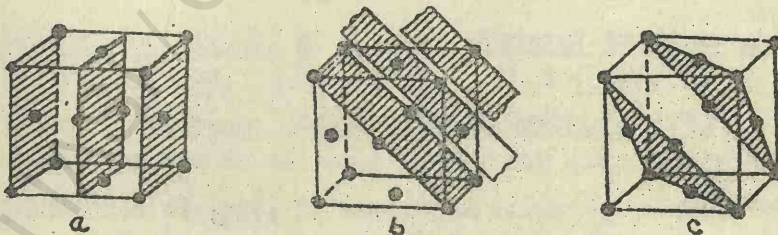


Fig. 339.

Cub centrat intern



Cub centrat pe fețe
Fig. 340

EXPLICATIA FIGURILOR 338, 339, 340.

Echidistanțele d dintre cele 3 sisteme de plane reticulare ale celulelor elementare.

Fig.338, Celula primitivă :

- a. Echidistanța dintre planele (100), $d_{(100)} = a = 1$;
 b. dintre planele (110), tot pentru $a = 1$, $d_{(110)} = \frac{1}{\sqrt{2}}$;
 c. dintre planele (111), pentru $a = 1$, ... $d_{(111)} = \frac{1}{\sqrt{3}}$.
 de unde, $\frac{1}{d_{(100)}} : \frac{1}{d_{(110)}} : \frac{1}{d_{(111)}} = 1 : \frac{1}{\sqrt{2}} : \frac{1}{\sqrt{3}}$

Fig.339, Celula centrată intern:

- a. Echidistanța dintre planele (100), cu $\frac{a}{2} = 1$, $d_{(100)} = 1$;
 b. dintre planele (110), $d_{(110)} = \frac{a}{\sqrt{2}} = \frac{1}{\sqrt{2}}$;
 c. dintre planele (111), $d_{(111)} = \frac{1}{2\sqrt{3}} = \frac{1}{\sqrt{3}}$

Fig.340, Celula centrată pe fețe:

- a. Echidistanța dintre planele (100), cu $\frac{a}{2} = 1$, $d_{(100)} = 1$;
 b. dintre planele (110), $d_{(110)} = \frac{1}{2\sqrt{2}} = \frac{1}{\sqrt{2}}$;
 c. dintre planele (111), $d_{(111)}$, pentru $\frac{a}{2} = 1$, $= \frac{a}{\sqrt{3}} = \frac{2}{\sqrt{3}}$.
 de unde, $\frac{1}{d_{(100)}} : \frac{1}{d_{(110)}} : \frac{1}{d_{(111)}} = 1 : \frac{1}{\sqrt{2}} : \frac{2}{\sqrt{3}}$, iar pentru

celula centrată intern:

$$\frac{1}{d_{(100)}} : \frac{1}{d_{(110)}} : \frac{1}{d_{(111)}} = 1 : \sqrt{2} : \frac{1}{\sqrt{3}} .$$

b. La cubul centrat intern (fig. 339)

- Distanța dintre planele reticulare (100) este egală cu jumătate din muchia cubului elementar, $\frac{a}{2}$. Această distanță va fi luată ca unitate și deci $d_{100} = \frac{a}{2} = 1$.

- distanța dintre planele reticulare (110) este aceeași ca și în cazul cubului simplu, $\frac{a}{\sqrt{2}}$ dar aici fiind luată ca unitate pentru echidistanța, $\frac{a}{2}$, $d_{110} = \frac{\frac{a}{\sqrt{2}}}{\frac{a}{2}} = \frac{2}{\sqrt{2}} = \sqrt{2}$

- distanța dintre planele reticulare (111) este egală cu jumătate din cea stabilită pentru cubul simplu, deci $\frac{1}{2} \cdot \frac{a}{\sqrt{3}}$ dar fiind luat $\frac{a}{2}$ ca unitate, $d_{111} = \frac{\frac{1}{2} \cdot \frac{a}{\sqrt{3}}}{\frac{a}{2}} = \frac{1}{\sqrt{3}}$.

$$\text{Raportul } \frac{1}{d_{100}} : \frac{1}{d_{110}} : \frac{1}{d_{111}} = 1 : \frac{1}{\sqrt{2}} : \frac{1}{\sqrt{3}}$$

c. La cubul centrat pe fețe (fig. 340)

- Distanța dintre planele reticulare (100) este $\frac{a}{2}$ deoarece asemenea plane paralele cu fețele de cub trec și prin mijlocul cubului, deși paralelogramele elementare ale celor două fețe sînt decalate cu $\frac{a}{2}$ unul față de celălalt.

Luînd ca unitate $\frac{a}{2}$, vom avea $d_{100} = 1$.

- distanța dintre planele reticulare (110) este deasemenea de două ori mai mică decît în cazul cubului simplu, deci $d_{110} = \frac{1}{2} \cdot \frac{a}{\sqrt{2}}$

și luînd ca unitate $\frac{a}{2}$, $d_{110} = \frac{\frac{1}{2} \cdot \frac{a}{\sqrt{2}}}{\frac{a}{2}} = \frac{1}{\sqrt{2}}$.

Distanța dintre planele reticulare (111) este aceeași cu cea de la cubul simplu dar aici, unitatea fiind $\frac{a}{2}$ înseamnă că este, în raport cu aceasta, de două ori mai mare, $2 \cdot \frac{a}{\sqrt{3}}$ în care pentru $a = 1$, $d_{111} = \frac{2}{\sqrt{3}}$

$$\text{Raportul } \frac{1}{d_{100}} : \frac{1}{d_{110}} : \frac{1}{d_{111}} = 1 : \sqrt{2} : \frac{\sqrt{3}}{2}$$

În felul acesta am obținut relațiile de identificare pentru cele trei tipuri de rețea Bravais ale sistemului cubic:

- Pentru forma primitivă, cub simplu

$$\frac{1}{d_{100}} : \frac{1}{d_{110}} : \frac{1}{d_{111}} = \sin \theta : \sin \theta' : \sin \theta'' = 1 : \sqrt{2} : \sqrt{3}$$

- Pentru cubul centrat intern

$$\frac{1}{d_{100}} : \frac{1}{d_{110}} : \frac{1}{d_{111}} = \sin \theta : \sin \theta' : \sin \theta'' = 1 : \frac{1}{\sqrt{2}} : \frac{1}{\sqrt{3}}$$

- Pentru cubul centrat pe fețe

$$\frac{1}{d_{100}} : \frac{1}{d_{110}} : \frac{1}{d_{111}} = \sin \theta : \sin \theta' : \sin \theta'' = 1 : \sqrt{2} : \frac{\sqrt{3}}{2}$$

6.3. Structura clorurii de sodiu

a. Simetria cubică a NaCl este stabilită în prealabil pe baza clivajului (cubic) și a izotropiei optice a cristalelor.

b. Rețeaua Bravais. Cu ajutorul spectrometrului, Bragg a determinat unghiurile reflexiilor de ordinul 1 pentru fețele de cub, dodecaedru romboidal și octaedru, obținând:

$$\theta_{(100)} = 5,9^\circ ; \theta'_{(110)} = 8,25^\circ \text{ și } \theta''_{(111)} = 5,1^\circ, \text{ așa că:}$$

$$\frac{1}{d_{100}} : \frac{1}{d_{110}} : \frac{1}{d_{111}} = \sin 5,9^\circ : \sin 8,25^\circ : \sin 5,1^\circ =$$

$$0,105 : 0,148 : 0,091 \text{ sau împărțind cu } 0,105 \text{ raportul devine}$$

$$1 : 1,41 : 0,867 = 1 : \sqrt{2} : \frac{\sqrt{3}}{2}$$

Rețeaua $\bar{\text{NaCl}}$ este un cub centrat pe fețe.

c. Relația axială. Odată stabilită singonia cubică, se cunoaște și relația axială, $a : a : a$. Nu rămâne să se stabilească decât parametrul a , muchia paralelepipedului elementar.

Determinînd rețeaua Bravais ca fiind un cub centrat pe fețe, la care $a = 2 d_{100}$, vom avea din relația Bragg-Vulf pentru primul ordin de reflexie, $\lambda = 2 d_{100} \sin \theta_1$, valoarea parametrului, $a = 2 d_{100} = \frac{\lambda}{\sin \theta_1}$. Cu radiația K_{α} a anticatodei de paladiu, cu $\lambda = 0,576 \text{ \AA}$, cunoscută, se determină pentru reflexia de ordinul 1 valoarea lui $d_{100} = 2,814 \text{ \AA}$ și deci $a = 2 d = 2 \cdot 2,814 = 5,628 \text{ \AA}$.

d. Poziția atomilor în paralelepipedul elementar.

Determinînd intensitatea spectrelor de diferite ordine pe fețele (100), (110) și (111) au rezultat următoarele valori (Bragg).

Fața	Ordinul 1		Ordinul 2		Ordinul 3		Ordinul 4	
	$2 \theta_1$	I	$2 \theta_2$	I	$2 \theta_3$	I	$2 \theta_4$	I
(100)	$11,8^\circ$	100	$23,8^\circ$	30	$36,2^\circ$	7	$48,8^\circ$	3
(110)	$10,5^\circ$	100	34°	24	52°	7	-	-
(111)	$10,2^\circ$	20	$20,6^\circ$	100	$31,6^\circ$	0	$42,5^\circ$	6

De aici se constată că intensitatea spectrelor date de planele reticulare (100) și (110) scade în mod normal, aproximativ invers proporțional cu patratul ordinului, pe cînd la spectrele date de planele reticulare (111), variația intensității este neregulată.

Aici, intensități mai mici alternează cu intensități mai mari. Scăderea regulată poate fi observată, pe de-o parte la ordinele pare (cu valorile mai mari), iar pe de altă

parte, la ordinele impare (cu valorile mai mici).

De aici se deduce că nodurile rețelei sînt ocupate de atomi de Na și Cl și nu de molecula NaCl, iar planele reticulare (111) sînt constituite alternativ, numai din ioni de Na sau numai din ioni de Cl.

Intensitatea fiind proporțională cu numărul de ordine, intensitățile mai mari sînt date de planele cu Cl^{11} , iar cele mai mici, de planele cu Na^{11} .

În relația Bragg-Vulf, d reprezintă echidistanța planelor reticulare de aceeași compoziție, respectiv, în cazul NaCl, a planelor consecutive de Cl sau de Na. Din alternația intensităților se înțelege că și cele două feluri de plane sînt așezate alternativ, un plan cu Na între două plane cu Cl deci la distanța $\frac{d_{111}}{2}$ și reciproc pentru planele cu Cl.

Rezultă astfel că structura NaCl constă din două cuburi centrate pe fețe, unul de Na și unul de Cl, întrepătrunse la $\frac{a}{2}$ pe cele trei direcțiuni, astfel încît formează împreună o rețea cubică unică (fig.341).

Toate planele reticulare după fața (100) sînt alcătuite din șiruri reticulare, în care atomii de Na alternează cu cei de Cl, adică toate planele au aceeași compoziție și de aceea dau aceleași reflexii.

Intensitatea spectrelor scade, în mod normal, odată cu creșterea ordinului de reflexie.

La fel se întîmplă și cu planele reticulare după fața (110). Și aici șirurile reticulare sînt compuse din atomi de Na care alternează cu atomii de Cl; toate planele sînt la fel și intensitatea reflexiilor scade în mod normal.

După cum s-a văzut, intensitatea variază în funcție de lungimea de undă a razelor X, de numărul de ordine al atomului și de densitatea atomilor pe rețeaua plană.

La plane (100) și (110), primele două condiții

sunt identice. Intensitatea va diferi numai în raport cu densitatea rețelelor.

Densitatea celor două plane reticulare, cu valori apropiate ale distanței dintre noduri ($d_{100} = 1$; $d_{110} = \sqrt{2}$), fiind puțin diferite, și intensitățile respective vor fi de valoare apropiată. Așa rezultă și din tabloul de mai sus.

e. Volumul molecular. Cubul centrat pe fețe este compus din opt cuburi simple care au colțurile ocupate alternativ din 4 atomi de Na și 4 atomi de Cl, fiecare din cele două feluri de atomi avînd poziția colțurilor de tetraedru.

Latura acestui cub simplu este $d_{100} = \frac{a}{2} = 2,814 \text{ \AA}$, iar volumul său, $(d_{100})^3$ cuprinde $\frac{4}{8}$ din atomii de Na și $\frac{4}{8}$ din atomii de Cl (vezi atomul din mijlocul cubului mare), adică $\frac{1}{2}$ atomi de Na și $\frac{1}{2}$ atomi de Cl. O moleculă întreagă NaCl va ocupa deci două cuburi mici. Volumul molecular al NaCl este egal cu $2 \cdot (d_{100})^3 = 2,22,283 = 44,566 \text{ \AA}^3$.

f. Determinarea grupei spațiale

Cunoscînd, în modul arătat, rețeaua Bravais, cub centrat pe fețe, rămîne să se identifice grupa spațială din această categorie.

În clasa Oh sînt 11 grupe spațiale din care, însă, numai 4 sînt grupe spațiale F (cu celula elementară cub centrat pe fețe) și anume grupele:

$$\begin{array}{ccccccc} 5 & & 6 & & 7 & & 8 \\ \text{Oh} = \text{Fm}3\text{m}, & \text{Oh} = \text{Fm}3\text{c}, & \text{Oh} = \text{Fd}3\text{m} & \text{și} & \text{Oh} = \text{Fd}3\text{c}. \end{array}$$

În recunoașterea elementelor de simetrie ale structurii interne se folosește stabilirea extincțiilor de reflexii ale razelor X pe anumite direcții.

Astfel, simetria helicoidală a unei axe se pune în evidență prin extincția reflexiilor care se produc pe planele perpendiculare pe această axă.

Deasemenea, caracterul simetric prin translație al unui plan se pune în evidență prin extincțiile simetrice ale reflexiilor pe planele din zonele perpendiculare pe acesta.

Stabilind elementele de simetrie în acest mod și eliminând grupele cu plane de translație indicate de formulele de simetrie $Fm\bar{3}c$, $Fd\bar{3}m$ și $Fd\bar{3}c$, s-a stabilit că sarea gemă face parte din grupa spațială $O_h^5 = Fm\bar{3}m$.

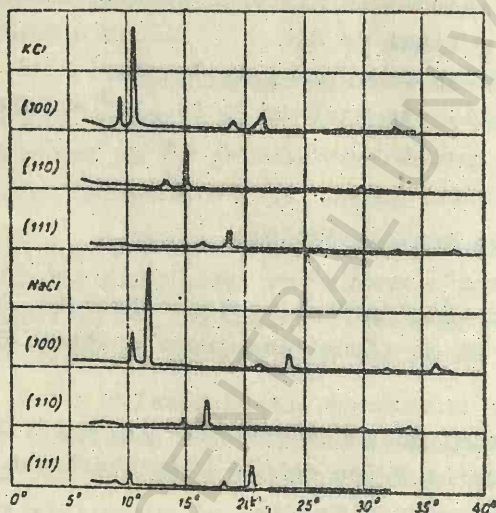


Fig. 3.1a

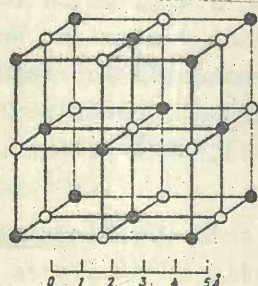


Fig. 3.1b

2.

CRISTALOGRAFIA GEOMETRICA

B.STRUCTURA INTERNA A CRISTALELOR.

XII. B. ELECTRONOGRAFIA
CRISTALELOR

7. PRINCIPIILE ELECTRONOGRAFIEI.

De oitva timp, în locul noțiunii de roentgenometrie a cristalelor a început să se introducă ideea de radiometrie. Este justificată această schimbare de titlu ? Cum trebuie ea înțeleasă ?

De la descoperirea difracției razelor roentgen prin cristale, această metodă de cercetare a structurii interne a fost, propriu, numită roentgenometrie.

De sigur că, fiind vorba de raze, această noțiune se încadrează în sfera mai largă a noțiunii de radiometrie. Dar, la drept vorbind, studiul optic al cristalelor se realizează tot cu ajutorul razelor; al razelor din spectrul vizibil, cu lungimi de undă mai mari, dar tot raze și chiar raze de aceeași natură.

Studiul optic al cristalelor este deci, în esență, tot un studiu radiologic, dar nu s-a gândit nimeni să-l contopească în același capitol cu roentgenometria, să zicem, într-un capitol de radiocristalografie.

În tendința de cunoaștere cât mai completă a structurii interne a cristalelor, s-au adus metodelor roentgenometrice o serie de perfecționări pe care, în parte, le-am văzut anterior. Si totuși, pentru cristalele de dimensiuni foarte mici și în general pentru cristalele din sistemul monoclinic și triclinic, determinarea planelor reticulare a rămas o problemă deschisă.

Pornind de la ideea că puterea, limitată, de mărire a microscopelor optice a putut fi spectaculos mărită cu ajutorul microscopului electronic, s-a pus problema aplicării lui și în cercetarea cristalelor și rezultatele au fost fructuoase. O serie de substanțe foarte fin cristalizate, cum sînt mineralele argiloase, submicroscopice, au putut fi "văzute" cu microscopul electronic, cu ajutorul razelor de electroni.

De aici s-a mers mai departe, cu anumite adaptări ale aparatului și prin difracția razelor de electroni, s-a reușit să se obțină spectrograme ale cristalelor ultrafine, întru totul asemănătoare celor obținute cu raze X, și pentru cristalele la care acestea nu dădeau rezultate.

Metoda de cercetare prin difracția de raze electronice este desigur o metodă radiometrică similară cu metoda roentgenometrică dar care, nefiind bazată pe folosirea razelor roentgen, nu-i logic să fie încadrată în rîndul metodelor roentgenometrice.

Este însă justificat să fie clasată distinct ca metodă electronografică.

În această accepțiune, este corect cu ambele metode de cercetare, roentgenometrică și electronometrică a cristalelor, să fie cuprinse într-un capitol unic de radio-cristalografie. Altfel, nu.

8. METODE ȘI APARATE

Metoda este întru totul asemănătoare cu metoda pulberilor, numai că în locul razelor roentgen, aici se întrebuințează raze de electroni.

Aparatul, un microscop electronic adaptat și pentru difracția razelor de electroni prin cristale, se numește electronograf.

Preparatul de cercetat se realizează prin depunerea pulberii ultrafine pe un suport metalic în formă de sită, acoperit cu o peliculă de colodiu.

Funcționarea aparatului se adaptează după obiectivul de studiu urmărit.

- În aranjarea lui obișnuită, ca microscop electronic, aparatul, măbind de mai multe mii de ori imaginea, dă posibilitatea să se vadă și să se fotografieze cristalele la dimensiuni apreciabile, cu forma și celelalte particularități morfologice puse clar în evidență (fig.342).

9. ELECTRONEGRAME

Ca și în metoda pulberilor, razele de electroni reflectate pe planele reticulare, dau pe-o peliculă fotografică, tot diagrame constituite din cercuri concentrice, care corespund bazei conurilor de interferență (fig.343). Acestea sînt electronegrame generale.

- Printr-o focalizare mai accentuată cu reglarea unui obturator, la o putere mult mai mare de mărire (25-30.000 ori) se vizează din preparat o porțiune dintr-un cristal, prin care sînt difractate razele de electroni cu mare energie ca în metoda Laue. Se obține o electronegramă de detaliu, cu pete luminoase, aranjate după simetria cristalului (fig.344).

Din cauza posibilității limitate de micșorare a obturării (minimum 1μ) metoda nu dă rezultate la cristalele și mai fine.

Electronegramele oferă posibilitatea stabilirii facile a simetriei cristalului și posibilitatea de calcul a parametrilor după una sau mai multe axe.

ELECTRONEGRAMME I

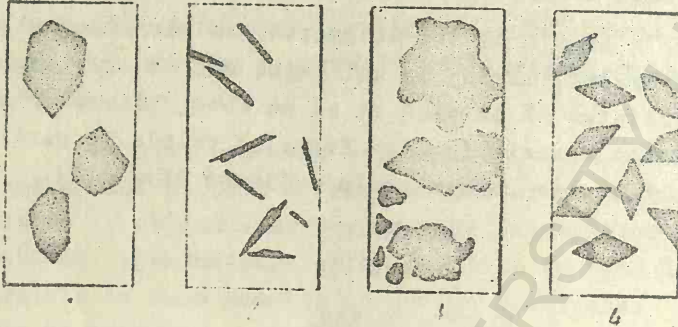


Fig. 342a

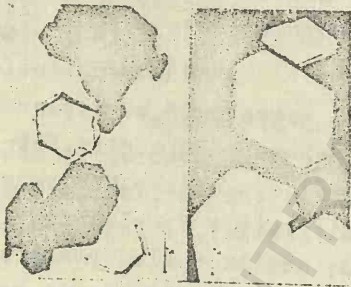


Fig. 342b.



Fig. 343a

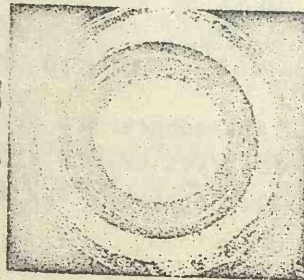
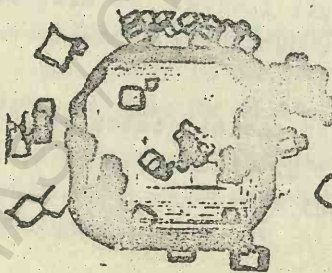


Fig. 343b.

ELECTRONEGRAMME II

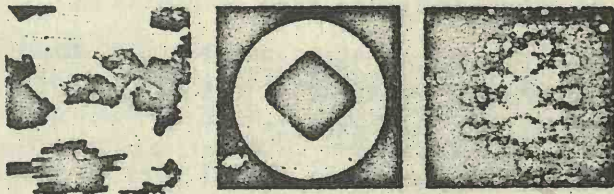
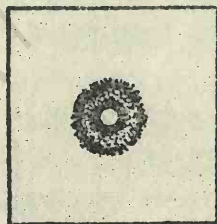


Fig. 344 a



Fig. 344 b



(a)



(b)

Fig. 345.

C. DIN APLICAȚIILE RADIOMETRIEI

Cea mai veche și mai largă aplicare a metodelor roentgenometrice este cea a recunoașterii și definirii mineralelor și substanțelor chimice.

Orice mineral și orice substanță chimică își are structura sa internă specifică și aceasta se reflectă deosebit de evident în radiogramele lor.

Aceste radiograme, la rîndul lor, cu totul caracteristice, se deosebesc prin numărul, aranjarea și intensitatea petelor de interferență.

Pe această bază, de altfel, s-au întocmit și determinatoarele de care am amintit.

Din aceste diagrame se obțin elementele structurale necesare în definirea și prezentarea oricărei substanțe chimice noi și a oricărui mineral nou descoperit.

Evident că tot ce-am văzut în acest capitol se referă la materia cristalizată, dar radiometria depășește domeniul riguros al cristalelor.

În primul rînd, metoda oferă posibilitatea de a deosebi un corp cristalin de unul amorf iar în al doilea rînd, cu această metodă se pot determina și unele caractere ale materiei amorfe.

Deșigur, în această discriminare, nu-i vorba de substanțe solide al căror caracter cristalin apare evident la examenul macroscopic sau chiar microscopic, dar există substanțe, cum sînt unii coloizi, cum sînt argilele, coloizii din sol, limonitul, negrul de fum ș.a., care considerate multă vreme ca tipic amorfe, s-au dovedit a fi în realitate cristaline.

Ele dau roentgenograme cu linii spectrale nete, care sînt întrutotul asemănătoare cu ale cristalelor evidente.

În cazul substanțelor amorfe, care de altfel dau și ele anumite pete de interferență, acestea constă din niște benzi difuze și neprecise.

Așa este roentgenograma sticlei (fig.345) în comparație cu a cristobalitului ambele compuse din SiO_2 și ambele izotrope.

Pentru cristobalit, cristalizat în sistemul cubic, roentgenograma prezintă inele întunecate subțiri și clare, pe cînd pentru sticla, amorfă, roentgenograma prezintă oțeva benzi difuze.

Deasemenea, cu ajutorul roentgenogramelor se poate face deosebirea între combinații, amestecuri și cristale mixte.

În cazul unui amestec roentgenograma prezintă curbele caracteristice ale fiecărei substanțe.

În cazul unei combinații rezultă o diagramă unitară, caracteristică substanței respective.

În cazul substanței izomorfe, constanțele reticulare ale cristalului sînt modificate corespunzător.

Tot cu ajutorul roentgenogramelor se pot deosebi modificările polimorfe și stările alotrope, care dau diagrame caracteristice fiecărei modificării.

Roentgenogramele scot în evidență anomaliile și deranjamentele din rețeaua cristalină.

În această privință se deosebesc două situații:

În cazul unei deranjări omogene provocată, de ex. de dilatarea termică, deformația elastică, introducerea unor atomi străini în rețea etc., se produce o deplasare a dungilor de interferență, fără a se schimba aspectul general al debye-gramei, care prezintă aceleași linii clare.

În cazul deranjamentelor neomogene, provenite din deformări elastice inegale, din dezamestecuri etc. se produc linii îngroșate și difuze.

Deranjamentele de rețea ale metalelor prelucrate la rece (cum ar fi cazul firelor trase), se evidențiază în roentgenograme prin imprimarea unor linii groase și difuze.

Prin "coacere", încălzirea treptată a metalului astfel prelucrat, se produce o rearanjare a rețelei, care face ca liniile respective ale roentgenogramei să devină subțiri și nete.

În cazul unui fir tras de cupru, se constată o orientare a cristalelor cu axa cristalografică în direcția de alungire, iar diagrama, cu linii neuniforme, are aspectul diagramelor obținute la materialele anorganice sau organice naturale cu textura fibroasă.

Analiza roentgenospectrală se bazează pe măsura lungimii de undă a razelor X produse prin excitarea elementului cercetat.

Lungimea de undă se scoate din formula Bragg-Vulf, întrucât difracția razelor se produce printr-un cristal cu d cunoscut.

În concluzie

Se poate spune că folosind datele obținute prin metodele goniometrice, optice, chimice etc. de cercetare și aplicând apoi una sau mai multe din metodele radiometrice prezentate, se pot obține, în general, toate elementele necesare, pentru determinarea structurii unei substanțe.

Așa cum a rezultat și din expunerea metodelor, determinările sînt cu atît mai complicate, cu cît simetria cristalului cercetat este mai redusă și cu cît dimensiunile lui sînt mai infime.

Se poate afirma deasemenea că, la nivelul actual de dezvoltare, cu metodele radiometrice s-au făcut deja pașii decisivi în cunoașterea aprofundată a structurii interne a cristalelor, iar modul cum a evoluat această dezvoltare arată neîndoiește perspectiva apropiată pentru depășirea mai departe a limitelor actuale de cunoaștere.

T A B L A D E M A T E R I E

Vol. I

Prefața

1. PRIMA PARTE

N O T I U N I I N T R O D U C T I V E

I. STAREA CRISTALINA. DEFINIREA

NOTIUNI DE CRISTAL

Pag.

1. Cristalele, corpuri naturale sau artificiale solide cu forme poliedrice regulate	7
2. Cristalele, corpuri solide cu structură reticulară. Corpuri amorse	8
3. Cîteva caractere ale rețelei spațiale	10
4. Consecințe ale structurii reticulare	17
II. OBIECTUL SI PROBLEMELE CRISTALOGRAFIEI	23
III. LEGATURA CRISTALOGRAFIEI CU ALTE STIINTE	25

2. A DOUA PARTE

C R I S T A L O G R A F I A G E O M E T R I C A

A. FORMELE POLIEDRICE ALE CRISTALELOR

1. Legea Euler-Descartes	32
2. Legea constanței unghiurilor	32
2.1. Goniometria cristalelor	36
2.2. Coordonate polare	41
2.3. Proiecția stereografică a fețelor de cristal.	43

V. SIMETRIA

1. Simetria, noțiune universală	49
2. Simetria la cristale	50
2.1. Simetria poliedrelor cristaline	61
2.2. Elemente simple de simetrie și operațiuni simple de acoperire	62
2.3. Elemente complexe de simetrie și operațiuni complexe de acoperire	71
3. Asocierea elementelor de simetrie	84
3.1. Deducerea celor 32 clase de simetrie	85
Teoreme	86
3.2. Sisteme cristaline sau singonii	93
3.3. Categoriile de singonii sau de sisteme cristaline	96
4. Notații prescurtate ale claselor de simetrie	97
4.1. Notația Schoenflies	98
4.2. Notația internațională	101

VI. AXELE CRISTALOGRAFICE, RELATII INTRE FETELE DE CRISTAL SI AXELE CRISTALOGRAFICE

1. Direcții unice și direcții simetrie egale în cristale	107
2. Axe cristalografice. Caracterizarea sistemelor cristaline pe în relațiile axiale	109

2.1. Sistemul cubic	111
2.2. Sistemul tetragonal	111
2.3. Sistemul rombic	112
2.4. Sistemul monoclinic	113
2.5. Sistemul triclinic	113
2.6. Sistemul hexagonal	115
2.7. Sistemul trigonal	116
2.8. Asemănări și deosebiri în relațiile axiale	118
3. Notăția fețelor de cristal	119
3.1. Notăția în parametri	119
3.2. Notăția în indici	122
4. Legea naționalității indicilor	127
5. Metode de proiecție folosite în cristalografie	129
5.1. Proiecția perspectivă paralelă	129
5.2. Proiecții substituante	139
6. Poziția unei fețe de cristal în raport cu axele cristalografice	147
6.1. Determinarea poziției prin raportul dintre parametri sau dintre indici	147
6.2. Determinarea poziției cu ajutorul cosinusurilor directe	149
6.3. Determinarea poziției prin ecuația feței în indici	152

VII. ZONELE DE FETE. LEGEA ZONELOR.	153
1. Simbolurile axelor de zonă	156
2. Ecuația axei de zonă	157
3. Relația dintre față și axa zonei. Ecuația zonelor	159
4. Aplicații ale ecuației zonelor	160
VIII. FORMELE POLIEDRICE ALE CRISTALELOR	165
1. Forme simple posibile la cristale	169
1.1. Sistemul cubic	173
1.2. Sistemul tetragonal	193
1.3. Sistemul hexagonal	210
1.4. Sistemul trigonal	230
1.5. Sistemul rombic	245
1.6. Sistemul monoclinic	253
1.7. Sistemul triclinic	257
2. Forme compuse de cristale	261
IX. CONCREȘTERI SIMETRICE DE CRISTALE. MACLE	279
1. Macle de alipire sau juxtapunere	281
2. Macle de întrepătrundere sau penetrație	290
3. Macle mimetice	294
4. Structura maclelor	297
5. Geneza maclelor	301

2. B. STRUCTURA INTERNA A CRISTALELOR

X. IPOTEZE GEOMETRICE ASUPRA STRUCTURII RETICULARE

1. Ipoteze asupra structurii interne 305
2. Teorii cu privire la structura internă . . . 313

XI. SIMETRIA STRUCTURII INTERNE

1. Elementele de simetrie în figurile
cristaline infinite (structuri) 315
2. Asocierea elementelor de simetrie, în
structura internă 323
3. Definirea poziției punctelor, direc-
țiilor și planelor din rețeaua cris-
talină prin simboluri 328

XII. DETERMINAREA RADIOMETRICA A STRUCTURII INTERNE

A. ROENTGENOMETRIA CRISTALELOR

1. Ipoteze 333
2. Concepția lui Laue 335
3. Concepția lui Bragg 345
4. Metoda pulberilor 353
5. Metoda cristalului rotit 359
6. Analiza radiometrică a substanțelor
cristaline 363

B. ELECTRONOGRAFIA CRISTALELOR

7. Principiile electronografiei	373
8. Metode și aparate	374
9. Electrograme	375

C. DIN APLICAȚIILE RADIOMETRIEI	378
---	-----

Universitatea Al. I. Cuza Iași	
Bibliotecă de Electronografie	
Cota veche	Pretul
a.p.	54 lei

BCU/ASI / CENTRAL UNIVERSITY LIBRARY